

REPÚBLICA DEL PERÚ

SECTOR ENERGÍA Y MINAS

INSTITUTO GEOLÓGICO MINERO Y METALÚRGICO

BOLETÍN N° 26

Serie D: Estudios Regionales

ROCAS ÍGNEAS EN EL SUR DEL PERÚ

Nuevos Datos Geocronométricos, Geoquímicos y
Estructurales entre los Paralelos 16° y 18°30'

Latitud Sur

Por:

William Martínez
John Cervantes



Lima - Perú
Diciembre, 2003

REPÚBLICA DEL PERÚ
SECTOR ENERGÍA Y MINAS
INSTITUTO GEOLÓGICO MINERO Y METALÚRGICO

BOLETIN N° 26
Serie D: Estudios Regionales

ROCAS ÍGNEAS EN EL SUR DEL PERÚ

**Nuevos Datos Geocronométricos, Geoquímicos y
Estructurales entre los Paralelos 16° y 18°30'
Latitud Sur**

Por:

**William Martínez
John Cervantes**

INGEMMET

Lima - Perú
Diciembre, 2003

INGEMMET

INSTITUTO GEOLÓGICO MINERO Y METALÚRGICO

HANS FLURY
Ministro de Energía y Minas

CÉSAR POLO ROBILLIARD
Viceministro de Minas

RÓMULO MUCHO MAMANI
Presidente del Consejo Directivo del INGEMMET

ALBERTO MANRIQUE POSTIGO
MIGUEL CARDOZO GOYTIZOLO
JUAN CARLOS BARCELLOS MILLA
VÍCTOR LAY BLANCARDI
VÍCTOR BENAVIDES CÁCERES
Consejo Directivo

FUNCIONARIOS TÉCNICOS RESPONSABLES

ÓSCAR PALACIOS MONCAYO
Director de Geología Regional

FRANCISCO HERRERA ROMERO
Dirección de Sistemas de Información

Primera Edición
Coordinación, Revisión y Edición
Dirección de Sistemas de Información, INGEMMET
Lima - Perú
Se terminó de imprimir el 30 de enero del año 2004 en los talleres del INGEMMET

Hecho el Depósito Legal N° 1501302004-0524
Razón Social : Instituto Geológico Minero y Metalúrgico (INGEMMET)
Domicilio : Av. Canadá 1470, San Borja - Lima-Perú

Contenido

RESUMEN	1
I INTRODUCCIÓN	3
II OBJETIVO	4
III ALCANCE	4
IV MÉTODOS	4
V RESUMEN DE LOS AVANCES ESTRATIGRÁFICOS ENTRE LOS PARALELOS 16° 00' S y 18° 30' S	5
Paleozoico	5
Mesozoico	8
Cenozoico	8
VI CONCEPTOS ACTUALES SOBRE EL MAGMATISMO EN LA REGIÓN	9
VII CONCEPTOS ACTUALES SOBRE TECTÓNICA ESTRUCTURAL EN LA REGIÓN	14
VIII GEOCRONOMETRÍA	17
Unidades Volcánicas	19
Neógeno	19
El problema de la Formación Sencca	19
El Problema de la Unidad Samanape es parte del evento	
Tacaza?	22
Grupo Toquepala	23
Formación Chocolate	25
Unidades Intrusivas	25
Batolito Challaviento	25
Superunidad Yarabamba	27
Superunidad Punta Coles	28
Intrusivos No Asignados al Batolito de la Costa	28
IX CARACTERÍSTICAS GEOQUÍMICAS DE LAS SECUENCIAS VOLCÁNICAS E INTRUSIVAS EN LA REGIÓN	29
Unidades Volcánicas	29
Secuencias Jurásico-Cretáceas (Guaneros-Mataque)	29
1) Formación Guaneros	29
2) Formación Mataque	29
Secuencias Cretáceas	31
3) Grupo Toquepala	31
Elementos Mayoritarios (Harker)	33

Elementos Traza REE	33
4) Secuencia Post-Paleocenas; Tacaza-Huilacollo-Pichu	35
Elementos Traza REE	35
5) Secuencias Post Oligocenas; Moquegua-Huayllillas- Llallahui-Maure y Sencca	38
Elementos Mayoritarios (Harker)	42
Elementos Traza REE y Multielemental LILE / HFSE	42
6) Evento Barroso	45
Elementos Mayoritarios (Harker)	45
REE y Multielemental LILE/HFSE	45
Unidades Intrusivas	46
Elementos Mayoritarios (Harker)	46
REE y Multielemental LILE / HFSE	46
X COMENTARIOS SOBRE EL MAPA DE CONTROL ESTRUCTURAL AEROMAGNÉTICO, CALDERAS Y ESTRUCTURAS VOLCÁNICAS	52
 ANEXO I	55
Nuevas Dataciones en el Sur del Perú (Paralelos 16° - 18° 30' sur)	57
 ANEXO II-A	61
Geoquímica de las Muestras Datadas (K-Ar)	63
 ANEXO II-B	73
Geoquímica de Muestras sin Dataciones Radiométricas	75
 ANEXO III	103
Otras Dataciones realizadas por diferentes Autores	105
 ANEXO FOTOGRÁFICO	119
 BIBLIOGRAFÍA	133

RESUMEN

El área de estudio está enmarcada dentro de la *Zona Volcánica Central* (ZVC) denominada por THORPE, R. S. y FRANCIS, P. W., 1979; THORPE, R. S., et al., 1982; THORPE, R. S., 1984; LÓPEZ-ESCOBAR, L., 1984 y JAMES, D. E., 1981. Corresponde a un arco magmático producto de una subducción *sin-colisión* con generación de materiales intrusivos y volcánicos calcoalcalinos (Fig. N° 1-2).

Los avances estratigráficos, litodémicos y estructurales para la región, desarrollados durante el año 2000 y el 2001 demuestran los cambios continuos en estos tres parámetros, basados en estudios litoestratigráficos, estructurales, petrográficos, dataciones y geoquímica que han cambiado los conceptos sobre el origen de los materiales ígneos y su desarrollo a través del tiempo. Con las dataciones y la geoquímica se han desarrollado y ampliado los parámetros de posición y evolución magmática de acuerdo a 68 nuevas dataciones radiométricas analizadas y estudiadas por el método de potasio-argón (K-Ar) y también por análisis geoquímicos de elementos mayores y menores, trazas y tierras raras (REE) realizadas en unidades litológicas comprendidas desde el Jurásico hasta el Cuaternario.

Este informe no pretende ser un compendio estratigráfico ni petrográfico de todas las secuencias involucradas, centrándose solamente en los resultados e interpretaciones de los datos geoquímicos que confirman la evolución continua (sistema abierto - cristalización fraccionada) del magmatismo, desde condiciones primitivas (volcanismo Jurásico), hasta materiales más diferenciados (volcanismo Plio-Cuaternario). Igual relación evolutiva se observa en las intrusiones plutónicas desde las Superunidad (S.U.) Punta Coles (Jurásico) hasta los últimos batolitos paleógenos (Challaviento) y neógenos (pórfitos y subvolcánicos no asignados al batolito). Finalmente se tomaron 164 muestras sólo para análisis geoquímicos, mayormente de secuencias neógenas evaluadas e interpretadas en base a los parámetros geoquímicos vigentes (ROLLINSON, H., 1993). En total se analizaron 232 muestras y 11 368 análisis geoquímicos de roca.

I INTRODUCCIÓN

El presente informe es el resultado de los estudios cartográficos realizados por la Dirección de Geología Regional en el año 2000, como parte del programa sistemático de levantamientos geológicos regionales a escala 1:50 000 y 1:100 000 de la Franja N° 1 (16° 00' y 18° 30' Sur) (INGEMMET Mapas Geológicos. 2000).

Durante el estudio se tomaron muestras de diferentes unidades ígneas con la finalidad de datarlas y analizarlas radiométrica y geoquímicamente. Estas muestras fueron analizadas en Chile y Canadá respectivamente en el marco del Proyecto Multinacional Andino (MAP) 1996– 2001 (ZAPPETTINI, E.O. et al., 2001).

El texto, los mapas de rocas ígneas y los controles estructurales con sus interpretaciones preliminares son los principales resultados del presente estudio.

La Fig. N° 3 muestra la ubicación del área estudiada que abarca 31 hojas de la Carta Geológica que en conjunto alcanzan una extensión cercana a 75 000 km². Los rasgos orográficos y estructurales muestran una orientación preferencial NO-SE con unidades sedimentarias e ígneas que abarcan desde el Meso-Proterozoico hasta el Cuaternario. Sus características estratigráficas/litodémicas muestran unidades marinas y continentales con presencia de materiales volcánicos e intrusivos que se han desarrollado desde el Ordovícico-Jurásico hasta el Holoceno y están emplazados en un basamento antiguo y rígido (Complejo Basal de la Costa).

- Las relaciones espaciales (este-oeste) demuestran para el tiempo Jurásico-Cretáceo inferior nuevos conceptos en la configuración cortical y tectónica de la región, es así que el volcanismo Chocolate ha sido asociado con cuerpos subvolcánicos producidos en un ambiente cortical más primitivo y delgado que han evolucionado a magmas más diferenciados (Guaneros) y desarrollaron contaminación por asimilación cortical (Complejo Basal de la Costa) y sedimentos aportantes de la placa subductada (antes Farallón, hoy Nasca) (MARTÍNEZ, W. y ZULOAGA, A., 2002).
- Las características estructurales muestran un avance significativo en los conceptos de bloques transcurrentes transpresivos y transtensivos. Los grandes fallamientos como Incapuquio y Cincha Lluta han desarrollado sistemas móviles complejos desde el Cretáceo superior? y actualmente caracterizado como transpresión sinestral. Asimismo las transcurencias occidentales y orientales paralelas (Apurímac-Maure-Titicaca) desarrollan en conjunto un juego de bloques con movimientos horizontales que se iniciaron con el quiebre y rotación antihorario de la inflexión de Arica (MARTÍNEZ, W., 2003).

II OBJETIVO

El objetivo de esta publicación es presentar una integración de los últimos conocimientos cartográficos e interpretativos disponibles a la fecha, mediante la agrupación de unidades litodémicas y litoestratigráficas basándose en criterios de afinidad temporal geoquímica y petrográfica. Se destacan los rasgos estructurales con dominio actual y su asociación con el emplazamiento del magmatismo por deformación cortical. Asimismo se aspira que sirva de guía para facilitar el desarrollo de ideas y conceptos en exploraciones futuras de empresas y personas interesadas en la prospección minera de la región.

III ALCANCE

Se ha elaborado un Mapa de Rocas Ígneas a escala 1:500 000 que cubre una extensión aproximada de 75 000 km², entre los paralelos 16° 00' S y 18° 30' S. En el mapa se muestra la distribución de las unidades ígneas intrusivas y volcánicas asociadas a secuencias sedimentarias entre el Paleozoico y el Cuaternario. Asimismo se procesó un mapa estructural con sistemas de fallas regionales y estructuras volcánicas (calderas, volcanes y domos). Una capa de anomalías aeromagnéticas de campo total ha sido añadida con el fin de comparar con los datos estructurales de superficie. Se adjunta un informe donde se muestran con mayor detalle los datos obtenidos, su caracterización geoquímica, estructural e interpretaciones preliminares así como los problemas encontrados con las dataciones radiométricas obtenidas en algunos casos posterior al cartografiado geológico de la región.

IV MÉTODOS

El mapa de Rocas Ígneas se compiló sobre la base de los mapas actualizados y revisados entre los paralelos 16° 00'-18° 30' de latitud sur a escalas de 1:50 000 y 1:100 000 respectivamente, reducidos posteriormente a escala 1:500 000; los polígonos fueron reestructurados y agrupados según criterios temporales, litoquímicos y estructurales.

En la base geológica se asignaron colores por rango de edad, una capa con dataciones realizadas por autores anteriores y una capa con nuevas dataciones por K-Ar. También se añadió una capa con los rasgos estructurales obtenidos de observaciones de campo e interpretaciones regionales en imágenes satelitales.

Los datos radiométricos fueron realizados en los laboratorios del Servicio Geológico de Chile (2000) por el método K-Ar y los análisis geoquímicos se realizaron en el Geological Survey of Canadá (GSC), por métodos químicos XRF (elementos mayores) e ICP-MS (elementos menores y traza incluidas tierras raras), para factores en partes por millón (ppm).

Se han realizado 68 nuevas dataciones radiométricas y 11 368 análisis geoquímicos de muestras intrusivas y volcánicas. En el Anexo I se presentan los datos radiométricos y geoquímicos por unidades litoestratigráficas, incluyendo el código de identificación, coordenadas, N° de hoja y tipo de roca que se analizó. La codificación de las nuevas dataciones (1-68), se muestra en el Anexo I (para consultas más específicas). Los análisis geoquímicos de elementos mayores, menores y trazas, incluidos tierras raras (REE) realizados en las muestras datadas se muestran en el anexo II-A. En el Anexo II-B se muestran los análisis realizados en 164 unidades de rocas entre el Jurásico y Neógeno, el Anexo III muestra una relación de dataciones radiométricas efectuadas por diversos autores, el Anexo IV es un catálogo fotográfico de las principales unidades ígneas y los principales estratotipos y litodemos de la región.

V RESUMEN DE LOS AVANCES ESTRATIGRÁFICOS ENTRE LOS PARALELOS 16° 00' S y 18° 30' S

Paleozoico

- a) Se ha establecido la presencia del Grupo Cabanillas del Devónico en el valle del río Tambo, en la carretera Tacna-Tarata, asimismo en el valle del río Majes (Formación Torán).
 - En el paraje Fiscal-Cocachacra se reconoció al Grupo Cabanillas antes conocido como Grupo Yamayo, basándose en braquiópodos (CHACALTANA, C. et al., 2002).
 - En el paraje Palquilla-cerro Machani se ha establecido la presencia del Grupo Cabanillas (antes Formación Machani) basándose en fósiles y litoestratigrafías similares.
- b) El Grupo Ambo fue reconocido en la carretera Tacna-Palca, basándose en plantas fósiles asociadas al Carbonífero halladas en la zona de Mal Paso. (PINO, A. et al., 2002)
- c) La presencia de secuencias Ordovícicas en el Altiplano han sido demostradas al oeste de la ciudad de Ayaviri (Puno) basándose en Graptolites del Arenigiano – Llanvirniano. (CERRÓN, F. y CHACALTANA, C., 2002).
- d) El batolito de Mejía de edad Ordovícica, ha sido cartografiado en el sector este de Punta de Bombón y caracterizado geoquímicamente.
- e) Falta comprobar si el «granito rojo» que aflora entre El Fiscal y las pampas de Clemesí está asociado al Paleozoico

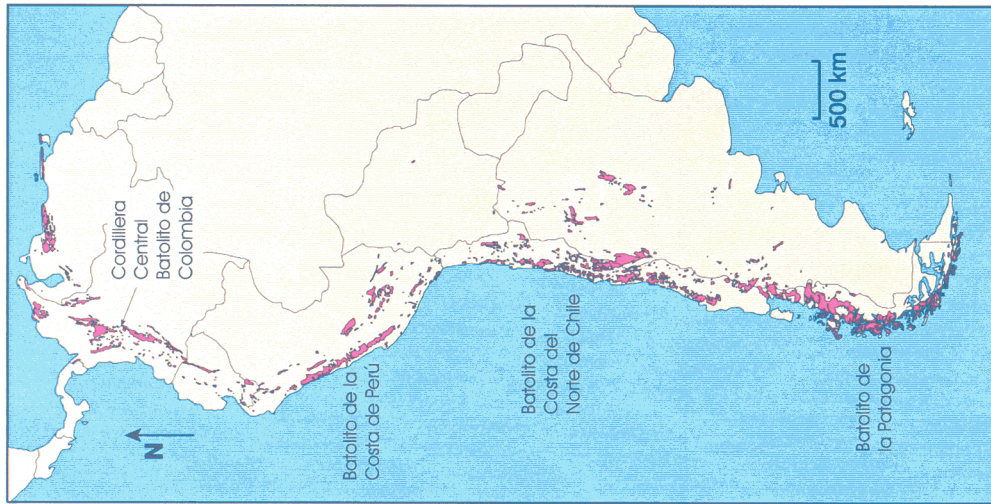


Fig. N°2 El Batolito de la Costa, abarca desde Venezuela hasta la Patagonia (Chile/Argentina). Es un batolito múltiple y compuesto emplazado en el borde continental producto de la subducción de la Placa Nasca, aunque existe plutonismo en las cuencas de trasarco (backarc) pero ligado mayormente a magmatismo paleozóicos y producidos en un ambiente de rift. Esta faja orogénica también es conocida como una “Cordillera Magnética”. Winter 2001

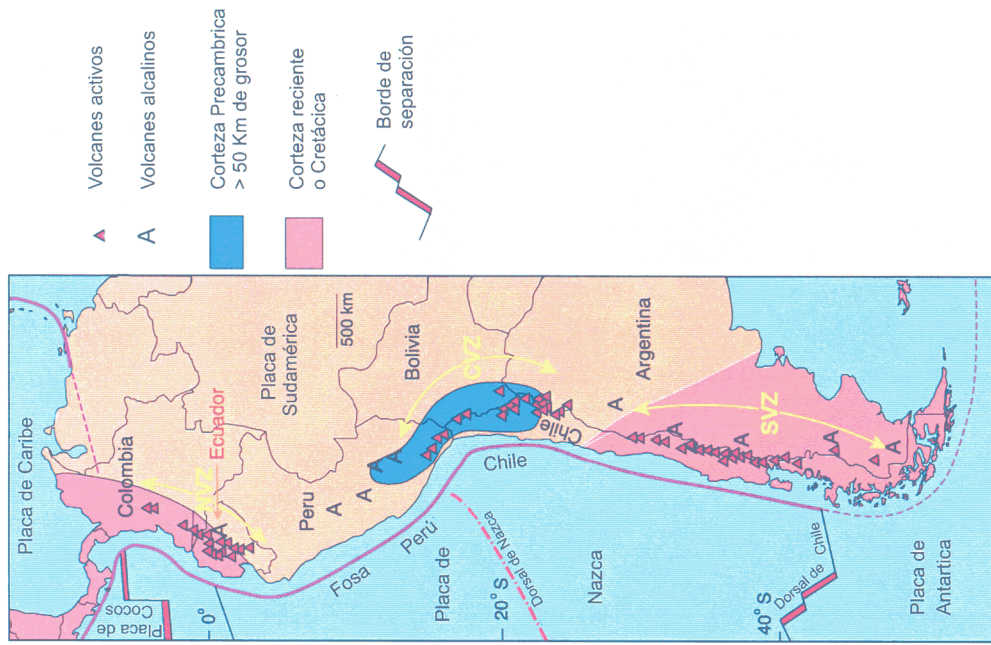
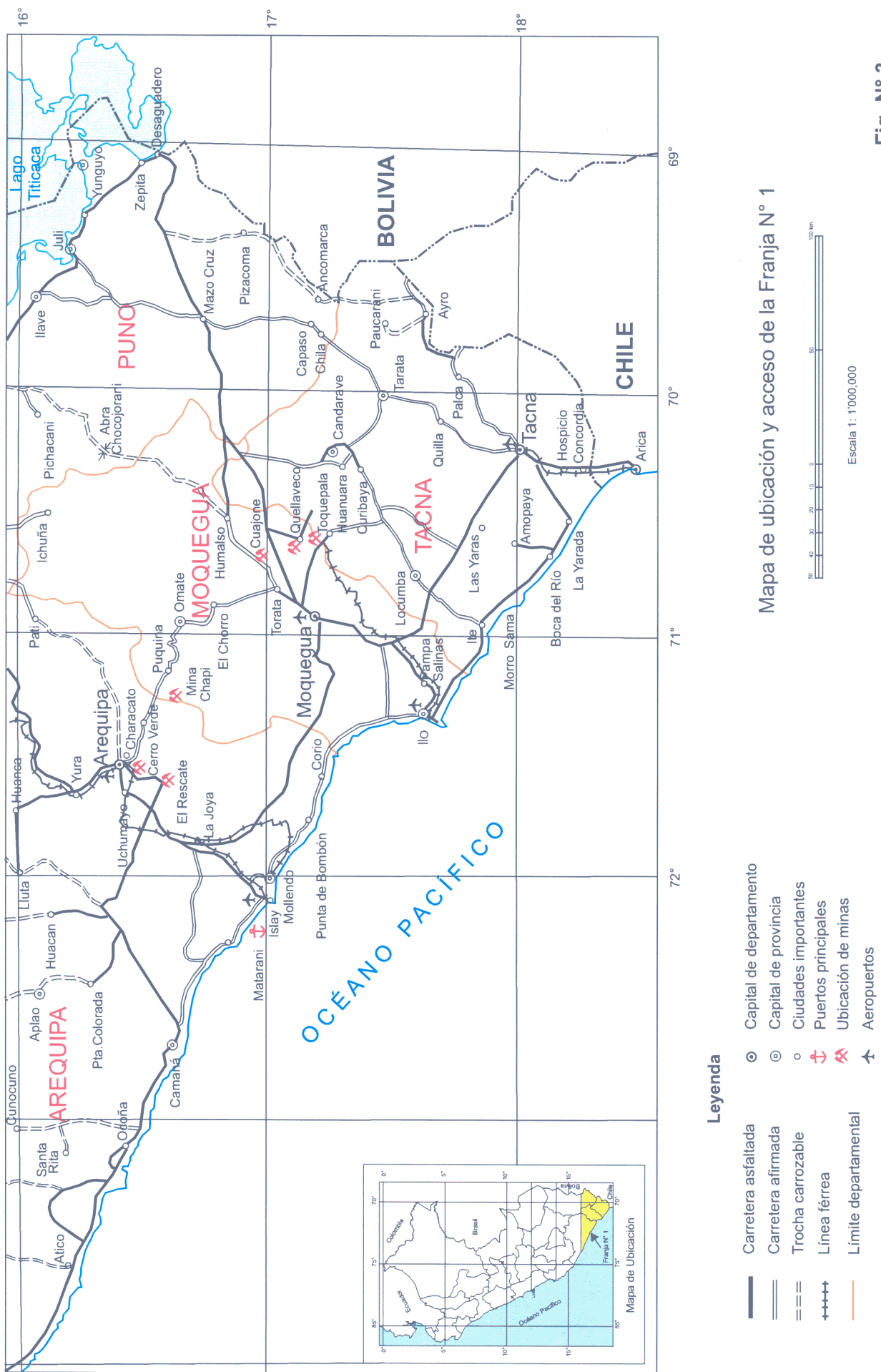


Fig. N°1 Ubicación del magmatismo y tectónica en sudamérica, el Perú pertenece a la Zona Volcánica Central (CVZ) caracterizada por un magmatismo calco-alcalino e intermedio entre la NVZ y la SVZ (materiales más primitivos Tomado de Thorpe et al., 1984

Fig. N° 3



Mesozoico

- a) En muchos sectores se ha logrado subdividir al Grupo Yura, Formación Guaneros y Grupo Toquepala, además se registran unidades diferenciadas en Ichuña, Ayavacas, Vilquechico, Muñani, Pizacoma, Mazocruz e Ilave.
- b) Se estableció la presencia de calizas del Jurásico inferior en las quebradas de la Capilla, Chapi y en los valles de los ríos Tambo y Majes.
- c) Se uniformizó a la Formación Junerata como Formación Chocolate en la hoja de Palca basándose en fósiles y litoestratigrafía similares a los afloramientos de la Faja Costanera.
- d) Se actualizó y diferenció al Grupo Toquepala en varias unidades litoestratigráficas en las hojas de Puquina-Moquegua-Tarata y Palca
- e) Se diferenció parte de la Formación Guaneros de la unidad Toquepala en el extremo SE de la Joya y centro-norte de Clemesí
- f) Se diferenció a la Formación Guaneros (Faja Costanera) en las hojas de Clemesí y la Yarada, en dos secuencias: inferior sedimentaria-marina y superior volcánica (efusivas/explosivas) de posible ambiente continental
- g) La unidad Matalaque (Cretáceo inferior) fue reconocida al sur de su localidad tipo: Ichuña/Omate, en los sectores de Moquegua-Tarata y Palca. Preliminarmente ha sido caracterizada geoquímicamente.

Cenozoico

Se diferenció litoestratigráficamente las variaciones laterales y verticales de las unidades cenozoicas (grupos Tacaza y Barroso, formaciones diacrónicas Maure y Capillune).

- a) Parte del Grupo Toquepala superior (Formación Samanape) aún ha sido incluida dentro de este grupo, siendo posible que parte de las secuencias superiores sean más compatibles geoquímicamente con el Grupo Tacaza
- b) El Grupo Tacaza occidental aún presenta problemas estratigráficos; falta uniformizar las unidades Tacaza-Huilaclollo, Samanape y Pichu si son parte del mismo evento tomando como base las dataciones radiométricas y la caracterización geoquímica.
- c) Las facies continentales del Oligoceno-Mioceno conocidas como Formación Sotillo (Arequipa) han sido uniformizadas hacia el sur (Omate-Moquegua-Pachía-La Clemesí) por su similitud litoestratigráfica, prescindiendo del término «Formación Moquegua inferior». Se establece como Formación Moquegua a la facies de areniscas y conglomerados continentales asociado a la actividad tectónica del sistema de fallas Incapuquio.

- d) El evento Barroso fue diferenciado como estructuras individuales por sus características morfoestructurales

Comentario.- La revisión de los rasgos geológicos ha permitido establecer un cambio lateral de facies (sedimentarias/volcánicas) en unidades cenozoicas y en secuencias sedimentarias de ambiente marino (formaciones Pisco y Camaná), en la Faja Costanera y Continental (formaciones Sotillo y Moquegua) depositadas desde el Paleógeno al Eoceno. Asimismo, los estudios y revisión han permitido «Simplificar la Nomenclatura» comparadas con las unidades litoestratigráficas usadas en el pasado, facilitando la comunicación entre geólogos (véase tabla adjunta)

Autor/Año	Nombre dado/Edad	Uniformizado/Edad	Autor/Año
Bellido E. y Guevara C./1963	Grupo Yamayo/Triásico-Jurásico	Grupo Cabanillas/Devónico	Sánchez, A. y Rosell, W./2000
Wilson, J. y García, W./1962	Formación Machani/Triásico sup.	Grupo Cabanillas/Devónico	Monge, R. y Cervantes, J./2000
De La Cruz, N./1993	Secuencias neógenas	Grupo San José/Ordovícico	Cerrón, F. y Chacaltana, C./2000
Wilson, J. y García, W./1962	Formación Junerata/Triásico-Liásico	Formación Chocolate/Jurásico inferior	Monge, R. y Cervantes, J./2000
Marocco, R. y Del Pino, M./1966	Volcánico Mataque/Aptiano-Albiano	Formación Mataque/Cretáceo inferior	Lipa, V., Quispesivana, L., Martínez, W. y Monge, R./2000
Bellido, E. y Guevara, C./1963	Formación Toquepala cuatro formaciones/Cretáceo-Terciario	Grupo Toquepala cuatro formaciones/Cretáceo-Paleógeno	Martínez, W. y Zuloaga, A./2000
Jenks, W. F./1948	Formación Sotillo/Eocena-Oligocena	Formación Sotillo/Eocena-Oligocena	Sánchez, A. y Rossel, W./2000
Adams/1906	Formación Moquegua/Terciario	Formación Moquegua/Oligocena?-Miocena	Martínez, W. y Zuloaga, A./2000
Marocco, R. et al./1985	Grupo Moquegua inferior	Formación Sotillo	Martínez, W. y Zuloaga, A./2000
Marocco, R. et al./1985	Grupo Moquegua superior	Formación Moquegua, miembros 1-2/Oligocena?-Miocena	Martínez, W. y Zuloaga, A./2000
Vargas, L./1969	Formación Milli/Plioceno	Formación Milli/Mioceno superior-Plioceno	Sánchez, A. y Rossel, W., Martínez, W. y Zuloaga, A., Monge, R. y Cervantes, J./2000

VI CONCEPTOS ACTUALES SOBRE EL MAGMATISMO EN LA REGIÓN

La evolución magmática en la zona de estudio es bastante compleja, porque interactúan elementos tectónicos globales y magmatismo asociado con distorsiones de la corteza litosférica. Los trabajos iniciales sobre productos magmáticos y su relación con la tectónica «tipo Andes» fueron estudiados por muchos autores (ISACKS, B.; OLIVER, J. & SYKES, L. R., 1968; DEWEY, J. F. & BIRD, J. M., 1970; MITCHELL, A. H. & READING, H. G., 1969) y recién en la década del 70 se entendieron los parámetros

que controlaban la producción de materiales volcánicos e intrusivos en las cadenas Orogénicas.

Los modelos cuantitativos de contaminación cortical se plantearon en la década del 80 en estudios del sur del Perú (JAMES, D. E., 1981-1984) donde se muestran las variaciones sistemáticas de cocientes isotópicos de O, Sr, Nd y Pb así como elementos traza en secuencias modernas, dando a conocer los primeros resultados sobre *Contaminación, Cristalización Fraccionada y Composición de los Magmas*. Para las secuencias mesozoicas (Formación Chocolate y Grupo Toquepala), se estudiaron basándose en los elementos traza y en análisis de isótopos de Nd y Sr que diferencian dos eventos (BOILY, M. et al., 1984-1990) concluyendo que los volcánicos Jurásicos son afines a un arco volcánico de margen Continental. Igual relación se encontró para el Grupo Toquepala, con alta variación en sus ratios de elementos menores y traza. Una objeción a dicho estudio indica que las muestras obtenidas en el Grupo Toquepala al parecer se recolectaron al oriente de los yacimientos cupríferos de lo que hoy sería parte de las formaciones Quellaveco y Samanape cuyos estudios actuales (geoquímicos /radio-métricos) lo llevan a una posición equivalente al «evento Tacaza» (MARTÍNEZ, W., y ZULOAGA, A. D., 2002)

En la década del 90 (BOILY, M. et al., 1983) amplían los estudios sobre las caracterizaciones geoquímicas e isotópicas en secuencias pre y post oligocénicas en el sur del Perú abarcando estudios desde el Cretáceo superior (Grupo Toquepala), Grupo Tacaza, formaciones Huayllillas, Sencca, Capillune y Sillapaca, sobre la base de estudios de Nd, y Sr, y la aplicación de proporciones de La/Yb_N y Th/U , sugiriendo que para las secuencias preoligocénicas (Grupo Toquepala) existía eNd (+ 0,6 a +5,3) y valores negativos de eSr , (-7 a +8), La/Yb_N (2 a 15) y bajas Th/U (0,1 a 4,2), totalmente contrario a las secuencias post oligocénicas (Tacaza – Huayllillas – Sencca – Capillune -Sillapaca); La/Yb_N (9 a 34) y Th/U (3 a 8), eNd negativo (-0,9 a -12,0) y valores positivos de eSr , (+13 a +64). Estos datos evidencian preliminarmente poca contaminación de las secuencias preoligocénicas en una corteza «poco engrosada y con poca contaminación cortical», a diferencia de las secuencias post-oligocénicas con «fuerte contaminación y engrosamiento cortical» entre los 30 y 40 Ma. Los datos son insuficientes para el Grupo Toquepala, falta estudiar toda la secuencia estratigráfica ya que parte de las muestras para isótopos obtenidas (BOILY, M.; BROOKS, C. & JAMES, D. E., 1984) fueron obtenidas en sus secuencias superiores (posiblemente formaciones Quellaveco ó Samanape).

Por otro lado los eventos plutónicos fueron estudiados por la misión inglesa (PITCHER, W. S., 1985; BECKINSALE, R. D. et al., 1985; MUKASA, S. B. & TILTON, G. R., 1985; ATHERTON, M. P. & SANDERSON, L. M., 1985), resolviendo muchos problemas relacionados con el modo de emplazamiento y caracterización geoquímica y mineralógica. El resultado de estos estudios fue la presentación del primer mapa de rocas ígneas «occidentales» del sur, centro y norte del país. El cartografiado ha sido actualizado en muchos aspectos: Tiene mayores datos geoquímicos para las volcanitas cretácneas y división de las mismas, diferenciación de las superunidades Ilo, Punta

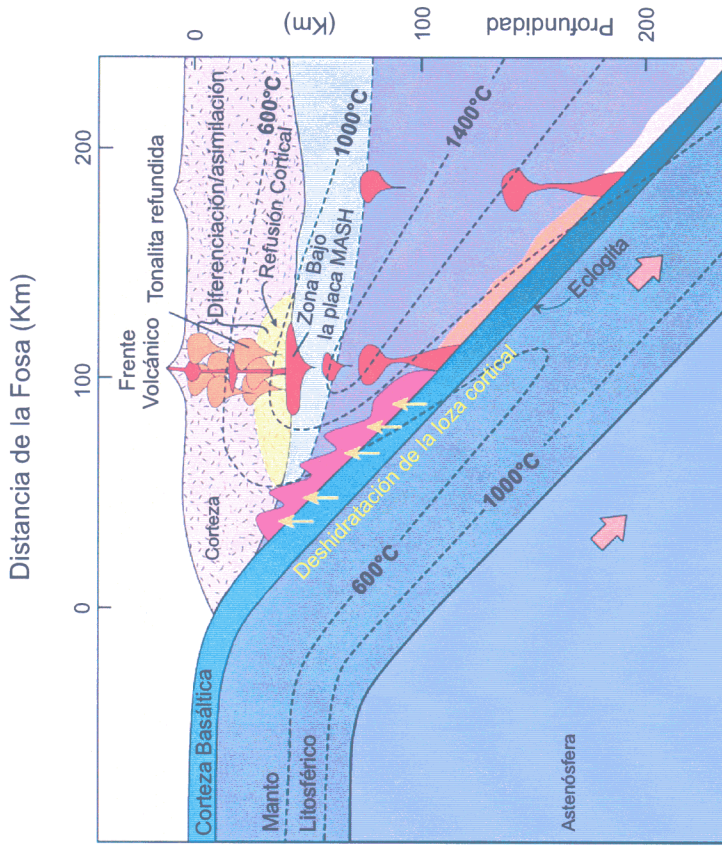


Fig. N° 5 El esquema muestra la margen continental activa que puede ser adaptada para los Andes. Se muestra la deshidratación de la placa subductada, hidratación y fusión de la cuña del manto heterogénea. Los procesos MASH pueden ocurrir bajo estas condiciones, así como la cristalización del material bajo la corteza. La refusión de estos materiales pueden producir magmas tonalíticos/granodioríticos y una posible zona de anatexia de la corteza. Los magmas atraviesan la corteza continental diferenciándose y/o pueden asimilar la corteza continental. Las confirmaciones isotópicas y geoquímicas (REE) refuerzan estas ideas. Tomado de Winter 2001.

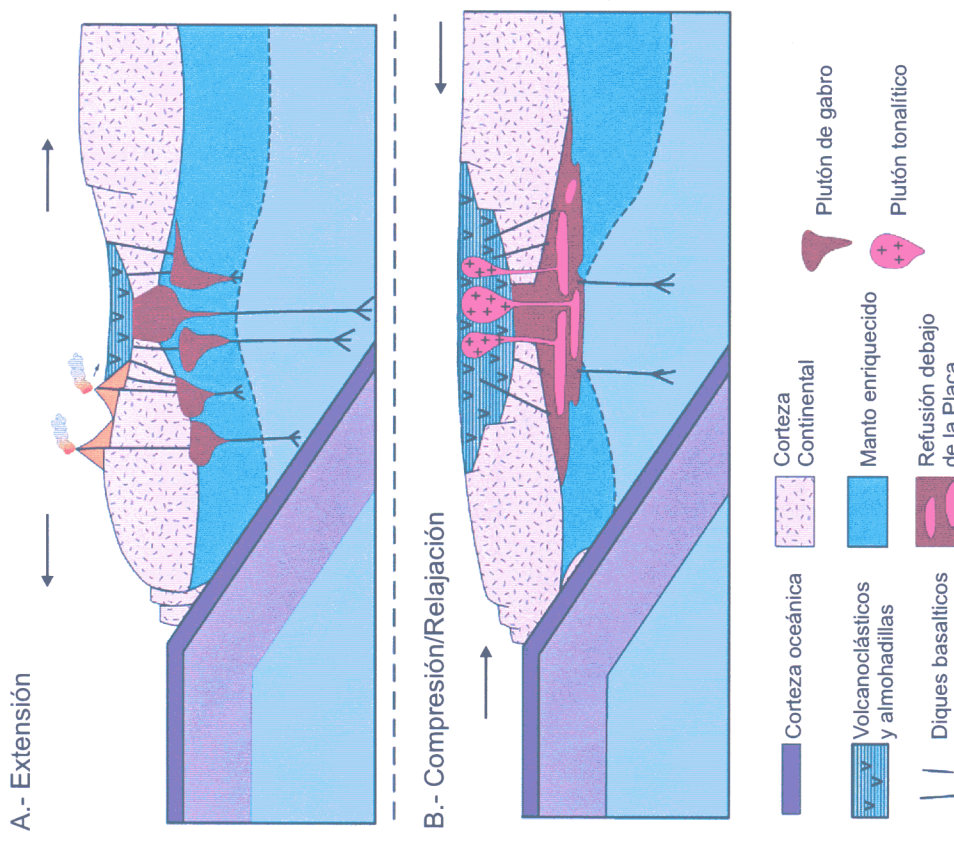


Fig. N° 4 Para el batolito de composición granodiorítica y tonalítica su origen está basado en la “refusión” de los gabbros parentales (Unidades tempranas, Patap y Pisco) por efecto de la interacción de la gradiente Jurásica. Se supone que para este tiempo la inclinación de la placa que ha sufrido subducción es comparativamente igual a su contemporánea en Japón, prácticamente vertical produciendo la participación activa de la cuña astenosférica. Tomado de Winter, 2001, después de Cobbing y Pitcher, 1983

Relaciones de tiempo - espacio, y origen de los magmas, plutonismo Paleozoico, Cretáceo y Neógeno Sur de Perú (16° a 18° 30')

Altiplano

Cordillera de la Costa

Edad Ma

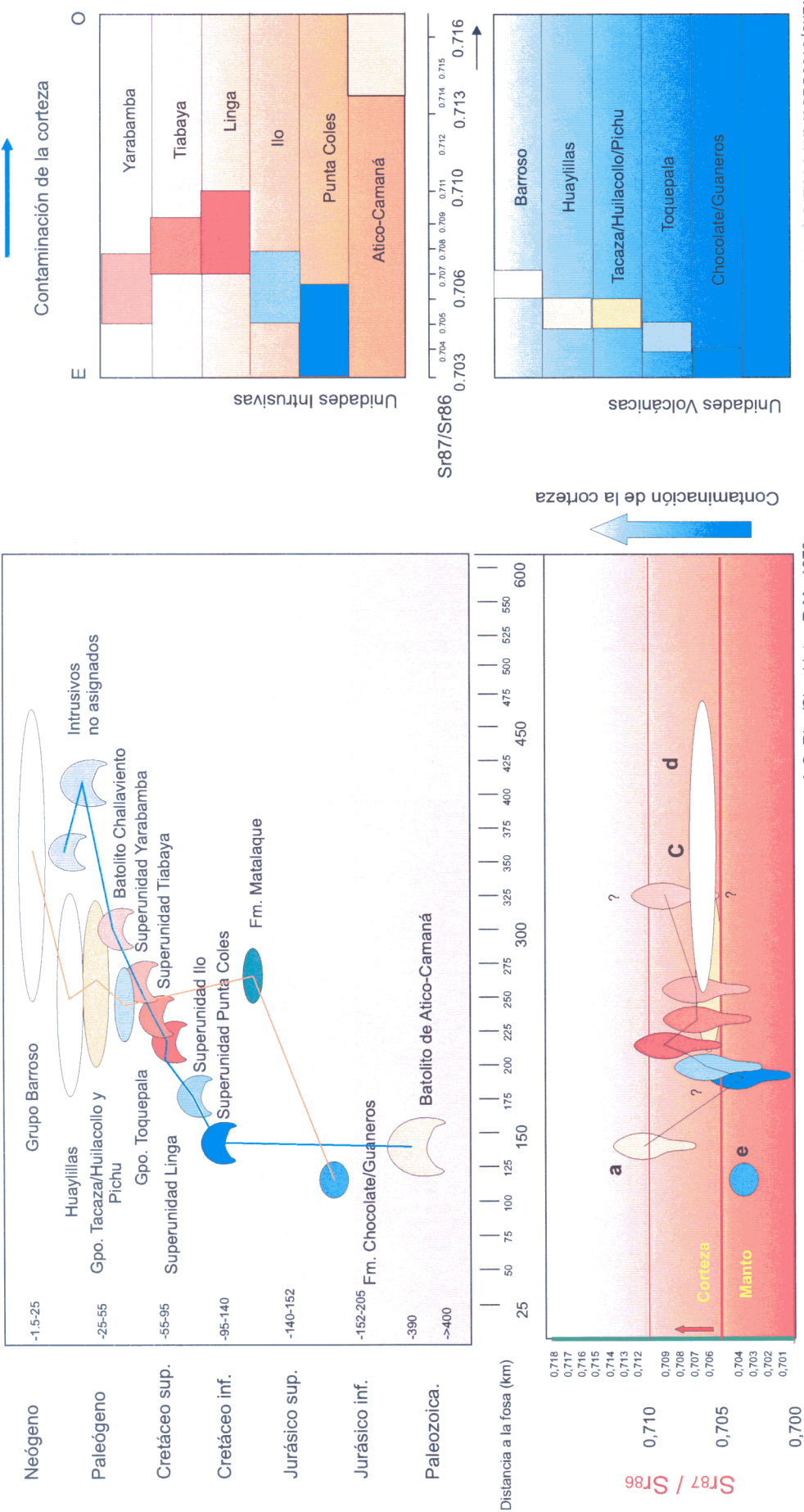


DIAGRAMA MOSTRANDO LOS RATIOS Sr87/Sr86 DE ROCAS IGNEAS EN LOS SEGMENTOS AREQUIPA/TOQUEPALA Y BATOLITOS PALEOZOICOS
Datos basados en "Magmatism at a Plate Edge the Peruvian Andes"
W. Pitcher et al. 1985

a A.C. Ries/Shackleton R.M., 1979
b R.D. Beckinsale, 1985
c Notsu y Lajo, 1984
d Kontak et al., 1990
e James et al., 1974

Datos basados en "Magmatism at a Plate Edge the Peruvian Andes"
W. Pitcher et al., 1985

Coles, Tiabaya y Yarabamba. Estudios más recientes (ATHERTON, M. P., 1990) hacen una crítica de la evolución del Batolito de la Costa peruana, planteándose dos alternativas; El batolito es producto de un rápido reciclamiento o nueva corteza originada a partir de un rift continental?. Según las ideas actuales, a partir de trabajos relacionados al metamorfismo-volcanismo y su entorno de Evolución Andina (AGUIRRE, L.; LEVI, B. & NYSTROM, J. O., 1989) el batolito es producto de una cuenca volcánica-metamorfismo (termalismo), extensión, subsidencia y fracturamiento.

A partir de la refusión de gabros tempranos se origina la mayor cantidad de tonalitas y granodioritas que conforman mayormente el Batolito Andino (COOBING, E. J. & PITCHER W. S., 1983) (ver Fig. N° 4). La fuente de los magmas andinos está en constante estudio sobre la base de la petrografía y geoquímica diferenciándose dos tipos: *Un sistema cerrado (cristalización fraccional) y uno abierto (contaminación)*, donde los basaltos pasan directamente a dacitas sin incremento de Sr, o caso contrario a través de un aumento progresivo del Sr, por asimilación y contaminación. Estas tendencias pueden ser analizadas en la relación Sr^{87}/Sr^{86} vs SiO_2 , (DAVIDSON, J. P.; HARMON, R. S.; WORNER, G., 1991). Estos trabajos fueron proyectados para abarcar el origen del magmatismo sólo en secuencias modernas con el inconveniente de no enfocar gran parte del Cretáceo y Jurásico. Los dos últimos sistemas son los que menor datos geoquímicos y radiométricos tienen. Las pocas obras que lo han tratado (BOILY, M., BROOKS, C. & JAMES D. E., 1984; ROMEUF, et al., 1995) llegan a la conclusión que son rocas calcoalcalinas ricas en K y Zr que podrían ser explicadas en grados diferentes de fusión parcial o por diferencias en el grosor cortical. Los datos preliminares a la fecha indican el «inicio» de la subducción en forma oblicua en dirección NO a SE.

Actualmente el modelo conceptual sobre el marco tectónico de subducción para un arco magmático esta asociado a los siguientes factores:

- *Inclinación y velocidad de la placa*
- *Cuña astenosférica*
- *Volátiles*
- *Expansión del fondo atlántico*
- *Factor adiabático*

Todos estos factores conducen a la *fusión parcial* de la corteza, (ATHERTON, M.P., 1993) cree actualmente que existe una zona bajo la placa (underplate) sometida a empobrecimiento químico y que «pedazos» de la placa en subducción se acrecientan (para formar corteza) en la base cortical. Este proceso es conocido como «*MASH*» (*Magma, Asimilación, Segregación y Homogenización*), que sigue verticalmente por segregación una zona donde se producen fenómenos AFC – MAGIC (*Migración, Ascenso, Adiabático, Magma nuevo Interacción y Cristalización*) y ACID (*Asimilación, Cristalización, Interacción fluidos y Diferenciación*) (ver Fig. N° 5).

Las unidades involucradas en el área de estudio están compuestas por siete batolitos y unidades no datadas, además de seis eventos volcánicos diferenciados en el tiempo y espacio, entre los 400 a 1 Ma, y de 100 a 425 km de la fosa respectivamente (Fig.N° 6).

La aplicación de los elementos traza en la petrogénesis de los granitos ha evolucionado desde la década del 70 (HANSON, G. N., 1978) a sistemas basálticos y se demostró el valioso apoyo de las REE en materiales graníticos. Nuevas ideas sobre el magmatismo del granito resuelven en gran medida el problema del espacio, modo de emplazamiento y el origen del mismo (ATHERTON, M. P., 1993; PETFORD et al., 2000) como un proceso rápido y dinámico a escalas de tiempo > 100 000 años. El engrosamiento cortical puede ser deducido de las relaciones geoquímicas en elementos traza e isótopos (TARNEY, J. & JONES, C. E., 1994), para el Perú puede ser aplicado desde las secuencias más antiguas, en el modelamiento tectónico de subducción a partir del Jurásico (Chocolate/Guaneros) hasta el moderno arco volcánico (evento Barroso). Los cuerpos intrusivos aflorantes en la región, de acuerdo al modo de emplazamiento y distribución están siendo estudiados desde el punto de vista estratigráfico, a manera de grandes «placolitos» con base y techo. La mayoría de estas unidades están emplazadas dentro de las unidades estratigráficas metamorfizando los niveles inferiores y superiores de la unidad intruida (batolitos de Challaviento, No datados, Yarabamba), se encuentran asociados fuertemente a sistemas de debilidad tectónica de carácter litosférico que pueden ser explicados por el sistema de fallas transpresivas de Cincha-Lluta-Incapuquio que funcionan al parecer desde tiempos jurásicos.

VII CONCEPTOS ACTUALES SOBRE TECTÓNICA ESTRUCTURAL EN LA REGIÓN

La tectónica en la región está vinculada a la interacción de las placas de Nasca y Pacífica. El principio para la gran producción de magmatismo y el marco tectónico mesozoico a escala global ocurre con la apertura Atlántica (135 Ma) con la imposición de un régimen subductivo para el Perú tipo *sin-colisión*. Para el Jurásico inferior se piensa que interactuaron oblicuamente manteniéndose la idea de un juego de placas denominadas Farallón y Phoenix que actuaron en forma oblicua al borde continental (ROMEUF, et al., 1995). En el Paleozoico el magmatismo está representado por el batolito Atico-Camaná, continúa el dilema de si estos materiales son producto de un arco continental o rift continental (MUKASA, S. B. & HENRY, D. J., 1990), actualmente se está relacionando más a arcos volcánicos y clasificados como intrusiones tardías (calcoalcalinas) post colisión. Los estudios de Zr - Hf - Ta y discriminantes como Ta – Nb, para estas unidades paleozoicas se denota un *régimen tectónico de subducción incipiente* con plutonismo y volcanismo asociado (ALEMAN, A. M. & LEÓN, W., 2002), producto del cierre de cuencas extensivas. Lo que no queda claro es la colisión y acreción de terrenos exóticos para la zona norte del Perú como los

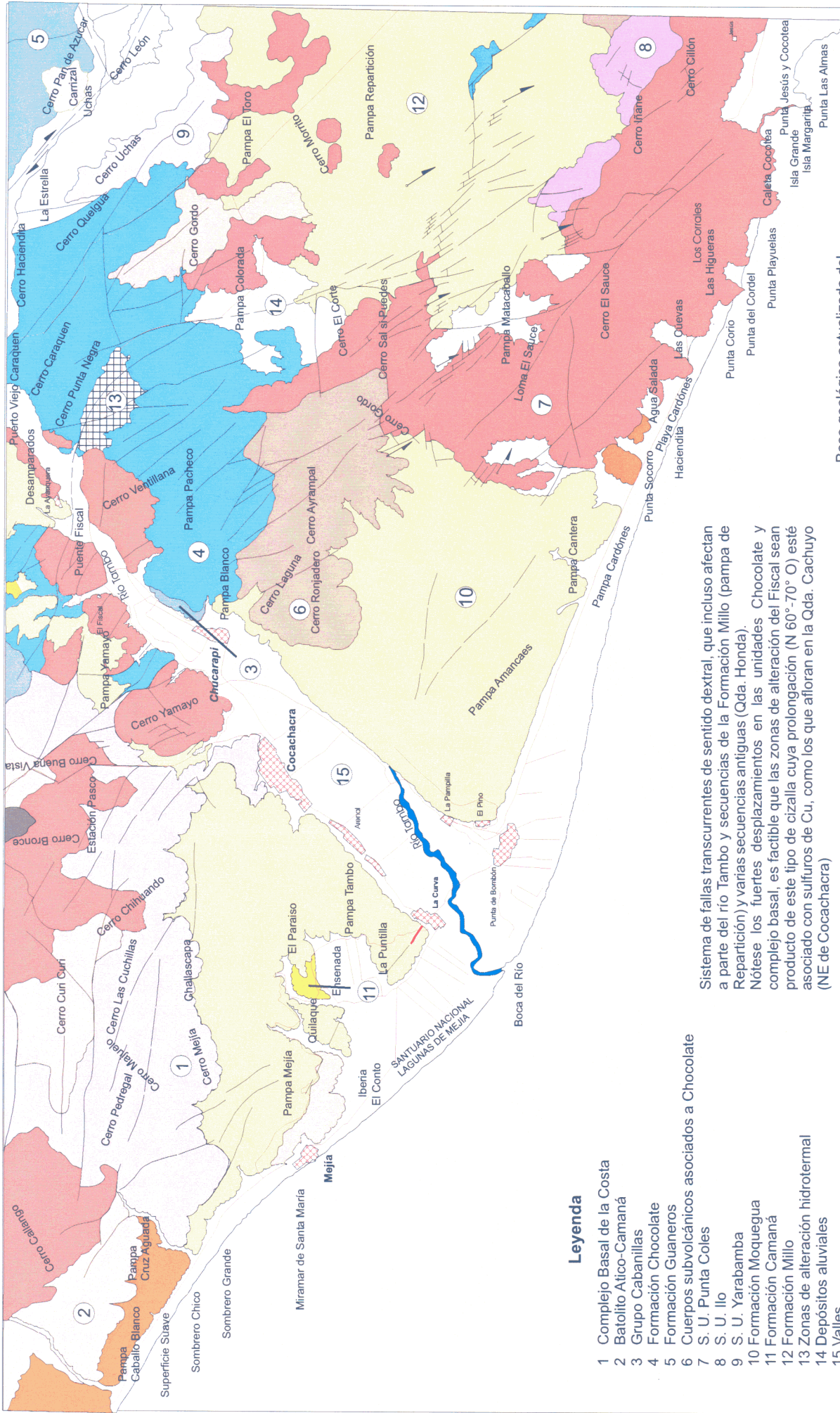
Las unidades involucradas en el área de estudio están compuestas por siete batolitos y unidades no datadas, además de seis eventos volcánicos diferenciados en el tiempo y espacio, entre los 400 a 1 Ma, y de 100 a 425 km de la fosa respectivamente (Fig.Nº 6).

La aplicación de los elementos traza en la petrogénesis de los granitos ha evolucionado desde la década del 70 (HANSON, G. N., 1978) a sistemas basálticos y se demostró el valioso apoyo de las REE en materiales graníticos. Nuevas ideas sobre el magmatismo del granito resuelven en gran medida el problema del espacio, modo de emplazamiento y el origen del mismo (ATHERTON, M. P., 1993; PETFORD et al., 2000) como un proceso rápido y dinámico a escalas de tiempo > 100 000 años. El engrosamiento cortical puede ser deducido de las relaciones geoquímicas en elementos traza e isótopos (TARNEY, J. & JONES, C. E., 1994), para el Perú puede ser aplicado desde las secuencias más antiguas, en el modelamiento tectónico de subducción a partir del Jurásico (Chocolate/Guaneros) hasta el moderno arco volcánico (evento Barroso). Los cuerpos intrusivos aflorantes en la región, de acuerdo al modo de emplazamiento y distribución están siendo estudiados desde el punto de vista estratigráfico, a manera de grandes «placolitos» con base y techo. La mayoría de estas unidades están emplazadas dentro de las unidades estratigráficas metamorfizando los niveles inferiores y superiores de la unidad intruida (batolitos de Challaviento, No datados, Yarabamba), se encuentran asociados fuertemente a sistemas de debilidad tectónica de carácter litosférico que pueden ser explicados por el sistema de fallas transpresivas de Cincha-Lluta-Incapuquio que funcionan al parecer desde tiempos jurásicos.

VII CONCEPTOS ACTUALES SOBRE TECTÓNICA ESTRUCTURAL EN LA REGIÓN

La tectónica en la región está vinculada a la interacción de las placas de Nasca y Pacífica. El principio para la gran producción de magmatismo y el marco tectónico mesozoico a escala global ocurre con la apertura Atlántica (135 Ma) con la imposición de un régimen subductivo para el Perú tipo *sin-colisión*. Para el Jurásico inferior se piensa que interactuaron oblicuamente manteniéndose la idea de un juego de placas denominadas Farallón y Phoenix que actuaron en forma oblicua al borde continental (ROMEUF, et al., 1995). En el Paleozoico el magmatismo está representado por el batolito Atico-Camaná, continúa el dilema de si estos materiales son producto de un arco continental o rift continental (MUKASA, S. B. & HENRY, D. J., 1990), actualmente se está relacionando más a arcos volcánicos y clasificados como intrusiones tardías (calcoalcalinas) post colisión. Los estudios de Zr - Hf - Ta y discriminantes como Ta – Nb, para estas unidades paleozoicas se denota un *régimen tectónico de subducción incipiente* con plutonismo y volcanismo asociado (ALEMAN, A. M. & LEÓN, W., 2002), producto del cierre de cuencas extensivas. Lo que no queda claro es la colisión y acreción de terrenos exóticos para la zona norte del Perú como los

Punta de Bombón



postulados para los Amotapes?. En la región la configuración estructural no está estudiada en forma regional, existen trabajos específicos especialmente enmarcados en el dominio de los yacimientos cupríferos de Cuajone, Quellaveco y Toquepala, donde los geólogos han estudiado los sistemas de fallas Incapuquio de carácter transcurrente sinestral¹. Rotaciones paleomagnéticas en el sur del Perú, inflexión de Arica y norte de Chile (ROPERCH, P. et al., 2002), muestran que estas rotaciones tectónicas ocurren en el Oligoceno/Mioceno (30-25 Ma), son del orden de 30° a 45°, no encontrándose deformación en la misma inflexión producto de una estructura oroclinal no simétrica, específicamente para el Perú la rotación en el Mioceno es horaria y de 15°. Los estilos estructurales actuales son de tipo transcurrente (HUSSON, L., JACAY, J., SEMPLERE, T., 2002., JACAY, J., SEMPLERE, T., HUSSON, L. PINO, A., 2002); LEÓN, W. & ALEMAN, A., 2002), con grandes bloques que se trasladan horizontalmente con dirección N 120° E y corresponden a los accidentes Incapuquio, Maure y Titicaca. El primero tiene una componente transpresiva – sinestral, asociada a bloques fallados inversamente de bajo ángulo (río Ilabaya, carretera Torata – Cuajone). Una tercera componente asociada a régimen gravitatorio es responsable del origen de la cuenca Moquegua.

Los sistemas de transcurriencia tanto dextral como sinestral afectan incluso a secuencias pliocena - cuaternarias, como las observadas en Punta de Bombón, donde la Formación Milló y sedimentos inconsolidados aluvionales se encuentran afectados por desplazamientos horizontales de carácter dextral, incluso el río Tambo parece estar desplazado en dirección SE (Fig. N° 7). Igualas anomalías de desgarre se prolongan en los sectores de Ilo-La Yarada.

Estos sistemas transcurrentes tienen que haber contribuido en el emplazamiento del magmatismo Jurásico preservado en la Faja Costanera (S.U. Punta Coles/Ilo) así como en el Cretáceo (S.U.Yarabamba). Los resultados preliminares de elementos traza confirman un marco tectónico de subducción (ROMEUF, et al., 1995), con generación de un complejo batolítico y volcánico.

Desde el punto de vista geofísico las relaciones magmatismo/velocidad de subducción/inclinación de la placa e interacción de la astenosfera han sido estudiadas por investigadores, que ponen énfasis en la fluidez del plato, hidratación de la corteza continental y el flujo astenosférico con énfasis al Cenozoico (JAMES, D & SACKS, S. 1999). Por otro lado las variaciones en los planos de buzamientos de las placas subductantes con liberación sísmica están asociadas a volcanismo superficial. Para el sur del Perú la inclinación es de 16° y velocidad de 82 mm/año (CHEN, P. F., BINA, C. R. & OKAL, E. A., 2001)

La Dorsal de Nasca al parecer juega un rol importante en la configuración morfoestructural de la Cordillera Central. Se piensa que ésta migró desde el este y que parte de la dorsal ya ha sido asimilada bajo el continente (LEÓN, W. & ALEMAN, A., 2002; SOLER, P., 1991), en estudios actuales basándose en el tiempo geomagnético (anomalías) y paleontología (foraminíferos) del Ocean Drilling Program

(ODP) (HAMPEL, A., 2002), sugieren que la Dorsal de Nasca tuvo una migración «lateral» y paralelo al margen andino con decrecimiento de la velocidad de convergencia de 75 mm/a (10,8 Ma) a 43 mm/a (4,9 Ma al presente). La velocidad de convergencia, la inclinación de la placa que subduce, y la sismicidad son responsables de los diferentes episodios volcánicos en la parte central y sur del Perú con una inclinación de la Placa de Nasca entre 8° y 16° respectivamente. Otros estudios que involucran una velocidad actual de 82 mm/a están en contraposición con los estudios de otros autores (comparar CHEN, P. F. et al., 2001 y HAMPEL, A., 2002). Asimismo la actual dirección de convergencia de la Placa de Nasca (N 78°) está directamente relacionada a las fallas transcurrentes continentales que se encuentran fuertemente relacionadas a los arcos magmáticos con Au-Cu, producto de un sistema de convergencia oblicua y que algunos autores sugieren que este tipo de marco promueve la formación o no de sistemas porfíriticos de Cu-Au con baja o alta sulfuración (CORBETT, G. & LEACH, T., 1998)

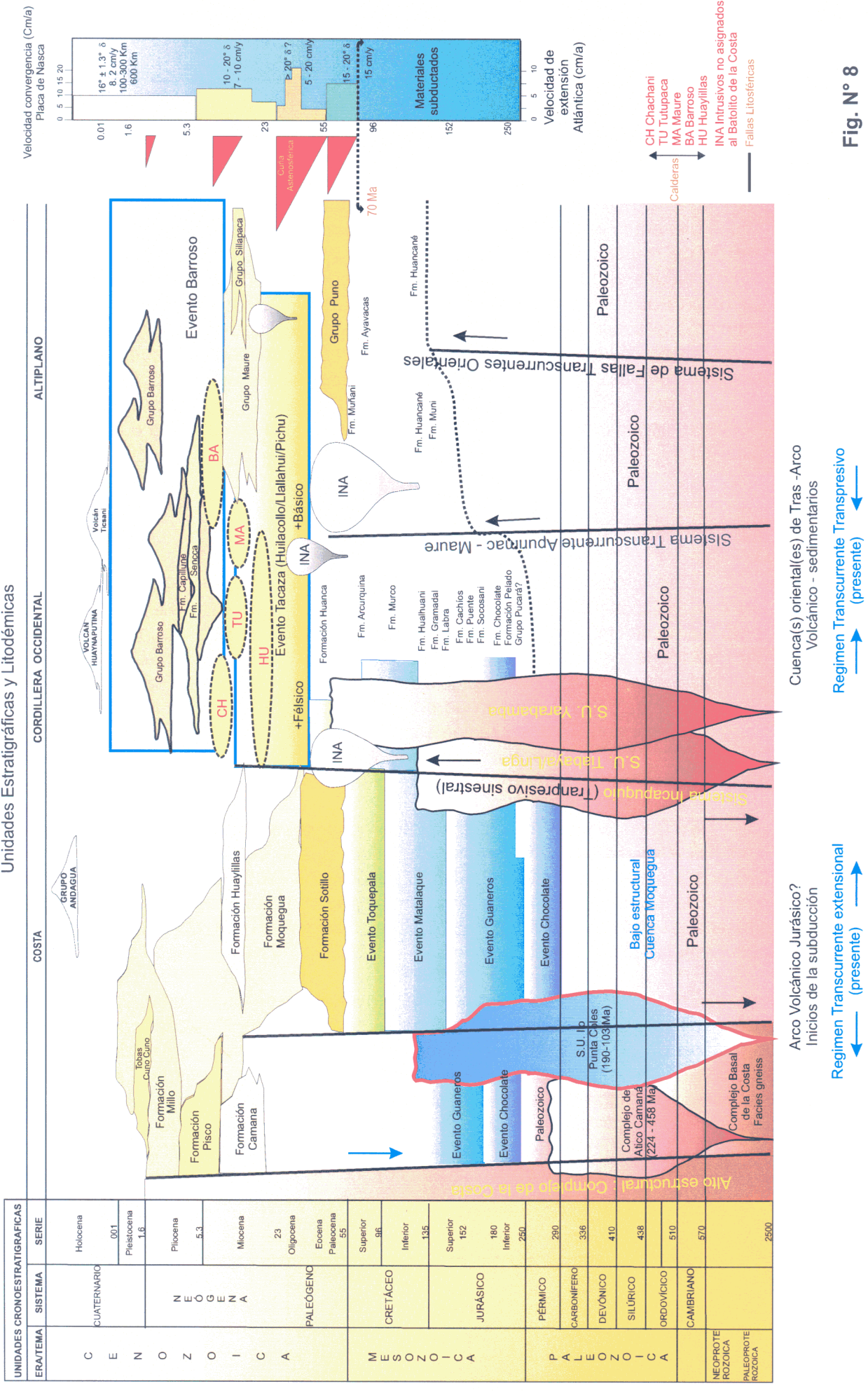
VIII GEOCRONOMETRÍA

Entre los paralelos 16° y 18° sur se realizaron 68 nuevas dataciones radiométricas por K-Ar, en rocas desde el Jurásico hasta el Cuaternario confirmando o revaluando temporalmente las posiciones estratigráficas de las formaciones rocosas. Cabe recalcar que todas los datos aquí presentados se obtuvieron después del cartografiado geológico en el marco de las actualizaciones y revisiones de la Franja N° I, por esta razón varias unidades tendrán que ser revaluadas de acuerdo a sus características petrográficas, geoquímicas y radiométricas (ver anexo N° I). Las unidades volcánicas han sido tratadas como eventos desde el Jurásico hasta el Neógeno por la complejidad de las unidades litoestratigráficas involucradas en una misma serie (Fig. N° 8).

En la carta tecto-magmática puede observarse el fuerte control estructural de las fallas transcurrentes de carácter litosférico que funcionaron posiblemente desde tiempos precretáceos influyendo en la distribución de las secuencias volcánicas y plutónicas. Las S.U. Ilo y Punta Coles se emplazaron en un sistema de cizalla dextral similar a los batolitos de Yarabamba-Tiabaya (anomalías de 31-32 a 70 Ma) cuando la convergencia tenía una dirección N-S.

Entre el sistema Incapuquio y Apurímac-Maure se instaló un régimen de relajación y fallamiento distensivo que originaron anomalías geotérmicas y emplazamiento acelerado de las cámaras magmáticas produciendo colapso de calderas con producción de voluminosos materiales ignimbíticos de edad miocena. Estos importantes episodios magmáticos se encuentran relacionados estrechamente con la velocidad de convergencia de la placa Farallón. Se ha propuesto que para el Cretáceo tardío fue de 150 mm/año con una inclinación de 15° - 20°, aumentando bruscamente a 200 mm/año durante el evento Tacaza con inclinación de 20°. Para el Mioceno tardío

CARTA TECTO-MAGMÁTICA DEL SUR DEL PERÚ: 16° - 18° 30'



y Plioceno, las velocidades de convergencia habrían sido de 100 y 82 mm/año (actual) con una inclinación promedio de 16° (ver Fig. N° 8).

Unidades Volcánicas

Neógeno

En el Grupo Barroso se han datado 24 nuevas dataciones radiométricas secuencias volcánicas principalmente en los cuadrángulos de Tarata, Mazo Cruz y Palca y cuyas edades varían entre menos de 1 y 8,7 Ma. Las edades más jóvenes fueron obtenidas en lavas traquiandesíticas porfíriticas de la estructura volcánica Tutupaca cerca de la carretera Moquegua-laguna de Suches con edades entre 0,224 y 0,285 Ma.

Muestras obtenidas de la estructura Chuquiananta en lavas andesíticas porfíriticas dieron una edad de 3,4 Ma. Eventos datados al oeste del estratovolcán Tutupaca, suroeste de Nazaparco y oeste del estratovolcán Yucamane tienen 4,8, 5,6 y 6 Ma, respectivamente y corresponden a parte de los eventos iniciales del Grupo Barroso. Las interpretaciones preliminares indican como origen de las estructuras volcánicas en este sector están comprendidas entre los 6 y 5 Ma, y al parecer se han emplazado sobre antiguos sistemas de calderas colapsadas del Mio-Plioceno.

En la hoja de Mazo Cruz se han datado secuencias de lavas y piroclastitas en estructuras volcánicas pertenecientes al evento Barroso entre los 2,4 y 8,7? Ma, la mayoría de las dataciones fueron tomadas en el extremo sureste de la hoja, en las estructuras Yulaca, Minasa y San Francisco de Pachapaqui, según las dataciones el estratovolcán Yulaca con 2,64, 2,6 y 2,4 Ma, representa el evento más joven si se compara con San Francisco (6 Ma) y Minasa (5,5, 7,5 Ma). Sus lavas son andesítica porfíriticas con plagioclásas flotantes en matriz fina. En el sector norte las lavas andesíticas porfíriticas aflorantes en el cerro Pucará (carretera Mazo Cruz-Pizacoma) tienen una edad de 8,3 Ma, correspondiendo a eventos antiguos del Barroso; los autores en este lugar han conservado la denominación de Grupo Sillapaca por sus características petrográficas y lito-morfoestructurales similares al de la cordillera del mismo nombre. (CERRÓN, F. & VALDIVIA, J., 2000)

El problema de la Formación Sencca

En la carretera Huaytire-Mazo Cruz aflora una secuencia de tobas claras con biotitas poco soldadas subhorizontales que sobreyacen a sedimentitas de la Formación Maure (próximo a San Agustín-Santa María), que fue asignado a la Formación Sencca por sus características litológicas y posición respecto al estrato original. Las dataciones realizadas indican una edad de 8,7, 7,5 y 7,6 Ma (cerca de la base y próximo al tope), lo cual descarta su pertenencia a esta última unidad debiendo co-

rresponden a flujos piroclásticos prebarroso. Esta unidad conforma la plataforma ignimbritica originaria de colapso y vaciado en un sistema de calderas posiblemente distribuidas en el sector Occidental (arco de Vizcachas-Suches), o en todo caso podría corresponder a los flujos piroclásticos tardíos de la Formación Maure.

En la cumbre del cerro Sílice (estratovolcán Yulaca) se dató un mineral de alteración (alunita), en una extensa zona, tiene una edad de 2,64 Ma que sugiere que los fluidos hidrotermales se emplazaron durante este periodo.

Omate: Al norte del volcán Ticsani, en la localidad de Sayacuesta, lavas andesíticas porfiríticas del complejo volcánico Moraline fueron datadas en 0,5 Ma. Corresponden a uno de los últimos eventos efusivos de características fluidales que han dado lugar a embalsamiento de antiguos valles pleistocénicos. Asimismo en el cerro Totorane una muestra obtenida en tobas riodacíticas con abundante biotita tienen una edad de 8,3 Ma que puede correlacionarse a los flujos piroclásticos observados en Tarata – Mazocruz, y corresponden a una plataforma prebarroso que ha sido asignada en la actualidad como parte del Grupo Maure (QUISPESIVANA, L. & ZAPATA, A., 2000)

Palca: Tres dataciones realizadas en los estratovolcanes Cónedor Pico (2,6-2,7 Ma) y Queñuta (3,1 Ma) en lavas porfiríticas, muestran sistemas volcánicos más jóvenes asociados a zonas de extensión como consecuencia del sistema transcurrente dextral Apurímac-Caylloma-Maure, que originó estructuras volcánicas circulares como consecuencia del colapso de la caldera Maure. Los cuerpos subvolcánicos asociados al volcanismo del Barroso afloran en el cerro Pacocahua representando la cámara magmática riolítica-porfirítica con una datación de 3,4 Ma.

Una datación de 3,3 Ma? obtenida cerca de Cruzpujo-Chinchillane (río Uchurume) en tobas blancas con biotita, es asignada a la Formación Sencca (MONGE, R. & CERVANTES, J., 2000), corresponde a plataformas basales ignimbriticas de un volcanismo del Barroso entre el evento de 2 y 5 Ma, lo cual marca el diacronismo entre estos flujos piroclásticos. Esto no sería compatible en tiempo ya que habría más de una plataforma piroclástica, separadas por intervalos muy largos.

En el sector sur del arco del Barroso, en la quebrada Toquela se dataron lavas porfiríticas en roca total, con una edad de 3,5 Ma. Esta estructura en forma de colada, al parecer, corresponde a los primeros eventos efusivos del volcanismo, que sugiere que el arco Barroso es muy joven en esta parte, en comparación con otras estructuras más viejas como Sillapaca o la faja volcánica Chuquiananta ubicada más al occidente de este complejo volcánico.

Huaytire: Tres dataciones realizadas en la Formación Vizcachas (GALDOS, J. & TICONA, P., 2000) compuestas por tobas pardas líticas con cuarzo, biotita y pómex, y distribuidas a lo largo del río Vizcachas, tienen edades entre 8,5, 8,7 y 9 Ma, lo cual apoya la idea de un gran evento piroclástico entre los 10 y 8 Ma y que puede

atribuirse a las facies finales de la Formación Maure. Las diferencias litológicas y cambios rápidos de facies laterales hacen difícil la correlación litológica.

Punta de Bombón: En el cerro Piedra Grande-El Fiscal, se tomó una muestra de la Formación Milló en tobas y brechas volcánicas (SÁNCHEZ, A. & ROSELL, W., 2000) que se encuentran subhorizontales inconformes sobre intrusivos jurásicos, la edad obtenida fue de 8,7 Ma que corresponde en equivalencia al evento piroclástico en el tope de la Formación Maure desarrollada en la Cordillera Occidental.

Mollendo: Al NO de la ciudad, afloran inconformes al batolito Atico-Camaná secuencias sedimentarias continentales asignadas a la Formación Milló (SÁNCHEZ, A. & ROSELL, W., 2000). Una intercalación de tobas con biotita fresca tiene una edad de 3,8 Ma, la cual es más correlacionable con la localidad tipo descrita en la quebrada Milló, en Aplao y está relacionada al evento Sencca. Estos datos entre 2 y 8 Ma, para la Formación Milló hacen improbable que sean parte del mismo evento y lo más seguro es que existan dos períodos de paroxismos piroclásticos., El evento Clemesí entre los 8 y 10 Ma depositó tobas en la cuenca intramontañosa de Huaytire-Mazo Cruz-Arequipa-Aplao que a su vez, incursionaron occidentalmente en la cuenca Moquegua y al parecer no llegaron a los contrafuertes del Complejo Basal de la Costa y el Arco Volcánico Jurásico. Otro evento estaría entre los 4 y 2 Ma, que se depositó entre Arequipa y Tarata y cuyas facies occidentales incluso se encuentran inconformes sobre el Complejo Basal de la Costa en la Faja Costanera.

Formación Huilacollo: Esta unidad ha sido reconocida y datada en las hojas de Tarata y Palca, la primera ubicada en el cerro Estrone o Huyusto compuesta por lavas andesíticas porfiríticas, se encuentra a manera de un alto estructural limitado por piroclastitas y eventos lávicos del Grupo Barroso. La edad obtenida de 21,3 Ma, muestra una correlación con secuencias efusivas posteriores a la colmatación de la cuenca por la Formación Tarata superior (secuencias lagunares) con posterior deslizamiento de la cuenca. Esta relación discordante puede observarse al sur de la laguna Aricota en Cerro Negro. En cambio, en la hoja de Palca, las relaciones no son claras, la edad obtenida en el río Azufre (hito 55, frontera Perú-Chile) tiene una edad de 11,2 Ma (MONGE, R. & CERVANTES, J., 2000), una edad muy joven para este volcanismo; la muestra fue obtenida en lavas porfiríticas grises siendo muy probable que esté asociado con el evento Clemesí y que exista un contacto no cartografiado que se encuentre adosado a la Formación Huilacollo.

También en Omate, secuencias similares afloran en Carumas, discordantes sobre el Grupo Puno y en la cuenca del río Coralaque, donde lavas de composición andesíticas, aglomerados y brechas rosadas, tienen una edad de 11,8 Ma y se encuentran asignadas a la Formación Pichu. Es evidente que la edad obtenida es totalmente inferior con el estratotipo original entre 30 y 50 Ma (Paleógeno-Neógeno), posiblemente la edad obtenida corresponda a un evento volcánico posterior equivalente al volcanismo similar en Palca, Huaytire o Mazo Cruz (Barroso temprano? o Sillapaca?). Está por comprobarse si lo que se encuentra suprayaciendo al Grupo Puno en Carumas

sea realmente la Formación Pichu o un equivalente de la Formación Samanape del sector de Moquegua como parte del evento Tacaza.

Formaciones Moquegua-Samanape: Dos nuevas dataciones realizadas en la Formación Moquegua al NE de Clemesí y SE de Puquina tienen una edad de 25,6 y 28 Ma, respectivamente (SÁNCHEZ, A. & ROSELL, W., 2000; ATENCIO, E. & ROMERO, D., 2000) y corresponden a tobas blancas con biotita bien distribuidas y frescas que se intercalan con secuencias de conglomerados subhorizontales y se encuentran discordantes sobre el Grupo Toquepala (Qda. Honda). Comparando con edades similares del cerro Baúl (25 Ma) al norte de la ciudad de Moquegua y otras, la correlación es buena, la edad de 28 Ma, es a la fecha la más antigua encontrada para la Formación Moquegua superior (Oligoceno). Las tobas intercaladas con las facies de conglomerados fluctúan entre 25 y 28 Ma (Oligoceno tardío), lo que hace probable que la Formación Sotillo incluso abarque parte del Eoceno y esté depositado en un ambiente tectónicamente pasivo poco después del volcanismo Paleoceno que expulsaron los flujos piroclásticos del Grupo Toquepala superior (Formación Samanape), Grupo Tacaza y Huilacollo?. La formación de los mantos ignimbriticos asociadas al evento Huayllillas y que comprende parte de las facies finales de las formaciones Moquegua y Huilacollo han sido originadas en calderas de colapso producto de la deformación transcurrente entre los sistemas de falla Incapuquio y Apurímac-Maure, produciendo áreas anómalas de distensión que fueron aprovechadas por el magmatismo que en esa época fue muy abundante debido a la mayor velocidad e inclinación de la placa de Nasca (ver Fig. N° 9)

El Problema de la Unidad Samanape es parte del evento Tacaza?

Esta unidad fue redefinida en la hoja de Moquegua (MARTÍNEZ, W. & ZULOAGA, A., 2000) como parte de la Formación Quellaveco sobrejacente de la unidad Carpanito e infrayacente del subvolcánico Yarito de posible edad Paleoceno-Eocena, con edades radiométricas de $51 \pm 1,6$ Ma, cerca de la mina Cuajone, que corresponden a volcánicos andesíticos (Miembro inferior) y de $35,2 \pm 1,3$ Ma, en el cerro Laranpahuare en tobas grises (Miembro superior). Al no existir más datos geocronométricos se considera probable que esta unidad sea contemporánea o parte inicial del gran evento Tacaza, en la secuencia superior como mínimo por su similitud petrográfica y geoquímica (MARTÍNEZ, W. & ZULOAGA A. D., 2002). En Tarata, en la margen izquierda del río Tala se hizo muestreo en lavas porfiríticas asignadas a la Formación Samanape (DE LA CRUZ, N. & DE LA CRUZ, O., 2002), que suprayacen discordante a volcanitas gris marrones de la Formación Matalaque. La edad obtenida fue de 24,6 Ma, una cifra muy cercana al evento Tarata inferior que aflora a sólo 5 km al NO de Tala, en el cerro Covarirca y que tiene una edad de 23,2 Ma, mientras que las facies del río Sume son más efusivas, en el cerro Covarirca son flujos piroclásticos y brechas volcánicas que conservan similares características

petrográficas, morfoestructurales y geocronométricas que en otros sectores como Moquegua y Omate. Se puede concluir que las unidades Samanape, Pichu, Huilacollo y Tarata, en realidad están incluidas dentro del evento Tacaza.

La evaluación geoquímica preliminar hecha en el sector oriental de la hoja de Moquegua infiere una fuerte variación geoquímica de las secuencias volcánicas con un alto contraste en las REE (La/Yb), en comparación con el Grupo Toquepala superior (Formación Quellaveco *sensu strictus*). Así mismo el bajo fraccionado de elementos mayoritarios y trazas evidencian poco desarrollo de su evolución en relación al fuerte marco evolutivo del Grupo Toquepala inferior, en la Formación Huaracane (ver Caracterización Geoquímica Fig. 11-14).

Las relaciones estratigráficas con la Formación Huilacollo datadas en 21,3 Ma, al norte de Candarave no son del todo claras, pudiendo corresponder al evento volcánico efusivo asociado con facies posteriores a la unidad Samanape.

Para mayor detalle de las unidades volcánicas (ver Fig. N° 10) datadas en relación con la estratigrafía de la región y su posición geográfica.

Grupo Toquepala

Cinco nuevas dataciones han sido realizadas en la hoja de Moquegua sector NO, a lo largo de la carretera Moquegua-Torata-Otora, cuatro de ellas en el cerro Los Ángeles, se tomaron muestras en ignimbritas muy soldadas, cristalolíticas con cuarzo libre y pocos líticos, las edades halladas muestran un rango de 71, 71,4, 72,4 y 71,6 Ma. La edad de 72,4 Ma pertenece a las secuencias inferiores (faldas del cerro), mientras que las tres edades restantes corresponden al tercio superior, la finalidad asociada era obtener la riolita internacional y el tiempo geocronométrico promedio. Una quinta edad de 65 Ma fue obtenida en los alrededores del pueblo de Otora, sobre lavas andesíticas afaníticas grises que suprayacen a niveles sedimentarios de limolitas, areniscas y gravas consolidadas rojizas. Estos niveles continentales/lacustres corresponden al paso KT (Cretáceo-Paleógeno) y cuyas posiciones litoestratigráficas son similares a las halladas en la cuenca del río Sama (Pachía).

Estos nuevos datos cambian el concepto sobre la edad del Grupo Toquepala que anteriormente, otros autores sugirieron que comenzó alrededor de los 60 Ma (VATIN-PERIGNON, N. et al., 1982) en el cerro Los Ángeles y que posteriormente (BOILY, R. LUDDEN, J. N. & BROOKS, C., 1990; BOILY, R., BROOKS, C. & JAMES, D. E. 1984) plantean en 100 Ma?; pero sin referencia del lugar ni unidad obtenida, la mayoría de las dataciones en realidad se han hecho sobre la base de la Formación Quellaveco (ZINERMANN, J. L. & KIHLEN, A., 1983) razón por la que la mayoría de los autores se refieren a estos datos.

DESARROLLO PROBABLE DE LAS CALDERAS MIOCÉNICAS

Chachani - Tutupaca - Maure - Barroso/Lauca/Payachata

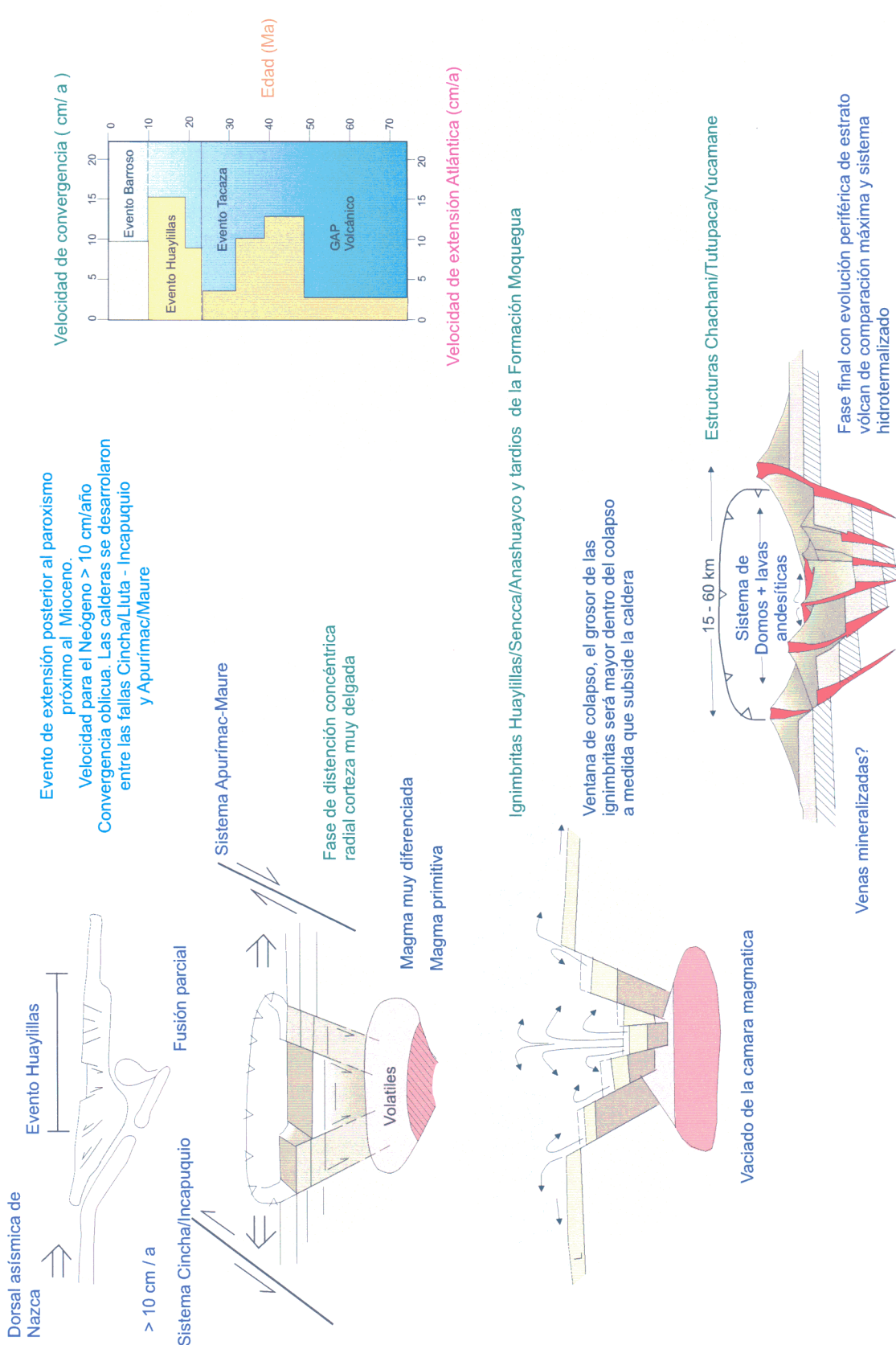


Fig. N° 9

El presente estudio ha demostrado que las secuencias datadas anteriormente en el cerro Los Ángeles en alrededor de los 60 Ma, en realidad tienen entre 71 y 72 Ma y queda por averiguar la base del grupo que aflora bastante bien y poco alterado en la quebrada Guaneros (Clemesf).

La edad obtenida en Chinchare (Omate) es de 75 Ma, donde parece ser la base de la Formación Huaracane y no necesariamente corresponder al inicio del volcanismo Toquepala ya que ésta se encuentra sobreyaciendo indistintamente tanto a la Formación Matalaque como a la Formación Guaneros. En la quebrada Guaneros podría obtenerse con mayor seguridad, una edad próxima a los primeros eventos piroclásticos por existir un conglomerado basal (25°) discordante sobre lavas grises muy inclinadas (60°) atribuidas a la Formación Guaneros.

Formación Chocolate

En la hoja de Puquina, próximo a la mina Chapi aflora una secuencia de volcanitas macizas conformando al parecer, un sinclinal sobre el Grupo Yura, esta secuencia ha sido atribuida a la Formación Matalaque (ATENCIO, E. & ROMERO, D., 2000) basándose en relaciones similares observadas entre Omate y Puquina; sin embargo la edad obtenida en el cerro Volcancillo es de 168 Ma que no es compatible en tiempo con esta unidad estratigráfica, es probable que sean secuencias pertenecientes a la Formación Chocolate tardía? como fue cartografiada en la década del 60 (SZEKELY, T.S., 1963) basándose en la petrografía y correlaciones con su similar de Arequipa.

Unidades Intrusivas

Batolito Challaviento

Tres nuevas dataciones realizadas en tonalitas y granodioritas en las localidades de Tarata y Palca confirman la edad indicada en trabajos anteriores. La primera de 41,6 Ma fue tomada en el cerro Pícaro, 3 km al SO de Tarata, en tonalitas que intruyen a las calizas de la Formación Gramadal y son cubiertas en disconformidad por las secuencias volcánicas de la Formación Tarata inferior que sugiere una diferenciación magmática de SO a NE (carretera de Tarata a Solobaya) que pasan a granodioritas y más al oriente, en el cerro Tengañe a sienogranitos, las relaciones estratigráficas con la roca caja no están aún establecidas; pero dada la estructura regional de los buzamientos en unidades jurásicas (Grupo Yura) con inclinación al NE, es posible que estas unidades se comporten como «placolitos» como puede comprobarse por la regla de la «v» producto de la erosión en las quebradas Salla, Cachetada y río Tarata.

Cuadro de correlación estratigráfica (16°-18°30' Sur)

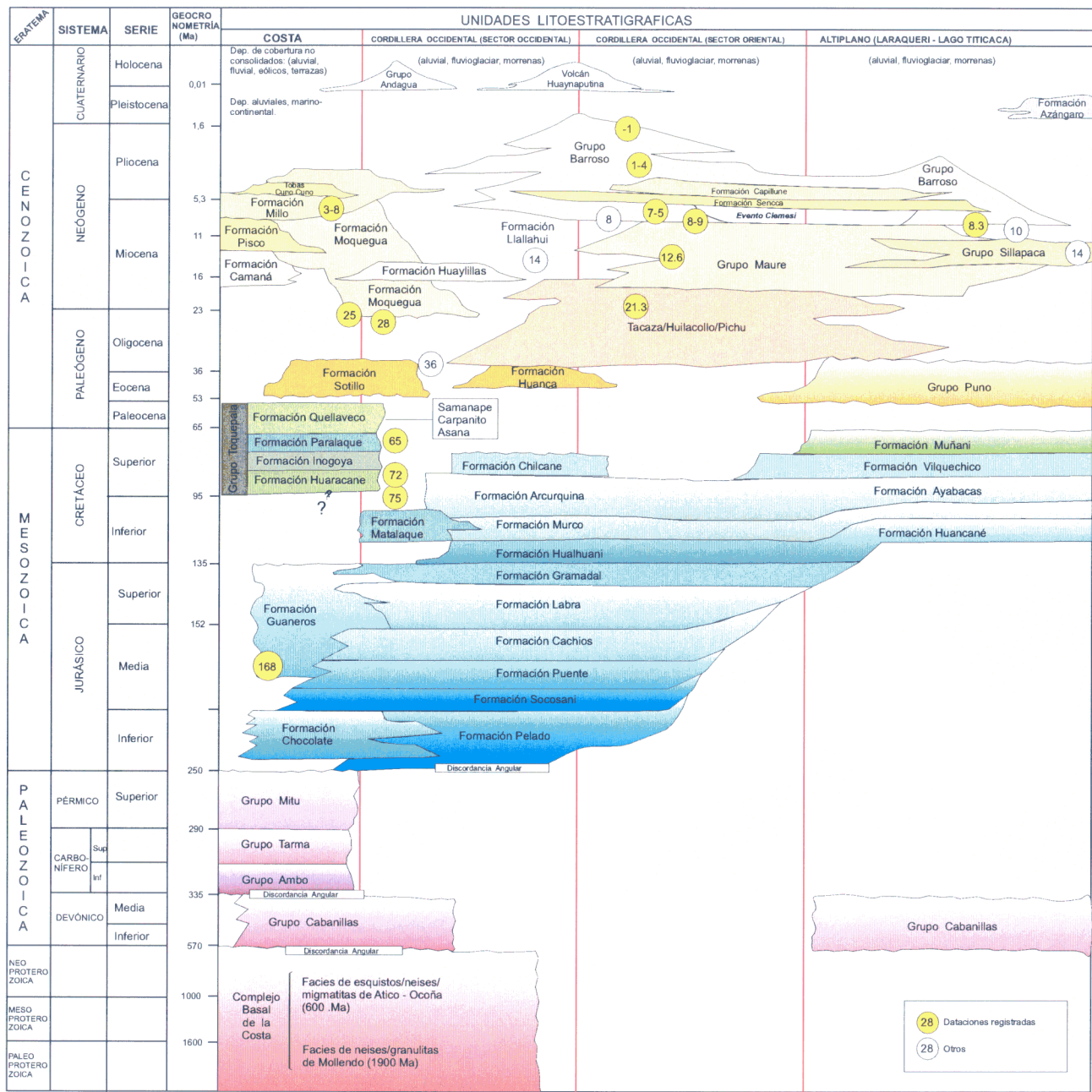


Fig. N° 10

Después de Sánchez y León 2001

La muestra para la segunda datación de 46,6 Ma fue tomada en el cerro Pachaza y una tercera en el cerro Autencane (quebrada Quilla) con una edad de 43,7 Ma. La primera muestra está constituida por sienogranitos muy similares a los plutones aflorantes al NE de Tarata, intruyen a las areniscas de la Formación Hualhuani y se encuentran en disconformidad con la facies de la Formación Tarata inferior, la segunda edad pertenece a la misma faja intrusiva de Challaviento con edades reportadas anteriormente de 39 y 45 Ma.

Un problema de edad en esta unidad se ubica al extremo NO de la hoja de Palca, en la quebrada Chuchuma, cartografiado como Challaviento y se prolonga al norte hasta la parte oriental del pueblo de Tarata, la edad obtenida en granodioritas es de 15,5 Ma, lo cual indica que este cuerpo o parte de él sean pulsos posteriores y que se diferenciaron del batolito principal.

Superunidad Yarabamba

El Batolito de Yarabamba ha sido datado en 5 sectores con edades correspondientes entre 60 y 84 Ma.

- a) Clemesí: En la quebrada Tunaquea se dató en 81 Ma? unas granodioritas de hornblendas asignadas a la Superunidad Yarabamba, que intruye al Grupo Toquepala indiferenciado y es cubierto en forma disconforme por la Formación Millo del Mioceno tardío.
- b) Moquegua: La mina Tojenes está ubicada entre Toquepala e Ilabaya, consiste de un gran cuerpo de diorita y granodioritas que intruyen a las facies volcanoclásticas de las formaciones Quellaveco (unidad Samanape), Paralaque y Matalaque. Se encuentra limitada por el occidente con el sistema transpresivo Incapuquio. La edad obtenida en este sector fue de 60,4 Ma, datada en aplitas que cortan el cuerpo diorítico mayor. Estos diques podrían corresponder a las diferenciaciones monzoníticas que intruyen a esta unidad más al norte, entre la mina Toquepala y Cuajone que reportan edades próximas entre 58 y 65 Ma (MARTÍNEZ, W. & ZULOAGA, A., 2000).
- c) La Joya: En el sector SO entre las pampas de Camaroneros y Crucero (cerro Botija) monzogranitos han sido datados en 84 Ma, (VALENCIA, M. & CHACALTANA, C., 2000) es probable que sean pulsos magmáticos tardíos asociados a la Superunidad Linga que en la región están representados por monzodioritas.
- d) Palca: En el cerro Autencane-quebrada Quilla un pequeño cuerpo intrusivo de composición granodiorítica intruye a secuencias volcánicas de la Formación Matalaque con una edad de 70,1 Ma, igualmente en el paso Huayllillas Sur, 5 km al sur de la muestra anterior ha sido datado un cuerpo que intruye a

la Formación Hualhuani en 74 Ma. Estos intrusivos se alinean al este del sistema transpresivo Incapuquio.

Superunidad Punta Coles

En la hoja de la Joya, en el cerro Escalera se dataron unas monzodioritas cuarcíferas que se encuentran en contacto fallado con el complejo basal en 170 Ma.

Intrusivos No Asignados al Batolito de la Costa

En base a sus relaciones estratigráficas y geocronométricas se ha diferenciado cuerpos subvolcánicos y plutónicos no asignados al batolito de la costa, efectuándose cuatro dataciones en sectores diferentes:

- a) Ichuña: Una datación en la quebrada Pataqueña, en el extremo oriental de la hoja, donde intrusivos porfiríticos latíticos grises intruyen a secuencias sedimentarias de la Formación Maure indica 8,6 Ma (LIPA, V. & VALDIVIA, J., 2000) que ubican a estos intrusivos en el Mioceno tardío. Es posible que muchos de los cuerpos intrusivos andesíticos distribuidos a lo largo de la faja mesozoica tengan la misma edad.
- b) Puquina: Una muestra tomada cerca del río Esquino, en una secuencia volcánica del Grupo Toquepala indica una edad de 9,2 Ma que denota incompatibilidad geocronométrica, aunque la muestra posee características petrográficas muy similares a la facies de la Formación Huaracane (Moquegua). ATENCIO, E. & ROMERO, D., 2000 niegan la correlación estratigráfica concluyendo que el cuerpo es posterior al evento Toquepala e incluso a la Formación Moquegua formando parte de las facies ignimbriticas proximales que dieron origen a las tobas más occidentales de la Formación Millo. Las pérdidas de Ar por apertura del sistema son poco probables desde la casi nula alteración de la biotita y el control de prefactibilidad obtenido en laboratorio.
- c) Omate: En la quebrada Portillo, (NO de Omate) un cuerpo monzodiorítico que intruye al Complejo Basal de la Costa y al parecer corta a la facies volcanoclástica de la Formación Llallahui tiene una edad de 8,4 Ma. Asimismo un cuerpo mayor de monzodioritas cuarcíferas con más de 15 km de longitud intruye a manera de «placolito» a las volcanitas de la Formación Matalaque y tiene una edad de 11,9 Ma (Mioceno). Estos cuerpos intrusivos al parecer, tienen una correlación en tiempo entre 8 y 12 Ma coincidiendo con los eventos volcánicos post – Huayllillas (evento Clemesi).

IX CARACTERÍSTICAS GEOQUÍMICAS DE LAS SECUENCIAS VOLCÁNICAS E INTRUSIVAS EN LA REGIÓN

Se ha realizado una evaluación preliminar de los elementos mayores, menores y trazas (incluidos REE), que confirma por los resultados encontrados, la «Evolución magmática de los materiales en un sistema abierto con contaminación cortical» a través del tiempo con la evolución de eventos mayores (variación de Sr) y con cristalización fraccionada (sistema cerrado) en los eventos individuales y más específicamente en estructuras volcánicas recientes (poca variación de Sr). El fuerte contraste puede observarse entre la contaminación de unidades neógenas vs. las unidades jurásicas-cretácicas como producto del engrosamiento cortical, el traslado de los arcos magmáticos y los fallamientos profundos (transcurrentes) en dirección este.

Unidades Volcánicas

Secuencias Jurásico-Cretáceas (Guaneros-Mataque)

1) Formación Guaneros

Los datos geoquímicos fueron obtenidos de trabajos realizados en la década del 90 (ROMEUF, et al., 1995) en los sectores de Chala y Río Grande. Estas unidades corresponden en realidad a la Formación Guaneros del Jurásico superior.

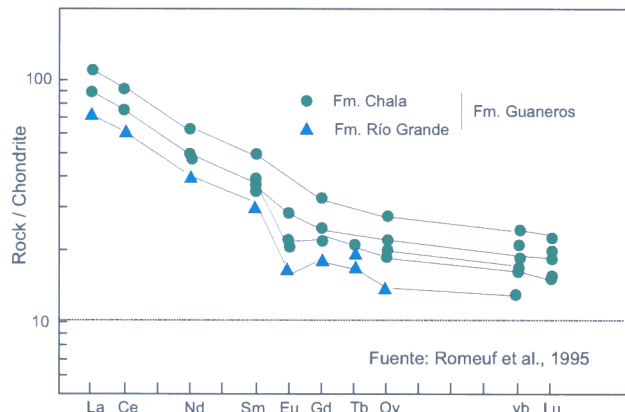
El diagrama de tierras raras normalizadas muestra una concordancia y paralelismo entre las secuencias de Chala y Río Grande con una tendencia marcada en la anomalía de $Eu(-)$ para el sector norte (Fig. N° 11). Asimismo los espectros se encuentran sobre el valor 10 lo que indica alta concentración de LREE y HREE sugiriendo la nula presencia de granate en la fuente principal. Las proporciones La/Yb_N vs Yb_N confirman un campo entre 4 y 6 para las muestras de Chala y un campo >8 para las muestras de Río Grande, esto demuestra posiblemente una corteza poco engrosada entre 30 y 40 km, estas diferencias en los campos pueden indicar incluso que la corteza no era uniforme a lo largo de la margen andina.

2) Formación Mataque

No se ha realizado hasta la fecha una caracterización geoquímica detallada en esta unidad, las muestras obtenidas en Ichuña y Puquina tienen un campo de 8 en la proporción La/Yb_N vs Yb_N (ver Fig. N° 11) que infiere un bajo nivel de contaminación y grosor continental. Su posición litoestratigráfica encima del Grupo Yura y debajo de las calizas cretácicas de la Formación Arcurquina indica su ubicación en el Cretáceo inferior. La sección de Carumas (Omate) muestra un dominio de ambiente continental con presencia de conglomerados, areniscas volcanoclásticas, loidolitas, flujos

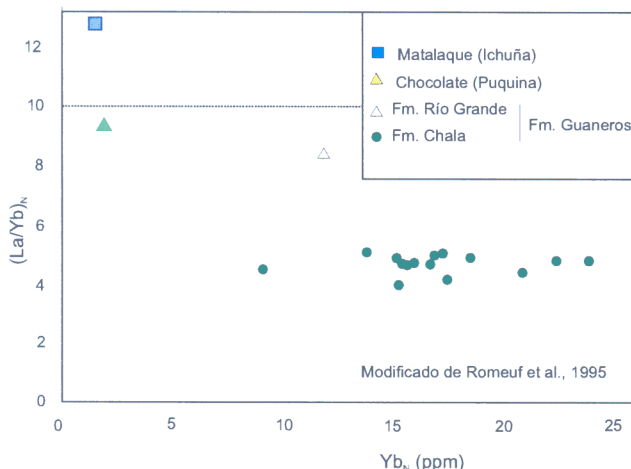
Fm. Guaneros

REEs-Nakamura, 1974

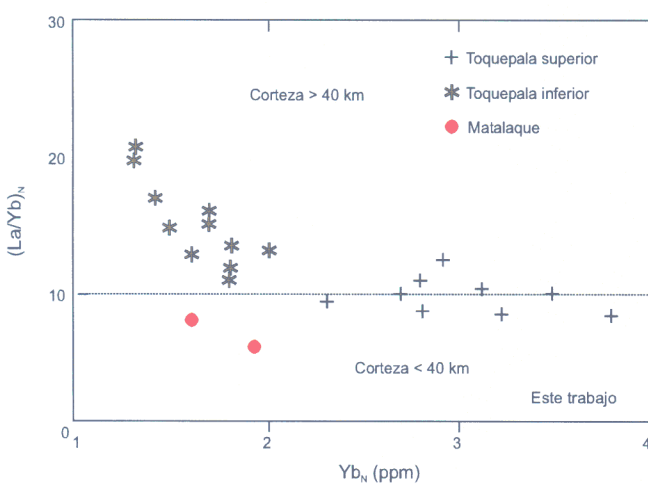


Patrones REE para las volcanitas en los sectores de Chala y Río Grande, normalizados después de Haskin et al., 1968

Fm. Guaneros

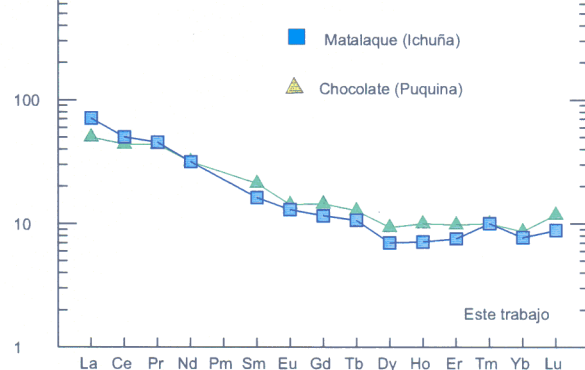


Fm. Matalaque/Gpo. Toquepala



Fm. Chocolate/Matalaque

REEs-Nakamura, 1974



Patrones REE para las volcanitas en los sectores de Puquina (Chapi) e Ichuña (Huarina), nótense el poco fraccionamiento que los espectros de Chala y Rio Grande, posiblemente como consecuencia de la proximidad de alteraciones hidrotermales (anomalía de Huarina/Matalaque y mina de Chapi) normalizados después de Haskin et al., 1968

Rasgo típico de razones LREE con respecto a HREE ($\text{La}/\text{Yb}_N = 4,6$). Para las secuencias lávicas, nótense la constante entre las muestras analizadas, lo cual puede interpretarse aparentemente como originadas en una corteza poco engrosada y desarrollada.

Para las secuencias volcánicas de las unidades Matalaque y Toquepala, pueden diferenciarse preliminarmente dos campos dentro del Grupo Toquepala: uno más fraccionado y aparentemente con mayor evolución (*) y un campo menos diferenciado (+). La unidad Matalaque se encuentra por debajo del vector 10 de La/Yb (●). Las interpretaciones preliminares abordan una inversión en la evolución geoquímica del Grupo Toquepala, la razón podría explicarse en el funcionamiento de fallas litosféricas que aportaron material de elementos incompatibles?

Fig. N° 11

piroclasticos gris rojizos y esporádicas lavas afaníticas grises terminando en depósitos de cenizas? y conglomerados gris rojos. Esta sección muestra un arco volcánico cuyo eje de magmatismo ha migrado en dirección este, en relación con las unidades Chocolate y Guaneros. También se puede mencionar que los cambios de facies son muy radicales, en el norte (efusivo), en el centro volcanoclástico y en el sur (pirocáctico explosivo). Los diagramas REE muestran poco fraccionamiento sin anomalía aparente de Eu para algunas muestras de la Formación Chala.

Secuencias Cretáceas

3) Grupo Toquepala

Para efectos de estudio se ha tomado la caracterización realizada en la hoja de Moquegua (MARTÍNEZ, W. & ZULOAGA, A., 2002) donde se analizaron las formaciones Huaracane, Paralaque y Quellaveco (Carpanito/Asana), a través de los diagramas Harker y tierras raras (REE) estas muestran una relación evolutiva con tendencia a una cristalización fraccional (sistema cerrado).

-*Para el Miembro inferior;* En la Formación Huaracane, las concentraciones mayores de SiO_2 varían entre 65 y 75 %, el Al_2O_3 entre 12 y 15 % y MgO entre 0,2 y 1,3 %, el contenido total alcalino ($Na_2O + K_2O$) se encuentra entre los valores 6 y 10 %, químicamente tiene una variación entre andesitas y riolitas subalcalinas (Figs. N° 12-13).

Para el Miembro superior; La Formación Paralaque tiene 56 % de SiO_2 , 16 % de Al_2O_3 , 4 % de MgO y álcalis $Na_2O + K_2O$ 5 % (ver Figs. N° 12-13).

La Formación Quellaveco está representada por las unidades Asana, Carpanito y Samanape. La unidad Carpanito presenta una composición química entre traquiandesitas y traquiandesitas a basaltos. Las riolitas de la unidad Asana varían hacia composiciones más diferenciadas aunque se encuentran infrayaciendo a Carpanito. La génesis para la primera secuencia puede ser producto de fallas profundas que contribuyeron en el transporte de material menos contaminado.

- * La Unidad Asana (equivalente a Tinajones) tiene entre 76 y 77 % de SiO_2 , 12 % de Al_2O_3 , 4 % de MgO y álcalis $Na_2O + K_2O$ 5 %, geoquímicamente están en el campo de las riolitas.
- * La Unidad Carpanito baja su concentración de SiO_2 entre 55 y 60 %, Al_2O_3 entre 14 y 18 %, MgO entre 1,5 y 4 % y $Na_2O + K_2O$ se encuentra entre 5 y 10 %; geoquímicamente se encuentra en el límite de andesitas basálticas a andesitas.

Grupo Toquepala

Clasificación Litoquímica

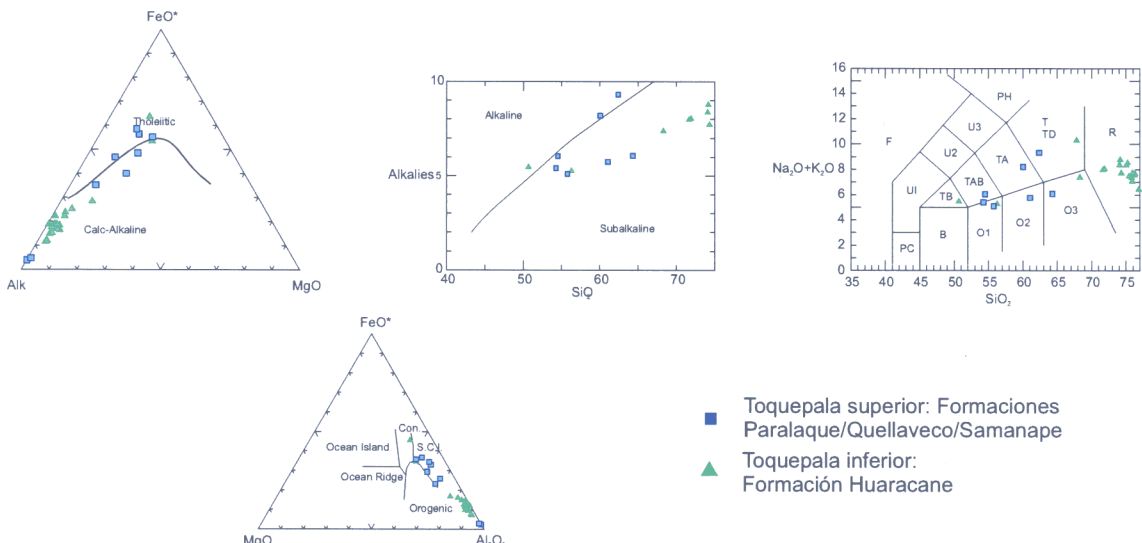


Fig. N° 12 El Grupo Toquepala ha sido dividido en superior e inferior para poder discriminar en forma general los diversos materiales volcánicos. La secuencia inferior muestra una alta diferenciación que abarca mayormente el campo de las "riolitas" con alto sílice ($>70\%$ de SiO_2). Petrográficamente son flujos de tobas lapilli muy soldadas, con intercalaciones de debris flow, esta característica contrasta fuertemente con las facies terminales de la Formación Guaneros que son andesitas basálticas, la zona de transición entre estas dos unidades es muy discutible, al parecer existe una ligera discordancia angular observada al NO de la hoja de Clemesí (Pampas de Guaneros). En algunos sectores (sector oriental de la clemesi), existe una transición geoquímica por el incremento de SiO_2

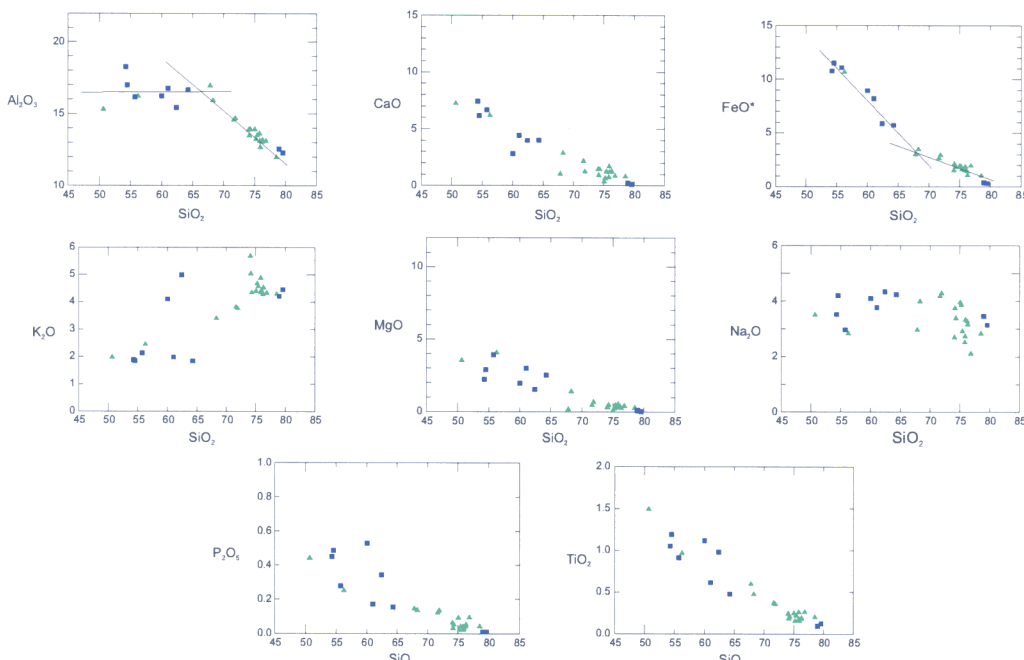


Fig. N° 13 La caracterización geoquímica en los elementos mayoritarios a través de los diagramas Harker, se interpretan como un fraccionamiento lineal independiente para cada campo (superior / inferior) y que está fuertemente marcado en el punto 65% de SiO_2 , la secuencia inferior de composición riolítica muestra un fraccionamiento del Al, K en el tiempo enriqueciéndose de alcalis con el incremento de la sílice, mientras que los elementos máficos: Fe, Mg, Ti o Ca se empobrecen inversamente. La interpretación no corresponde a una evolución correlativa entre ambas secuencias, el contraste geoquímico demuestra dos magmatismos diferentes: las facies inferiores corresponden a materiales diferenciados felsicos y altamente "contaminados" mientras que las facies superiores menos evolucionadas e intercaladas incluso con mantos de lavas andesita-basalto pueden corresponder a los inicios del evento Tacaza?, con lo cual parte de las niveles superiores del Grupo Toquepala (Formaciones Quellaveco/Samanape) geoquímicamente no pertenecerían al fraccionamiento de las secuencias inferiores.

Elementos Mayoritarios (Harker)

- El Fe es compatible en el rango composicional tanto para las secuencias inferiores como para las superiores, esta última rápidamente es empobrecida hasta el rango 65-75 % de SiO_2 , se infiere que es asimilado en la biotita (inferior) y ortopiroxeno (superior).
- El Ti es compatible asimilándose posiblemente en la magnetita (opacos) o titanio magnetita.
- Para el Na y K, la unidad Carpanito muestra incompatibilidad mientras que la Formación Huaracane tiene comportamiento compatible entre los rangos 65 y 78 % de SiO_2 como consecuencia de la incorporación en las estructuras de las plagioclásas.
- El Mg se comporta compatible; para la unidad Carpanito el Mg tiene una fuerte disminución a partir de 55 % - 60 % de SiO_2 el cual puede interpretarse como incorporación en los núcleos de crecimiento de ortopiroxeno, mientras que para Huaracane el SiO_2 está entre 65 y 78%, se encuentra más diferenciada y su evolución geoquímica está controlada por el fraccionamiento de la biotita.
- Por último, tanto el Al como el Ca disminuyen en ambas unidades con el aumento de SiO_2 (55-78 %) que son absorbidas por la plagioclasa.

Elementos Traza REE

Los estudios preliminares de los patrones y espectros entre los elementos LILE/HFSE y las tierras raras ligeras y pesadas; LREE / HREE indican lo siguiente:

- * Para las tierras raras (REE) los gráficos nos demuestran una cristalización fraccionada tanto para la Formación Huaracane como para la Formación Quellaveco (miembros Asana y Carpanito) el espectro muestra un subparalelismo en todas las unidades. La pendiente es baja en su mayoría y se encuentra en el rango 10 a excepción de la unidad Carpanito (<10) sugiriendo poco fraccionamiento del magma (Fig. N° 14). Igual relación puede concluirse de la unidad Asana observándose empobrecimiento en LREE que sugiere poco fraccionamiento del magma en comparación con las otras unidades. La anomalía de Eu negativa en todas las muestras, puede indicar la cristalización fraccionada de la plagioclasa al 10 %. Otra posibilidad sería que esta anomalía se deba a la asimilación anterior de hornablenda o clinopiroxeno en las fases iniciales, aunque la presencia de estos minerales no forma una importante acumulación en los materiales eyectados debido posiblemente, a que nunca lograron ser extraídos de la cámara magmática. La escasa pendiente de los espectros, en algunos casos próximos al parámetro 10 puede ser debido a la poca presencia de granate en la fuente, siendo menos posible

la interacción de olivino o piroxeno, ya que estas generalmente tienden a formar cúmulos en las fuentes magmáticas (gravedad), distorsionando las interpretaciones petrogenéticas.

Multielemental LILE/HFSE: (Spider) éstas fueron normalizadas al MORB (WILSON, M., 1995). Los gráficos de todas las unidades analizadas, muestran un típico espectro tipo marco tectónico por subducción (margen convergente) con altos contenidos en *K*, *Rb*, *Ba* y *Th* (LILE) y bajos valores en *Ta*, *Y* (HFSE). La anomalía negativa de *Nb* > 1 (Huaracane) y menor (Asana y Carpanito) son muy típicos en estos tipos de marco (WILSON, M., 1995; WINTER, J. D., 2001). El *Nb* > 1 (Huaracane) evidencia contaminación cortical, *Nb* próximo a 1 (Asana-Carpanito) puede indicar poca contaminación cortical en los procesos magmáticos.

Es notorio que la concentración LILE está en función del comportamiento de las fases fluidas, mientras que HFSE son controladas por la química del fundido original y la relación en los procesos cristal/fusión que han tomado durante la evolución de las rocas (Fig. N° 14).

Razones La/Yb_N vs. Yb y variantes

Razones La/Yb_N se encuentran para todas las unidades entre 5 y 20. La Formación Huaracane tiene un rango La/Yb_N entre 10 y 20 y < 2 en *Yb*, mientras que la unidad Asana se encuentra entre 5 y 8 para La/Yb_N y < 2 en *Yb*. La unidad Carpanito evoluciona al parámetro 10 (La/Yb_N); pero con alta concentración de *Yb* (3-4 ppm). Las razones *Ba/La* y *La/Sm* se encuentran entre 24-72 y 5-13 respectivamente, los gráficos La/Yb_N vs. *Yb* y La/Sm vs. La/Yb muestran una buena diferenciación de las secuencias volcánicas estudiadas. Los campos menos evolucionados están representados por la unidad Asana que evoluciona a materiales más fraccionados y contaminados (Carpanito).

Una observación plantea que la Formación Huaracane como base del Grupo Toquepala parte de un alto fraccionamiento ($\text{La}/\text{Yb}_N = 10-20$) y que aparentemente las secuencias suprayacentes son menos evolutivas. Puede interpretarse como una «inversión» del magmatismo que por efecto de fallamientos profundos, contribuyen con el aporte de material mantélico Enriquecido en elementos incompatibles. De acuerdo a las razones observadas puede interpretarse que durante el origen y segregación de los materiales para el Grupo Toquepala, el grosor cortical ya era superior a los 40 km ($\text{La}/\text{Yb}_N > 10$; $\text{La}/\text{Sm} > 5$), las anomalías para la unidad Asana ($\text{La}/\text{Yb}_N < 10$) y Carpanito ($\text{La}/\text{Yb}_N = 10$) pueden ser producto de fallamientos regionales de profundidad tipo transcurriendo que contribuyeron con el aporte de materiales menos fraccionados (ver Fig. N° 15). En resumen, las secuencias del Grupo Toquepala indican un engrosamiento cortical a partir del Jurásico terminal, con el emplazamiento de cuerpos intrusivos subvolcánicos y las Superunidades Punta Coles, Ilo y Yarabamba. Se encuentran aso-

ciados estrechamente con sistemas transcurrentes profundos que permitieron el emplazamiento de materiales primitivos (Carpanito) desarrollándose la diferenciación geoquímica mayormente, en el Paleógeno (Grupo Tacaza) involucrando posiblemente a facies terminales del Grupo Toquepala (Formación Quellaveco) y que incluso puede hablarse del inicio del evento Tacaza.

4) Secuencia Post-Paleocenas; Tacaza-Huilacollo-Pichu

El evento Tacaza tiene sus correlaciones laterales con secuencias contemporáneas como Huilacollo (Tarata), Llallahui (Ichuña), Pichu (Omate) e incluso con parte del Grupo Toquepala tardío (unidad Samanape²). Estas unidades se encuentran mayormente en el campo de las andesitas y traquidacitas, serie subalcalina y subserie calcoalcalina (Fig. N° 16), su edad está comprendida entre 25 y 40 Ma.

Elementos Mayoritarios (Harker)

- * El Ti es compatible entre el rango 60 y 70 % de SiO₂, es posible su asimilación en los minerales opacos que se encuentran presentes en las secuencias volcánicas de magnetita.
- * El Mg es compatible en los rangos de 60 a 70 % de SiO₂, pero con fuerte asimilación entre los rangos 60 y 65 % de SiO₂ que sugieren la incorporación en la hornblenda y biotita que se encuentran de manera muy característica en estas unidades.
- * La disminución del Al y Ca en las series con el incremento paulatino de SiO₂ (60-70 %), indica el fraccionamiento de plagioclásas en el magma.
- * La presencia de P, de manera compatible en las unidades indica la presencia de apatito en el magma original (ver Fig. N° 17).

Elementos Traza REE

Cada unidad presenta un espectro independiente, la similitud entre los espectros son muy regulares tanto para Tacaza, Pichu o Huilacollo que denotan un fraccionamiento alto de las REE con pendiente moderada y una imperceptible anomalía negativa de Eu (-). Estos espectros indican un enriquecimiento de LREE (50-100) y empobrecimiento de HREE (4-10) que pueden sugerir la presencia de granate en la fuente inicial.

Grupo Toquepala

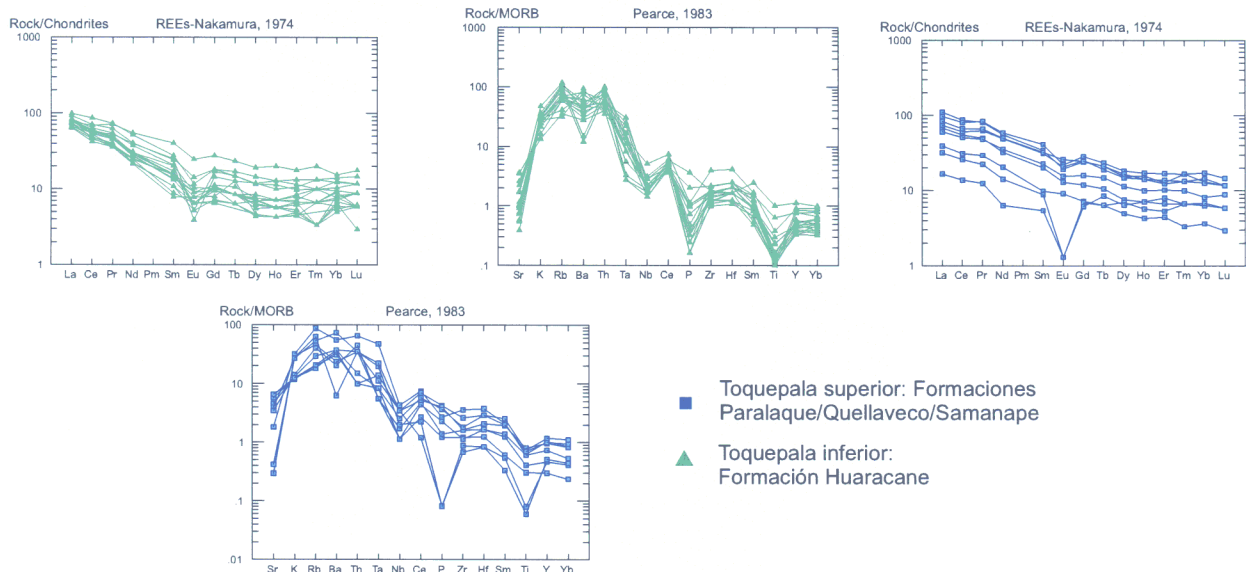


Fig. N° 14

Los diagramas REE para las secuencias inferiores muestran buen paralelismo y moderada pendiente (intervalo 10), con enriquecimiento en LREE y ligero empobrecimiento en HREE, la anomalía negativa de Eu se estima como producto del fraccionamiento de plagioclasa en la fuente. El gráfico multielemental (spider), muestra un campo de arco magnético demostrado fuertemente por la anomalía de Nb, la presencia de granate en la fuente inicial se evidencia por la pobreza de elementos HFSE y HREE. Para las secuencias superiores las diferencias no son dramáticas demuestran un mismo origen, aunque algunos grupos de rocas muestran fuertes anomalías en Eu(-) y P/Ti sugiriendo altas razones de fraccionamiento de las plagioclásas en la fuente

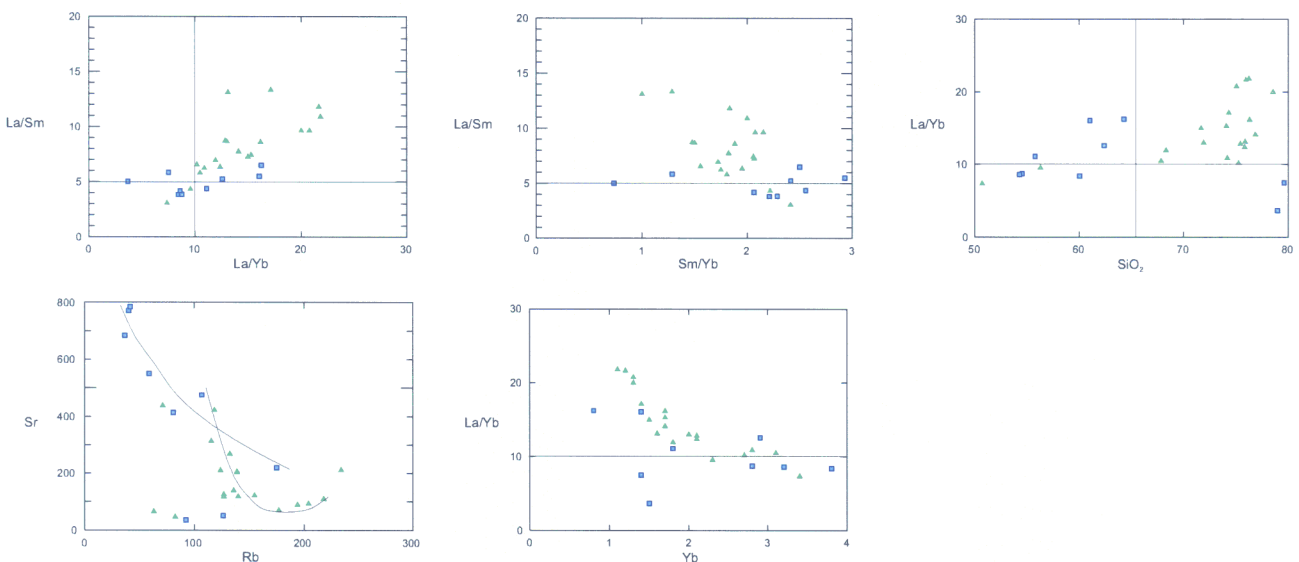


Fig. N° 15

Las razones LREE/HREE: La/Yb vs Yb muestran valores intermedios a las 10 ppm sugiriendo contaminación cortical entre los 10 y 20 de La/Yb, asimismo se interpreta una corteza relativamente engrosada posiblemente mayor a los 50 km. Nótese que las secuencias superiores son ligeramente menos fraccionadas y con tendencia a un acortamiento cortical o interacción de las isotermas mantélicas, que pudieron aportar material primitivo. La razón Sr vs Rb no hace más que predecir el fuerte fraccionamiento de las plagioclásas. Por otro lado la razón La/Yb vs SiO₂ demuestra dos campos diferenciados uno entre 55 y 65% (superior) y 68 y 80% de SiO₂ (inferior)

Unidades Tacaza, Huilacollo y Pichu

Clasificación Litoquímica

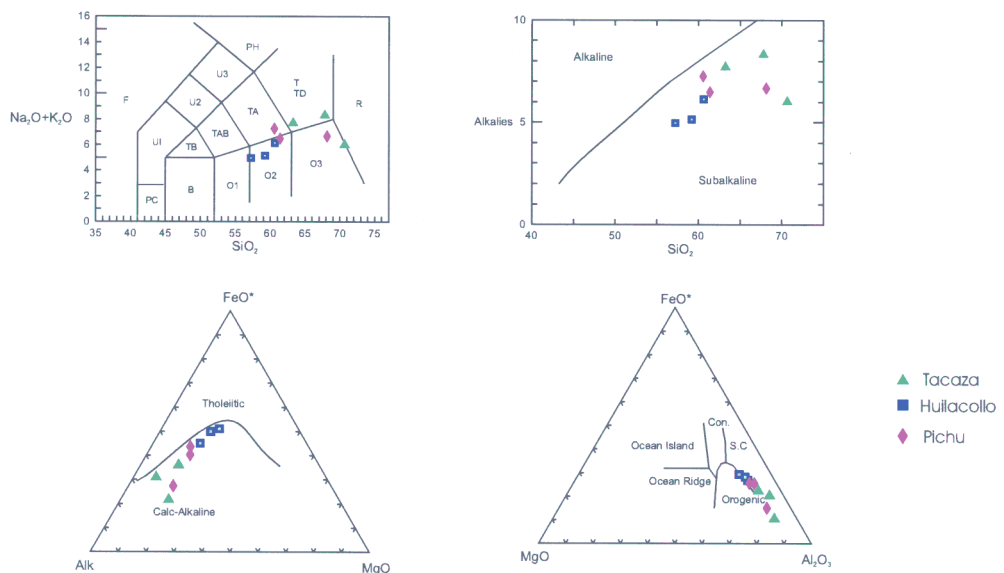


Fig. N° 16

Diagramas Harker

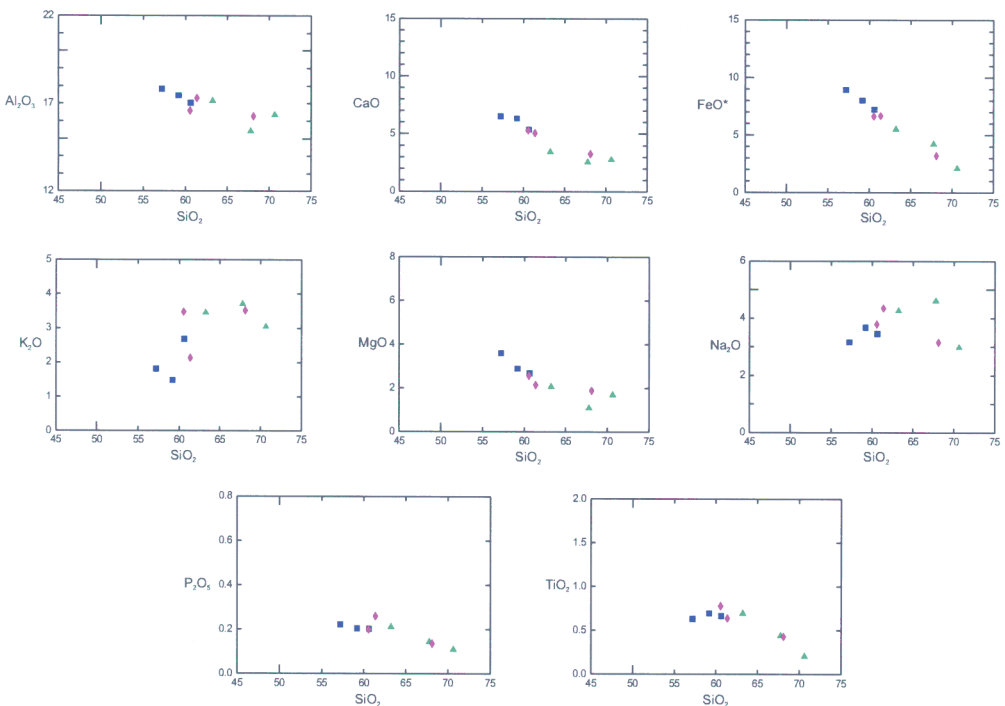


Fig. N° 17

Multielemental LILE / HFSE

- * Los diagramas araña (spider) muestran un típico espectro de subducción con enriquecimiento de LILE (1-100) y empobrecimiento de HFSE (<10). La anomalía de Nb (-) asociada a Ta (-) y positivas en Pb, Th y U , es típica de marcos tectónicos de subducción (Fig. N° 18).

Razones La/Yb_N vs. Yb y variantes

Muestra un alto fraccionamiento ($La/Yb_N > 10 < 40$) y demuestra el paulatino engrosamiento de la corteza (> 40 km) heredado del Grupo Toquepala. La pendiente negativa aparentemente, indica un fraccionamiento del Yb desde valores de 0,5 (Pichu) hasta próximos a 2 (Tacaza/Huilacollo).

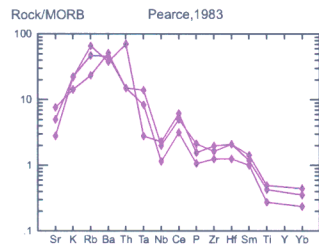
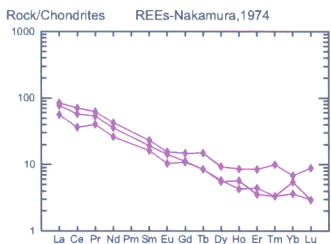
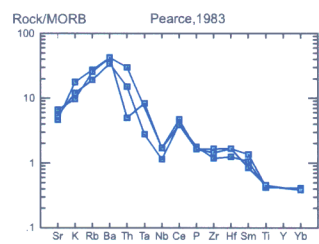
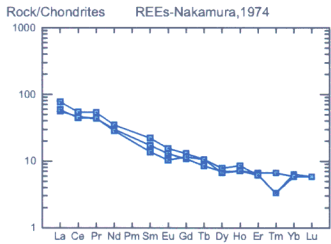
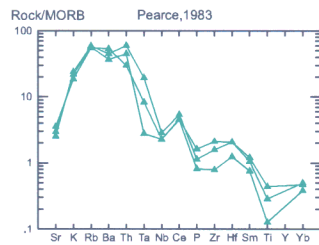
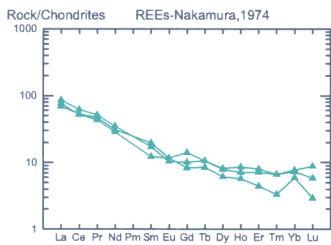
- * Las relaciones La/Sm vs La/Yb_N son similares en la relación La/Sm (>5), lo cual sugiere una fuerte evolución de los materiales magmáticos.
- * El alto contenido de Rb (>50) y Sr (>200) en el Grupo Tacaza y de 30 a 50 en las formaciones Huilacollo/Pichu son producto de una fuerte asimilación y diferenciación de los magmas.
- * El incremento de la razón La/Yb_N es compatible con el incremento de SiO_2 (>60 %) (ver Fig. N° 19).

5) Secuencias Post Oligocenas; Moquegua-Huayllillas-Llallahui-Maure y Sencca

- * Facies de tobas blancas con biotita en las secuencias terminales de la Formación Moquegua han sido observadas en Clemesí, Aplao y Moquegua con edades mayores a los 23 Ma como parte de los primeros flujos piroclásticos del evento Huayllillas, geoquímicamente muy similares (ver Fig. N° 20-21)
- * El evento Huayllillas tiene como sus prolongaciones laterales, al norte del paralelo 14°, a las unidades Alpabamba y Nasca que tienen un rango de edad entre los 23 y 18 Ma.
- * El evento Clemesí-Huaytire-Mazo Cruz está representado por las unidades tobáceas aflorantes entre Mazo Cruz, Huaytire, Moquegua y Clemesí. Tienen edades entre 10 y 8 Ma, químicamente son riolitas calcoalcalinas (Fig. N° 20). En Mazo Cruz ha sido incluido dentro del Grupo Maure superior, en Moquegua está representado por la Formación Millo³ al igual que en las hojas de Clemesí, Punta de Bombón, Ilo y Locumba.
- * El evento Sencca comprende edades entre 2 y 8 Ma y está representado en su mayoría por riolitas calcoalcalinas (Fig. N° 20) a excepción de la Formación Capillune que muestra tendencia a traquidacitas/Traquiandesitas (Fig. N° 24).

³ Esta unidad debe ser reinterpretada en cuanto a nombre y posición en su localidad tipo. Tiene edades < 5 Ma que lo relacionan más con el evento Sencca o Afashuayco de la región de Arequipa. Recientemente en el 2003, los suscritos han descrito tobas blancas muy similares que afloran en el sector norte de la hoja de Clemesi (Qda. Honda) en discordancia sobre el Grupo Toquepala y se encuentran rellenando antiguos paleovalles. Estos materiales pueden provenir de la caldera Chachani-Arequipa o Huaynaputina?

Unidades Tacaza, Huilacollo y Pichu

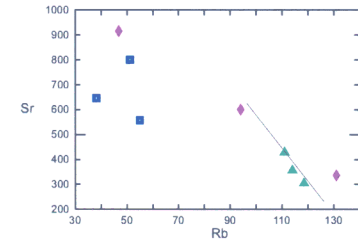
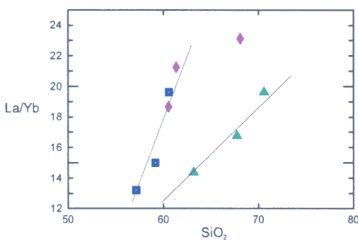
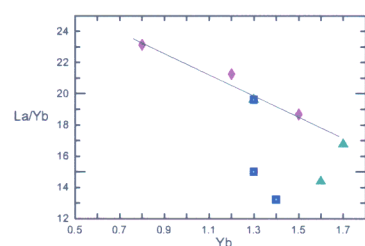
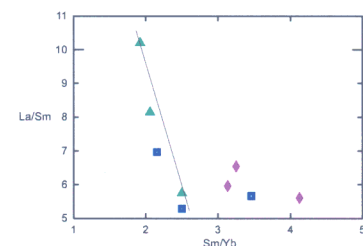
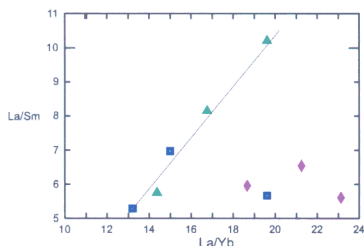


Diagramas REE y Multielemental

- ▲ Tacaza
- Huilacollo
- ◆ Pichu

Fig. N° 18

Razones LREE/HREE y variantes



- ▲ Tacaza
- Huilacollo
- ◆ Pichu

Fig. N° 19

Unidades Moquegua-Huayllillas-Llallahuí

Clasificación Litoquímica

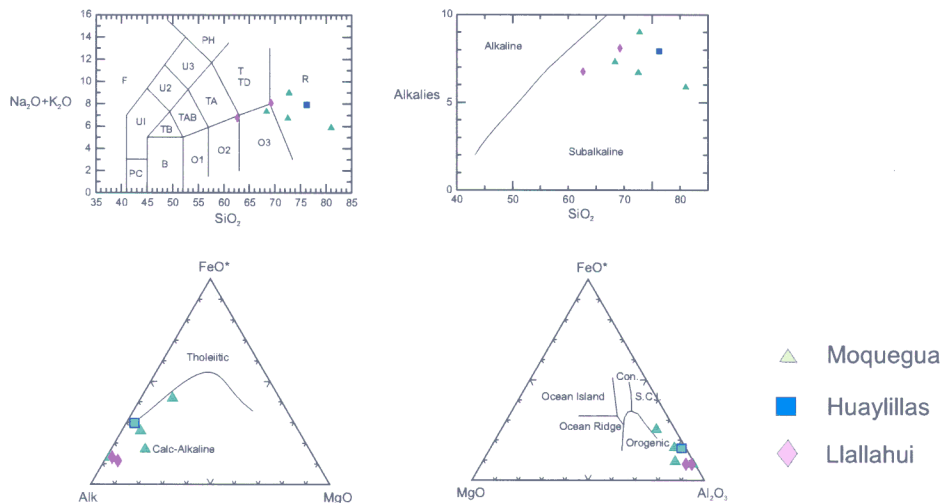


Fig. N° 20

Diagramas Harker

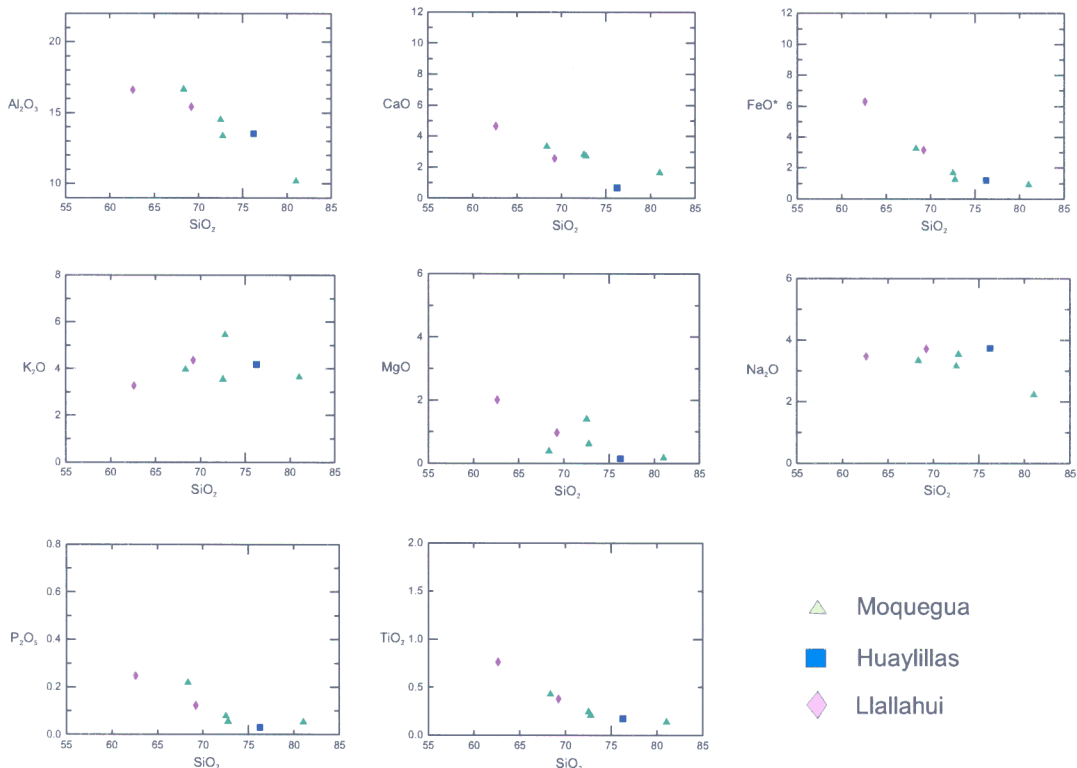


Fig. N° 21

Unidades Moquegua-Huayllillas-Llallahui

Diagramas REE y Multielemental

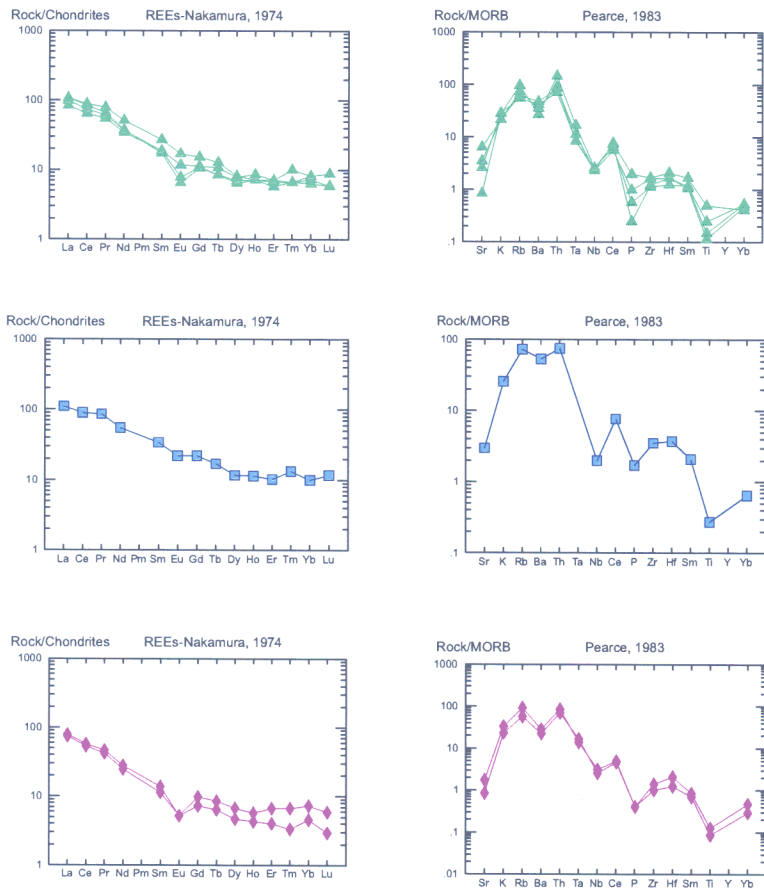


Fig. N° 22

Razones LREE/HREE y variantes

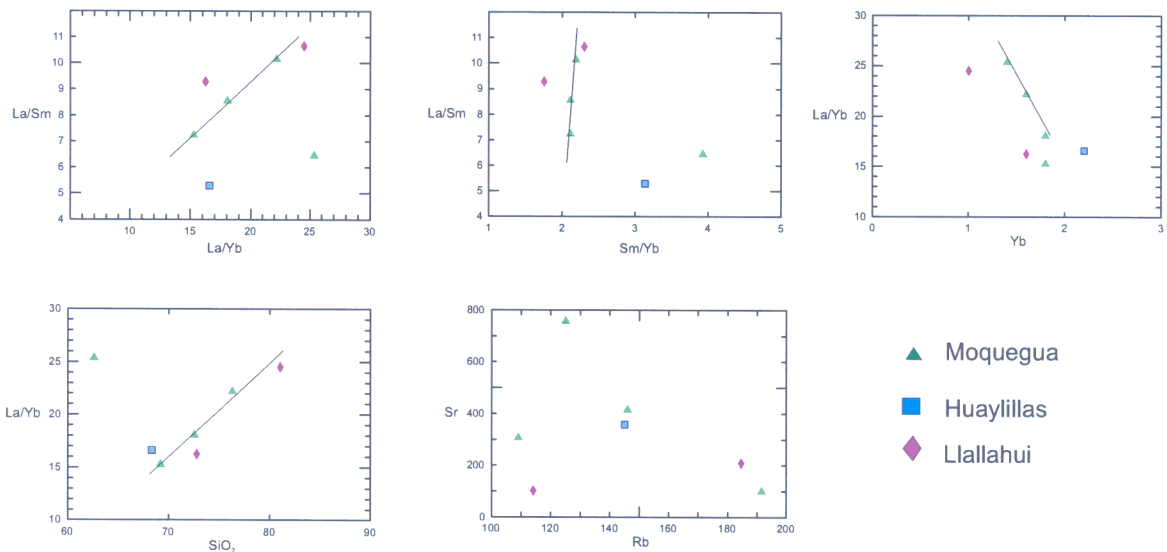


Fig. N° 23

Estas unidades se encuentran generalmente en el rango químico de riolitas y esporádicamente dacitas y traquidacitas de la serie subalcalina y subserie calcoalcalina, notándose una correspondencia en el fraccionamiento de los magmas a partir del evento Tacaza.

Elementos Mayoritarios (Harker)

- * Los rangos composicionales son compatibles y muestran fraccionamiento de los elementos en las unidades Moquegua, Huayllillas y Llallahui. El Mg presenta un fraccionamiento fuerte entre los 70 y 80 % de SiO_2 al igual que el Ca y Ti. El Al y P muestran buen fraccionamiento; pero con fuerte pendiente para el Al (Formación Moquegua) lo que infiere su incorporación en los cristales de plagioclasa. La fuerte pendiente de P denota poca presencia de apatito en el magma (Fig. N° 21).

Las unidades Maure, Millo, Sencca y Capillune muestran buen fraccionamiento en los elementos Al_2O_3 , CaO y FeO^* así como en K_2O y Na_2O . Es evidente la diferenciación en dos campos entre las unidades Capillune (< 70 % de SiO_2) y alto contenido de FeO^* (> 3%) con las unidades Maure, Sencca y Millo que son muy silíceas (> 70% de SiO_2) y de bajo contenido de $\text{FeO}^* + \text{TiO}_2$ (ver Fig. N° 25).

Elementos Traza REE y Multielemental LILE / HFSE

Las REE muestran buen paralelismo en los espectros de las formaciones Moquegua, Huayllillas, Llallahui, Maure y Sencca. Las pendientes son moderadas con enriquecimiento de LREE (90-100) y empobrecimiento de HREE (<10) para Llallahui y parte de Moquegua; esto es interesante dado el hecho de que provienen de magmas más fraccionados (asimilación/contaminación) en una corteza ya evolucionada y con un grosor superior a los 50 km. Las anomalías de Eu (-) están muy pronunciadas en las unidades Moquegua y Llallahui, esta condición sugiere el fraccionamiento de plagioclásas, así como las altas concentraciones de Sr (>200) y Rb (>100), también indica altas diferenciaciones de los magmas en función directa con el alejamiento de la fosa (Figs. N° 22 y 23).

Las Formaciones Maure, Millo, Sencca y Capillune concentran entre 100 - 1000 ppm de LREE con empobrecimiento de HREE en las unidades Sencca, Maure y parte de Capillune. La anomalía de Eu (-) está presente en todas las unidades descritas. Los diagramas multielementales son típicos de un arco magmático (anomalía negativa de Nb) con altas concentraciones de LILE y disminución de HSF (Fig. 26).

Unidades Maure, Millo, Sencca y Capillune

Clasificación litoquímica

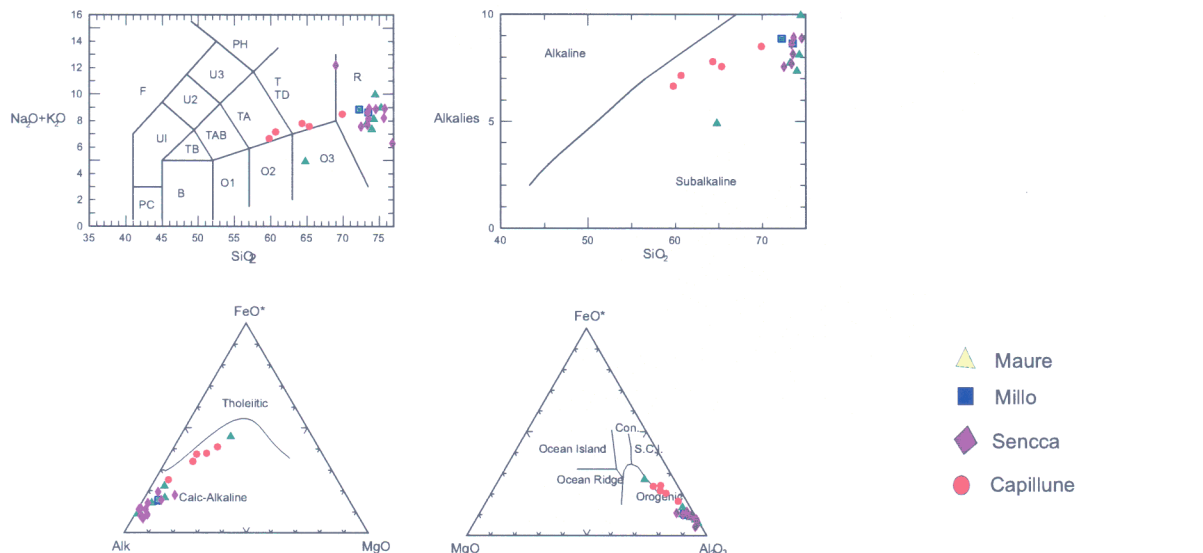


Fig. N° 24

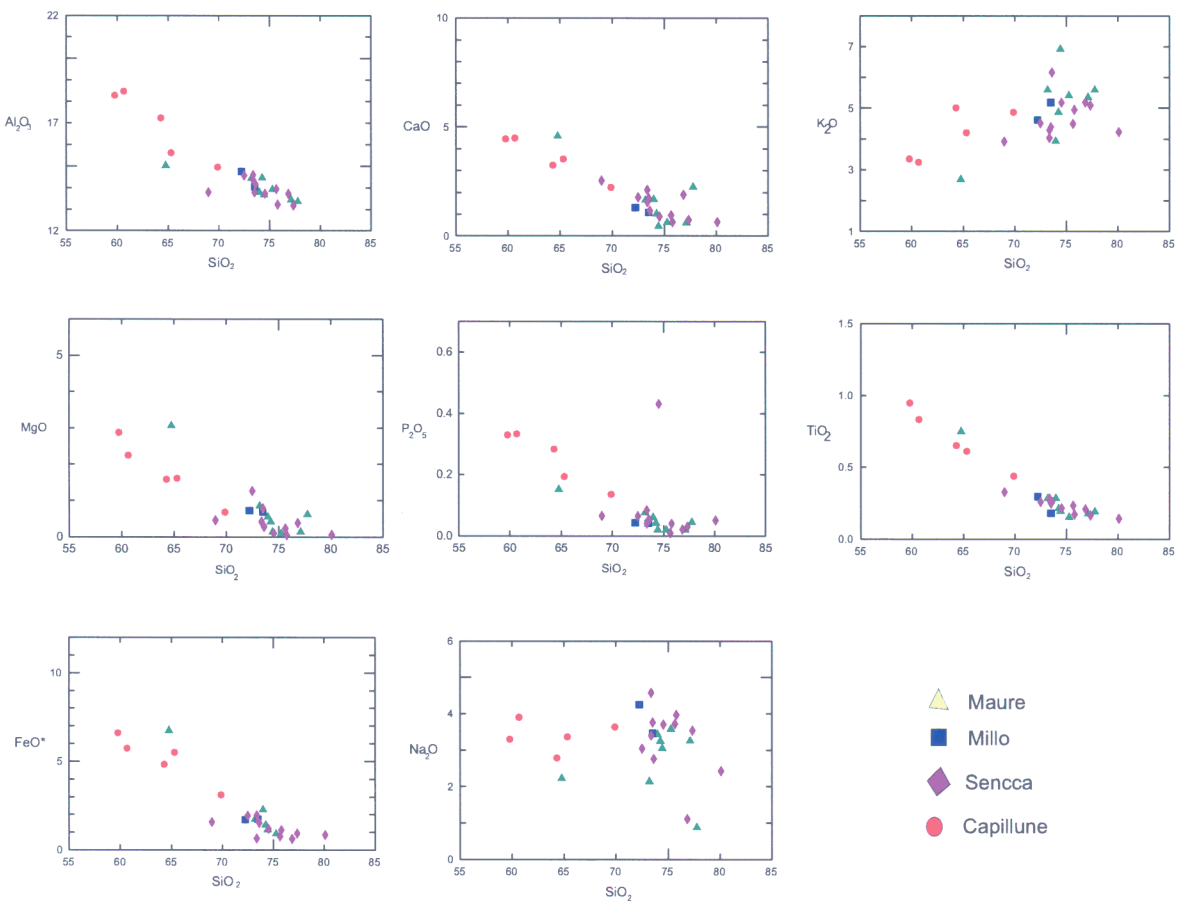


Fig. N° 25

Unidades Maure, Millo, Sencca y Capillune

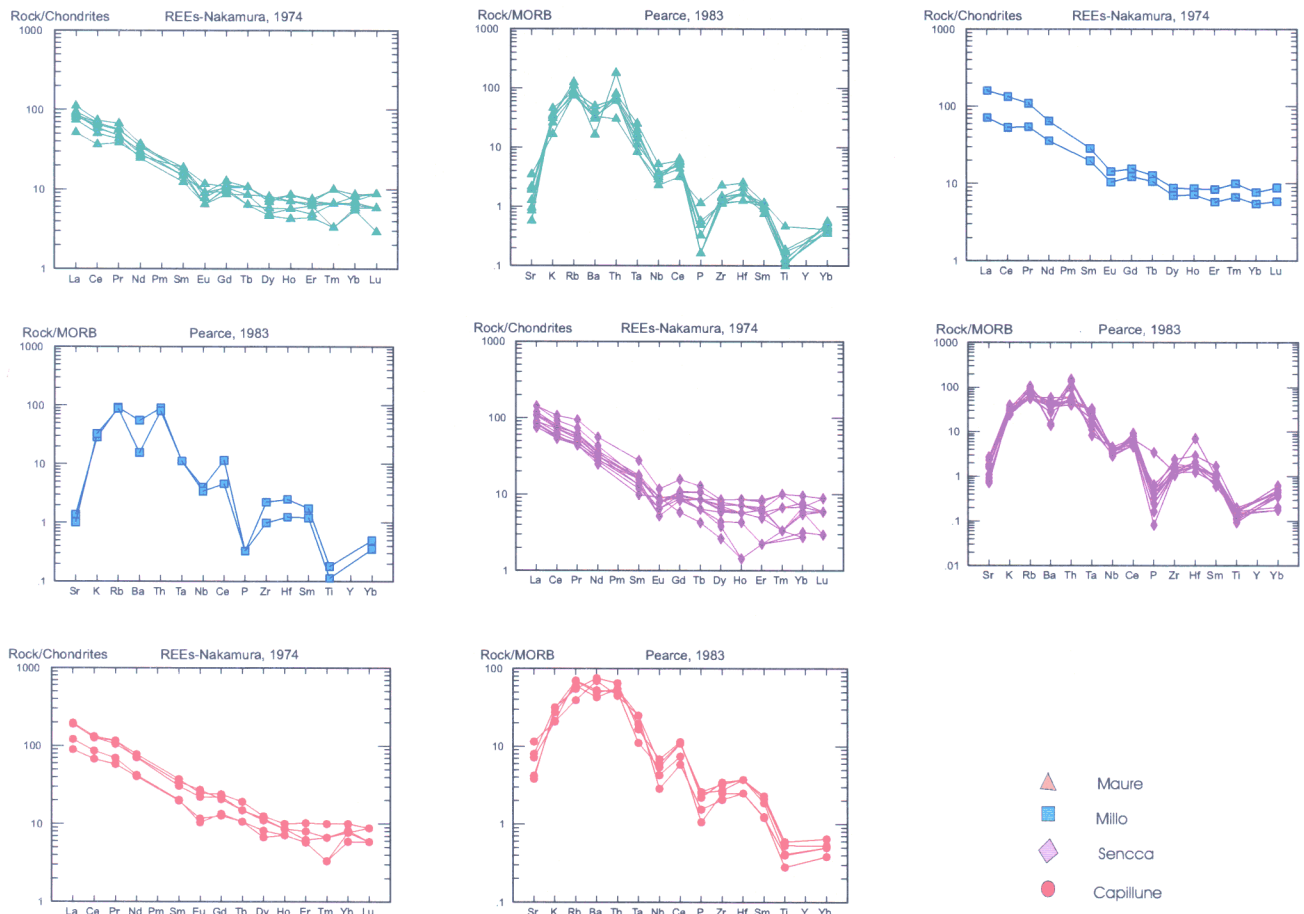


Fig. N° 26 Diagramas REE y Multi elemental, los diagramas muestran fuerte enriquecimiento en **LREE** y tendencia a empobrecer en **HREE**, mas notorio en la unidad Sencca (<10). La anomalía negativa de **Eu** implica una diferenciación de las plagioclasas en la fuente. Por otro lado los diagramas multi elemental típicos de un arco magmático (anomalía de **Nb**) muestran en la unidad Millo una fuerte anomalía negativa de **P** y **Ti** sugiriendo una mayor asimilación de estos elementos en posibles cristales de “Apatito y Hornablenda/Piroxeno”, aunque estos minerales no se encuentran en las facies piroclásticas expulsadas (puede inferirse una fuente rica en estos elementos).

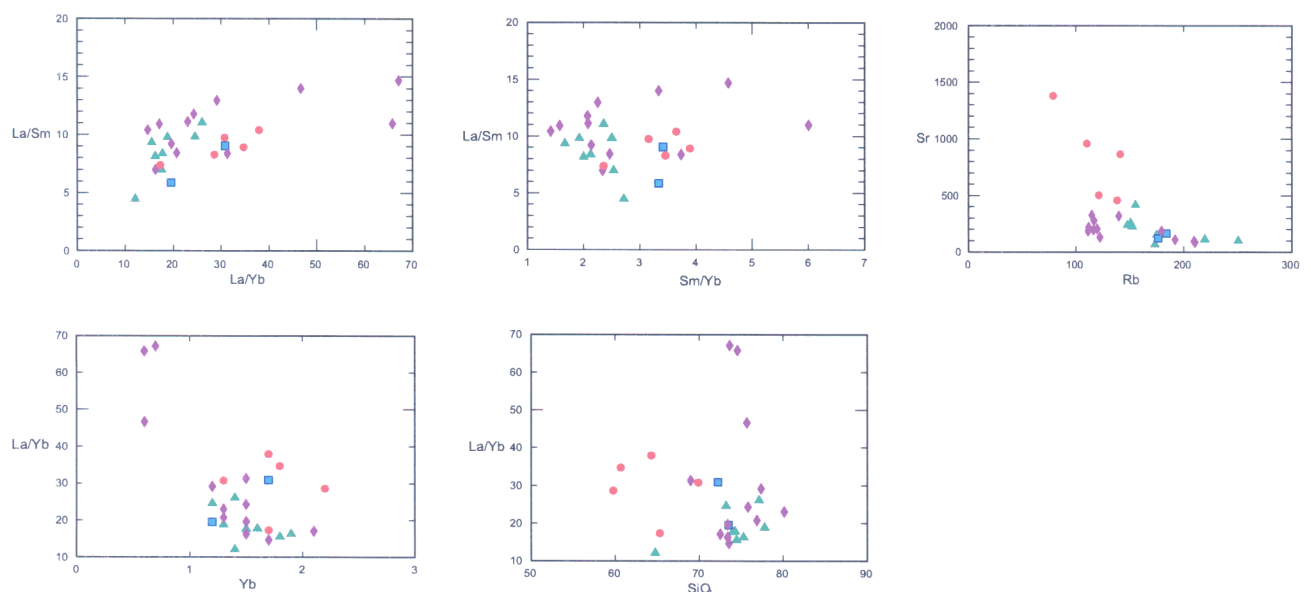


Fig. N° 27 Nótese la diferenciación mas avanzada de las facies “Sencca” ($\text{La/Yb} = 20-40$) con respecto a Maure y Millo (10-30), asimismo la relación Sr vs Rb muestra altas concentraciones de Sr para las facies “Sencca”.

Razones La/Yb_N vs. Yb y variantes

La relación La/Yb_N vs. Yb muestra en las unidades Moquegua, Huayllillas y Llallahui concentraciones entre 10 y 30 de La/Yb_N . El poder separador entre las formaciones puede observarse en el diagrama Sr vs. Rb y La/Yb_N vs. SiO_2 . Estos gráficos pueden demostrar una tendencia a la diferenciación entre las unidades Millo-Maure, Sencca y Capillune, pero con las primeras unidades más ricas en Si (70-80%) y álcalis, propias del mayor evento ignimbítico heredado de Huayllillas, cambia a magmas más básicos con el SiO_2 de 60-70% que dará paso al evento Barroso (ver Figs. N° 23-27)

6) Evento Barroso

El último evento volcánico conocido en el sur del Perú como Grupo Barroso está diferenciado espacial y geoquímicamente, dividiéndose en 3 sectores con diversos grados de diferenciación con respecto al SiO_2 y álcalis:

Sector occidental A	55-60 % de SiO_2	4-7 % de álcalis (Puquina-Moquegua)
Sector central B	60-65 % de SiO_2	6-8 % de álcalis (Huaytire-Tarata-Pachía)
Sector oriental C	65-75 % de SiO_2	7-9 % de álcalis (Mazo Cruz-Palca)

En general, las rocas tienen un intervalo químico entre andesitas basálticas y riolitas (Fig. N° 28). Es posible interpretar esta diferenciación como un producto de la evolución cortical en grosor hacia el oriente y en relación directa a concentraciones mayores de K y Sr. También existe la tendencia a pensar que las estructuras más occidentales son más antiguas.

Elementos Mayoritarios (Harker)

Para el Mg se diferencia una anomalía en el rango 65% de SiO_2 , entre la transición de A hacia C, similar a la relación entre K y Si, esto puede interpretarse como una rápida asimilación de Mg en piroxeno/hornblenda (Sector A) disminuyendo progresivamente en los sectores B y C directamente proporcional con el incremento de SiO_2 . Se puede diferenciar en el intervalo 65 % de SiO_2 un punto de quiebre con rápido empobrecimiento de MgO con relación a K₂O (ver Fig. 29).

REE y Multielemental LILE/HFSE

Los diagramas para tierras raras muestran buena correlación y similitud entre estas unidades, muy similares a las secuencias post oligocenas (Maure-Millo-Sencca-

Nuevas Dataciones en el Sur del Perú (Paralelos 16° - 18° 30' sur)

N.º	Código de Muestra	Coordenadas Geodésicas	Longitud Oeste	Latitud Sur	Coordinadas UTM	Cuadrángulo	Número de Hoja	Lugar o Paraje	Tipo de Roca	Grupo o Formación	Método Dato	Mineral Dato	Edad Dato	Radiométrica	Margen de Error
1	Ta-020400	17.425006/371191	70.0807088/008883	8.093 670	364 305	Tarata	35-v	Cerro Estronre Huyucto	Lavas	Fm. Huilacollo	K-Ar	RT	21,3	± 0,7	
2	Ta-380500	17.381395/63634	70.127381/794679	8.105 848	353 047	Tarata	35-v	Oeste de Quilicata	Toba	Grupo Barroso	K-Ar	RT	-1	± 1,0	
3	Ta-510500	17.118807/5493081	70.297150/3342337	8.106 841	362 004	Tarata	35-v	Oja, Huarijeque	Toba	Grupo Barroso	K-Ar	RT	4,8	± 0,5	
4	Ta-705000	17.117451/1141774	70.271032/5845454	8.107 005	364 782	Tarata	35-v	Oja, Nazaparco	Lavas	Grupo Barroso	K-Ar	RT	5,6	± 0,2	
5	Ta-580500	17.173980/9620718	70.285808/9586415	8.100 745	363 252	Tarata	35-v	Rio Callazas	Toba	Grupo Barroso	K-Ar	RT	6	± 0,3	
6	Ta-510500	17.610500/1226026	70.286868/908547	8.109 716	347 987	Tarata	35-v	Oja, Chuquiananta	Lavas	Grupo Barroso	K-Ar	RT	3,4	± 0,2	
7	Pa-070600	17.474245/59061821	70.283888/14334	8.067 623	379 765	Tarata	35-v	Tala (margen derecha río)	Lavas	Fm. Samanáte	Ar-Ar	RT	24,6	± 0,8	
8	Ta-706000	17.481447/78812738	70.0553/134287021	8.065 874	387 955	Tarata	35-v	Cerro Picaso	Tonallata	Superunidad Challaviento	K-Ar	RT	41,6	± 1,0	
9	Ta-980600	17.084033/87141	70.1084/10196270	8.094 873	382 555	Tarata	35-v	Cerro Ichocollo	Brecha	Grupo Barroso	K-Ar	RT	-1	± 1,0	
10	Cl-78	17.029099/2956959	71.322701/1014675	8.116 754	257 734	Clemensi	35-t	Oja, Tunacocha	Granodiorita	Superunidad Yarábamba+	K-Ar	RT	81	± 0,2	
11	Cl-96	17.031170/657919	71.944442/2897206	8.115 803	277 056	Clemensi	35-t	Oja, Volcancillo	Toba	Fm. Moquegua	K-Ar	RT	25,6	± 0,7	
12	98AP07/5318	17.020055/531340	70.391526/7066624	8.117 700	351 885	Tarata	35-v	Cerro Tutupaca	Lavas	Grupo Barroso	Ar-Ar	RT	0,244	± 0,037	
13	98AP07/419	17.020057/3707659	70.3846/791926	8.118 448	352 049	Tarata	35-v	Cerro Tutupaca	Brecha	Fm. Maure	K-Ar	RT	0,285	± 0,027	
14	Hu-010600	16.605387/21294	70.293249/97448956	8.163 653	362 248	Huallite	34-v	Anunaya	Toba	Fm. Viscachas*	K-Ar	RT	12,6	± 1,50	
15	Hu-NO121	16.587657/0472156	70.44154/20333389	8.165 507	346 212	Huallite	34-v	Cerro Huallite	Brecha	Fm. Viscachas*	K-Ar	RT	8,5	± 0,50	
16	Hu-NO122	16.54446/677656	70.44443/2977608	8.158 222	349 156	Huallite	34-v	Rio Chilata	Toba	Fm. Viscachas*	K-Ar	RT	9	± 0,90	
17	Hu-NO131	16.69544/98337119	70.3607980/2029119	8.153 640	347 909	Huallite	34-v	Rio Condoriondilla	Brecha	Fm. Viscachas*	K-Ar	RT	8,7	± 0,50	
18	Ichu-16	16.33147/98081985	70.507857/861073	8.193 802	338 947	Ichuña	33-u	Oja, Patasquena	Lavas	INA	K-Ar	RT	8,6	± 0,40	
19	Ichu-11	16.40848/881682226	70.510387/73196322	8.185 109	317 356	Ichuña	33-u	Cerro Atasapa	Brecha	Fm. Llallalí	K-Ar	RT	5	± 0,50	
20	JT-000620	16.887659037998	71.548066/295653	8.153 063	352 352	Moquegua	35-u	Mina Tófenes	Apila	Superunidad Yarábamba	Ar-Ar	RT	60,4	± 0,70	
21	JT-000620	16.887659037998	71.548066/295653	8.153 333	228 511	La Joya	34-s	Cerro Bojilla	Monzogranito	Superunidad Yarábamba	K-Ar	RT	84	± 2,00	
22	JT-000626	16.93015/23678656	71.7506283146768	8.123 333	228 511	La Joya	34-s	Cerro Escalera	Toba	Superunidad Punta Coles	K-Ar	RT	170	± 4,00	
23	Lo-105	16.72847/855773224	70.72847/848473224	8.033 007	316 777	Locumba	34-u	Cerro Del Medio	Toba	Fm. Huayllillas	K-Ar	RT	19	± 0,50	
24	206000	16.9963639/750734	69.93242/22161606	8.124 060	433 541	Mazo Cruz	34-x	Paruyo	Lavas	Grupo Barroso	K-Ar	RT	2,8	± 0,10	
25	207600	16.95248/20505196	69.9850692/1603648	8.125 571	425 992	Mazo Cruz	34-x	Rio Tupala	Lavas	Grupo Barroso	K-Ar	RT	5,5	± 0,20	
26	969600	16.6762536568221	69.98547/219433464	8.156 172	440 852	Mazo Cruz	34-x	Cerro Pucará	Lavas	Fm. Sillapaca	K-Ar	RT	8,3	± 0,30	
27	1106000	16.697168943361	69.98547/219433464	8.157 882	427 353	Mazo Cruz	34-x	Cerro Talacolla	Brecha	Fm. Sancaca **	K-Ar	RT	7,6	± 0,10	
28	1306000	16.75182/0769528	64.9532/3093629	8.147 704	405 053	Mazo Cruz	34-x	Cerro Talacolla	Lavas	Fm. Sancaca **	K-Ar	RT	7,5	± 0,30	
29	1606000	16.85529/9713127	69.55895/6861181	8.158 373	440 452	Mazo Cruz	34-x	Cerro Apacheta	Lavas	Grupo Barroso	K-Ar	RT	2,6	± 0,20	
30	2076000	16.70730/989895	69.73242/221606	8.131 858	424 662	Mazo Cruz	34-x	Rio Yusta	Lavas	Grupo Barroso	K-Ar	RT	2,4	± 0,70	
31	3006000	16.85471/5449355	69.982/13640028	8.136 322	427 328	Mazo Cruz	34-x	Cerro Taruja	Lavas	Grupo Barroso	K-Ar	RT	7,7	± 0,40	
32	3106000	16.88771/17591486	69.98560/20825144	8.132 751	430 123	Mazo Cruz	34-x	Rio Oircoma	Lavas	Grupo Barroso	K-Ar	RT	7,5	± 0,50	
33	3206000	16.85164/13524049	69.919762/8228556	8.136 754	433 978	Mazo Cruz	34-x	Oja, Cachuma	Brecha	Fm. Sancaca **	K-Ar	RT	2,4	± 0,20	
34	3306000	16.85164/13524049	69.919762/8228556	8.137 982	437 353	Mazo Cruz	34-x	Oja, Cachuma	Lavas	Grupo Barroso	K-Ar	RT	2,6	± 0,20	
35	3406000	16.8253/866719016	69.844265/7590511	8.139 643	431 145	Mazo Cruz	34-x	Volcán San Francisco de Pachapacu	Lavas	Grupo Barroso	K-Ar	RT	6,1	± 0,30	
36	4606000	16.75799/2652375	69.88772/1536312	8.147 005	405 384	Mazo Cruz	34-x	Huajra Apacheta	Brecha	Fm. Sancaca **	K-Ar	RT	8,7	± 1,10	
37	3906000	17.1594/216367440	70.88177/7970862	8.161 839	299 845	Moquegua	34-x	Oja, Sarahocha	Lavas	Fm. Llallalí	K-Ar	RT	8,2	± 0,30	
38	39AP060224	16.87518/219433464	69.98562/8228556	8.162 987	300 002	Mazo Cruz	34-x	Rio Esquíno	Subvolcánico	K-Ar	Alunita	RT	2,64	± 0,06	
39	Mo-000600	16.96521/16596428	66.061/1942461306	8.121 950	812 988	Mollendo	34-r	Oja, Guerrieros	Brecha	Fm. Paralaje Sup.	Ar-Ar	RT	3,8	± 0,10	
40	Mo-2000401	17.1523265972440	70.898/89666666667	8.101 805	298 020	Moquegua	35-u	Cerro Los Angeles	Toba	Fm. Huayllillas	K-Ar	RT	72,4	± 0,70	
41	Mo-2000403	17.1523265972440	70.897/44824628861	8.102 514	288 804	Moquegua	35-u	Cerro Los Angeles	Toba	Fm. Huayllillas	K-Ar	RT	71,4	± 0,80	
42	Mo-2000403	17.1594/216367440	70.88177/7970862	8.103 704	289 804	Moquegua	35-u	Cerro Yalquillaje	Toba	Fm. Huayllillas	K-Ar	RT	71	± 2,00	
43	PS460500	16.99547/2152732	71.13521/94900303	8.119 673	272 245	Puquiza	34-t	Cerro Canterbury	Toba	Fm. Moquegua	K-Ar	RT	28	± 0,80	
44	PS300500	16.908168/2024152	71.221/005686363	8.129 270	263 425	Puquiza	34-t	Oja, Pachas	Andesitas	INA	K-Ar	RT	9,2	± 0,30	
45	OT-38	17.00061/19397553	70.865/2855239	8.118 509	305 780	Moquegua	35-u	Obra	Andesitas	Fm. Pichu+**	Ar-Ar	RT	65	± 2,00	
46	HHB-20002002	17.1523265972440	70.898/89666666667	8.101 805	298 020	Moquegua	35-u	Base Cerro Los Angeles	Toba	Fm. Huayllillas	K-Ar	RT	17,9	± 0,60	
47	Oc-000722	16.19302/896662579	67.443/3882462886	8.102 514	288 804	Moquegua	33-p	Oja, Oscuroy-C- los Castillos	Toba Lapilli	Fm. Sencaca	K-Ar	RT	1,98	± 0,03	
48	Omt-07	16.591744/796781	70.88177/7970862	8.103 704	289 804	Moquegua	34-u	Oja, Pasillo	Cuarzo Montozidoria	INA	K-Ar	RT	8,4	± 0,30	
49	Omt-14	16.818/8686/249219	69.963/217943867	8.139 526	299 149	Omale	34-u	Tobas Rojizas	Ondas	Fm. Huayllillas++	K-Ar	RT	75	± 2,00	
50	Omt-38	16.54879/14976813	70.677/7712989515	8.169 612	320 270	Omale	34-u	Cerro Quento	Andesitas	Fm. Huayllillas++	Ar-Ar	RT	11,8	± 0,10	
51	Omt-39	16.5694/16185145	70.61/102391195947	8.164 564	328 218	Omale	34-u	Cerro Tolomani	Toba	Fm. Huayllillas	K-Ar	RT	8,3	± 0,60	
52	Omt-55	16.474/3882462886	70.581/7484732503	8.148 074	309 389	Omale	34-u	Cerro Seborane	Toba	Fm. Huayllillas	K-Ar	RT	0,5	± 0,10	
53	Omt-57	16.660754/1686334	70.698/7674475503	8.150 704	318 834	Omale	34-u	Cerro Yalache	Granodiorita	INA	K-Ar	RT	11,9	± 0,40	
54	Pa-010600	13.065/2202451	69.564/94/1276152	8.155 442	438 752	Palca	36-x	Cerro Paocahua	Subvolcánico nítico	INA	Ar-Ar	RT	3,4	± 0,10	
55	Pa-090600	16.565/2050901693	69.657/232337741	8.064 424	430 178	Palca	36-x	Cerro Quisiquisana	Andesitas pómica	Grup. Barroso	K-Ar	RT	2,7	± 0,10	
56	Pa-100600	17.513/1716887267	69.656/55195529	8.063 524	439 453	Palca	36-x	Cerro Quisiquisana	Andesitas pómica	Grup. Barroso	K-Ar	RT	2,6	± 0,10	
57	Pa-210600	17.623/3645/21102	69.699/773675599	8.051 324	425 763	Palca	36-x	Oda, Vilavique	Lalita	Grup. Barroso	K-Ar	RT	3,1	± 0,20	

Capillune). Ligeras anomalías de *Eu* (-) también sugieren fraccionamiento de las plagioclasas (ver Fig. N° 30).

Razones La/Yb_N vs. Yb y variantes

Para el *La/Yb_N* vs. *Yb* se verifica un estado avanzado en la evolución magmática enmarcada en una gruesa corteza (*La/Yb_N* > 10) así como una diferenciación y enriquecimiento de *SiO₂* y fraccionamiento de HREE (ver Fig. N° 31). El *Sr* vs. *Rb* muestran una disminución del primero en dirección oriental producto de posible interacción de materiales primitivos emplazados a través de fallas litosféricas (Apurímac-Maure y Titicaca), la relación *La/Sm* vs. *Sm/Yb* puede demostrar el incremento cortical y el fraccionamiento de HREE.

Unidades Intrusivas

Elementos Mayoritarios (Harker)

Las superunidades Yarabamba, Ilo Punta Coles, Linga y Challaviento muestran una consanguinidad muy similar entre ellas, son subalcalinas de la serie calcoalcalina y de marco tectónico convergente (Fig. N° 32). Los diagramas Harker muestran una buena correlación en la diferenciación de los magmas con variación de sus composiciones entre 55 y 75 % de *SiO₂*. El *Ca*, *Ti*, *Fe* y *Mg* se empobrecen con respecto al enriquecimiento en sílice, de acuerdo a las clasificaciones petrográficas que varían entre dioritas (<60-65 % de *SiO₂*) y granodio-ritas/monzogranitos (>65 % de *SiO₂*), cabe resaltar que la Superunidad Yarabamba incluso es más máfica que las superunidades Ilo y Punta Coles (ver Fig. N° 33), aparentemente la unidad Challaviento es la de mayor diferenciación, aunque algunas muestras tienen valores inferiores a 60 % de *SiO₂*. Una muestra de Ilo con valores de *SiO₂* > 70 %, 3 % de *K* alrededor y 15 % de *Al* puede considerarse como contaminación del magma en su ascenso a través de la corteza que posiblemente fue heredado del complejo.

REE y Multielemental LILE / HFSE

Los diagramas de tierras raras muestran buena correlación entre todas las unidades con pendiente moderada (LREE/HREE) y anomalía negativa de *Eu*. Nótese la correspondencia entre las unidades Punta Coles, Ilo y Linga (Fig. N° 34). La presencia de granate en la fuente principal no es tan clara, aunque el ligero empobrecimiento en HREE (alrededor de 10) podría indicarlo. Para los diagramas multielementales es típico de márgenes convergentes con fuertes anomalías de *Nb*, *P* y *Ti* (empobrecimiento en HFSE).

Grupo Barroso

Clasificación petrográfica

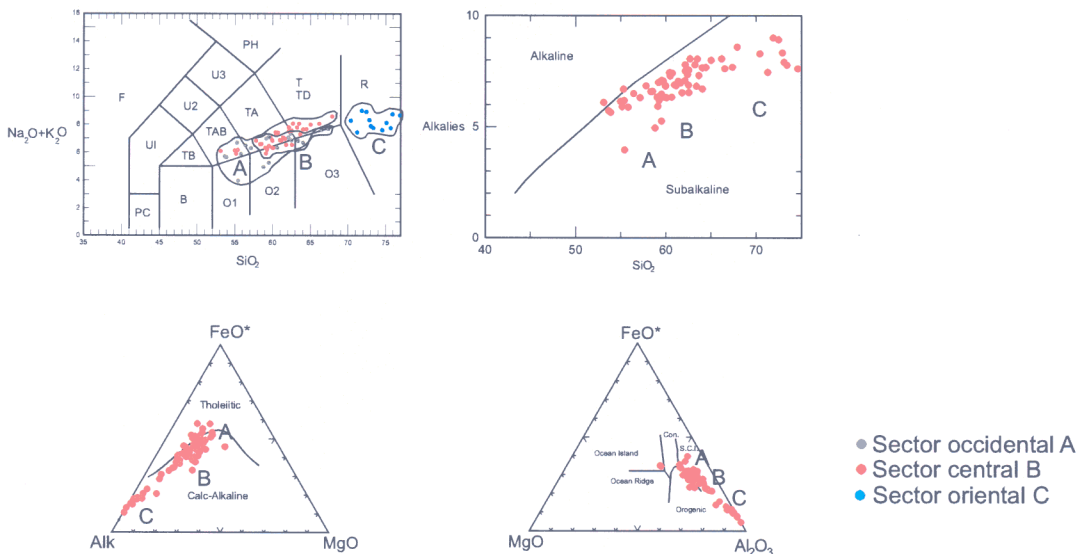


Fig. N° 28 Existe un fraccionamiento de las secuencias del Grupo Barroso en dirección oriental, nótese la evolución de las volcánitas entre los puntos A y B, desde andesitas basálticas hasta riolitas muy diferenciadas ($\text{SiO}_2 > 70\%$) y alto álcali (>5%), con respecto a las edades en conjunto existe la idea de que las estructuras volcánicas occidentales (estrato-volcanes, domos y complejos) son más antiguos que las estructuras orientales, estas ideas están muy reforzadas por dataciones radimétricas, como ejemplo los complejos a lo largo de la faja Tarata-Moquegua con edades entre los 6 y 11 Ma (Chuquiananta) no tiene correlación temporal en el corredor Palca-Mazo Cruz. Esto plantea la idea que estas edades muy antiguas son contemporáneas con el evento Clemesí que originaron los mantos ignimbriticos de las facies terminales Maure y Formación Millo, las facies efusivas pertenecerían al Barroso antiguo.

Diagramas de Harker

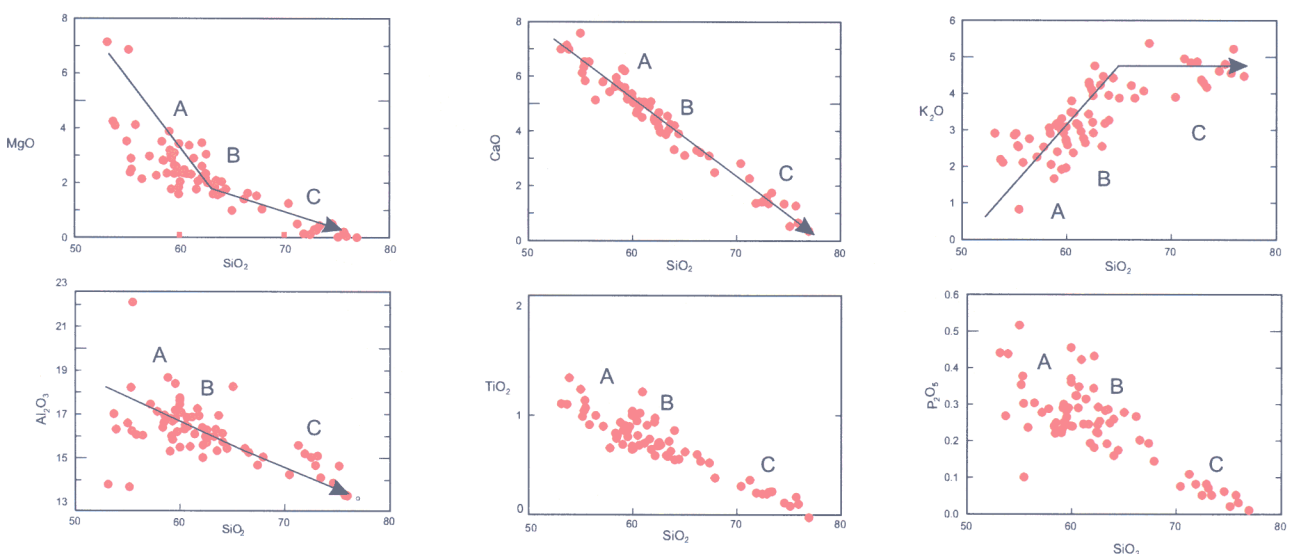


Fig. N° 29 DIAGRAMAS DE HARKER

Buenas correlaciones entre los óxidos y SiO_2 demuestran la avanzada cristalización fraccionada del magma (FX), tanto para las secuencias occidentales, centrales y orientales. El punto de quiebre en K_2O muestra que a partir de los 65% de SiO_2 la asimilación de este elemento se encuentra disminuida y casi estable (secuencias orientales) no así las secuencias occidentales y centrales con alta asimilación sugiriendo una fuerte contaminación? de la corteza superior o un incremento de la presión y temperatura haciendo posible la incorporación de este elemento en la fuente. Similares relaciones se observan en MgO y Al_2O_3 .

Grupo Barroso

Diagramas Multielemental

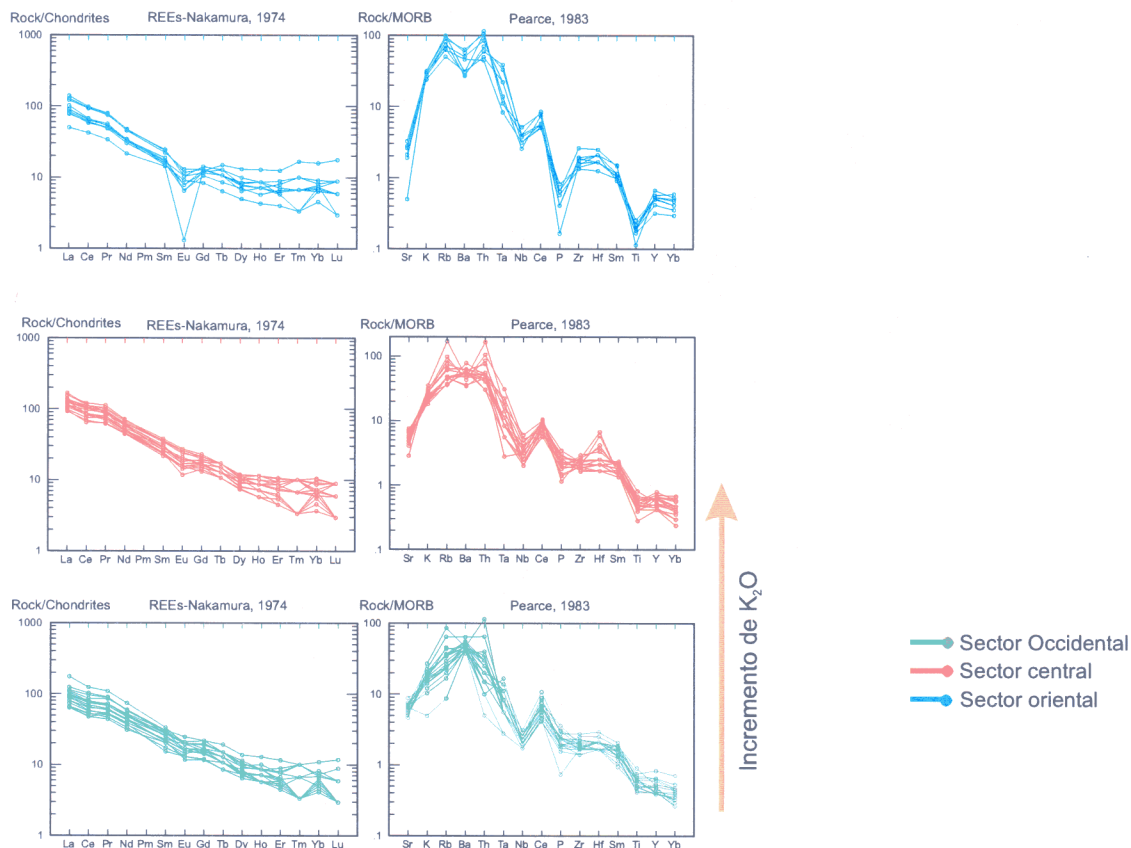


Fig. N° 30 DIAGRAMA MULTIELEMENTAL

Buenas correlaciones entre las secuencias demuestran una cristalización normal de los feldespatos. Una pendiente normal y conservada entre HREE y LREE sugiere buena evolución por FX. La presencia de granate en la fuente está representada por moderada pendiente de HREE(< 10).

Las anomalías de Eu con incremento hacia el sector oriental demuestran la evolución diferencial de los magmas de oeste a este.

Las proporciones LREE/HREE ($\text{La/Yb} > 10$), muestran un origen en corteza muy engrosada (>40 km), Rb muestra poca evolución lateral así como el Sr que disminuye en dirección oriental es atribuido posiblemente a materiales menos diferenciados (fallas litosféricas/aumento-ascensión de la gradiente geotérmica). Asimismo la relación La/Sm vs Sm/Yb muestra incremento de corteza y fraccionamiento de HREE.

Razones LREE/HREE y variantes

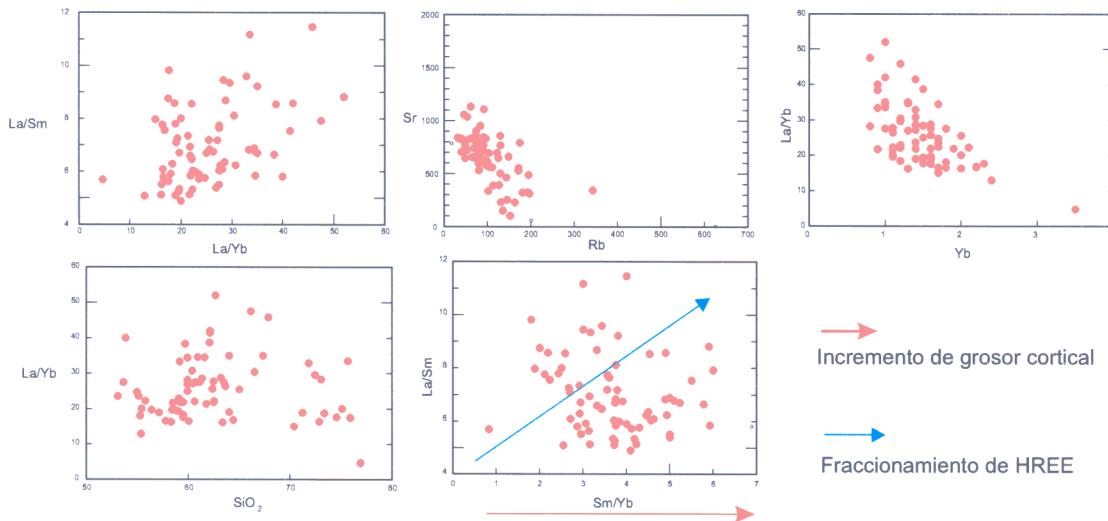


Fig. N° 31

Razones La/Yb_N vs. Yb y variantes

La relación La/Yb_N vs Yb, puede concluirse en lo siguiente: la Superunidad Yarabamba muestra valores muy cercanos a 10 ppm de La/Yb_N , muy similar y por debajo a las superunidades Punta Coles/Linga e Ilo, esto puede sugerir que los magmas de Yarabamba sean menos evolucionados en comparación a sus similares occidentales. Por otro lado las concentraciones de Sr son bajos para las unidades Linga e Ilo, mientras que Yarabamba/Challaviento sobrepasan en muchos casos las 500 ppm. El poder separador de los cocientes REE entre las unidades intrusivas puede observarse en las relaciones: La/Yb_N vs Yb y La/Sm vs La/Yb_N .

Unidades Yarabamba-Challaviento-Ilo-Punta Coles y Linga

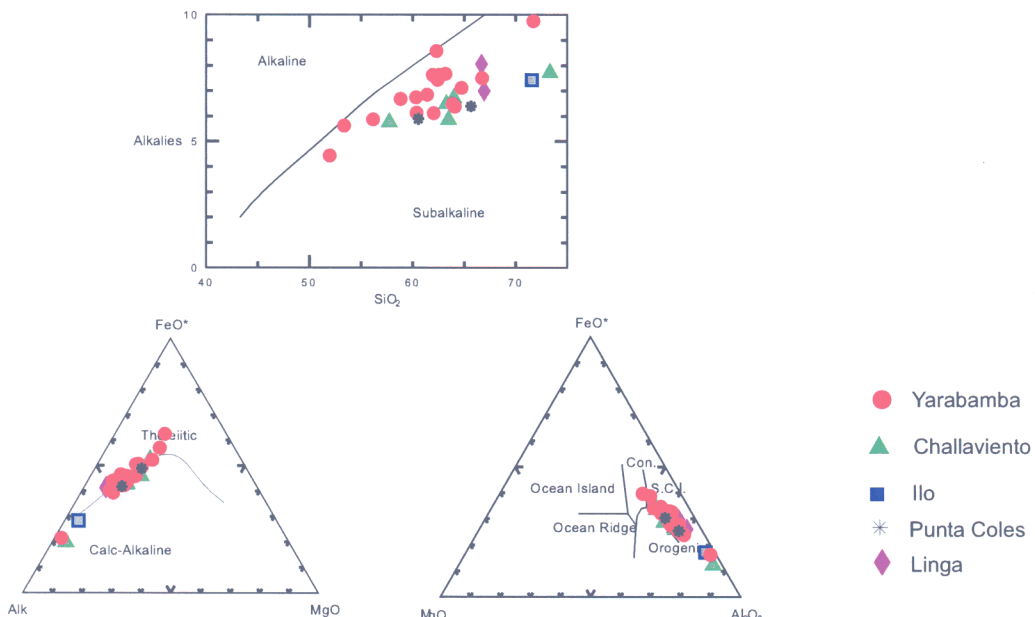


Fig. N° 32 Caracterización geoquímica y tectónica

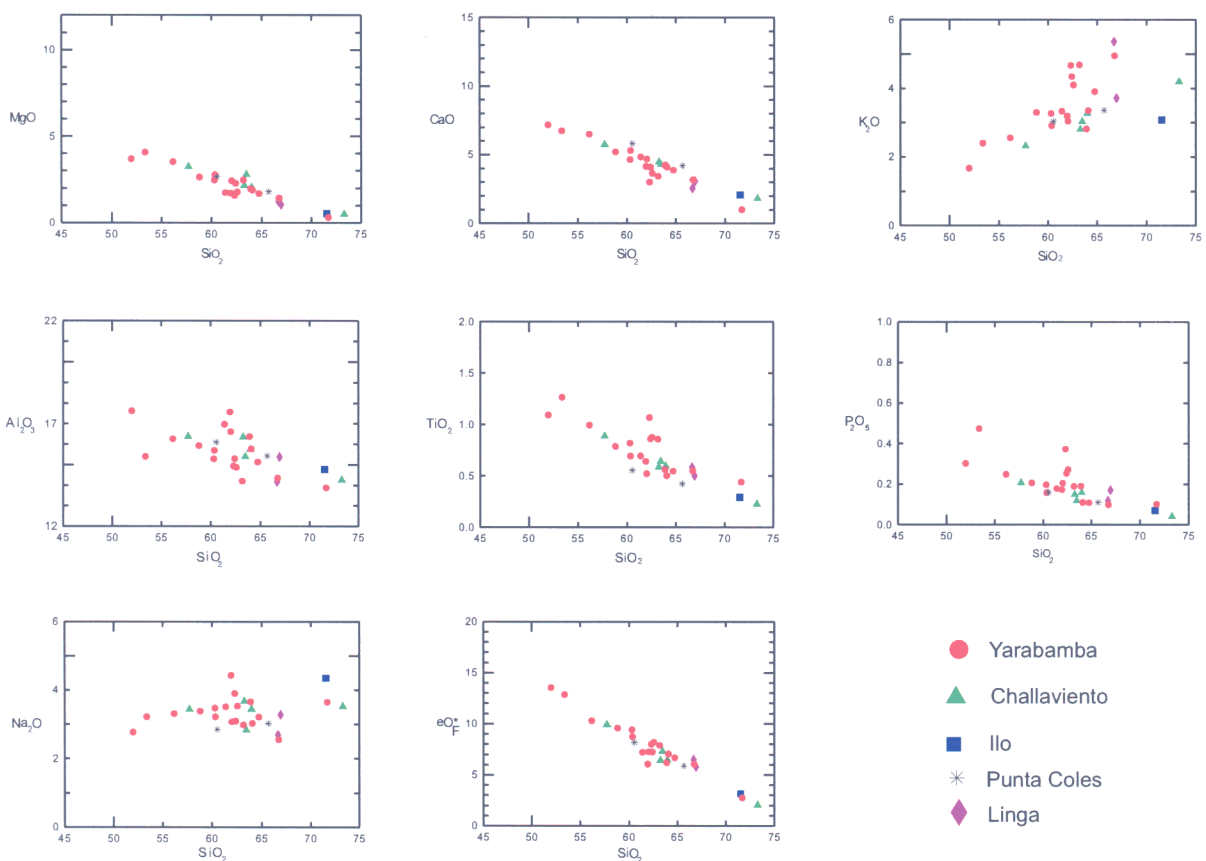


Fig. N° 33 Diagramas Harker

Unidades Yarabamba-Challaviento-Ilo-Punta Coles y Linga

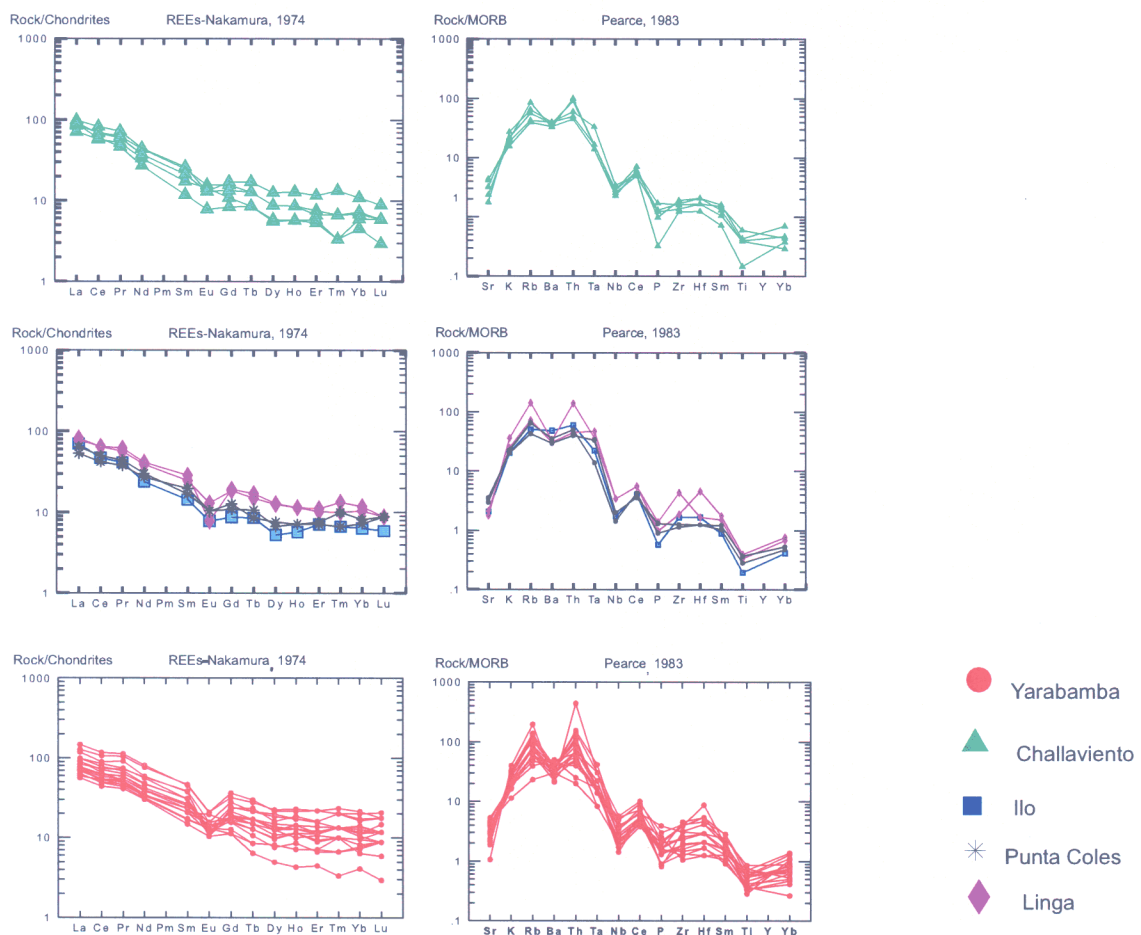


Fig. N° 34 Diagramas REE y Multielemental

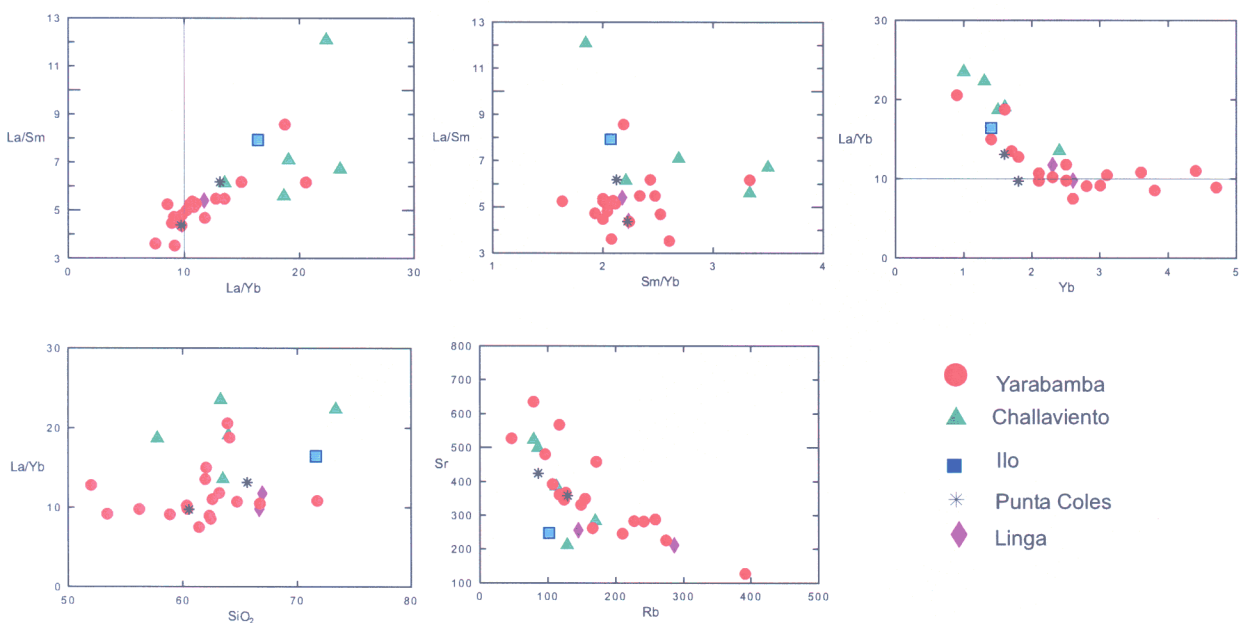


Fig. N° 35

X COMENTARIOS SOBRE EL MAPA DE CONTROL ESTRUCTURAL AEROMAGNÉTICO, CALDERAS Y ESTRUCTURAS VOLCÁNICAS

Se ha realizado un mapa de controles estructurales, con información de campo (Mapas 1/100 000 y 1/50 000) y reinterpretados en el marco tectónico de una convergencia oblicua (CORBETT, G. & LEACH, T., 1998; SAINT BLANQUAT, M., et al., 1998) donde sistemas de fallas transcurrentes están caracterizadas por su asociación con sistemas batolíticos y yacimientos porfiríticos de Cu-Au. Esta convergencia oblicua (vector de convergencia) ha generado cizalla simple que originan estructuras de dilatación y deformación extensiva por donde fue facilitado el ascenso de materiales ígneos y sistemas mineralizados paralelos al arco volcánico y con juego dextral (ver Fig. N° 36).

Las fallas transcurrentes ligadas a un régimen subductivo se desarrollan en sectores debilitados y paralelos al arco volcánico produciendo el incremento y debilitamiento termal de la corteza que originan un desplazamiento horizontal. El tectonismo de tipo transcurriencia (strike-slip) asociado a una subducción oblicua (JARRARD, R. D., 1986) es facilitada por los siguientes factores:

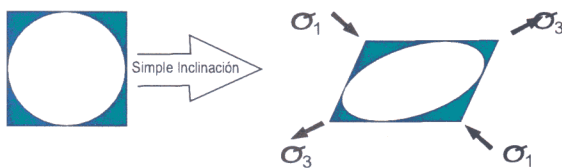
- a) Un margen paralelo y lineal al arco magmático
- b) *El alto flujo de calor en el arco es producto de la debilidad a través de la litosfera continental*

Esto conlleva a pensar en una retroalimentación posible entre el magmatismo y los procesos transpresionales, con generación y emplazamiento de plutones en zonas de debilidad por cizalla a través de diques como un mecanismo viable para el ascenso del magma (PETFORD, N., et al., 2000) (Fig. N° 37).

El Mapa de Controles Estructurales está basado en datos de campo e interpretaciones de imágenes satelitales con conceptos actualizados. Un complejo sistema de fallas transcurrentes con dirección N 60° O y movimientos sinestrales/dextrales en transpresión/transtensión, han contribuido en gran medida con el emplazamiento del Batolito de la Costa. El segmento Toquepala está representado por la Superunidad Yarabamba que aflora al oriente del sistema transpresivo/sinestral Incapuquio, intruyendo a las secuencias piroclásticas del Grupo Toquepala superior. Más al oriente el sistema Apurímac/Cailloma/Maure de movimiento dextral se encuentra emplazado en el mismo arco magmático actual que ha generado cuerpos intrusivos que aún se encuentran infirayaciendo a la cubierta volcano-sedimentaria del evento Barroso.

Entre estos dos sistemas de transcurriencia (Incapuquio/Apurímac) se originaron áreas de esfuerzos tipo extensión provocando el debilitamiento de la corteza y el colapso de los materiales corticales que formaron sistemas de calderas durante el Cretáceo (Toquepala) y Paleógeno/Neógeno (Huayllillas-Sencca). Algunos de estos sistemas pueden alcanzar los 50 km de diámetro (Chachani/Arequipa) produciendo en la periferia colapsada, perfectos arcos como los de Suches y Vizcachas (Huaytire).

OBLICUO



MODELOS FRACTURADOS

Modelo inclinado de los elementos Riedel

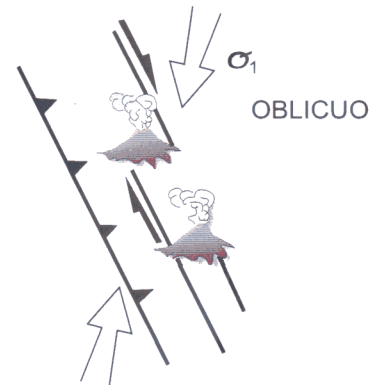
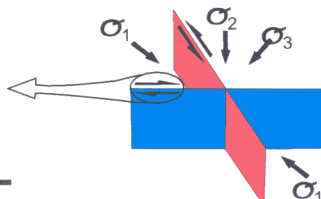
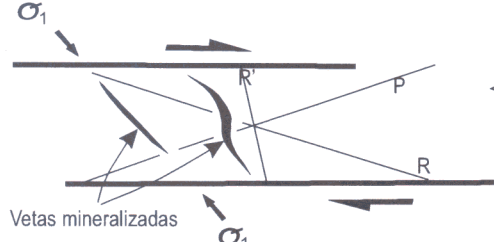
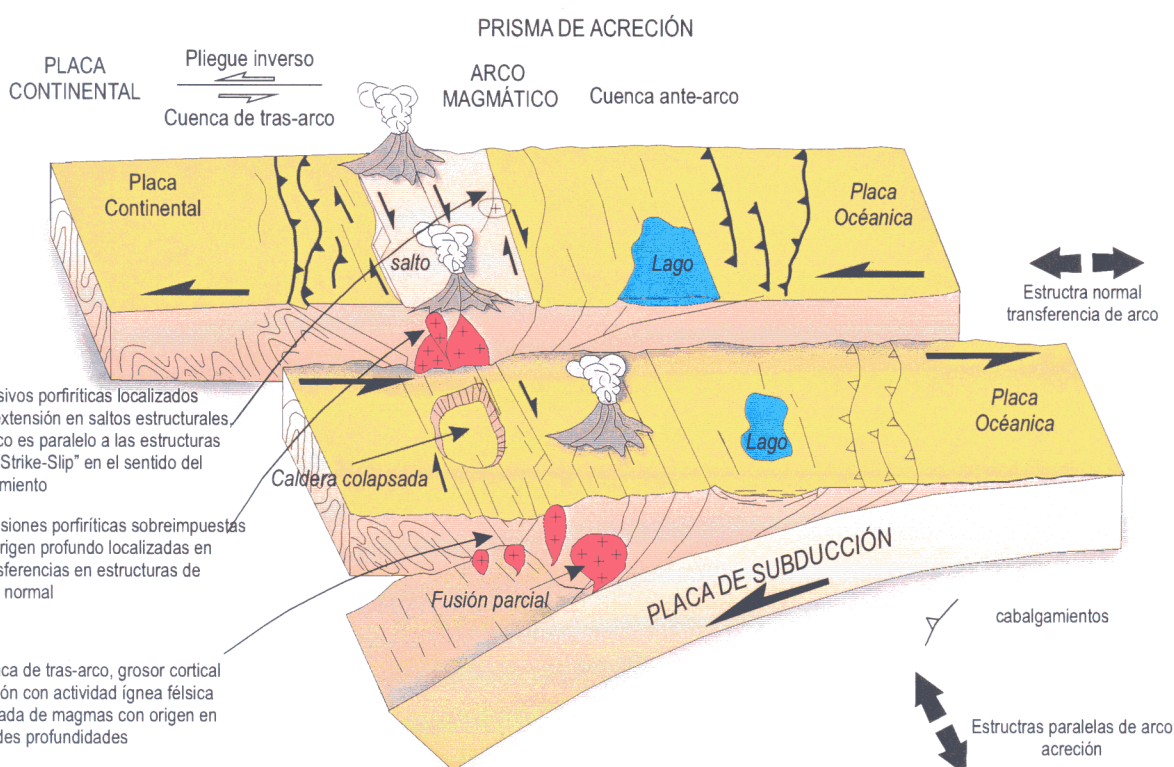


Fig. N° 36 Convergencia y fracturamiento oblicuo, está asociado a fallas transcurrentes mayores, está caracterizado por originar extensión en asociación de "Strike-Slip", o fallas transcurrentes, esta extensión facilita el amplazamiento de intrusivos y en la evolución de sistemas mineralizantes de origen magmático en altos niveles corticales, según algunos autores este tipo de convergencia oblicua propicia la formación o no de pórfitos de cobre-oro, así como sistemas de baja y alta sulfuración. Tomado de Corbett y Leach, 1998. Society of Economic Geologists, Special publication, N°6. Pp. 31-68.



Tomado de Corbett y Leach, 1998. Society of Economic Geologists, Special publication, N° 6.

Fig. N° 37

Sistemas de calderas mucho mayores han sido interpretados como Barroso-Lauca-Payachata.

Muchas estructuras asociadas a estos sistemas transcurrentes son gravitatorias con inclinación de sus planos en dirección NO, afectando a terrenos muy jóvenes (pampas de Clemesi). Estas fallas se prolongan desde Chala hasta Ilo teniendo en algunos casos, una componente horizontal (Chala/Atico/Parinacochas) con rumbos generales N 40° O y N-S.

El Mapa Aeromagnético de campo total ha proporcionado información muy valiosa, de los sistemas de fracturamiento con dirección N 60° E, que *interceptan al sistema transcurrente Incapuquio* con dirección N 50° O y cuyos afloramientos no son observados en superficie por la gruesa cobertura de las unidades Moquegua, Sotillo o Milló. Estas intersecciones están fuertemente asociadas con el emplazamiento de yacimientos porfiríticos tipo Cu-Au. Los yacimientos de Cuajone, Quellaveco y Toquepala se encuentran en este tipo de lineamientos (N 60°) que se proyectan en superficie. El Mapa Aeromagnético interpretado demuestra un complejo sistema de transcurencias dextrales/sinestrales que se observan claramente entre las anomalías de alta y baja atracción magnética. Las intersecciones sugieren fuertemente, posibles emplazamientos de sistemas porfiríticos de Cu-Au. Estas ideas están reforzadas en estudios similares realizados recientemente en Chile (TOSDAL, R.M & RICHARDS, J.P. 2001) basándose en estudios regionales efectuados en Argentina (SALFITY, J. A., 1985) donde las direcciones de los lineamientos (N 120°) que interceptan a las fallas transcurrentes Domeyko son similares a las del sur del Perú, diferenciada solamente por la inflexión de Arica (ver mapa de controles estructurales). Esta similitud sugiere que los lineamientos jugaron un rol importante desde tiempos precretácicos y al parecer son producto directo de la apertura Atlántica durante el Jurásico (fallas transformantes).

ANEXO I

Nuevas Dataciones en el Sur del Perú (Paralelos 16° - 18° 30' sur)

N.º	Código de Muestra	Coordenadas Geodésicas	Longitud Oeste	Latitud Sur	Coordinadas UTM	Cuadrángulo	Número de Hoja	Lugar o Paraje	Tipo de Roca	Grupo o Formación	Método Dato	Mineral Dato	Edad Dato	Radiométrica	Margen de Error
1	Ta-020400	17.425006/371191	70.0807088/008883	8.093 670	364 305	Tarata	35-v	Cerro Estronre Huyucto	Lavas	Fm. Huilacollo	K-Ar	RT	21,3	± 0,7	
2	Ta-380500	17.381395/63634	70.127384/794679	8.105 848	353 047	Tarata	35-v	Oeste de Quilicata	Toba	Grupo Barroso	K-Ar	RT	-1	± 1,0	
3	Ta-510500	17.118807/5493081	70.297150/3342337	8.106 841	362 004	Tarata	35-v	Oja, Huarijeque	Toba	Grupo Barroso	K-Ar	RT	4,8	± 0,5	
4	Ta-705000	17.117451/1141774	70.271032/5845454	8.107 005	364 782	Tarata	35-v	Oja, Nazaparco	Lavas	Grupo Barroso	K-Ar	RT	5,6	± 0,2	
5	Ta-580500	17.173980/9620718	70.285808/9586415	8.100 745	363 252	Tarata	35-v	Rio Callazas	Toba	Grupo Barroso	K-Ar	RT	6	± 0,3	
6	Ta-510500	17.610500/1226026	70.286868/908547	8.109 716	347 987	Tarata	35-v	Oja, Chuquiananta	Lavas	Grupo Barroso	K-Ar	RT	3,4	± 0,2	
7	Pa-070600	17.474245/59061821	70.328881/14334	8.067 623	379 765	Tarata	35-v	Tala (margen derecha río)	Lavas	Fm. Samanáte	Ar-Ar	RT	24,6	± 0,8	
8	Ta-706000	17.481447/78812738	70.0553/134287021	8.065 874	387 955	Tarata	35-v	Cerro Picaso	Tonallata	Superunidad Challaviento	K-Ar	RT	41,6	± 1,0	
9	Ta-080600	17.084033/87141	70.1084/10196270	8.094 873	382 555	Tarata	35-v	Cerro Ichocollo	Brecha	Grupo Barroso	K-Ar	RT	-1	± 1,0	
10	Cl-78	17.029093/29569	71.322701/1014675	8.116 754	257 734	Clemensi	35-t	Oja, Tunacocha	Granodiorita	Superunidad Yarábamba+	K-Ar	RT	81	± 0,2	
11	Cl-96	17.031170/657919	71.944442/2897206	8.115 803	277 056	Clemensi	35-t	Oja, Volcancillo	Toba	Fm. Moquegua	K-Ar	RT	25,6	± 0,7	
12	98AP07/5318	17.020055/531340	70.391526/7066624	8.117 700	351 885	Tarata	35-v	Cerro Tutupaca	Lavas	Grupo Barroso	Ar-Ar	RT	0,244	± 0,037	
13	98AP07/419	17.020057/3707659	70.3846/791926	8.118 448	352 049	Tarata	35-v	Cerro Tutupaca	Brecha	Fm. Maure	K-Ar	RT	0,285	± 0,027	
14	Hu-010600	16.605387/21294	70.293249/97448956	8.163 653	362 249	Huallite	34-v	Anunaya	Toba	Fm. Visachas*	K-Ar	RT	12,6	± 1,50	
15	Hu-NO121	16.587657/0472156	70.44154/20333389	8.165 507	346 212	Huallite	34-v	Cerro Huallite	Brecha	Fm. Visachas*	K-Ar	RT	8,5	± 0,50	
16	Hu-NO122	16.584446/77656	70.444432/977608	8.158 222	349 156	Huallite	34-v	Rio Chilata	Toba	Fm. Visachas*	K-Ar	RT	9	± 0,90	
17	Hu-NO131	16.695444/98337119	70.3607980/2029119	8.153 640	347 909	Huallite	34-v	Rio Condoriondilla	Brecha	Fm. Visachas*	K-Ar	RT	8,7	± 0,50	
18	Ichu-16	16.331479/6801985	70.507857/861073	8.193 802	338 947	Ichuña	33-u	Oja, Patasquena	Lavas	INIA	K-Ar	RT	8,6	± 0,40	
19	Ichu-11	16.408486/682226	70.510387/73196322	8.185 109	317 356	Ichuña	33-u	Cerro Atasapa	Brecha	Fm. Llallalí	K-Ar	RT	5	± 0,50	
20	JT-000620	16.887639037998	71.548066/29561	8.153 063	352 157	Moquegua	35-u	Mina Tófenes	Apita	Superunidad Yarábamba	Ar-Ar	RT	60,4	± 0,70	
21	JT-000620	16.887639037998	71.548066/29561	8.153 333	228 511	La Joya	34-s	Cerro Bojilla	Monzogranito	Superunidad Yarábamba	K-Ar	RT	84	± 2,00	
22	JT-000626	16.930152/3678568	71.7506283146768	8.128 123	207 012	La Joya	34-s	Cerro Escaleria	Toba	Superunidad Punta Coles	K-Ar	RT	170	± 4,00	
23	Lo-105	16.728477/365773224	70.728485/5773224	8.033 007	316 777	Locumba	34-u	Cerro Del Medio	Toba	Fm. Huayllillas	K-Ar	RT	19	± 0,50	
24	206000	16.9963639/750734	69.93242/2216/06	8.124 060	433 541	Mazo Cruz	34-x	Paruyo	Lavas	Grupo Barroso	K-Ar	RT	2,8	± 0,10	
25	207000	16.982482/605196	69.985092/603048	8.125 571	425 992	Mazo Cruz	34-x	Rio Tupala	Lavas	Grupo Barroso	K-Ar	RT	5,5	± 0,20	
26	209000	16.676253/5658221	69.985472/9433464	8.156 172	440 852	Mazo Cruz	34-x	Cerro Pucará	Lavas	Fm. Sillapaca	K-Ar	RT	8,3	± 0,30	
27	2110000	16.697369/443361	69.931976/443361	8.157 882	427 353	Mazo Cruz	34-x	Cerro Talacolla	Brecha	Fm. Sanca**	K-Ar	RT	7,6	± 0,10	
28	1306000	16.75182/7695228	64.9532/3093629	8.147 704	405 053	Mazo Cruz	34-x	Cerro Talacolla	Lavas	Fm. Sanca**	K-Ar	RT	7,5	± 0,30	
29	1606000	16.88525/97971327	69.55895/6861/181	8.158 373	440 452	Mazo Cruz	34-x	Cerro Apacheta	Lavas	Grupo Barroso	K-Ar	RT	2,6	± 0,20	
30	2070000	16.792482/6089895	69.7073/6039/1875	8.131 858	424 662	Mazo Cruz	34-x	Rio Yusta	Lavas	Grupo Barroso	K-Ar	RT	2,4	± 0,70	
31	3006000	16.85471/5449355	69.982/1936/0028	8.136 322	427 328	Mazo Cruz	34-x	Cerro Taruja	Lavas	Grupo Barroso	K-Ar	RT	7,7	± 0,40	
32	3106000	16.88771/17591486	69.98560/20825144	8.132 751	430 123	Mazo Cruz	34-x	Rio Oircoma	Lavas	Grupo Barroso	K-Ar	RT	7,5	± 0,50	
33	3206000	16.88164/13524049	69.919762/8228565	8.136 754	433 978	Mazo Cruz	34-x	Oja, Cachuma	Brecha	Fm. Seneca**	K-Ar	RT	2,4	± 0,20	
34	3306000	16.88164/13524049	69.919762/8228565	8.137 982	437 353	Mazo Cruz	34-x	Oja, Cachuma	Lavas	Grupo Barroso	K-Ar	RT	2,6	± 0,20	
35	3406000	16.8253/86671901	69.844265/7590511	8.139 643	431 145	Mazo Cruz	34-x	Velcón San Francisco de Pachapacu	Lavas	Fm. Seneca**	K-Ar	RT	6,1	± 0,30	
36	4606000	16.75799/2652375	69.88772/5363312	8.140 055	405 384	Mazo Cruz	34-x	Huajra Apacheta	Brecha	Fm. Seneca**	K-Ar	RT	8,7	± 1,10	
37	3906000	16.89606/24174761401	69.92481/79428847	8.145 844	395 230	Mazo Cruz	34-x	Oja, Sarahocha	Lavas	Fm. Llallalí	K-Ar	RT	8,2	± 0,30	
38	39406000	16.8722/17591486	69.919762/8228565	8.146 134	400 022	Mazo Cruz	34-x	Rio Esquino	Subvolcánico	K-Ar	RT	2,64	± 0,06		
39	Mo-000600	16.98521/61596428	66.061/194246/1306	8.121 950	812 988	Mollendo	34-r	Oja, Guerrieros	Brecha	Fm. Paralaje Sup.	K-Ar	RT	3,8	± 0,10	
40	Mo-20000401	17.1523/65972440	70.898/8666666667	8.101 805	298 020	Moquegua	35-u	Cerro Los Angeles	Toba	Fm. Huayllillas	K-Ar	RT	72,4	± 0,70	
41	Mo-20000403	17.1523/65972440	70.891/42845/695931	8.102 514	298 804	Moquegua	35-u	Cerro Los Angeles	Toba	Fm. Huayllillas	K-Ar	RT	71,4	± 0,80	
42	Mo-20000403	17.1594/216367140	70.881/707/970862	8.101 839	299 845	Moquegua	35-u	Cerro Yalquillaje	Toba	Fm. Huayllillas	K-Ar	RT	71	± 2,00	
43	PS460500	16.99542/52/2232	71.1352/194/900303	8.119 673	272 245	Puquiza	34-t	Cerro Canterbury	Toba	Fm. Moquegua	K-Ar	RT	28	± 0,80	
44	PS300500	16.908166/2492152	71.221/005/863653	8.129 270	263 425	Puquiza	34-t	Oja, Pachas	Andesitas	K-Ar	RT	9,2	± 0,30		
45	OT-38	17.00061/1939/553	70.865/22/8228539	8.118 509	305 780	Moquegua	35-u	Ora	Andesitas	Fm. Pichu++	K-Ar	RT	65	± 2,00	
46	HHB-20000202	17.1523/65972440	70.891/42845/695947	8.101 805	320 070	Moquegua	35-u	Cerro Tolomani	Toba	Fm. Huayllillas	K-Ar	RT	17,9	± 0,60	
47	Oc-000722	16.1930/298662579	67.44/3382/462886	8.102 514	328 218	Moquegua	33-p	Oja, Oscuyo-C- los Castillos	Toba Lapilli	Fm. Seneca	K-Ar	RT	1,98	± 0,03	
48	Omt-07	16.591744/796781	70.881/707/970862	8.101 839	329 084	Moquegua	34-u	Oja, Pasillo	Cuarzo Montizodiorita	INA	K-Ar	RT	8,4	± 0,30	
49	Omt-14	16.818866/88249291	70.894/89/2492/81	8.139 526	299 149	Omale	34-u	Tobas Rojillas	Ondas	Fm. Huayllillas++	K-Ar	RT	75	± 2,00	
50	Omt-38	16.54879/14976813	70.667/77/12989515	8.169 612	320 270	Omale	34-u	Cerro Quento	Ondas	Fm. Huayllillas++	K-Ar	RT	11,8	± 0,10	
51	Omt-39	16.58494/61/85145	70.61/102391/195947	8.164 564	328 218	Omale	34-u	Cerro Tolomani	Ondas	Fm. Huayllillas++	K-Ar	RT	8,3	± 0,60	
52	Omt-55	16.49477/28/7887/27	70.581/748/1955/74	8.148 074	328 218	Omale	34-u	Cerro Seborane	Ondas	Fm. Huayllillas++	K-Ar	RT	0,5	± 0,10	
53	Omt-57	16.66075/44/68634	70.698/767/4475/503	8.148 074	328 218	Omale	34-u	Cerro Yalache	Ondas	Fm. Huayllillas++	K-Ar	RT	11,9	± 0,40	
54	Pa-010600	13.0650/22/60591	69.564/94/1276/52	8.055 442	438 752	Palca	36-x	Cerro Paocahua	Subvolcánico nítico	INA	K-Ar	RT	3,4	± 0,10	
55	Pa-090600	17.5134/17688/267	69.66/64/55/1955/29	8.064 424	430 178	Palca	36-x	Cerro Quisiquesa	Andesitas	K-Ar	RT	2,7	± 0,10		
56	Pa-100600	17.5134/17688/267	69.66/64/55/1955/29	8.063 524	439 453	Palca	36-x	Cerro Quisiquesa	Andesitas	K-Ar	RT	2,6	± 0,10		
57	Pa-210600	17.623/645/21102	69.66/99/7736755/99	8.051 324	425 763	Palca	36-x	Oja, Vilavique	Andesitas	K-Ar	RT	3,1	± 0,20		

Puedes corresponder a la Superunidad Linga?

Puedes corresponder a la SU Linga?

Estratovolcán Túlipacaya con la localidad tipo

Igrimbitas muy soldadas-possible placito?

Tobas soldadas, disconforme sobre Mata la que

Transición cretácica/paleógena

Lavas efusivas

Al-Al	R	11,6	$\pm 0,70$	[gnimbritas muy soldadas]
11,6	11,6	11,6	$\pm 0,70$	[gnimbritas muy soldadas]

R-1. Muestra internacional de riolitas (Proyecto Multinacional Andino año 2000)
*La Formación Vizcachas en realidad es la parte superior de la Formación Maure consistente en flujos de lignimbritas (tobas soldadas)

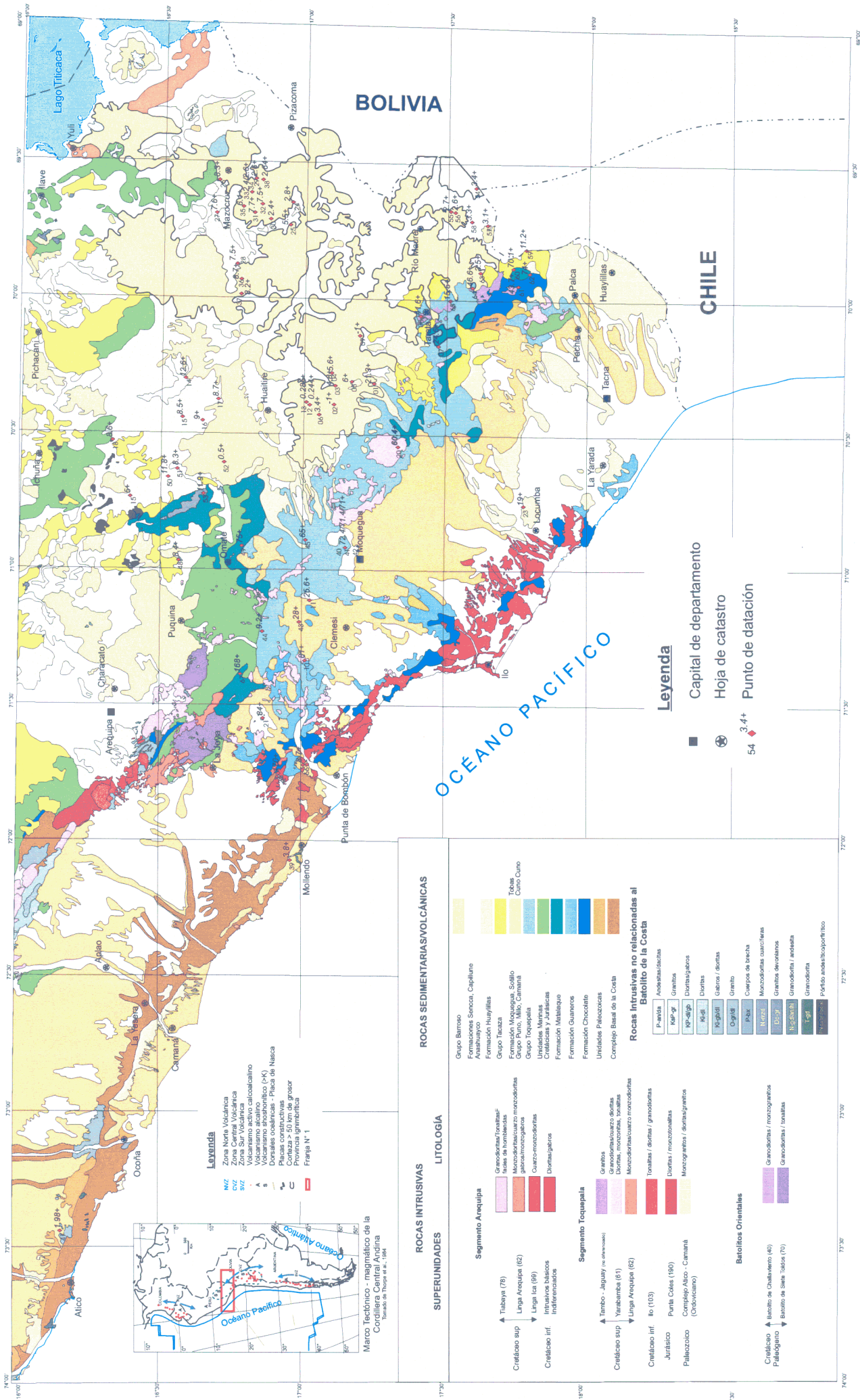
^{**}Las secuencias de tobas asignadas a esta unidad en realidad son parte de la facies finales de la Formación Maure, correlacionables con la Formación Vizcachas de la hoja de Huaytire.

+Estas dos edades asignadas a la Superunidad Yarabamba son bastante antiguas pudiendo incluso ser parte de la Superunidad Linga?

+++ Secuencias basales del Grupo Toquepala (Omate), sobreycace a la facies volcanoclasticas de la Formación Matalaque, la edad de 75 Ma, es relativa, no representa posiblemente la isocrona real debido a las disconformidades +++ Edad controvertida existiendo la posibilidad de ser en realidad otra unidad más joven y no sea parte de esta unidad cuyas edades son más antiguas (equivalente al Grupo Tacazza y Formación Samanano)

(a) El problema es la baja edad hallada (11.2 Ma) ya que dicha formación es más antigua (20 Ma), es posible que sea una unidad diferente efusiva y que pertenezca al evento Clemesi/Mazo Cruz/Huaytire, que depositaron facies de tobas (Vizcachas). (b) Actualmente, cartografiada como Formación Maitanocue, aunque una datación reciente (MAP-20000) de 160 Ma., sugiere que se trata de una formación muy antigua.

Mapa de Rocas ígneas y nuevas dataciones K-Ar, paralelos 16° 00' - 18° 30' Sur



ANEXO II-A

Anexo II -A Geoquímica de las Muestras Datadas (K-Ar)

	Su.Pta. Coles	Fm. Chocolate	Fm. Mataque	Grupo Toquepala			
Muestra	JT000656	PQ1330600	OMT14	MO20000401	MO20000402	MO20000403	PER1
Hoja	La Joya	Puquina	Omate	Moquegua	Moquegua	Moquegua	Moquegua
Coordenadas	8126123/207012	8142587/246323	8139526/299149	8101805/298020	8102514/298804	8101839/299845	8103299/299135
Tipo de roca	Monzogranito	Lavas	Toba	Toba	Toba	Toba	Toba
SiO ₂	65,25	55,82	72,86	73,24	74,48	74,15	75,09
TiO ₂	0,42	0,63	0,21	0,25	0,17	0,25	0,15
Al ₂ O ₃	15,33	15,82	13,04	13,15	12,75	12,65	12,53
Fe ₂ O ₃	4,26	7,13	1,57	1,71	1,38	1,85	1,6
FeO	2,01	2,76	0,13	0,17	0,13	0,22	0,4
MnO	0,1	0,17	0,06	0,07	0,05	0,06	0,04
MgO	1,78	3,1	0,42	0,28	0,31	0,38	0,35
CaO	4,18	2,91	1,21	0,72	1,15	0,81	1,18
Na ₂ O	3,01	5,53	2,81	2,42	3,19	2,03	3,29
K ₂ O	3,34	2,64	4,41	4,71	4,18	4,18	4,37
P ₂ O ₅	0,11	0,19	0,04	0,04	0,04	0,09	0,03
H ₂ O	-	-	-	-	-	-	0,35
Rb	129,5	73,8	136	194	140	127	127
Ba	711	500	925	1045	860	694	823
Sr	358	334	139,5	89,1	118,5	118	126
V	115	210	10	10	10	25	19
Ni	-1	10	-1	5	5	5	-1
Zr	102,5	123	110,5	197,5	111	133,5	90
Sc	-	-	-	-	-	-	2,7
Cu	95	70	-1	5	-1	5	4
Ag	3	-1	-1	-1	-1	-1	-
CO ₂	-1	-1	-1	0,2	-1	-1	0,09
LOI	0,77	4,3	2,36	2,51	1,37	2,8	1,17
Sn	-1	1	-1	-1	-1	-1	1,2
Ta	2,5	-1	3	-1	0,5	-1	0,6
Th	10	6	20	19	16	12	14,3
U	3,5	2,5	5	3,5	3,5	2	2,52
W	59	9	118	26	45	21	1,7
Zn	50	210	20	30	40	45	22
La	21	16,5	27	26	24	24	26
Ce	43	38	49,5	51	41,5	46	45,1
Pr	4,9	4,9	5,4	5,7	4,5	5,2	4,2
Nd	19	20	18	19	14	18	13,8
Gd	3	4	2,9	3,1	2	2,8	1,8
Tb	0,5	0,6	0,4	0,5	0,3	0,4	-1
Dy	2,3	3,2	2,4	2,6	1,6	2,4	1,6
Ho	0,5	0,7	0,5	0,5	0,3	0,4	0,3
Sm	3,4	4,3	3,1	4,1	2,2	3,1	2,2
Eu	0,8	1,1	0,5	0,7	0,4	0,5	0,5
Er	1,6	2,2	1,5	1,6	1,1	1,4	1,02
Lu	0,3	0,4	0,3	0,3	0,2	0,2	0,21
TM	0,2	0,3	0,2	0,3	0,1	0,2	-1
Yb	1,6	1,9	2,1	2,1	1,1	1,7	1,2
Co	15,5	21,5	14	4	4,5	6,5	2
Cs	3,6	56,4	1,8	9,7	6,7	12,7	7,2
F	-	-	-	-	-	-	-
Ga	16	19	13	15	14	15	12
Ge	-	-	-	-	-	-	-
Hf	3	3	4	6	3	4	2,61
Li	-	-	-	-	-	-	36
Mo	-	-	-	-	-	-	3
Nb	5	4	7	7	5	5	6,58
Os	-	-	-	-	-	-	-
Pb	-1	5	15	30	25	20	20,7
S	-	-	-	-	-	-	-1
Y	14	19	13,5	16	10	12,5	11,5

Muestra	Grupo Toquepala		Superunidad Yarabamba				
	OT03	PA870600	CL78	JT000620	98AP074/515	PA360600	PA520600
Hoja	Moquegua	Tarata	Clemesi	La Joya	Moquegua	Palca	Palca
Coordenadas	8118509/300978	8067623/379765	8116754/252734	8133333/228511	8082621/337352	8038549/407929	8032376/407224
Tipo de roca	Toba	Lavas	Granodiorita	Monzogranito	Aplita	Granodiorita	Granodiorita
SiO ₂	51,68	60,73	61,89	60,93	69,95	63,71	53,29
TiO ₂	1,52	0,61	0,7	0,7	0,43	0,5	1,12
Al ₂ O ₃	15,61	16,68	17,1	15,84	13,53	15,67	18,06
Fe ₂ O ₃	11,12	5,82	5,04	5,89	2,91	4,46	8,84
FeO	6,01	2,93	2,73	3,51	0,07	2,99	5,91
MnO	0,16	0,09	0,1	0,11	0,02	0,08	0,15
MgO	3,59	2,96	1,75	2,79	0,3	1,88	3,78
CaO	7,37	4,39	4,88	5,36	0,98	4,08	7,35
Na ₂ O	3,56	3,75	3,54	3,25	3,56	3,01	2,84
K ₂ O	2,01	1,97	3,36	2,94	5,95	3,33	1,71
P ₂ O ₅	0,45	0,17	0,18	0,16	0,1	0,11	0,31
H ₂ O	-	-	-	-	0,48	-	-
Rb	71	58,6	171,5	117	391	107	46,4
Ba	554	747	761	710	423	967	607
Sr	438	550	458	361	127,5	392	527
V	335	125	100	145	35	90	180
Ni	10	20	15	15	-1	10	15
Zr	158,5	145	143,5	169	287	120	95
Sc	-	-	-	-	-	-	-
Cu	40	35	50	70	145	15	50
Ag	-1	1	-1	-1	-1	-1	-1
CO ₂	-1	-1	-1	-1	-1	-1	-1
LOI	1,59	2,38	0,53	0,35	0,83	1,65	0,97
Sn	1	1	1	1	1	1	-1
Ta	0,5	1	3	3	5,5	1,5	1,5
Th	8	7	20	9	88	13	4
U	3	1,5	8,5	3,5	14,5	2,5	0,5
W	12	25	64	56	148	35	29
Zn	105	95	70	115	20	130	80
La	25	22,5	19,5	24,5	39	30	23
Ce	59,5	47,5	46	53	77	56,5	47
Pr	8	5,6	6,1	6,6	10,2	5,7	5,5
Nd	34,5	20,5	24	25	37	20	21,5
Gd	7,6	3,3	4,8	4,9	6,4	3,1	4,3
Tb	1,1	0,5	0,8	0,7	1,1	0,4	0,6
Dy	6,6	2,6	4,6	4,3	5,5	2,8	3,3
Ho	1,4	0,5	0,9	0,9	1,3	0,5	0,8
Sm	8,2	4,1	5,4	5,1	7,6	3,5	4,2
Eu	1,9	1	1,2	1,2	0,8	1	1,5
Er	4	1,5	2,7	2,5	3,6	1,6	2
Lu	0,6	0,2	0,4	0,4	0,6	0,3	0,3
TM	0,6	0,2	0,4	0,4	0,6	0,2	0,3
Yb	3,4	1,4	2,6	2,5	3,6	1,6	1,8
Co	32	14,5	18	21	19	16,5	30
Cs	2,5	2,7	16	6,2	7,1	4,3	1,9
F	-	-	-	-	-	-	-
Ga	25	20	24	18	15	18	22
Ge	-	-	-	-	-	-	-
Hf	4	4	5	5	10	3	3
Li	-	-	-	-	-	-	-
Mo	-	-	-	-	-	-	-
Nb	6	6	6	5	12	7	7
Os	-	-	-	-	-	-	-
Pb	15	5	25	20	-1	10	-1
S	-	-	-	-	-	-	-
Y	34	14	24,5	23,5	-	14	17,5

	Superunidad Challaviento			Fm. Moquegua		Fm. Huilacollo	
Muestra	PA430600	PA570600	TA700600	CL96	HHB000202	TA020400	PA310600
Hoja	Palca	Palca	Tarata	Clemesí	Moquegua	Tarata	Paíca
Coordenadas	8035899/402354	8054874/401204	8066874/387955	8115803/277056	8102514/298804	8093670/364305	8035774/414828
Tipo de roca	Granodiorita	Granodiorita	Tonalita	Toba	Toba	Lavas	Lavas
SiO ₂	58,61	64,15	63,72	65,55	65,96	59,99	56,77
TiO ₂	0,9	0,65	0,59	0,22	0,41	0,66	0,63
Al ₂ O ₃	16,62	15,55	16,45	13,11	16,08	16,87	17,7
Fe ₂ O ₃	6,39	4,95	4,51	1,63	3,22	5,78	6,53
FeO	4,31	2,92	2,4	0,03	0,23	1,96	3
MnO	0,1	0,08	0,08	0,08	0,08	0,09	0,13
MgO	3,28	2,81	2,16	1,26	0,37	2,66	3,57
CaO	5,83	4,33	4,5	2,54	3,21	5,31	6,47
Na ₂ O	3,49	2,86	3,7	2,85	3,22	3,42	3,14
K ₂ O	2,35	3,06	2,82	3,2	3,82	2,66	1,8
P ₂ O ₅	0,21	0,12	0,15	0,07	0,21	0,2	0,22
Hf ₂ O	-	-	-	-	-	-	-
Rb	79	170	85,2	146	145	55	38,2
Ba	671	656	801	706	1065	849	685
Sr	523	283	499	415	358	557	646
V	155	110	95	35	5	125	150
Ni	30	25	5	15	5	30	25
Zr	145	171,5	123	101	318	149	106,5
Sc	-	-	-	-	-	-	-
Cu	50	55	35	20	-1	55	30
Ag	1	-1	-1	1	-1	-1	-1
CO ₂	-1	-1	-1	-1	0,6	-1	-1
LOI	0,63	0,83	0,55	8,45	2,43	1,39	2,15
Sr	1	2	-1	1	1	-1	-1
Ta	2,5	3	3	1,5	-1	-1	0,5
Th	9	20	10	18	15	6	3
U	2	5,5	1,5	3,5	3,5	0,5	0,5
W	56	55	62	27	28	40	18
Zn	85	60	65	45	90	70	80
La	28	32,5	23,5	32,5	36,5	25,5	18,5
Ce	60	71	49,5	64	77	47	40
Pr	7	8,1	5,8	6,8	9,6	6	4,9
Nd	27,5	28	21	23	34,5	22	19
Gd	4,3	4,7	3	3	6,1	3,6	3
Tb	0,6	0,8	0,4	0,4	0,8	0,5	0,4
Dy	3	4,3	2	2,4	4	2,3	2,4
Ho	0,6	0,9	0,4	0,5	0,8	0,5	0,5
Sm	5	5,3	3,5	3,8	6,9	4,5	3,5
Eu	1,2	1	1,1	0,6	1,7	1,2	1
Er	1,7	2,6	1,2	1,5	2,3	1,5	1,4
Lu	0,2	0,3	0,1	0,3	0,4	0,2	0,2
TM	0,2	0,4	0,1	0,2	0,4	0,2	0,1
Yb	1,5	2,4	1	1,8	2,2	1,3	1,4
Co	29,5	22,5	20	8,5	4,5	22,5	24,5
Cs	2,5	3,9	2,2	7,1	27,7	1,6	0,9
F	-	-	-	-	-	-	-
Ga	23	19	21	19	21	20	23
Ge	-	-	-	-	-	-	-
Hf	4	5	4	3	9	4	3
Li	-	-	-	-	-	-	-
Mo	-	-	-	-	-	-	-
Nb	8	10	9	9	7	6	4
Os	-	-	-	-	-	-	-
Pb	-1	15	-1	30	40	15	-1
S	-	-	-	-	-	-	-
	16	23	10,5	14,5	20	13,5	12,5

	Fm. Huayllas	Intrusivos No Asignados					
Muestra	LO105	PA600600	OMT57	PS330500	OMT07	ICHU16	PA010600
Hoja	Locumba	Palca	Omate	Puguina	Omate	Ichuña	Palca
Coordenadas	8033007/316772	8063174/393904	8157203/318834	8129270/263425	8164630/292028	8193802/338947	8555442/438752
Tipo de roca	Toba	Granodiorita	Granodiorita	Sub-volcánico	Monzodiorita	Sub-volcánico	Sub-volcánico
SiO ₂	67,7	56,53	62,17	59,73	60,66	69,39	72,42
TiO ₂	0,37	0,86	0,76	0,81	0,77	0,27	0,14
Al ₂ O ₃	15,09	17,06	15,69	16,93	16,22	15,25	14,83
Fe ₂ O ₃	2,99	7,76	5,49	5,81	5,75	1,65	1,16
FeO	0,4	3,04	2,59	2,31	2,56	0,41	0,49
MnO	0,08	0,12	0,08	0,11	0,09	0,03	0,06
MgO	0,95	3,48	2,43	2,1	2,93	0,36	0,2
CaO	2,51	6,74	4,07	4,64	5,08	1,08	1,69
Na ₂ O	3,64	3,21	3,45	3,81	3,63	4,2	4,02
K ₂ O	4,27	2,42	4,1	3,76	3,2	4,82	4
Pt ₂ O ₅	0,12	0,18	0,17	0,39	0,19	0,07	0,03
H ₂ O	-	-	-	-	-	-	-
Rb	109	120	239	96	137	123	177,5
Ba	834	536	677	1285	803	1340	1035
Sr	306	441	365	844	494	246	351
V	75	190	135	100	135	5	5
Ni	15	20	20	10	20	5	5
Zr	145	175	253	208	183,5	245	92
Sc	-	-	-	-	-	-	-
Cu	15	130	100	20	30	25	-1
Ag	-1	-1	-1	6	-1	-1	-1
CO ₂	-1	-1	-1	-1	-1	-1	-1
LOI	1,3	0,08	0,74	0,63	0,57	1,31	0,13
Sn	-1	1	1	-1	-1	3	-1
Ta	1,5	2	4,5	1	0,5	1,5	2,5
Th	14	14	33	13	23	10	15
U	5,5	3,5	8	3,5	5	3	5
W	31	45	101	44	41	21	57
Zn	50	105	65	95	45	60	60
La	27,5	23,5	32,5	48	35	48,5	30,5
Ce	55,5	54,5	74	95,5	70,5	103,5	61,5
Pr	6,1	6,6	8,7	11,5	8,2	11,8	6,5
Nd	21,5	26	32,5	45	30	43	22,5
Gd	3,1	4,6	5,3	6,2	4,8	5,5	2,7
Tb	0,5	0,7	0,8	0,8	0,6	0,8	0,4
Dy	2,7	3,8	4,1	4,1	3,2	3,9	1,9
Ho	0,6	0,8	0,8	0,7	0,6	0,8	0,4
Sm	3,8	5,1	6,2	7,1	5,2	7,1	3,3
Eu	0,9	1,2	1,1	1,9	1,2	1,4	0,9
Er	1,6	2,2	2,4	2,2	1,7	2,2	1,1
Lu	0,3	0,3	0,3	0,3	0,2	0,3	0,1
TM	0,3	0,3	0,4	0,3	0,3	0,3	0,1
Yb	1,8	2	2,3	2	1,9	2	1,1
Co	11	34	30,5	19,5	18,5	9	7
Cs	1,1	5,9	13,6	2,5	5,4	1,6	5,8
F	-	-	-	-	-	-	-
Ga	20	21	20	22	19	23	20
Ge	-	-	-	-	-	-	-
Hf	4	5	8	6	6	7	3
Li	-	-	-	-	-	-	-
Mo	-	-	-	-	-	-	-
Nb	8	7	11	9	8	12	8
Os	-	-	-	-	-	-	-
Pb	20	-1	5	25	15	20	35
S	-	-	-	-	-	-	-
Y	15	20,5	22	20,5	16,5	21,5	10,5

	Fm. Maure	Fm. Pichu	Fm. Viscachas			Fm. Sillapaca
Muestra	HU010600	OMT39	OMT38	HUNO121	HUNO122	HUNO131
Hoja	Huaytire	Omate	Omate	Huaitire	Huaitire	Huaitire
Coordenadas	8163653/362048	8164564/328218	8169612/320970	8165507/346212	8158122/349156	8153640/354909
Tipo de roca	Brecha	Toba	Andesita	Toba	Toba	Brecha
SiO ₂	69,98	73,07	57,58	66,35	73,34	73,33
TiO ₂	0,2	0,28	0,74	0,32	0,28	0,29
Al ₂ O ₃	13,62	13,61	15,78	15	12,25	13,8
Fe ₂ O ₃	1,16	2,1	6,12	2,36	1,73	1,61
FeO	0,29	0,35	0,8	0,97	0,29	0,38
MnO	0,08	0,05	0,13	0,08	0,03	0,03
MgO	0,39	0,54	2,44	1,24	0,37	0,44
CaO	0,96	1,66	5,04	2,19	1,52	1,51
Na ₂ O	3,06	3,39	3,6	3,29	3,08	3,69
K ₂ O	4,59	3,88	3,31	3,82	3,73	4,02
P ₂ O ₅	0,04	0,06	0,19	0,07	0,07	0,02
H ₂ O	-	-	-	-	-	-
Rb	174,5	147,5	131	161	130,5	158,5
Ba	992	613	754	615	526	606
Sr	152,5	238	336	291	242	238
V	10	35	125	40	30	30
Ni	15	-1	20	5	5	5
Zr	131	103,5	177,5	136	82	98
Sc	-	-	-	-	-	-
Cu	-1	5	50	15	10	5
Ag	-1	5	-1	-1	-1	-1
CO ₂	-1	0,2	1	-1	-1	-1
LOI	4,35	1,02	4,42	4,76	1,87	0,73
Sn	1	-1	-1	1	-1	-1
Ta	1,5	3,5	0,5	1,5	3	3,5
Th	13	14	14	15	11	15
U	4	4	3	4	3	4
W	36	55	11	23	60	66
Zn	50	50	65	60	55	50
La	28,5	26,5	28	32	28	32,5
Ce	58,5	56	61,5	66	57	66
Pr	6,4	6,2	7	7,4	6,3	7,2
Nd	21,5	22	27	26	22	24
Gd	2,9	3,1	4,1	3,4	2,7	3,2
Tb	0,5	0,5	0,7	0,6	0,5	0,5
Dy	2,6	2,6	3,2	2,9	2,2	2,6
Ho	0,6	0,5	0,6	0,6	0,5	0,5
Sm	3,4	3,8	4,7	4,5	4	4
Eu	0,7	0,6	1,2	0,8	0,6	0,7
Er	1,7	1,5	1,9	1,6	1,4	1,6
Lu	0,3	0,2	0,3	0,2	0,1	0,2
TM	0,3	0,2	0,3	0,3	0,1	0,2
Yb	1,6	1,5	1,5	1,5	1,2	1,5
Co	8	9	18	7,5	9,5	10
Cs	9,9	4	6,1	8,3	126	6,5
F	-	-	-	-	-	-
Ga	22	18	20	21	15	18
Ge	-	-	-	-	-	-
Hf	4	3	5	4	3	3
Li	-	-	-	-	-	-
Mo	-	-	-	-	-	-
Nb	10	11	8	11	8	10
Os	-	-	-	-	-	-
Pb	20	5	-1	10	10	5
S	-	-	-	-	-	-
Y	15,5	14,5	16,5	16,5	12,5	14,5
						20

	Gpo. Barroso*			Fm. Mill		Fm. Llallahui	
Muestra	110600	130600	460600	PB97	MO000600	ICHU11	390600
Hoja	Mazo Cruz	Mazo Cruz	Mazo Cruz	Pta. De Bombón	Mollendo	Ichuña	Mazo Cruz
Coordinadas	8153772/427353	8147704/409053	8147005/405384	8116955/211908	8121950/812988	8185109/317356	8145484/395230
Tipo de roca	Brecha	Lavas	Brecha	Brecha	Brecha	Brecha	Lavas
SiO[2]	70,81	59,1	72,28	65,9	69,16	75,53	60,85
TiO[2]	0,28	0,86	0,3	0,27	0,17	0,17	0,74
Al[2]O[3]	14,7	17,07	14,94	13,46	13,21	13,4	16,15
Fe[2]O[3]	1,79	6,34	2,01	1,48	1,19	1,06	5,11
FeO	-1	2,02	0,03	0,23	0,57	0,23	1,52
MnO	0,04	0,09	0,06	0,07	0,07	0,07	0,06
MgO	0,11	2,63	0,27	0,66	0,65	0,15	1,95
CaO	1,38	5,14	1,34	1,19	1,02	0,67	4,52
Na[2]O	3,97	3,46	3,58	3,88	3,26	3,7	3,38
K[2]O	4,76	2,97	4,25	4,21	4,88	4,14	3,18
P[2]O[5]	0,05	0,28	0,07	0,04	0,04	0,03	0,24
H[2]O	-	-	-	-	-	-	-
Rb	180	72,8	192,5	183,5	176	191,5	125
Ba	1270	1200	1135	1095	309	538	941
Sr	320	860	322	164,5	121	99,3	757
V	15	170	25	15	15	5	130
Ni	-1	5	-1	15	15	5	25
Zr	173	170	163,5	202	89,5	110	152
Sc	-	-	-	-	-	-	-
Cu	-1	5	-1	5	5	-1	75
Ag	-1	-1	-1	-1	-1	-1	1
CO[2]	-1	-1	-1	-1	-1	-1	0,6
LOI	0,57	1,44	0,63	7,34	5,27	0,15	3,16
Sn	-1	-1	-1	2	1	1	-1
Ta	2,5	1	9,5	2	2	3	2
Th	21	6	22	18	16	29	17
U	4,5	1,5	6,5	4,5	5,5	9,5	6,5
W	42	14	67	32	34	51	14
Zn	50	100	65	60	50	35	85
La	35,5	40,5	42,5	52,5	23,5	35,5	35,5
Ce	74,5	87	81,5	115,5	46	72,5	76,5
Pr	7,4	10,4	8,7	12,2	6,1	7,4	8,8
Nd	24,5	40	28,5	40,5	22,5	23,5	32
Gd	3,1	5,8	3,6	4,3	3,4	2,9	4,2
Tb	0,4	0,8	0,5	0,6	0,5	0,4	0,6
Dy	1,9	4,1	2,2	3	2,4	2,2	2,8
Ho	0,4	0,8	0,5	0,6	0,5	0,5	0,5
Sm	3,8	7,2	4,5	5,8	4	3,5	5,5
Eu	1	2	1	1,1	0,8	0,5	1,3
Er	1,3	2,4	1,4	1,9	1,3	1,3	1,6
Lu	0,1	0,3	0,2	0,3	0,2	0,2	0,2
TM	0,1	0,3	0,2	0,3	0,2	0,2	0,2
Yb	1,2	2,3	1,5	1,7	1,2	1,6	1,4
Co	6,5	18	7,5	8,5	6,5	8	20,5
Cs	13,8	1,2	19,1	4,9	6,1	4,6	6,5
F	-	-	-	-	-	-	-
Ga	19	24	18	22	22	18	22
Ge	-	-	-	-	-	-	-
Hf	5	5	5	6	3	4	5
Li	-	-	-	-	-	-	-
Mo	-	-	-	-	-	-	-
Nb	9	9	12	14	12	9	8
Os	-	-	-	-	-	-	-
Pb	10	5	10	30	25	20	5
S	-	-	-	-	-	-	-
Y	12,5	21	14	16,5	14	13	12,5

	Fm. Sencca		Gpo. Barroso				
Muestra	OC000722	PA250600	TA380500	TA510500	TA570500	TA580500	TA610500
Hoja	Ocoña	Palca	Tarata	Tarata	Tarata	Tarata	Tarata
Coordenadas	8209084/6666082	8056049/426953	8105848/353047	8106841/362004	8107005/364782	8100745/363252	8109716/347987
Tipo de roca	Toba	Toba	Toba	Toba	Lavas	Toba	Lavas
SiO[2]	63,17	74,42	51,22	61,56	58,29	58,85	58,21
TiO[2]	0,3	0,23	0,86	0,65	0,71	0,72	0,84
Al[2]O[3]	12,63	13,71	17,24	17	17,25	17,26	17,17
Fe[2]O[3]	1,6	0,64	4,94	4,61	6,33	6,4	6,19
FeO	0,01	0,18	0,48	1,27	2,87	2,37	1,77
MnO	0,07	0,01	0,04	0,11	0,09	0,09	0,08
MgO	0,42	0,23	2,38	1,45	2,8	2,67	2,49
CaO	2,33	0,94	3,39	2,52	5,71	5,65	5,29
Na[2]O	7,57	3,66	1,11	2,65	3,81	3,82	4,43
K[2]O	3,59	4,42	0,57	3,6	2,41	2,27	2,33
P[2]O[5]	0,06	0,01	0,06	0,06	0,2	0,2	0,29
H[2]O	-	-	-	-	-	-	-
Rb	122	116,5	22,6	140	80,8	78	44
Ba	1165	727	533	965	773	785	1035
Sr	131	278	560	441	682	692	802
V	20	35	120	105	135	140	145
Ni	10	10	40	20	15	20	20
Zr	217	111,5	148,5	187	138	138,5	172,5
Sc	-	-	-	-	-	-	-
Cu	5	5	90	35	65	60	60
Ag	-1	-1	-1	-1	-1	-1	-1
CO[2]	-1	-1	-1	-1	-1	-1	-1
LOI	6,53	0,99	17,17	4,84	0,82	0,8	1,21
Sn	1	1	-1	-1	-1	-1	-1
Ta	2	2,5	-1	-1	1,5	-1	-1
Th	12	10	2	15	10	9	4
U	4	5	0,5	4	2	2	0,5
W	42	51	5	13	44	19	17
Zn	45	25	95	65	80	80	85
La	47	28	22	29,5	24,5	25	29,5
Ce	92,5	50,5	45,5	56	48,5	48	60,5
Pr	10,5	4,9	5,7	6,6	5,7	6	7,4
Nd	35	15,5	22	23,5	22	22,5	28,5
Gd	4,3	1,6	3,9	3,8	3,6	3,5	4,2
Tb	0,6	0,2	0,5	0,5	0,4	0,5	0,5
Dy	2,9	0,9	2,2	2,5	2,2	2,2	2,7
Ho	0,6	0,1	0,4	0,5	0,4	0,4	0,4
Sm	5,6	2	4,4	4,3	4,2	3,9	5,1
Eu	0,9	0,7	1,1	0,9	1	1,1	1,3
Er	1,8	0,5	1,1	1,4	1	1,2	1,2
Lu	0,2	-1	0,1	0,2	0,1	0,1	0,1
TM	0,3	-1	0,1	0,1	0,1	0,1	0,1
Yb	1,5	0,6	1	1,3	0,9	1,1	1,2
Co	10,5	7	22	18	21,5	20	18
Cs	2,2	9,6	19,5	7,1	2,6	3,5	0,5
F	-	-	-	-	-	-	-
Ga	19	19	22	21	21	22	23
Ge	-	-	-	-	-	-	-
Hf	7	4	5	6	4	4	5
Li	-	-	-	-	-	-	-
Mo	-	-	-	-	-	-	-
Nb	11	10	5	8	6	6	7
Os	-	-	-	-	-	-	-
Pb	10	-1	15	30	15	15	10
S	-	-	-	-	-	-	-
Y	16	5	10,5	13,5	10	10,5	11,5

Gpo. Barroso							
Muestra	TA980600	98AP075/318	98AP075/419	60600	70600	160600	270600
Hoja	Tarata	Tarata	Tarata	Mazo Cruz	Mazo Cruz	Mazo Cruz	Mazo Cruz
Coordenadas	8094873/382155	8117700/351885	8118448/352609	8124060/433541	8125571/425992	8136373/440452	8131858/424662
Tipo de roca	Brecha	Lavas	Lavas	Lavas	Lavas	Lavas	Lavas
SiO[2]	61,52	63,83	63,19	59,37	58,45	63,69	59,74
TiO[2]	0,74	0,73	0,75	1	0,88	0,77	0,94
Al[2]O[3]	15,65	15,85	15,86	16,08	16,5	16,52	16,15
Fe[2]O[3]	5,28	4,61	4,9	6,22	6,38	3,68	5,7
FeO	2,21	0,05	1,79	1,85	1,89	0,54	2,25
MnO	0,09	0,08	0,08	0,11	0,08	0,03	0,09
MgO	2,15	1,91	2,01	2,28	3,04	0,84	2,33
CaO	4,33	4,04	4,26	4,78	5,27	3,11	4,61
Na[2]O	3,61	4,11	4,02	3,87	3,72	3,8	3,91
K[2]O	3,16	3,29	3,21	3,39	3,25	3,79	3,45
P[2]O[5]	0,24	0,23	0,24	0,34	0,26	0,29	0,32
H[2]O	-	0,07	0,13	-	-	-	-
Rb	99,4	90,4	89,6	95,5	96,5	102	90,5
Ba	904	981	970	1115	949	1170	1085
Sr	613	703	701	830	578	727	766
V	110	80	115	145	165	95	110
Ni	5	5	5	20	35	5	5
Zr	137,5	148,5	166,5	215	183	193,5	214
Sc	-	-	-	-	-	-	-
Cu	25	30	35	20	70	10	20
Ag	-1	-1	-1	-1	-1	-1	-1
CO[2]	-1	-1	-1	-1	0,2	0,8	-1
LOI	1,53	0,14	0,05	0,86	1,06	2,04	1,21
Sn	-1	-1	-1	-1	-1	-1	-1
Ta	2	2	3	1,5	1	1,5	2
Th	12	11	11	9	9	10	9
U	4	2,5	2,5	3	3	3	2,5
W	29	44	61	29	16	25	33
Zn	85	55	70	115	205	105	105
La	30,5	29,5	29	44	35	35,5	43
Ce	65,5	57	56	92,5	71	74	87,5
Pr	7,6	6,9	6,6	11,2	8,8	8,4	10,6
Nd	28,5	25,5	25	42	34	32	39,5
Gd	4	3,4	3,7	5,9	5,1	4,3	5,8
Tb	0,6	0,5	0,5	0,8	0,7	0,6	0,8
Dy	2,8	2,2	2,5	3,8	3,5	2,6	3,7
Ho	0,5	0,5	0,5	0,7	0,7	0,5	0,6
Sm	4,9	4,7	4,4	7,3	6	5,1	6,9
Eu	1,3	1,1	1	2	1,5	1,7	1,8
Er	1,5	1,2	1,4	1,9	1,9	1,3	2,1
Lu	0,1	0,1	0,1	0,3	0,3	0,1	0,3
TM	0,2	0,1	0,1	0,2	0,3	0,1	0,3
Yb	1,1	1	1,1	1,6	1,6	1,1	1,4
Co	17,5	17	20	22,5	25	27	19,5
Cs	4,2	2,5	3,5	1,5	7,5	1,9	2,3
F	-	-	-	-	-	-	-
Ga	20	19	19	26	22	25	23
Ge	-	-	-	-	-	-	-
Hf	4	5	5	6	5	6	6
Li	-	-	-	-	-	-	-
Mo	-	-	-	-	-	-	-
Nb	9	9	8	14	8	11	13
Os	-	-	-	-	-	-	-
Pb	10	10	10	5	10	10	15
S	-	-	-	-	-	-	-
Y	14	-	-	18,5	18	12	18

	Gpo. Barroso						
Muestra	300600	310600	320600	330600	340600	OMT55	PA090600
Hoja	Mazo Cruz	Omata	Palca				
Coordenadas	8136392/427328	8132751/430123	8136754/433978	8136754/433978	8139643/431145	8148074/331389	8064424/430178
Tipo de roca	Lavas						
SiO ₂	62,11	59,86	60,61	59,31	58,36	63,14	57,03
TiO ₂	0,75	0,81	1,21	0,8	0,84	0,79	0,92
Al ₂ O ₃ [3]	16,18	16,35	15,45	14,95	16,41	16,79	18,08
Fe ₂ O ₃ [3]	5,66	5,64	6,39	4,57	6,56	4,57	6,75
FeO	0,61	2,12	1,26	1,47	2,48	1,41	3,55
MnO	0,11	0,09	0,1	0,08	0,09	0,08	0,11
MgO	3,02	2,45	3,35	1,51	3,51	1,67	2,68
CaO	4,65	4,7	4,48	3,08	5,63	4,08	6,37
Na ₂ O	3,6	3,46	3,69	3,44	3,53	4,48	4,06
K ₂ O	2,9	3,76	3,16	3,66	3,06	3,14	2,26
P ₂ O ₅	0,29	0,32	0,42	0,24	0,24	0,25	0,33
H ₂ O	-	-	-	-	-	-	-
Rb	75,6	88,4	90,8	103	72	73,8	61
Ba	1200	1095	1100	1115	1160	1185	809
Sr	753	809	843	691	659	866	806
V	100	110	105	95	160	80	145
Ni	25	15	40	35	40	5	15
Zr	180	146,5	204	194,5	165	191,5	144
Sc	-	-	-	-	-	-	-
Cu	25	30	25	20	40	40	55
Ag	21	-1	3	-1	-1	-1	-1
CO[2]	-1	-1	-1	-1	-1	-1	-1
LOI	0,37	1,49	0,9	6,8	0,97	-1	0,19
Sn	1	-1	-1	-1	-1	-1	1
Ta	4	1,5	1,5	1,5	2	1,5	2
Th	9	8	10	12	6	6	5
U	2	2,5	3	3,5	1,5	1,5	2
W	32	15	13	7	12	25	46
Zn	95	95	120	140	95	90	145
La	46,5	38	45	45,5	32,5	33,5	26,5
Ce	97,5	74	96	93	64,5	71	59
Pr	11,3	8,8	11,6	10,6	8,4	8,4	7,3
Nd	42,5	32	44	41	31,5	32	29
Gd	5,5	4,7	6,3	5,6	5,3	4,1	4,6
Tb	0,8	0,6	0,8	0,7	0,8	0,6	0,7
Dy	4,1	2,8	3,7	3	4	2,3	3,2
Ho	0,7	0,5	0,6	0,6	0,8	0,4	0,6
Sm	7,2	5,3	7,7	6,8	5,9	5,2	5,3
Eu	1,7	1,5	2,1	1,8	1,4	1,3	1,6
Er	2,2	1,4	1,7	1,6	2,3	1,2	1,7
Lu	0,3	0,1	0,2	0,2	0,3	0,1	0,2
TM	0,3	0,1	0,2	0,1	0,3	0,1	0,2
Yb	2,1	1,4	1,3	1,3	2	1	1,4
Co	20,5	17,5	28	17,5	26,5	14,5	26,5
Cs	0,8	2,4	1,6	1,9	1,4	1,4	1,6
F	-	-	-	-	-	-	-
Ga	22	22	25	25	23	23	24
Ge	-	-	-	-	-	-	-
Hf	5	4	6	6	5	5	4
Li	-	-	-	-	-	-	-
Mo	-	-	-	-	-	-	-
Nb	11	10	16	13	7	7	7
Os	-	-	-	-	-	-	-
Pb	10	10	-1	10	5	-1	20
S	-	-	-	-	-	-	-
Y	19,5	14,5	16	16,5	23,5	10,5	15,5

	Gpo. Barroso					
Muestra	PA100600	PA210600	PA560600			
Hoja	Palca	Palca	Palca			
Coordenadas	8063524/429453	8051324/425763	8051374/406479			
Tipo de roca	Lavas	Lavas	Lavas			
SiO ₂	57,87	62,21	59,91			
TiO ₂	1,07	0,72	0,72			
Al ₂ O ₃	17,14	15,64	17,75			
Fe ₂ O ₃	7,02	5,18	5,77			
FeO	3,41	2,18	2,18			
MnO	0,09	0,08	0,1			
MgO	3,2	2,32	1,83			
CaO	5,93	4,13	5,22			
Na ₂ O	4,15	3,61	4,15			
K ₂ O	2,51	3,92	2,7			
P ₂ O ₅	0,36	0,22	0,37			
H ₂ O	-	-	-			
Rb	63	171	73,8			
Ba	1050	935	1115			
Sr	959	528	902			
V	170	115	110			
Ni	35	30	5			
Zr	167	263	170,5			
Sc	-	-	-			
Cu	80	135	25			
Ag	-1	-1	-1			
CO ₂	-1	-1	-1			
LOI	0,02	0,31	0,6			
Sn	1	1	1			
Ta	1,5	1,5	1			
Th	6	17	6			
U	2	6,5	2			
W	25	22	18			
Zn	100	75	95			
La	42	41,5	37,5			
Ce	82,5	90	83			
Pr	9,5	10,5	9,9			
Nd	36,5	38	37,5			
Gd	4,7	4,9	4,6			
Tb	0,7	0,8	0,7			
Dy	3,1	3,6	3,1			
Ho	0,6	0,7	0,6			
Sm	6	6,3	5,6			
Eu	1,6	1,3	1,6			
Er	1,5	2,1	1,7			
Lu	0,2	0,3	0,2			
TM	0,1	0,3	0,3			
Yb	1,2	1,9	1,5			
Co	26,5	19,5	16			
Cs	2,5	5,5	1,3			
F	-	-	-			
Ga	25	23	24			
Ge	-	-	-			
Hf	5	8	4			
Li	-	-	-			
Mo	-	-	-			
Nb	7	9	7			
Os	-	-	-			
Pb	-1	5	-1			
S	-	-	-			
Y	14,5	19,5	15			

ANEXO II-B

Anexo II - B Geoquímica de Muestras sin Dataciones Radiométricas

Grupo o Formación	Com. Atico-Camaná	Permo Triásico	Superunidad Punta Coles	Superunidad Incahuasi	Superunidad Linga	
Muestra	JL0008106	OC000830	JL0008127	OC000826	JL000841	JL000846
Cuadrángulo	La Joya	Ocoña	La Joya	Ocoña	La Joya	La Joya
Coordenadas	8124800/183800	8183478/700768	8128700/197800	8228913/704404	8167900/218000	8169500/211000
Tipo de roca	Granito	Granodiorita	Granodiorita	Granodiorita	Granodiorita	Granito
SiO ₂	74,76	70,92	60,01	60,05	66,73	67,33
TiO ₂	0,14	0,18	0,55	0,59	0,5	0,59
Al ₂ O ₃	12,85	12,93	15,96	16,49	15,32	14,3
Fe ₂ O ₃	0,92	3,03	6,05	6,07	3,78	3,97
FeO	0,22	2,54	2,66	3,96	2,36	2,98
MnO	0,05	0,06	0,1	0,11	0,06	0,07
MgO	0,12	0,62	2,63	2,33	1,04	1,23
CaO	0,91	0,68	5,78	5,88	3,07	2,59
Na ₂ O	3,05	5,04	2,83	2,66	3,27	2,72
K ₂ O	5,14	2,52	3,01	2,85	3,7	5,41
P ₂ O ₅	0,02	0,05	0,16	0,2	0,17	0,12
H ₂ O	0,1	0,28	0,89	-1	0,36	0,6
Rb	257	91	85,8	136	145	286
Ba	162,5	268	592	413	613	659
Sr	105,5	73,6	424	514	256	212
V	5	30	165	130	75	60
Ni	-1	-1	5	-1	-1	-1
Zr	91	86	113	194,5	391	169
Cu	-1	-1	45	10	140	25
Ag	-1	-1	-1	-1	-1	-1
CO ₂	-1	1,6	-1	0,2	-1	-1
LOI	0,6	2,94	1,44	1,36	0,95	0,47
Sn	1	1	1	2	1	3
Ta	15	7	6	5	8,5	6,5
Th	23	9	8	13	9	28
U	9	2	2,5	5,5	1,5	8,5
W	278	149	149	114	205	156
Zn	30	5	35	60	55	30
La	22,5	19,5	17,5	27,5	27	25,5
Ce	43,5	36,5	36	56	55,5	56
Pr	4,8	4,1	4,2	6,7	6,3	6,9
Nd	16,5	15	17	25,5	24,5	26
Gd	2,9	3	3,5	4,7	5,1	5,3
Tb	0,4	0,5	0,4	0,6	0,7	0,8
Dy	2,2	2,9	2,6	3,3	4,3	4,4
Ho	0,4	0,6	0,5	0,8	0,8	0,8
Sm	2,8	3	4	5	5	5,8
Eu	0,5	0,6	0,8	1,1	1	0,6
Er	1,6	1,9	1,7	2,1	2,3	2,5
Lu	0,3	0,3	0,3	0,3	0,3	0,3
Tm	0,2	0,3	0,3	0,3	0,3	0,4
Yb	1,6	2	1,8	2,3	2,3	2,6
Co	26,5	19	29	24	21	24,5
Cs	3,3	1	1,5	6,8	4,7	24,1
Ga	19	14	16	19	16	16
Hf	3	3	3	5	4	11
Nb	42	9	7	12	12	12
Pb	40	15	15	20	30	20
Y	15,5	18	17	21	24	25,5

Grupo o Formación	Superunidad Ilo	Superunidad Yarabamba				
		TO17	PQ2710800	PQ2720800	PA860800	PA950800
Muestra	CL31					
Cuadrángulo	Clemesí	Moquegua	Puquina	Puquina	Pachía	Pachía
Coordenadas	8085577/277664	8101462/320267	8125198/246191	8126300/249427	8026620/389845	8020990/391030
Tipo de roca	Intrusivo	Monzogranito			Granodiorita	Granodiorita
SiO ₂	70,96	62,15	66,9	60,54	61,13	65,05
TiO ₂	0,29	0,87	0,55	0,51	0,83	0,55
Al ₂ O ₃	14,64	14,77	14,38	16,21	15,49	15,2
Fe ₂ O ₃	2,44	5,92	4,08	5,23	6,26	4,58
FeO	0,93	2,8	2,38	2,37	3,9	2,59
MnO	0,03	0,12	0,07	0,11	0,09	0,08
MgO	0,54	1,76	1,43	2,37	2,5	1,69
CaO	2,07	3,63	3,19	4,58	4,71	3,9
Na ₂ O	4,31	3,51	2,56	3	3,52	3,23
K ₂ O	3,05	4,07	4,96	2,97	3,31	3,92
Al ₂ O ₅	0,07	0,27	0,1	0,2	0,2	0,11
H ₂ O		1,15	0,42	1,88	1,16	0,38
Rb	101,5	227	274	96	149	166
Ba	966	716	728	778	579	639
Sr	247	283	226	480	331	262
V	30	90	95	100	130	95
Ni	5	-1	-1	-1	10	5
Zr	150	352	284	113	228	177
Cu	10	50	35	35	40	35
Ag	-1	-1	-1	-1	-1	-1
CO ₂	-1	-1	-1	0,8	-1	-1
LOI	0,63	1,61	0,5	3,24	1,27	0,52
Sn	-1	3	2	1	2	2
Ta	4	5,5	7,5	2,5	4	5,5
Th	12	29	31	11	13	14
U	3,5	9,5	11	3,5	3,5	3
W	127	111	163	58	88	126
Zn	25	75	45	70	50	45
La	23	48,5	32,5	21	23,5	22,5
Ce	40,5	101	67	42	50,5	46,5
Pr	4,6	12,6	7,7	4,9	6,1	5,1
Nd	15	51	30	19,5	24,5	21
Gd	2,4	8,8	5,3	3,5	4,6	4,5
Tb	0,4	1,3	0,8	0,4	0,7	0,6
Dy	1,8	7,7	5,1	2,8	3,7	3,4
Ho	0,4	1,6	1	0,5	0,8	0,8
Sm	2,9	9,2	6,2	3,4	4,7	4,2
Eu	0,6	1,6	0,8	1	1,1	0,9
Er	1,6	4,9	3,1	1,6	2,5	2,1
Lu	0,2	0,7	0,4	0,2	0,3	0,4
Tm	0,2	0,6	0,4	0,3	0,4	0,3
Yb	1,4	4,4	3,1	1,4	2,3	2,1
Co	13,5	24,5	29,5	20	26	24,5
Cs	2,8	11,8	14,7	3,9	4	7,5
Ga	16	21	16	19	18	16
Hf	4	13	10	4	7	5
Nb	6	20	12	7	9	9
Pb	15	20	30	15	15	15
Y	12	40	27,5	12,5	22,5	22,5

Grupo o Formación	S.U Yarabamba					
Muestra	MO25	MO32	MM15	TO08	MO39	TO50
Cuadrángulo	Moquegua	Moquegua	Moquegua	Moquegua	Moquegua	Moquegua
Coordenadas	8108054/326404	8104779/319981	8098429/327020	8098914/310663	8105165/317084	8080919/335045
Tipo de roca	Granodiorita	Monzonita	Monzonita	Diorita	Monzonita	Diorita
SiO ₂	63,75	61,53	60,84	56,45	61,82	54,03
TiO ₂	0,56	0,85	0,63	1	1,06	1,28
Al ₂ O ₃	16,33	15,07	17,25	16,34	14,81	15,58
Fe ₂ O ₃	4,36	5,61	4,73	7,81	6,32	9,4
FeO	2,25	2,08	1,69	3,31	2,25	4,55
MnO	0,08	0,1	0,09	0,12	0,13	0,16
MgO	1,95	2,24	1,68	3,54	1,56	4,12
CaO	4,22	4,04	4,08	6,53	2,99	6,83
Na ₂ O	3,65	3,05	4,35	3,33	3,87	3,26
K ₂ O	2,81	4,28	3,14	2,57	4,63	2,43
P ₂ O ₅	0,19	0,25	0,17	0,25	0,37	0,48
H ₂ O	0,49	0,93	1,06	0,64	0,77	1,23
Rb	78,8	241	117	126,5	258	124
Ba	1005	679	841	528	799	445
Sr	635	282	567	367	288	346
V	85	95	80	170	90	190
Ni	10	5	5	20	-1	25
Zr	132	350	168	208	371	279
Cu	265	70	200	135	120	235
Ag	-1	-1	-1	-1	-1	-1
CO ₂	-1	0,2	-1	-1	-1	-1
LOI	1,03	1,74	1,63	0,73	1,32	1,36
Sn	18	4	8	-1	-1	3
Ta	3	2,5	3	2,5	3	3
Th	5	24	8	10	22	14
U	2	14	2	3,5	6	3,5
W	72	43	67	68	56	70
Zn	55	35	85	70	30	100
La	18,5	32,5	23	20,5	42	27,5
Ce	38	73	46	43	92	63,5
Pr	4,6	8,3	5,8	5,2	11,7	8,1
Nd	19	35	22	21,5	48	36
Gd	3,1	6,7	4,3	5,1	10	7,7
Tb	0,3	1	0,5	0,7	1,4	1
Dy	1,7	6,3	2,6	4,3	7,4	6,8
Ho	0,3	1,2	0,6	0,7	1,5	1,2
Sm	3	6,2	4,2	4,7	9,4	7,8
Eu	0,8	1	1,1	1	1,6	1,2
Er	1	3,6	1,5	2,4	4,9	3,5
Lu	0,1	0,6	0,3	0,3	0,6	0,4
Tm	0,1	0,6	0,2	0,3	0,7	0,4
Yb	0,9	3,8	1,7	2,1	4,7	3
Co	17	16,5	21,5	28	17,5	459
Cs	3,3	10,7	5	12,1	8	10,3
Ga	21	17	21	17	20	17
Hf	4	21	5	7	11	7
Nb	6	19	7	8	17	13
Pb	270	20	25	20	20	20
Y	10,5	36	16,5	23	46	35

Grupo o Formación	S.U Yarabamba		Superunidad Tiabaya		Fm. Mataque	Gpo. Toquepala
Muestra	TO25	TO32	AP000818	AP000821	ICH144	PER1/XRF/A
Cuadrángulo	Moquegua	Moquegua	Aplao	Aplao	Ichuña	Moquegua
Coordenadas	8089522/319486	8083116/326740	8210443/769225	8224187/805401	8181400/206300	8103299/299135
Tipo de roca	Diorita	Diorita	Granodiorita	Granodiorita	Lavas	Lavas
SiO[2]	63,28	59,81	62,48	63,94	61,67	73,97
TiO[2]	0,86	0,8	0,44	0,32	0,56	0,16
Al[2]O[3]	14,22	16,19	16,32	16,58	16,06	12,63
Fe[2]O[3]	5,77	6,47	5,08	4,41	5,88	1,38
FeO	2,7	3,91	2,52	2,33	3,15	0,12
MnO	0,09	0,12	0,14	0,13	0,2	0,05
MgO	2,47	2,68	1,93	2,11	2,42	0,43
CaO	3,44	5,3	5,86	5,42	3,88	1,15
Na[2]O	2,99	3,44	3,27	3,2	4,03	2,93
K[2]O	4,69	3,35	2,69	1,77	1,93	4,23
P[2]O5	0,19	0,21	0,15	0,12	0,2	0,03
H[2]O	0,45	0,84	0,54	0,76	1,73	0,52
Rb	210	155	83	50,2	82	140
Ba	744	648	659	594	306	818
Sr	246	349	502	451	251	114,5
V	115	150	130	105	120	15
Ni	10	10	-1	-1	5	-1
Zr	409	230	91	82,5	147,5	100
Cu	50	105	30	5	-1	5
Ag	-1	-1	-1	-1	-1	-1
CO[2]	-1	-1	0,2	-1	-1	-1
LOI	1,09	0,48	0,62	0,98	1,75	1,9
Sn	11	4	-1	-1	-1	1
Ta	3	3	5	5,5	2	3,5
Th	17	10	6	3	4	4
U	5	2,5	3,5	1	0,5	3
W	70	63	119	130	40	220
Zn	45	65	45	50	125	50
La	29,5	25,5	17,5	14	23,5	24
Ce	61,5	54,5	30	26	43,5	42,5
Pr	7,1	6,6	3,5	2,9	5,1	4,1
Nd	29,5	26,5	13,5	11	20	14
Gd	5,9	5,1	2,7	2,4	3,2	1,8
Tb	0,8	0,8	0,4	0,4	0,5	0,4
Dy	4,3	4,7	2,9	2	2,4	1,8
Ho	1	0,9	0,5	0,4	0,5	0,4
Sm	6,3	5,4	2,6	2	3,3	2,2
Eu	0,9	1	0,6	0,6	1	0,4
Er	2,6	2,6	1,6	1,2	1,7	1,2
Lu	0,5	0,4	0,3	0,2	0,3	0,3
Tm	0,4	0,4	0,2	0,1	0,3	0,2
Yb	2,5	2,8	1,8	1,4	1,7	1,4
Co	20	24	22	23	21	16,5
Cs	10	20,3	5,1	2,6	7	6,6
Ga	17	19	16	16	17	13
Hf	13	7	3	1	4	3
Nb	14	10	8	7	6	8
Pb	15	20	15	10	20	20
Y	27,5	27	14,5	12	15,5	11,55

Grupo o Formación	Gpo. Toquepala					
Muestra	PER1/XRF/B	PER1/XRF/C	PER1/XRF/D	PER1/XRF/E	PER1/XRF/F	PER1/XRF/G
Cuadrángulo	Moquegua	Moquegua	Moquegua	Moquegua	Moquegua	Moquegua
Coordenadas	8103299/299135	8103299/299135	8103299/299135	8103299/299135	8103299/299135	8103299/299135
Tipo de roca	Lavas	Lavas	Lavas	Lavas	Lavas	Lavas
SiO ₂ [2]	74,27	74,81	73,9	74,4	74,65	71,17
TiO ₂ [2]	0,16	0,16	0,16	0,15	0,16	0,25
Al ₂ O ₃ [3]	12,54	12,43	12,56	12,54	12,57	13,79
Fe ₂ O ₃ [3]	1,41	1,41	1,5	1,35	1,35	1,68
FeO	0,13	0,13	0,16	0,13	0,13	0,04
MnO	0,05	0,05	0,05	0,04	0,05	0,08
MgO	0,39	0,35	0,4	0,35	0,36	0,3
CaO	1,19	1,07	1,13	1,06	1,09	0,59
Na ₂ O	3,12	3,16	3,11	3,12	3,1	2,43
K ₂ O	4,06	4,27	4,35	4,23	4,31	5,8
P ₂ O ₅	0,06	0,03	0,05	0,04	0,05	0,06
H ₂ O	0,21	0,51	0,48	0,47	0,38	0,93
Rb	143	141	141,5	143,5	142	215
Ba	826	820	814	836	823	1140
Sr	115,5	116	112,5	115	116	93,1
V	15	15	15	20	20	20
Ni	-1	-1	-1	-1	-1	-1
Zr	99,5	98	111,5	111	98,5	212
Cu	5	-1	5	5	-1	5
Ag	-1	-1	-1	-1	-1	-1
CO ₂ [2]	0,2	-1	0,2	-1	-1	-1
LOI	1,78	1,57	1,39	1,51	1,4	2,65
Sn	2	-1	-1	4	-1	29
Ta	5,5	2,5	3,5	2	1,5	1,5
Th	9	10	10	10	9	13
U	3	3	3	3	3	3
W	240	270	300	120	200	55
Zn	125	35	70	25	55	45
La	24,5	24,5	24	25	25,5	29,5
Ce	43	43	42	44	43	56
Pr	4,2	4,1	4,1	4,3	4,2	5,8
Nd	14,5	14	13,5	14,5	14,5	21,5
Gd	1,8	1,8	1,8	1,8	1,9	3,1
Tb	0,3	0,3	0,3	0,3	0,3	0,5
Dy	1,8	1,7	1,7	1,7	1,7	3,1
Ho	0,4	0,4	0,4	0,4	0,4	0,6
Sm	2,4	2,4	2,3	2,4	2,2	3,9
Eu	0,4	0,4	0,4	0,4	0,4	0,8
Er	1,2	1,1	1,1	1,2	1,2	2
Lu	0,2	0,2	0,2	0,2	0,2	0,4
Tm	0,2	0,2	0,1	0,1	0,2	0,3
Yb	1,4	1,3	1,3	1,3	1,4	2,1
Co	19	22,5	21,5	9,5	13	8
Cs	6,8	7,4	7,2	7,2	6,9	9,6
Ga	14	14	13	13	13	16
Hf	3	3	3	3	3	6
Nb	9	9	10	8	9	9
Pb	25	20	20	15	20	25
Y	11,55	11,55	11,55	11,55	11,55	11,55

Grupo o Formación	Gpo. Toquepala					
Muestra	PER1/XRF/H	HHB000509	HHB000601A	HHB000601B	HHB000601C	CL42
Cuadrángulo	Moquegua	Moquegua	Moquegua	Moquegua	Moquegua	Clemesí
Coordenadas	8103299/299135	8093169/363631	8084856/369156	8084856/369156	8084856/369156	8105696/280779
Tipo de roca	Lavas	Lavas	Lavas	Lavas	Lavas	Toba
SiO ₂	74,79	66,41	63,22	62,53	60,75	73,53
TiO ₂	0,17	0,44	0,67	0,69	0,67	0,21
Al ₂ O ₃	12,75	15,99	14,96	14,98	15,95	12,86
Fe ₂ O ₃	1,36	3,73	4,75	5,08	5,26	1,63
FeO	0,13	0,13	1,91	2,19	2,14	0,08
MnO	0,06	0,1	0,09	0,09	0,09	0,07
MgO	0,29	0,7	1,95	2,12	2,08	0,38
CaO	1,2	2,81	3,69	4,03	4,79	0,44
Na ₂ O	3,1	3,87	3,4	3,4	3,5	2,82
K ₂ O	4,41	3,43	3,49	3,43	2,88	4,88
P ₂ O ₅	0,04	0,12	0,22	0,22	0,21	0,07
H ₂ O	0,48	-	-	-	-	-
Rb	140,5	99,4	108	105,5	90,6	146
Ba	814	990	962	981	893	1010
Sr	113	332	475	507	587	131
V	15	50	95	100	105	15
Ni	-1	30	10	5	5	-1
Zr	90,5	159,5	135	145,5	131,5	112
Cu	-1	25	20	15	20	-1
Ag	-1	-1	1	-1	-1	-1
CO ₂	0,2	-1	-1	-1	-1	-1
LOI	1,51	1,35	2,62	2,46	2,82	2,14
Sn	-1	-1	-1	-1	-1	-1
Ta	1,5	0,5	1,5	3	2	0,5
Th	11	14	18	18	15	18
U	3	2,5	5	5	4	2,5
W	77	49	59	84	68	36
Zn	35	70	70	65	70	55
La	24,5	31	31	31,5	30	26
Ce	40,5	58	60	61,5	58,5	46,5
Pr	4,4	6,9	7,1	7,2	6,8	5,3
Nd	12,5	23,5	24,5	26,5	24	18
Gd	1,8	4,2	3,5	3,8	3,7	2,3
Tb	0,1	0,6	0,5	0,5	0,5	0,4
Dy	1,6	3	2,4	2,4	2,5	2
Ho	0,3	0,6	0,5	0,5	0,5	0,4
Sm	2	4,2	4,5	4,5	4,6	3,1
Eu	0,2	1,1	1,2	1,2	1,3	0,6
Er	1	1,8	1,2	1,2	1,5	1,7
Lu	-1	0,3	0,1	0,2	0,1	0,2
Tm	-1	0,3	0,1	0,2	0,1	0,2
Yb	1,1	2,1	1,3	1,3	1,4	1,5
Co	11	12,5	24,5	21,5	19,5	4
Cs	7,3	2	4,9	4,9	4	7
Ga	12	18	19	19	20	14
Hf	3	5	5	5	4	4
Nb	4	8	9	9	8	6
Pb	20	40	55	25	25	20
Y	11,55	16,5	12,5	12,5	13,5	12,5

Gpo. Toquepala						
Grupo o Formación	TO15	PQ2460800	PA220800	MO01	MM06	PA980600
Cuadrángulo	Moquegua	Puquina	Pachía	Clemesí	Moquegua	Pachía
Coordenadas	8102912/298986	8158752/276725	8037150/387995	8104519/287266	8101979/326759	8058575/350420
Tipo de roca	toba	Lavas	Lavas	Riolita	Dolerita	Riolita
SiO ₂	73,23	60,75	62,17	72,85	59,17	72,32
TiO ₂	0,17	0,79	0,46	0,18	1,1	0,22
Al ₂ O ₃	12,64	15,62	16,1	12,57	16	13,28
Fe ₂ O ₃	1,49	5,87	4,29	1,1	7,26	1,68
FeO	0,1	1,68	1,68	-1	2,28	-1
MnO	0,06	0,09	0,1	0,05	0,18	0,08
MgO	0,49	2,25	2,45	0,25	1,93	0,39
CaO	1,63	5,32	3,88	1,2	2,78	1,17
Na ₂ O	2,63	4	4,09	3,01	4,04	4,14
K ₂ O	4,2	2,52	1,78	4,32	4,04	4
P ₂ O ₅	0,02	0,23	0,15	0,05	0,52	0,07
H ₂ O	0,6	0,31	2,45	0,86	1,71	0,44
Rb	155	58	40	82,4	107	140,5
Ba	951	948	618	1480	1465	887
Sr	122	830	771	46,7	475	189
V	15	150	90	10	70	5
Ni	-1	30	15	-1	-1	-1
Zr	100	150	109	106	236	106
Cu	-1	70	50	-1	-1	5
Ag	-1	-1	-1	-1	-1	-1
CO ₂	0,8	-1	-1	0,6	-1	-1
LOI	2,56	0,96	3,57	2,98	1,81	1,32
Sn	1	1	-1	3	15	12
Ta	5,5	3,5	1,5	1,5	2	3
Th	11	8	2	9	7	12
U	2,5	2	0,5	2	2	3
W	150	65	37	38	38	67
Zn	30	75	40	35	80	25
La	21	29,5	13	27,5	32	24
Ce	36,5	59,5	27	50,5	70	43,5
Pr	4	7,1	3,3	5,2	9,3	4,3
Nd	13,5	27,5	13	18,5	37	15,5
Gd	2,2	4	2	2,9	7,9	2,3
Tb	0,6	0,6	0,3	0,4	1,1	0,4
Dy	1,6	2,3	1,7	2,2	6,3	2,3
Ho	0,3	0,5	0,3	0,4	1,2	0,5
Sm	1,6	5	2	3,2	8,4	2,6
Eu	0,6	1,2	0,7	0,5	1,7	0,6
Er	1	1,3	1	1,5	3,8	1,5
Lu	0,3	0,2	0,1	0,2	0,5	0,3
Tm	0,2	0,2	0,1	0,2	0,5	0,1
Yb	1,6	1,5	0,8	1,7	3,8	1,8
Co	16	29	16,5	5	12,5	7
Cs	7,3	2,9	1,6	4,3	3	5,8
Ga	16	25	16	14	20	14
Hf	3	5	3	4	7	3
Nb	8	10	4	7	12	8
Pb	25	20	5	15	15	10
Y	10,5	12,5	9	14,5	35,5	13,5

Grupo o Formación	Gpo. Toquepala					
Muestra	OM06	MO02	MO17	MO22	OM7	MO30
Cuadrángulo	Moquegua	Clemesí	Moquegua	Moquegua	Moquegua	Moquegua
Coordenadas	8118918/288565	8104714/287582	8113051/324002	8109005/321835	8116777/287273	8106764/329294
Tipo de roca	Dolerita	Riolita	Riolita	Riolita	Riolita	Riolita
SiO ₂	55,88	75,88	75,84	77,96	69,39	77,52
TiO ₂	0,91	0,19	0,12	0,12	0,34	0,09
Al ₂ O ₃	16,2	11,55	12,54	12,03	14,16	12,31
Fe ₂ O ₃	8,28	1,07	0,7	0,27	2,56	0,34
FeO	3,66	-1	0,05	0,05	0,52	0,07
MnO	0,15	0,07	0,02	0,01	0,09	0,01
MgO	3,91	0,26	0,26	-1	0,63	0,09
CaO	6,68	0,78	0,17	0,1	1,19	0,23
Na ₂ O	2,97	2,73	2,56	3,07	4,13	3,39
K ₂ O	2,13	4,14	4,84	4,36	3,63	4,13
P ₂ O ₅	0,28	0,04	0,03	0,01	0,13	-1
H ₂ O	1,53	0,72	0,85	0,22	1,24	0,44
Rb	80,6	62,8	125	92,2	124	126,5
Ba	406	1875	376	467	936	125
Sr	414	65,5	63,1	35,3	210	50,2
V	170	5	10	-1	30	5
Ni	15	-1	-1	-1	-1	-1
Zr	103	115	102,5	79	166	61,5
Cu	80	-1	5	-1	5	-1
Ag	-1	-1	-1	-1	-1	-1
CO ₂	-1	0,2	-1	-1	-1	-1
LOI	1,82	2,23	1,82	0,86	2,44	0,83
Sn	111	20	47	63	20	12
Ta	1	2,5	2	3,5	2	4
Th	9	7	7	7	9	7
U	2,5	1,5	2	2	2,5	2
W	26	71	40	70	41	89
Zn	75	25	85	10	50	20
La	20	26	9,5	10,5	26	5,5
Ce	44	47	16,5	22,5	49	12
Pr	5,4	5,1	2,6	2,5	5,3	1,4
Nd	22,5	17,5	10	9	19,5	4
Gd	4,4	2,6	2,6	1,9	2,9	1,7
Tb	0,7	0,4	0,4	0,3	0,4	0,4
Dy	3,9	1,9	2,8	2,4	2,9	2,2
Ho	0,7	0,4	0,6	0,4	0,5	0,5
Sm	4,6	2,7	2,2	1,8	3	1,1
Eu	1,2	0,5	0,3	0,1	0,6	-1
Er	2,3	1,2	1,7	1,2	1,8	1,8
Lu	0,3	0,2	0,3	0,2	0,2	0,2
Tm	0,3	0,1	0,3	0,2	0,2	0,2
Yb	1,8	1,3	1,8	1,4	2	1,5
Co	25,5	6	5,5	8	8,5	5,5
Cs	2,1	3,5	5,6	2,1	5,2	2,9
Ga	18	13	14	11	17	16
Hf	4	3	2	2	4	2
Nb	4	6	8	7	7	12
Pb	15	15	5	15	30	10
Y	22	12	19	14	15,5	15,5

Grupo o Formación	Gpo. Toquepala					
Muestra	T004	M40	M43	MO12	MO38	MO14
Cuadrángulo	Moquegua	Moquegua	Moquegua	Moquegua	Moquegua	Moquegua
Coordenadas	8096493/317796	8105155/315666	8101798/324430	8103154/290441	8104314/317902	8112300/323604
Tipo de roca	Riolita	Riolita	Toba	Riolita	Dolerita	Dolerita
SiO ₂	68,79	70,78	72,64	72,29	59,96	54,3
TiO ₂	0,47	0,23	0,18	0,2	0,94	1,05
Al ₂ O ₃ [3]	14,59	13,27	13,2	13,54	14,83	18,28
Fe[2]O[3]	2,85	1,59	1,77	1,66	4,48	7,63
FeO	1,24	-1	0,46	0,29	1,62	3,9
MnO	0,08	0,1	0,07	0,05	0,14	0,16
MgO	0,46	0,27	0,27	0,45	1,47	2,24
CaO	1,31	1,4	0,9	1,4	3,83	7,42
Na[2]O	3,98	2,57	3,67	3,29	4,17	3,52
K[2]O	5,18	5,43	4,93	4,22	4,79	1,88
P[2]O ₅	0,07	0,06	0,03	0,05	0,33	0,45
H[2]O	0,52	0,66	0,6	0,71	1,23	1,72
Rb	251	218	204	139	175	41,4
Ba	913	1140	297	1230	1110	739
Sr	153	109,5	93,3	203	219	785
V	15	10	15	15	60	125
Ni	-1	-1	-1	-1	-1	-1
Zr	416	191	151	125	324	164
Cu	20	-1	-1	-1	-1	15
Ag	-1	-1	-1	-1	-1	-1
CO[2]	-1	0,6	-1	0,2	2	0,4
LOI	0,86	3,15	1,12	1,56	3,95	1,96
Sn	9	3	-1	1	3	3
Ta	4,5	1,5	2	3	8,5	1,5
Th	24	15	17	10	13	3
U	6	3	4,5	2,5	4,5	2
W	88	29	31	61	200	28
Zn	60	35	45	25	45	85
La	35,5	26	30,5	24	36,5	27,5
Ce	78,5	52,5	61	40,5	75	57,5
Pr	9,5	5,4	7	4	9,1	7,4
Nd	38	19	25,5	15,5	35	31,5
Gd	7,2	3	4,7	1,9	6,7	6,8
Tb	1	0,4	0,7	0,3	1	1
Dy	5,8	2,6	4,1	1,5	5,3	5,7
Ho	1,2	0,5	0,9	0,3	1,1	1
Sm	6,9	3,5	4,9	1,8	7	6,6
Eu	1,1	0,5	0,4	0,5	1,5	2
Er	3,3	1,9	2,6	1	2,9	3,1
Lu	0,6	0,3	0,4	0,1	0,4	0,4
Tm	0,6	0,3	0,3	0,1	0,5	0,4
Yb	3,5	1,7	2,8	1,4	2,9	3,2
Co	12,5	6,5	5,5	7,5	75	18,5
Cs	8,1	12,2	6,6	3,4	4,4	0,9
Ga	18	15	16	15	15	22
Hf	12	6	5	4	9	7
Nb	16	8	11	7	15	9
Pb	15	30	20	20	20	15
Y	36,5	17,5	26	10	31	30

Grupo o Formación	Gpo. Toquepala					
Muestra	MO10	TO48	TO37	TO39	TO36	TO26
Cuadrángulo	Moquegua	Moquegua	Moquegua	Moquegua	Moquegua	Moquegua
Coordenadas	8103246/296514	8079438/333694	8085679/324274	8085982/322618	8086174/324454	8085792/318434
Tipo de roca	Toba	Toba	Riolita	Riolita	Riolita	Riolita
SIO[2]	73,75	56,03	65,22	72,99	70,28	65,08
TIO[2]	0,15	0,96	0,57	0,24	0,36	0,45
Al[2]O[3]	12,96	16,14	16,28	13,52	14,29	15,16
Fe[2]O[3]	1,65	7,85	3,17	1,99	2,43	3,52
FeO	0,36	3,55	0,01	0,09	0,38	0,14
MnO	0,07	0,13	0,04	0,01	0,08	0,09
MgO	0,22	4,04	0,14	0,05	0,43	1,32
CaO	0,64	6,16	1	0,35	2,13	2,73
Na[2]O	3,79	2,81	2,84	3,84	4,09	3,8
K[2]O	4,58	2,43	7,07	4,28	3,74	3,23
P[2]O[5]	0,02	0,25	0,14	0,09	0,12	0,13
H[2]O	0,37	1,78	1,17	0,8	0,34	1,39
Rb	177	118,5	234	139	132,5	115,5
Ba	241	604	797	1635	1225	759
Sr	69,6	422	211	206	268	313
V	10	180	60	30	25	35
Ni	-1	10	-1	-1	-1	-1
Zr	149	196	358	140,5	150	157
Cu	5	105	5	-1	25	-1
Ag	-1	-1	-1	-1	-1	-1
CO[2]	-1	-1	0,6	-1	0,2	-1
LOI	0,84	2,31	2,24	1,31	1,09	2,91
Sn	-1	-1	3	1	1	-1
Ta	2,5	1	2,5	4,5	4	1,5
Th	14	10	19	12	10	11
U	4	3,5	6	2,5	3	3,5
W	48	24	37	97	96	25
Zn	40	70	30	15	45	45
La	27,5	22	32,5	27	22,5	21,5
Ce	55	47	74,5	46	42	39,5
Pr	6,1	5,9	8,2	5,1	4,3	4,2
Nd	23,5	25	32,5	17	16	15,5
Gd	4	5	5	2,6	2,6	2,8
Tb	0,6	0,7	0,8	0,4	0,4	0,3
Dy	4,1	4	5	2,5	2,1	2,4
Ho	0,7	0,8	0,9	0,4	0,4	0,5
Sm	4,2	5,1	5,6	2,8	3,1	3,1
Eu	0,3	1,1	0,9	0,7	0,7	0,8
Er	2,4	2,2	3	1,4	1,1	1,5
Lu	0,4	0,4	0,5	0,2	0,2	0,3
Tm	0,4	0,3	0,4	0,2	0,1	0,1
Yb	2,7	2,3	3,1	1,3	1,5	1,8
Co	7	39,5	6,5	10,5	10	9
Cs	5,4	9,4	5,4	2,7	2,1	5,9
Ga	13	19	16	13	13	17
Hf	5	6	10	5	4	5
Nb	10	8	18	10	7	7
Pb	20	15	20	10	20	15
Y	23	23,5	27,5	15	13,5	14

Grupo o Formación	Gpo. Toquepala	Superunidad Challaviento			Gpo. Tacaza		
Muestra	MM13	PA240400	PA310800	PQ3611000	PA420800	TA158080A	
Cuadrángulo	Moquegua	Palca	Palca	Puquina	Pachía	Tarata	
Coordenadas	8102720/327468	8041850/399995	8026850/409890	8161287/265092	8055880/393575	8071199/377650	
Tipo de roca	Dolerita	Granito	Granodiorita	Toba	Lavas	Lavas	
SiO ₂	54,92	64,51	71,4	65,01	60,03	66,09	
TiO ₂	1,2	0,6	0,22	0,19	0,66	0,43	
Al ₂ O ₃	17,12	15,86	13,88	15,05	16,28	15,03	
Fe ₂ O ₃	8,64	4,43	1,7	1,9	5,19	3,28	
FeO	3,82	2,51	0,45	0,24	0,56	1,16	
MnO	0,21	0,07	0,06	0,13	0,04	0,09	
MgO	2,92	2,06	0,48	1,56	1,96	1,06	
CaO	6,21	4,23	1,77	2,54	3,26	2,48	
Na ₂ O	4,23	3,47	3,43	2,74	4,04	4,49	
K ₂ O	1,86	3,29	4,08	2,8	3,28	3,62	
P ₂ O ₅	0,49	0,16	0,04	0,1	0,2	0,14	
H ₂ O	1,25		1,71	2,54	1,65	0,82	
Rb	36,4	112,5	128,5	111	114	118,5	
Ba	691	761	804	1075	741	899	
Sr	684	386	212	428	356	304	
V	135	100	25	30	115	50	
Ni	-1	15	-1	5	5	-1	
Zr	147,5	151,5	110	71	190	143	
Cu	5	30	5	20	55	10	
Ag	-1	-1	-1	-1	-1	-1	
CO ₂	-1	-1	-1	-1	-1	-1	
LOI	1,19	0,44	1,93	6,67	4,12	1,69	
Sn	2	-1	-1	1	-1	1	
Ta	2,5	3	6	1,5	0,5	3,5	
Th	2	18	12	6	9	12	
U	0,5	3,5	3,5	1,5	2,5	3	
W	52	77	134	18	13	61	
Zn	70	45	30	50	65	55	
La	24,5	30,5	29	25,5	23	28,5	
Ce	52,5	58,5	51,5	45	46	54	
Pr	7	6,7	5,2	4,9	5,3	5,8	
Nd	31	23,5	17	18	19,5	22	
Gd	7	3,7	2,3	2,3	3,9	2,8	
Tb	0,9	0,6	0,4	0,4	0,5	0,5	
Dy	5,1	3	1,9	2,1	2,7	2,8	
Ho	1	0,6	0,4	0,4	0,5	0,6	
Sm	6,4	4,3	2,4	2,5	4	3,5	
Eu	1,6	1	0,6	0,9	0,9	0,8	
Er	2,8	1,5	1,3	1	1,6	1,8	
Lu	0,4	0,2	0,2	0,1	0,2	0,3	
Tm	0,4	0,2	0,1	0,1	0,2	0,2	
Yb	2,8	1,6	1,3	1,3	1,6	1,7	
Co	21	17	19	11	21,5	15,5	
Cs	1,4	3,5	9,2	8,9	9,5	5	
Ga	20	19	14	17	18	18	
Hf	5	5	3	3	5	5	
Nb	12	10	12	8	8	10	
Pb	10	15	20	30	20	20	
Y	29	14,5	12,5	10,5	15,5	15,5	

Grupo o Formación	Fm. Huilacollo	Fm. Moquegua		Fm. Ullalahuí		
Muestra	PA280800	CL174	AP000931	P16060002	ICH33	ICH130
Cuadrángulo	Palca	Clemesí	Aplao	Pizacoma	Ichuña	Ichuña
Coordenadas	8027250/413625	8092000/271000	8207040/812982	8158800/465300	8217720/307950	8188950/297000
Tipo de roca	Lavas	Toba	Toba	Lavas	Lavas	Lavas
SiO ₂	57,82	66,57	77,46	63,17	74,16	57,78
TiO ₂	0,68	0,19	0,13	0,55	0,27	0,92
Al ₂ O ₃	17,06	12,22	9,71	17,86	12,8	16,46
Fe ₂ O ₃	6,18	1,18	0,93	2,82	1,84	6,98
FeO	2,28	0,07	0,03	0,8	0,21	2,31
MnO	0,1	0,07	0,05	0,03	0,03	0,11
MgO	2,82	0,56	0,16	0,59	0,32	3,24
CaO	6,19	2,47	1,56	2,48	1,53	6,09
Na ₂ O	3,59	3,24	2,13	3,63	2,72	3,6
K ₂ O	1,45	4,98	3,47	5,24	4,19	2,85
CaO/Al ₂ O ₃	0,2	0,05	0,05	0,22	0,04	0,23
H ₂ O	1,58	3,53	0,31		0,24	0,18
Rb	51,2	184,5	114	123,5	117,5	100,5
Ba	850	569	448	1525	704	657
Sr	800	209	102	978	196,5	688
V	155	15	10	75	30	170
Ni	10	-1	-1	20	-1	30
Zr	130	127	91	122,5	120,5	178
Cu	65	5	-1	5	5	75
Ag	-1	-1	-1	-1	-1	-1
CO ₂	-1	-1	0,6	-1	-1	-1
LOI	2,59	7,38	3,4	1,95	1,02	0,38
Sn	1	3	4	-1	-1	1
Ta	1,5	2,5	3	0,5	3	2,5
Th	1	17	14	3	12	13
U	-1	4	3	1,5	2	4
W	40	52	54	13	56	47
Zn	75	30	20	95	25	90
La	19,5	26	24,5	20	24,5	31,5
Ce	38,5	49,5	46	42,5	44,5	63
Pr	4,9	5,2	4,7	5,3	4,6	7,6
Nd	18	17,5	15,5	20	17	28,5
Gd	3,2	2,7	2	2,7	2,4	4,7
Tb	0,5	0,4	0,3	0,4	0,3	0,6
Dy	2,7	2,3	1,6	1,6	1,5	3,3
Ho	0,6	0,4	0,3	0,3	0,3	0,6
Sm	2,8	2,8	2,3	3,6	2,2	5,3
Eu	0,8	0,4	0,4	1,1	0,5	1,2
Er	1,4	1,5	0,9	0,7	1,1	1,7
Lu	0,2	0,2	0,1	0,1	0,1	0,3
Tm	0,1	0,2	0,1	0,1	0,1	0,3
Yb	1,3	1,6	1	0,5	1,1	1,8
Co	23,5	14	10,5	7	10,5	31
Cs	10,6	7,3	5,1	1	5,4	3,1
Ga	20	13	10	38	12	22
Hf	4	5	3	4	4	5
Nb	6	11	9	7	9	9
Pb	20	15	20	35	20	25
Y	14	14	10	7,5	10,5	17

Grupo o Formación	Fm. Capillune					Fm. Pichu
Muestra	TA1800900	JU155	JU155A	GD223	IL40580	PQ3061000
Cuadrángulo	Tarata	Juli	Juli	Antajave	Llave	Characato
Coordenadas	8118096/364855	8192000/494100	8192000/494100	8111248/446752	8227186/426332	8174716/265124
Tipo de roca	Pómez	Toba	Toba	Toba	Toba	Lavas
SiO ₂ [2]	64,02	58,28	61,19	66,89	56,16	61,51
TiO ₂ [2]	0,6	0,8	0,62	0,42	0,89	0,64
Al ₂ O ₃ [3]	15,31	17,75	16,4	14,31	17,18	17,35
Fe ₂ O ₃ [3]	4,06	4,74	3,82	2,34	5,24	5,17
FeO	1,74	1,24	1,16	0,87	1,49	2,03
MnO	0,07	0,1	0,08	0,07	0,1	0,08
MgO	1,58	2,16	1,51	0,65	2,7	2,15
CaO	3,46	4,31	3,09	2,14	4,18	5,08
Na ₂ O	3,3	3,75	2,65	3,48	3,1	4,36
K ₂ O	4,12	3,12	4,77	4,66	3,15	2,14
CaO[2]O ₅	0,19	0,32	0,27	0,13	0,31	0,26
H ₂ O	2,41	1,83	3,16	2,95	2,91	0,19
Rb	121	78,6	110	138	141	46,8
Ba	857	1395	1510	991	1055	1015
Sr	504	1380	959	458	865	915
V	90	50	50	30	90	125
Ni	5	15	10	-1	20	5
Zr	186	295	311	225	245	147
Cu	15	20	5	-1	20	70
Ag	-1	-1	-1	-1	-1	-1
CO[2]	-1	-1	0,4	-1	-1	-1
LOI	2,45	3,42	4,1	3,25	5,5	0,26
Sn	1	1	1	1	3	1
Ta	4,5	4,5	3	3,5	2	2,5
Th	11	9	13	11	10	3
U	3,5	2	3	3	4	0,5
W	79	84	33	79	26	47
Zn	65	70	75	60	390	70
La	29,5	62,5	64,5	40	63	25,5
Ce	58,5	110	114,5	74,5	109	50
Pr	6,5	11,8	13	7,8	13	6
Nd	25,5	45,5	44,5	26,5	49	22,5
Gd	3,5	5,7	6,1	3,7	6,6	3,1
Tb	0,5	0,7	0,7	0,5	0,9	0,4
Dy	2,8	3,8	4	2,3	4,3	2
Ho	0,5	0,6	0,6	0,5	0,7	0,3
Sm	4	7	6,2	4,1	7,6	3,9
Eu	0,9	2,1	1,7	0,8	1,9	1,1
Er	1,3	1,8	1,4	1,3	2,3	1
Lu	0,2	0,2	0,3	0,2	0,3	0,1
Tm	0,1	0,2	0,2	0,1	0,3	0,1
Yb	1,7	1,8	1,7	1,3	2,2	1,2
Co	31	18	13	18	20,5	22
Cs	4,8	1,8	2,5	3,5	42,8	0,7
Ga	19	27	23	18	26	23
Hf	6	9	9	6	9	5
Nb	10	21	24	15	19	7
Pb	15	15	25	25	55	20
Y	13	17,5	17,5	14,5	24,5	10,5

Grupo o Formación	Fm. Maure					
	Fm. Pichu	PY56	PQ3591000	PZ130	PI17102	PI2112
Muestra	PI16101					
Cuadrángulo	Pichacani	Plzacoma	Puquina	Pizacoma	Pichacani	Pichacani
Coordenadas	8216100/346200	8163115/463115	8159548/270323	8129074/460653	8218100/364200	8192300/351410
Tipo de roca	Toba	Toba	Lavas	Toba	Toba	Toba
SiO ₂	65	74,95	59,76	67,15	73,61	69,58
TiO ₂	0,41	0,17	0,69	0,26	0,15	0,17
Al ₂ O ₃	15,53	13,06	13,86	13,23	13,61	11,95
Fe ₂ O ₃	2,89	1	5,97	1,73	0,84	0,43
FeO	0,47	-1	0,84	0,03	0,13	-1
MnO	0,03	0,02	0,05	0,07	0,05	0,01
MgO	1,8	0,13	2,82	0,78	0,09	0,55
CaO	3,11	0,59	4,22	1,51	0,6	2,01
Na ₂ O	3,01	3,16	2,05	1,96	3,5	0,78
K ₂ O	3,36	5,2	2,48	5,13	5,29	5
P ₂ O ₅	0,13	0,02	0,14	0,07	0,02	0,04
H ₂ O	1,78		2,18	3,74	0,52	3,33
Rb	94	219	155	152	250	150,5
Ba	907	326	664	832	605	660
Sr	600	113,5	416	228	101	258
V	60	10	155	10	5	5
Ni	20	15	20	-1	-1	-1
Zr	112	100	203	101	112	127
Cu	15	5	25	35	-1	-1
Ag	-1	4	-1	-1	-1	-1
CO ₂	0,8	-1	0,2	-1	-1	-1
LOI	3,91	0,78	6,87	6,64	0,87	8,13
Sn	-1	-1	1	1	1	1
Ta	1,5	2,5	1,5	2	4,5	2,5
Th	3	36	6	13	16	12
U	0,5	7,5	2	4	5	3,5
W	35	38	20	22	80	40
Zn	20	35	55	20	30	15
La	18,5	36,5	17	29,5	31	24,5
Ce	31,5	63,5	31,5	51,5	59,5	43,5
Pr	4,5	7,5	4,3	5,3	6,2	4,8
Nd	16,5	23,5	16,5	17,5	22	15,5
Gd	3	2,4	3	2,6	3,5	2,8
Tb	0,4	0,4	0,5	0,3	0,5	0,3
Dy	1,9	1,7	2,4	1,6	2,6	2
Ho	0,4	0,4	0,6	0,3	0,6	0,4
Sm	3,3	3,3	3,8	3	3,8	2,5
Eu	0,8	0,5	0,9	0,7	0,7	0,5
Er	0,8	1,1	1,6	1	1,6	1,4
Lu	0,1	0,2	0,2	0,1	0,3	0,2
Tm	0,1	0,2	0,2	0,1	0,3	0,1
Yb	0,8	1,4	1,4	1,2	1,9	1,3
Co	12,5	7	16,5	9	14	9,5
Cs	12,1	8,4	7,8	6,6	10,5	8,8
Ga	18	22	17	16	16	12
Hf	3	3	6	4	4	4
Nb	4	11	8	13	18	11
Pb	10	25	20	5	25	5
Y	11	10	14	9	18	13

Grupo o Formación	Fm. Maure	No Asignado				
Muestra	Pi3112	OM010600	JU141	JU148	JU149	ICH66
Cuadrángulo	Pichacani	Omate	Juli	Juli	Juli	Ichuña
Coordenadas	8191100/365500	8144143/296323	8202000/484494	8205490/452783	8201582/454315	8219150/289050
Tipo de roca	Toba	Subvolcánico	Subvolcánico	Intrusivo	Intrusivo	Subvolcánico
SiO ₂	72,83	53,31	64,66	70,64	71,04	66,27
TiO ₂	0,19	0,72	0,72	0,39	0,41	0,47
Al ₂ O ₃	13,37	17,73	14,94	14,29	14,24	15,77
Fe ₂ O ₃	1,12	8,27	3,94	2,04	1,68	2,95
FeO	0,1	4,17	0,99	0,43	0,58	0,39
MnO	0,02	0,14	0,08	0,03	0,04	0,01
MgO	0,13	3,53	1,56	0,45	0,59	0,21
CaO	0,43	6,9	3,08	1,42	1,65	0,14
Na ₂ O	2,98	4,09	3,77	3,28	3,53	0,73
K ₂ O	6,77	1,34	4,14	5,19	4,38	10,82
P ₂ O ₅	0,02	0,19	0,31	0,14	0,13	0,05
H ₂ O	0,31	-	0,3	0,34	0,06	0,74
Rb	173	32,4	99,4	169	167,5	379
Ba	976	476	1365	891	787	1345
Sr	68,2	692	873	393	423	88
V	5	175	60	30	35	50
Ni	-1	25	20	-1	-1	-1
Zr	133	51	215	174	164	204
Cu	-1	95	10	130	-1	-1
Ag	-1	-1	-1	1	-1	-1
CO ₂	0,2	-1	-1	1	-1	-1
LOI	1	2,25	1,39	0,83	1,11	1,49
Sn	-1	-1	-1	3	1	-1
Ta	3	-1	2,5	3	4	2
Th	13	1	11	10	10	11
U	3,5	0,5	3	3	4,5	3
W	55	12	28	51	66	36
Zn	40	80	45	375	35	35
La	28	14	51,5	37,5	30,5	29
Ce	50,5	30	96	66,5	58	55
Pr	5,3	4	10,3	7,1	6,1	6,5
Nd	19	17	37	24	23	24,5
Gd	2,9	3,4	5	3,3	3	3,8
Tb	0,4	0,5	0,7	0,4	0,4	0,6
Dy	2,8	2,1	3,3	2	1,6	3,4
Ho	0,5	0,4	0,6	0,3	0,3	0,7
Sm	3	3,7	5,5	3	3,4	5,6
Eu	0,5	1,1	1,6	0,8	1	1
Er	1,4	1,1	1,6	0,7	0,7	1,8
Lu	0,3	0,1	0,2	0,1	0,1	0,3
Tm	0,2	0,1	0,1	0,1	-1	0,3
Yb	1,8	1,1	1,5	0,8	0,7	2
Co	6,5	26	13,5	8,5	9	14,5
Cs	1,4	8,3	2,2	5,1	3,2	39
Ga	14	25	22	23	23	17
Hf	5	1	6	5	5	6
Nb	12	2	20	16	16	10
Pb	20	5	-1	210	-1	30
Y	16	15,5	16,5	8	9	17

Grupo o Formación	No Asignado					
Muestra	PI2111	PI3113	PI13111	IL40581	P16060003	106128
Cuadrángulo	Pichacani	Pichacani	Pichacani	Ilave	Pizacoma	Pachía
Coordenadas	8193400/351730	8191200/361700	8192830/388300	8222151/419829	8163500/466700	8041825/402282
Tipo de roca	Intrusivo	Intrusivo	Intrusivo	Intrusivo	Subvolcánico	Diorita
SiO[2]	61,05	60,21	63,89	68,27	63,89	57,06
TiO[2]	0,65	0,73	0,34	0,41	0,52	0,78
Al[2]O[3]	15,77	16,4	15,44	15,85	15,67	16,83
Fe[2]O[3]	5,05	5,64	2,58	2,04	3,32	5,08
FeO	1,74	2,52	1,11	0,98	0,86	2,67
MnO	0,09	0,1	0,08	0,03	0,07	0,07
MgO	1,42	2,1	1,05	0,7	2,04	3,68
CaO	4,25	4,7	3,39	2,07	3,71	7,22
Na[2]O	3,06	3,59	2,87	3,51	4,69	3,33
K[2]O	3,99	3,26	4,41	4,48	2,71	2,48
P[2]O[5]	0,2	0,21	0,15	0,18	0,25	0,19
H[2]O	0,4	0,66	1,15	0,48	-	-
Rb	197	133,5	102,5	122,5	61,8	71
Ba	809	761	1165	1465	1830	845
Sr	399	498	444	742	1215	595
V	85	110	65	30	80	170
Ni	-1	5	5	-1	30	25
Zr	179	176	115	198	116,5	110
Cu	40	30	10	-1	15	20
Ag	-1	-1	-1	-1	-1	1
CO[2]	1,6	-1	1,6	-1	-1	0,4
LOI	3,52	1,67	4,7	1,04	1,52	2,52
Sn	3	1	-1	4	1	-1
Ta	2,5	2	1	3,5	1,5	-1
Th	11	13	3	11	3	10
U	4	4,5	3	7,5	2	2,5
W	54	53	21	64	26	36
Zn	80	80	100	25	95	40
La	31	29,5	11	57,5	31,5	19
Ce	61	58,5	24	111	59	41
Pr	6,9	7,1	2,5	12,8	6,6	5
Nd	26,5	28	9,5	45	24,5	18,5
Gd	4,8	4,9	1,9	6,5	3,3	3,3
Tb	0,6	0,7	0,2	0,8	0,4	0,5
Dy	3,7	3,4	1,1	4,5	1,8	2,6
Ho	0,6	0,6	0,2	0,9	0,3	0,5
Sm	4,1	4,7	1,7	7,2	4,1	3,4
Eu	1	1,2	0,4	1,7	1,2	1
Er	1,9	1,7	0,7	2,2	0,9	1,3
Lu	0,3	0,3	0,1	0,3	0,1	0,1
Tm	0,3	0,3	0,1	0,3	0,1	0,1
Yb	1,9	2,2	1	1,8	0,8	1,5
Co	16,5	22,5	9	11	13	13,5
Cs	11,7	6,6	2,6	1,6	1,2	14,8
Ga	18	19	16	24	31	19
Hf	5	5	6	12	3	4
Nb	9	10	7	22	11	6
Pb	15	20	10	20	35	5
Y	19	18,5	8	25	9	12,5

Grupo o Formación	No Asignado	Fm. Milló		Fm. Sencca		
Muestra	ICH17	CL173	TO06	PQ3641000	PZ128	PZ134
Cuadrángulo	Ichuña	Clemesi	Moquegua	Puquina	Pizacoma	Pizacoma
Coordenadas	8182947/309011	8090500/274000	8091392/295235	8155283/260418	8140200/477200	8165850/471589
Tipo de roca	Granito	Toba	Toba	Toba	Toba	Toba
SiO ₂	64,68	71,01	67,12	71,33	72,61	78,24
TiO ₂	0,51	0,21	0,24	0,26	0,21	0,14
Al ₂ O ₃	15,86	12,57	13,49	14,19	13,37	11,23
Fe ₂ O ₃	4,7	1,44	1,74	1,99	1,12	0,89
FeO	2,46	0,11	0,23	0,12	0,15	0,03
MnO	0,08	0,06	0,08	0,09	0,03	0,02
MgO	1,76	0,43	1,17	0,41	0,1	0,06
CaO	3,89	1,29	1,65	1,52	0,87	0,63
Na ₂ O	3,38	3,23	2,82	3,31	3,61	2,37
K ₂ O	3,84	4,93	4,18	4,17	5,05	4,13
P ₂ O ₅	0,14	0,03	0,06	0,04	0,42	0,05
H ₂ O	-	2,46	3,74	0,7	0,46	0,45
Rb	149	198	179	111,5	116	191,5
Ba	835	316	783	950	549	303
Sr	423	131	186,5	218	195,5	110
V	95	15	20	30	5	5
Ni	10	-1	-1	-1	-1	-1
Zr	187,5	113,5	131,5	115	110	95,5
Cu	60	5	10	35	10	5
Ag	2	-1	-1	-1	-1	-1
CO ₂	-1	-1	-1	-1	0,2	0,2
LOI	0,25	3,25	5,98	1,44	1,34	1,27
Sn	-1	3	2	-1	-1	-1
Ta	2,5	4,5	1,5	5,5	5,5	3
Th	33	29	19	9	11	27
U	7	11	12	2,5	3,5	7,5
W	73	83	17	109	108	44
Zn	50	35	35	30	30	20
La	38	34,5	36	29,5	39,5	30
Ce	72,5	63	70,5	62	68,5	55
Pr	8,1	6,7	6,6	5,9	6,9	5,5
Nd	27,5	21	21,5	20	23	18
Gd	3,7	2,6	2,9	2,7	2,6	2,3
Tb	0,6	0,4	0,5	0,4	0,3	0,4
Dy	3	2,1	2,7	2,9	1,5	2,1
Ho	0,6	0,4	0,5	0,6	0,3	0,4
Sm	4,9	3,2	3,3	3,2	3,6	2,7
Eu	1,1	0,5	0,6	0,6	0,7	0,4
Er	1,7	1,2	1,4	1,9	0,5	1,4
Lu	0,3	0,2	0,3	0,3	-1	0,1
Tm	0,3	0,2	0,3	0,3	0,1	0,1
Yb	1,7	1,5	2,1	1,5	0,6	1,3
Co	17	14	6,5	15,5	14,5	9
Cs	7,6	17,7	7,7	1,8	2,4	5,5
Ga	18	14	15	16	19	13
Hf	6	4	17	5	4	4
Nb	8	14	16	13	14	13
Pb	15	35	20	10	-1	5
Y	16	13,5	16	14,5	7	11,5

Grupo o Formación	Fm. Sencca					
Muestra	ICH46A	OC000827	JL000891	GD225	PI16103	PI3114
Cuadrángulo	Ichuña	Ocoña	La Joya	Antajave	Pichacani	Pichacani
Coordenadas	8226320/397220	8229250/704655	8130800/215800	8072019/439279	8210700/349200	8194300/365500
Tipo de roca	Toba	Toba	Toba	Toba	Toba	Toba
SiO ₂	74,68	70,17	71,33	70,89	70,05	75,17
TiO ₂	0,17	0,27	0,24	0,25	0,19	0,16
Al ₂ O ₃	13,03	13,74	13,38	13,63	12,51	12,81
Fe ₂ O ₃	1,01	1,81	1,77	1,32	0,63	0,98
FeO	0,2	-1	0,01	0,28	0,01	0,03
MnO	0,06	0,1	0,09	0,04	0,01	0,02
MgO	0,05	0,4	0,76	0,27	0,35	-1
CaO	0,63	2,03	1,68	1,12	1,73	0,72
Na ₂ O	3,91	4,38	3,65	2,66	1,01	3,44
K ₂ O	4,88	3,86	4,26	5,94	4,73	4,95
P ₂ O ₅	0,04	0,08	0,05	0,05	0,02	0,03
H ₂ O	-1	0,32	0,21	2,33	3,13	0,12
Rb	210	119,5	111	114,5	139,5	209
Ba	597	759	743	852	960	278
Sr	86,2	205	186,5	326	320	95,1
V	5	25	25	10	10	5
Ni	-1	-1	-1	-1	-1	-1
Zr	131	170	110	148	119	111
Cu	-1	-1	5	-1	30	-1
Ag	-1	-1	-1	-1	-1	-1
CO ₂	-1	-1	-1	-1	0,4	0,2
LOI	0,3	2,38	1,4	2,47	7,65	0,45
Sn	-1	-1	1	-1	1	-1
Ta	4	5	6	3,5	2	3,5
Th	28	11	8	9	12	30
U	6,5	4	2	2,5	3	8,5
W	68	103	121	85	32	66
Zn	30	40	30	40	35	20
La	36,5	24,5	25	47	27	35
Ce	65	48,5	46	80	49	62,5
Pr	6,9	5,2	4,9	8,2	4,9	6,3
Nd	22	19,5	17	27	17,5	20
Gd	2,3	3	2,7	2,4	2,6	2,4
Tb	0,3	0,5	0,4	0,3	0,4	0,4
Dy	2	2,7	2,5	1,3	2,4	2,2
Ho	0,4	0,5	0,5	0,1	0,4	0,4
Sm	3,1	3,5	2,4	3,2	3,2	2,7
Eu	0,4	0,6	0,5	0,7	0,6	0,5
Er	1,1	1,5	1,3	0,5	1,4	1,1
Lu	0,3	0,3	0,2	0,1	0,2	0,2
Tm	0,2	0,1	0,2	-1	0,1	0,1
Yb	1,5	1,5	1,7	0,7	1,3	1,2
Co	15,5	19	19	18	11	12
Cs	6,9	2,2	1,2	9,4	7,9	11,2
Ga	17	17	14	17	13	13
Hf	5	4	3	4	4	4
Nb	13	15	13	12	11	14
Pb	20	5	15	25	20	20
Y	13	15,5	15,5	6,5	13	11,5

Grupo o Formación	Gpo. Barroso					
Muestra	TA050400	PA010400	CH36052000	MA350500	PA200400	PA260400
Cuadrángulo	Tarata	Pachía	Characato	Mazo Cruz	Palca	Palca
Coordenadas	8073080/385218	8057345/243033	8208385/268247	8166500/442700	8056706/399639	8065565/414648
Tipo de roca	Piroclástico	Toba	Lavas	Lavas	Piroclástico	Lavas
SiO ₂	74,89	58,71	57,49	56,22	72,75	66,12
TiO ₂	0,17	0,86	0,79	1,28	0,2	0,58
Al ₂ O ₃	13,24	16,69	17,89	15,92	13,54	15,17
Fe ₂ O ₃	0,24	6,52	6,82	7,15	1,43	3,72
FeO	0,01	2,29	3,03	3,2	0,46	1,53
MnO	0,01	0,09	0,11	0,11	0,03	0,07
MgO	0,34	3,17	2,73	4,09	0,49	1,61
CaO	0,1	5,54	6,11	6,16	1,31	3,2
Na ₂ O	1,01	3,5	3,8	3,75	2,94	3,73
K ₂ O	3,81	2,39	2,44	3,14	4,5	3,85
P ₂ O ₅	0,05	0,23	0,27	0,53	0,06	0,2
H ₂ O	-	-	-	-	-	-
Rb	115	64,2	46,2	50,4	135	129
Ba	945	784	905	1680	727	935
Sr	24,1	654	790	1335	149,5	500
V	5	160	150	175	20	75
Ni	5	40	10	30	-1	10
Zr	94,5	148,5	147	217	81,5	183
Cu	5	80	50	35	5	20
Ag	1	1	-1	-1	-1	-1
CO ₂	-1	0,2	-1	-1	-1	-1
LOI	5,32	1,07	0,64	0,54	2,05	0,94
Sn	-1	3	1	-1	-1	-1
Ta	-1	-1	0,5	-1	3	2
Th	8	12	6	8	18	26
U	2	4	1	1,5	4,5	8
W	11	30	46	24	72	57
Zn	20	95	85	110	30	60
La	17	27,5	31,5	61,5	26,5	36,5
Ce	35,5	55,5	56	121,5	49	67,5
Pr	4	6,9	7,8	15,9	5,2	7,4
Nd	14,5	25,5	29,5	59,5	17	27
Gd	2,7	4,5	4,6	7,8	2,4	4
Tb	0,5	0,5	0,6	1	0,4	0,5
Dy	2,8	2,6	3,3	4,2	1,8	2,4
Ho	0,5	0,5	0,6	0,7	0,4	0,4
Sm	3,2	4,6	5,5	9,9	2,7	4,5
Eu	0,7	1,4	1,3	2,7	0,6	1,1
Er	1,8	1,4	1,6	2,1	1,2	1,1
Lu	0,3	0,1	0,2	0,3	0,3	0,1
Tm	0,3	0,2	0,2	0,3	0,2	0,1
Yb	1,9	1,2	1,5	2	1,5	1,2
Co	7,5	28	22	27	8	14,5
Cs	1	4,8	1,3	0,8	1,7	9,1
Ga	14	22	23	24	14	20
Hf	3	5	4	6	3	6
Nb	10	6	6	11	11	10
Pb	20	35	35	20	20	25
Y	16	13,5	15,5	19,5	12	11

Grupo o Formación	Gpo. Barroso					
Muestra	PA270400	PA310400	PA360400	PA440400	P16060001	CH109072000
Cuadrángulo	Palca	Palca	Palca	Palca	Pizacoma	Characato
Coordenadas	8064800/415120	8063275/415325	8053125/420625	8050250/413650	8156600/448000	8197212/259320
Tipo de roca	Lavas	Lavas	Lavas	Lavas	Piroclástico	Lavas
SiO ₂	59,97	66,37	60,55	57,68	53,26	57,17
TiO ₂	1,04	0,56	0,9	0,91	1,2	0,77
Al ₂ O ₃	15,5	14,47	15,89	17,63	16,08	17,2
Fe ₂ O ₃	5,92	3,61	5,84	6,6	7,55	6,69
FeO	2,34	1,49	0,9	3,17	2,25	2,42
MnO	0,09	0,07	0,09	0,1	0,08	0,11
MgO	3,43	1,5	2,86	3	3,41	3,51
CaO	5,14	3,05	4,95	5,85	7,34	6,5
Na ₂ O	3,75	3,57	4,05	4,09	3,18	4,19
K ₂ O	3,08	4,01	2,92	2,28	2,77	2,07
P ₂ O ₅	0,36	0,19	0,31	0,28	0,5	0,29
H ₂ O	-	-	-	-	-	-
Rb	90,8	143	81,4	53,2	53,2	35
Ba	900	790	1070	877	1230	740
Sr	713	461	781	720	1035	1005
V	135	70	110	155	170	165
Ni	35	15	40	25	30	30
Zr	174,5	154	174,5	154	178,5	116,5
Cu	35	15	65	85	35	95
Ag	-1	-1	-1	-1	-1	1
CO ₂	-1	-1	-1	-1	1	-1
LOI	0,45	1,34	0,69	0,27	3,35	0,2
Sn	-1	-1	-1	-1	1	1
Ta	1,5	2,5	0,5	-1	0,5	2
Th	18	26	12	6	6	2
U	5,5	9	3,5	1,5	1,5	0,5
W	42	66	27	28	15	29
Zn	85	60	105	90	100	95
La	35	35	40	26,5	42	29
Ce	70	61,5	80,5	55	91	56
Pr	8,7	6,8	9,6	6,8	11	6,7
Nd	32	24,5	36	27,5	42,5	25,5
Gd	5,3	3,7	4,7	4,2	6	3,8
Tb	0,7	0,5	0,6	0,6	0,8	0,5
Dy	2,9	2,1	3,1	2,5	3,8	2,4
Ho	0,5	0,4	0,5	0,5	0,7	0,5
Sm	6,5	3,8	6,3	5,2	7,3	4,4
Eu	1,6	1,1	1,5	1,3	2	1,3
Er	1,4	1	1,4	1,4	2,1	1,3
Lu	0,1	0,1	0,1	0,1	0,3	0,1
Tm	0,2	0,1	0,1	0,1	0,3	0,2
Yb	1,3	1	1,4	1,4	1,7	1,1
Co	19,5	14,5	20	21,5	23,5	28,5
Cs	5,8	10,9	2,3	1,7	0,5	0,6
Ga	22	20	21	22	26	24
Hf	6	5	6	4	5	3
Nb	10	10	9	7	10	5
Pb	20	25	20	15	15	-1
Y	13,5	10	13,5	12,5	19,5	12,5

Grupo o Formación	Gpo. Barroso					
Muestra	TA130400A	TA140400	TA150400	TA170400	TA180400	PZ126
Cuadrángulo	Tarata	Tarata	Tarata	Tarata	Tarata	Pizacoma
Coordenadas	8106213/344399	8101196/345631	8101964/345511	8105131/349183	8101467/349493	8171704/449384
Tipo de roca	Lavas	Toba	Toba	Lavas	Lavas	Lavas
SiO ₂	59,87	49,77	54,61	62,81	58,68	59,27
TiO ₂	0,69	0,96	0,87	0,62	0,82	0,99
Al ₂ O ₃	17,62	19,86	17,35	16,17	17,01	17,26
Fe ₂ O ₃	5,5	7,79	6,64	5,12	6,19	6,15
FeO	2,65	0,95	1,76	1,52	2,66	1,62
MnO	0,08	0,09	0,08	0,09	0,1	0,1
MgO	2,37	2,24	2,18	1,82	2,82	1,57
CaO	5,1	5,24	5,24	4,51	5,76	5,31
Na ₂ O	4,36	2,82	3,05	4,24	4,56	4,08
K ₂ O	1,96	0,74	1,55	2,53	2,06	2,71
P ₂ O ₅	0,24	0,09	0,21	0,19	0,25	0,45
H ₂ O	1,02	4	3,05	0,15	0,18	0,16
Rb	31,6	17,4	33,4	48,4	39,8	61,2
Ba	949	813	840	875	853	1800
Sr	838	784	831	644	830	1130
V	125	95	110	110	145	115
Ni	20	55	15	5	25	-1
Zr	148	152	149	126	137	191
Cu	65	150	95	105	80	5
Ag	-1	-1	-1	-1	-1	-1
CO ₂	-1	-1	-1	-1	-1	-1
LOI	1,09	9,25	6,91	0,58	0,29	0,9
Sn	-1	1	-1	-1	1	1
Ta	2,5	0,5	0,5	2	2,5	2
Th	1	2	1	3	1	6
U	-1	0,5	-1	0,5	-1	1,5
W	53	3	10	33	44	36
Zn	85	90	90	60	80	105
La	22,5	22	21,5	21	19,5	58,5
Ce	42	44,5	41,5	41	40	99
Pr	5,1	5,8	5,7	4,9	4,8	12,8
Nd	20,5	24,5	23	19,5	19	51,5
Gd	3,1	3,9	4,4	3,3	3,3	7,5
Tb	0,5	0,5	0,5	0,4	0,4	0,9
Dy	2,1	2,7	2,7	2,5	2,1	4,7
Ho	0,4	0,5	0,4	0,4	0,4	0,8
Sm	3,7	4,5	4,1	4,1	3,8	8,5
Eu	1,1	1,2	1,1	1	1	2,2
Er	1	1,3	1,1	1,2	1,2	2,4
Lu	0,1	0,1	0,1	0,1	0,1	0,4
Tm	0,1	0,1	0,2	0,1	0,1	0,3
Yb	0,8	1,1	1,1	1,3	0,9	1,7
Co	26	28,5	23	18	27	18,5
Cs	0,9	1	0,9	0,9	1,3	0,9
Ga	24	27	23	21	22	25
Hf	4	5	4	4	4	6
Nb	7	6	6	7	7	13
Pb	20	20	15	15	10	15
Y	10	12	12,5	12,5	11	25

Grupo o Formación	Gpo. Barroso					
Muestra	JU152	JU162	ICH59	ICH83	ICH126	CH2010900
Cuadrángulo	Julii	Julii	Ichuña	Ichuña	Ichuña	Characato
Coordenadas	8196300/484650	8189500/474800	8223880/390140	8213760/294300	8200660/291480	8185041/234116
Tipo de roca	Lavas	Lavas	Lavas	Lavas	Toba	Lavas
SiO ₂	60,45	54,25	55	58,38	72,71	59,25
TiO ₂	0,95	1,13	1,13	0,79	0,17	0,87
Al ₂ O ₃	14,62	14,1	16,13	16,61	14,18	15,84
Fe ₂ O ₃	5,32	7,77	8,88	6,51	1,33	6,37
FeO	0,64	4,39	3,15	2,62	-1	3,09
MnO	0,08	0,12	0,11	0,09	0,08	0,1
MgO	3,37	7,29	2,87	2,82	0,02	2,89
CaO	4,38	7,14	6,49	5,95	0,51	5,59
Na ₂ O	3,4	3,26	3,62	3,68	3,24	3,15
K ₂ O	4,19	2,97	2,52	2,9	4,65	3,2
P ₂ O ₅	0,42	0,45	0,3	0,22	0,02	0,25
H ₂ O	0,41	0,23	0,03	0,26	0,9	1,23
Rb	91,2	78,6	91,2	91,6	200	79,8
Ba	1445	832	754	712	616	895
Sr	1105	808	602	630	60	592
V	60	185	260	165	-1	155
Ni	40	125	10	25	-1	25
Zr	238	195	172	187	137,5	202
Cu	5	40	120	60	-1	70
Ag	-1	-1	-1	-1	-1	-1
CO ₂	0,2	-1	-1	-1	-1	-1
LOI	1,59	0,32	1,45	0,7	1,73	1,18
Sn	-1	1	1	1	1	1
Ta	3,5	3	1,5	2	2	3,5
Th	9	6	8	9	21	7
U	3	2,5	1,5	2,5	6	1,5
W	50	40	26	35	23	70
Zn	35	80	100	75	45	75
La	58	40	31	31,5	40	38
Ce	106,5	78	64,5	56	80	70,5
Pr	12,6	9,4	8	7,1	8,4	8,7
Nd	46,5	36	33	28,5	29	33,5
Gd	5,9	6	6	4,4	3,9	4,7
Tb	0,8	0,7	0,9	0,6	0,6	0,6
Dy	3,8	4,3	4,7	3,2	2,7	3,4
Ho	0,6	0,8	0,9	0,6	0,5	0,5
Sm	7,7	7	6,1	4,7	5	6,3
Eu	1,8	1,9	1,6	1,1	0,8	1,3
Er	1,8	2	2,6	1,9	1,8	1,6
Lu	0,2	0,3	0,4	0,2	0,3	0,3
Tm	0,2	0,2	0,3	0,3	0,3	0,3
Yb	1,4	1,7	2,4	1,6	2	1,7
Co	14	34,5	29	28	7,5	28,5
Cs	2	2,4	2,7	1,7	4	2,1
Ga	22	22	23	19	19	21
Hf	7	5	5	5	5	5
Nb	20	22	9	8	18	9
Pb	5	20	15	20	30	25
Y	17	20,5	25	19,5	17	18

Gpo. Barroso						
Grupo o Formación	CH2020900	HUSO200	HUSO202	HUNO251	HUNO235	HUNO245
Muestra	Characato	Huaitire	Huaitire	Huaitire	Huaitire	Huaitire
Coordenadas	8190966/236343	8132312/347736	8133798/346662	8173000/390230	8174256/344745	8165361/366619
Tipo de roca	Lavas	Lavas	Lavas	Toba	Toba	Toba
SiO ₂	60,73	59,76	61,43	73,24	65,14	71,28
TiO ₂	0,73	0,73	0,65	0,25	0,33	0,28
Al ₂ O ₃	16,89	16,5	16,36	12,88	13,19	14,35
Fe ₂ O ₃	5,54	5,29	5,13	1,49	2,53	1,83
FeO	2,66	1,79	0,5	0,02	0,02	0,16
MnO	0,1	0,08	0,06	0,03	0,07	0,03
MgO	2,35	2,26	1,5	0,2	1,15	0,29
CaO	5,08	4,95	4,1	1,23	2,61	1,54
Na ₂ O	3,97	3,64	3,99	3,11	4,07	3,88
K ₂ O	2,38	3,06	3,07	4,41	3,61	4,28
P ₂ O ₅	0,29	0,24	0,24	0,05	0,07	0,08
H ₂ O	0,25	1,55	0,5	0,46	1,36	0,28
Rb	45,8	82,8	87,4	144,5	101	162,5
Ba	1005	899	920	1015	623	540
Sr	812	734	639	253	335	228
V	115	130	95	15	50	30
Ni	15	15	10	-1	-1	-1
Zr	157	156	185	158,5	120,5	145
Cu	60	40	60	-1	10	5
Ag	-1	-1	-1	-1	-1	-1
CO ₂	-1	-1	-1	-1	0,4	-1
LOI	0,44	2,15	2,14	1,64	6,41	0,95
Sn	1	1	-1	-1	1	1
Ta	3	2,5	1	4	4	6
Th	2	6	7	17	10	14
U	-1	1,5	1,5	4,5	2,5	3,5
W	66	60	21	73	90	121
Zn	80	80	90	30	50	50
La	26,5	27,5	29	33,5	25,5	29,5
Ce	50,5	53	56,5	58	52	57
Pr	5,7	6	6,6	5,9	5,6	6,3
Nd	23,5	24	26,5	20,5	21,5	21
Gd	3,2	3,7	3,2	2,3	3,5	3,3
Tb	0,4	0,5	0,5	0,3	0,5	0,6
Dy	2,2	2,1	2,6	1,7	2,9	3,4
Ho	0,4	0,5	0,5	0,3	0,6	0,6
Sm	3,1	3,6	4,3	3	3,2	3,8
Eu	1	1,1	0,9	0,7	0,6	0,5
Er	1	1	1,1	0,9	1,6	2
Lu	0,1	0,1	0,1	0,1	0,1	0,3
Tm	0,1	0,1	0,1	0,1	0,2	0,3
Yb	1,2	1	1,1	1	1,7	1,8
Co	22	28,5	23	17,5	13,5	33,5
Cs	1,1	2,4	1,6	6,3	4,2	6,4
Ga	21	20	20	14	15	17
Hf	4	4	5	5	3	4
Nb	7	8	8	11	11	14
Pb	20	20	20	20	15	15
Y	11,5	13	12	9,5	16	20

Grupo o Formación	Gpo. Barroso					
Muestra	HUNO236	HUNO254	HUNO210	HUSE227A	GD221	PI17103
Cuadrángulo	Hualtire	Hualtire	Hualtire	Hualtire	Antajave	Pichacani
Coordenadas	8175300/344200	8156470/363084	8142800/343654	8143500/382500	8120269/455125	8214300/358500
Tipo de roca	Toba	Lavas	Toba	Toba	Lavas	Lavas
SiO ₂ [2]	71,41	55,73	65,59	75,31	64,61	57,33
TiO ₂ [2]	0,3	1,05	0,38	0,07	0,63	0,88
Al ₂ O ₃ [3]	13,74	18,37	14,35	12,9	15,08	16,15
Fe ₂ O ₃ [3]	2	7,13	2,31	0,55	3,69	6,56
FeO	0,29	3,19	0,12	0,11	1,21	2,41
MnO	0,04	0,11	0,03	0,14	0,07	0,12
MgO	0,42	2,4	0,46	-1	1,37	1,71
CaO	1,7	6,38	2,09	0,35	3,22	6
Na ₂ O	3,52	4,16	2,31	4,13	3,76	3
K ₂ O	4,06	2,59	4,56	4,38	4,12	2,99
P ₂ O ₅	0,05	0,38	0,1	-1	0,26	0,29
H ₂ O	0,44	0,21	1,97	0,82	1,46	1,35
Rb	130	58,6	126	625	121,5	91,8
Ba	562	951	928	11,5	1075	686
Sr	230	826	391	4,8	694	596
V	35	160	50	-1	60	155
Ni	-1	10	-1	-1	-1	5
Zr	167	199	127	97,5	194	157
Cu	5	35	10	-1	-1	20
Ag	-1	-1	-1	-1	-1	-1
CO ₂	-1	0,2	-1	0,2	-1	1,6
LOI	1,26	0,78	6,53	1,28	1,73	3,85
Sn	1	1	1	4	-1	1
Ta	7	2,5	1,5	10,5	3	1,5
Th	12	4	9	23	10	11
U	3,5	0,5	2,5	31	3	3
W	148	49	19	97	70	31
Zn	30	95	75	35	75	85
La	30	32,5	26,5	16,5	38	30,5
Ce	55	67	50	36,5	70,5	59,5
Pr	6	8,1	5,6	3,8	8,2	6,9
Nd	21,5	32	20,5	13,5	30,5	28
Gd	3,2	5,4	3,2	3,4	4,3	4,6
Tb	0,5	0,7	0,5	0,7	0,5	0,6
Dy	2,8	3,3	2,7	4,5	2,6	3,1
Ho	0,6	0,7	0,5	0,9	0,4	0,6
Sm	3,5	5,5	3,4	2,9	4,8	4,4
Eu	0,6	1,5	0,8	-1	1,2	1,2
Er	1,3	1,7	1,3	2,8	1	1,6
Lu	0,2	0,2	0,2	0,6	0,1	0,3
Tm	0,1	0,2	0,1	0,5	0,1	0,2
Yb	1,6	1,8	1,4	3,5	0,8	1,4
Co	23	26	9	6,5	13,5	20,5
Cs	3,4	0,7	8,2	43,7	3,5	1,8
Ga	15	20	16	22	22	19
Hf	4	5	4	5	5	4
Nb	13	10	11	59	14	12
Pb	15	25	25	40	20	20
Y	16	19,5	15,5	32	12,5	18,5

Grupo o Formación	Gpo. Barroso					
Muestra	HUSO07	HUSO16	HUSO31B	HUSO33A	HUSO54A	HUSO57A
Cuadrángulo	Huaitire	Huaitire	Huaitire	Huaitire	Huaitire	Huaitire
Coordenadas	8125550/350740	8126553/351895	8140591/353332	8141400/354256	8133380/353217	8134095/342089
Tipo de roca	Lavas	Lavas	Lavas	Lavas	Lavas	Lavas
SiO ₂	59,26	59,71	54,11	56,68	60,86	54,15
TiO ₂	0,91	0,9	1,11	0,93	0,68	1,35
Al ₂ O ₃	16,04	16,21	17,16	16,32	16,68	16,4
Fe ₂ O ₃	6,21	5,95	7,69	7,33	5,53	7,98
FeO	2,34	2,61	3,89	3,88	1,56	4,01
MnO	0,1	0,08	0,1	0,11	0,1	0,11
MgO	3,04	2,61	4,28	4,18	2,03	4,11
CaO	5,58	5,19	7,2	6,63	5	7,02
Na ₂ O	3,91	4,15	3,56	3,84	3,83	3,56
K ₂ O	3,1	2,92	2,21	2,14	2,61	2,12
P ₂ O ₅	0,29	0,29	0,27	0,24	0,19	0,44
H ₂ O	0,11	0,21	0,96	0,2	0,44	1,01
Rb	68,4	68,6	40,8	48,2	79,8	45,8
Ba	924	1095	820	804	782	1050
Sr	741	841	818	771	529	1055
V	130	125	195	175	115	130
Ni	20	20	35	40	10	35
Zr	184	206	163	125,5	139	179
Cu	45	65	50	75	55	55
Ag	-1	-1	-1	-1	-1	-1
CO ₂	-1	-1	-1	-1	-1	-1
LOI	0,31	0,34	0,75	0,25	1,41	1,69
Sn	-1	1	-1	33	5	11
Ta	2	1,5	1,5	1,5	1	1
Th	5	5	3	4	6	3
U	1	0,5	0,5	0,5	1,5	0,5
W	41	28	27	32	19	21
Zn	75	80	90	80	70	90
La	30	34,5	27,5	24,5	23,5	36
Ce	60	68,5	53	49	44	74,5
Pr	6,9	8	6,5	6	5,2	9,5
Nd	27,5	31	25,5	24,5	21	37,5
Gd	4	4,5	4,1	4,3	3,1	6
Tb	0,5	0,6	0,5	0,6	0,5	0,7
Dy	2,4	2,5	2,5	2,6	2	3,5
Ho	0,4	0,4	0,4	0,5	0,5	0,6
Sm	4,4	5,2	5	4,6	3,2	6,2
Eu	1,2	1,3	1,4	1,5	1	1,9
Er	1,2	1,2	1,1	1,5	1,3	1,3
Lu	0,1	0,1	0,1	0,1	0,2	0,1
Tm	0,1	0,1	0,1	0,1	0,1	0,1
Yb	0,9	0,9	1	1,1	1,1	0,9
Co	24	19,5	31,5	30,5	23	24
Cs	1,7	1,5	0,9	0,9	1,5	1,5
Ga	20	22	21	21	18	23
Hf	5	5	4	4	4	4
Nb	8	9	7	7	7	9
Pb	95	20	20	15	20	10
Y	12,5	13	13	14	14,5	15,5

Grupo o Formación	Gpo. Barroso					
Muestra	HUSO72	HUSE213	HUNO243	HUNE255	HUNE248	HUSO70
Cuadrángulo	Huaitire	Huaitire	Huaitire	Huaitire	Huaitire	Huaitire
Coordenadas	8129500/351500	8141000/371000	8174500/359000	8152000/369800	8172550/392100	8134650/363300
Tipo de roca	Lavas	Lavas	Lavas	Lavas	Toba	Lavas
SiO[2]	60,37	58,57	74,34	55,82	61,8	58,34
TiO[2]	0,77	0,73	0,19	0,99	0,72	0,71
Al[2]O[3]	16,91	15,2	13,02	15,87	15,75	17,29
Fe[2]O[3]	5,67	6,24	1,11	8,81	4,37	6,42
FeO	1,15	2,43	0,03	3,89	2,24	3,72
MnO	0,08	0,1	0,03	0,5	0,07	0,12
MgO	1,73	3,85	0,05	2,12	1,97	2,29
CaO	4,79	6,23	0,64	5,08	3,91	5,49
Na[2]O	4,12	3,15	3,48	3,7	3,27	4,35
K[2]O	2,72	3,14	5,11	2,73	4,69	2,56
P[2]O[5]	0,24	0,22	0,03	0,3	0,25	0,29
H[2]O	0,37	0,43	0,34	0,44	1,94	0,46
Rb	71,8	110,5	151,5	70,8	148	83,4
Ba	1025	7111	1000	928	1210	1320
Sr	806	558	101	646	658	949
V	100	150	5	160	65	110
Ni	10	25	-1	10	5	-1
Zr	157	143	70,5	163	237	168,5
Cu	45	40	-1	25	5	25
Ag	-1	-1	-1	-1	-1	-1
CO[2]	-1	-1	-1	1,2	-1	-1
LOI	1,12	1,22	0,68	2,64	1,75	0,78
Sn	5	-1	-1	6	-1	12
Ta	1	1	3	1	2,5	6
Th	6	12	12	6	15	6
U	1,5	4	2,5	1,5	4	2
W	19	21	50	19	53	116
Zn	75	60	30	90	55	90
La	34,5	29	28	31,5	52	36,5
Ce	68,5	57	52,5	64	98	72
Pr	7,6	6,4	5,4	7,6	10,2	8,7
Nd	30	25	19	29,5	39	35,5
Gd	4,1	3,3	2,9	5,2	4,7	5,5
Tb	0,5	0,5	0,4	0,7	0,6	0,8
Dy	2,9	3	2,4	3,9	2,7	4,4
Ho	0,4	0,5	0,4	0,6	0,5	0,9
Sm	5,1	4	3,2	5,9	5,9	6,3
Eu	1,2	1	0,5	1,5	1,3	1,5
Er	1,3	1,5	1,5	2	1	2,4
Lu	0,1	0,2	0,3	0,2	0,1	0,3
Tm	0,1	0,1	0,2	0,3	0,1	0,3
Yb	1	1,5	1,6	1,6	1	2,2
Co	23,5	24,5	6,5	42,5	11,5	24,5
Cs	1	4,3	13,4	1,9	3,1	3,3
Ga	22	17	14	21	23	29
Hf	5	4	4	5	9	7
Nb	8	9	11	9	11	13
Pb	15	15	20	20	15	15
Y	14,5	18	14,5	19	13,5	25

Grupo o Formación	Gpo. Barroso					
Muestra	230B	HUNE247B	MA020800	MA030800	MA030900	MA080900
Cuadrángulo	Huaitire	Huaitire	Mazo Cruz	Mazo Cruz	Mazo Cruz	Mazo Cruz
Coordenadas	8151900/382900	8172350/392100	8131968/421189	8131968/421158	8144250/421800	8153050/408750
Tipo de roca	Lavas	Lavas	Lavas	Lavas	Lavas	Lavas
SiO ₂	70,55	61,45	61,78	62,59	63,09	62,21
TiO ₂	0,29	0,93	0,63	0,63	0,59	0,75
Al ₂ O ₃	14,93	16,23	15,5	15,83	15,12	15,03
Fe ₂ O ₃	1,82	5,33	4,72	4,55	4,3	4,69
FeO	0,33	1,63	2,6	2,39	1,93	1,52
MnO	0,04	0,07	0,07	0,08	0,08	0,07
MgO	0,14	2,13	2,59	1,57	1,73	2,04
CaO	1,34	4,38	4,35	3,84	3,82	3,97
Na ₂ O	4,09	3,61	3,25	3,53	3,19	3,52
K ₂ O	4,76	3,4	4,22	4,19	4,33	4,38
Al ₂ O ₅	0,08	0,34	0,18	0,28	0,17	0,28
H ₂ O	0,25	0,3	1,33	1,27	1,16	0,33
Rb	196	129	124,5	129,5	194	174
Ba	1160	1285	1250	1230	855	1165
Sr	310	855	645	765	487	789
V	15	120	105	80	85	95
Ni	-1	15	15	-1	10	15
Zr	236	248	179	205	176	238
Cu	-1	15	30	10	35	35
Ag	-1	-1	-1	-1	-1	-1
CO ₂	-1	-1	-1	-1	-1	-1
LOI	0,65	1,02	1,44	1,23	1,53	1,47
Sn	-1	2	1	3	1	2
Ta	2	1,5	3,5	4	5,5	2
Th	23	13	11	10	21	16
U	9	3	3	5,5	12,5	5,5
W	24	25	73	70	96	30
Zn	100	85	80	75	60	75
La	46	58	42	46	37	49,5
Ce	85	107	74,5	88,5	70,5	98,5
Pr	8,9	12,2	8,3	9,5	7,8	11,3
Nd	30	46,5	31,5	36,5	29	41,5
Gd	3,6	5,5	3,6	4,7	4,1	5,4
Tb	0,5	0,7	0,5	0,6	0,6	0,7
Dy	2,6	3,6	2,5	3,5	3,5	3,8
Ho	0,5	0,6	0,4	0,5	0,6	0,7
Sm	4,8	6,8	4,9	5,3	4,9	6,4
Eu	0,9	1,5	1,2	1,3	1,1	1,4
Er	1,4	1,4	1,2	1,3	1,7	1,5
Lu	0,2	0,2	0,1	0,1	0,3	0,3
Tm	0,2	0,2	0,1	0,1	0,2	0,3
Yb	1,4	1,5	1	1,6	2,2	1,8
Co	11,5	20	23	15	17,5	15,5
Cs	7,7	2,8	2,6	3,9	14,3	5,4
Ga	18	23	24	21	19	22
Hf	6	7	6	10	14	10
Nb	14	11	8	16	18	16
Pb	35	20	20	15	20	15
Y	15	18	12,5	15,5	18,5	19

Grupo o Formación	Gpo. Barroso				
Muestra	MA600800	98AP075/621			
Cuadrángulo	Mazo Cruz	Huaitire			
Coordenadas	8126850/418050	8107199/352691			
Tipo de roca	Lavas	Lavas			
SiO ₂	66,02	60,33			
TiO ₂	0,42	0,93			
Al ₂ O ₃	14,64	15,96			
Fe ₂ O ₃	3,02	5,97			
FeO	1,47	1,81			
MnO	0,06	0,08			
MgO	1,01	2,45			
CaO	2,42	4,67			
Na ₂ O	3,13	3,91			
K ₂ O	5,23	3,12			
P ₂ O ₅	0,14	0,28			
H ₂ O	2,53	0,33			
Rb	342	72,2			
Ba	935	1025			
Sr	342	727			
V	55	135			
Ni	5	20			
Zr	236	162,5			
Cu	50	45			
Ag	-1	-1			
CO ₂	0,2	-1			
LOI	2,6	0,7			
Sn	2	-1			
Ta	3	1			
Th	33	8			
U	11,5	1,5			
W	42	27			
Zn	70	75			
La	55	34			
Ce	100	64,5			
Pr	9,8	8,3			
Nd	33	31,5			
Gd	3,9	4,6			
Tb	0,5	0,6			
Dy	2,5	2,7			
Ho	0,4	0,6			
Sm	4,8	5,6			
Eu	0,9	1,4			
Er	1,2	1,4			
Lu	0,1	0,1			
Tm	0,1	0,1			
Yb	1,2	1,3			
Co	11,5	21,5			
Cs	10,6	4,1			
Ga	21	20			
Hf	16	5			
Nb	21	8			
Pb	30	5			
Y	12,5				

ANEXO III

Otras Dataciones realizadas por diferentes Autores

Cod.	Departamento	Hoja de Catastro	Latitud	Longitud	Método de Detección	Mineral o Material Detallado	Unidad Formación	Tipo de Roca	Edad	Márgen de Error	Referencia	Autor por Referencia
1	Arequipa	Atico 33-0	16° 09' 30" S	73° 48' 00" O	K-Ar	Feldespato Potásico	Complejo Atico - Camaná	Granito	177	-	Age determinations from Andean Peru a Reconnaissance Survey.	Steward J.W., Everden J.F. y Snelling N.J.; Geological Society of American bull vol 85 pag. 1107 - 1116 July 1974.
2	Arequipa	Atico 33-0	16° 20' 00" S	74° 00' 00" O	Rb - Sr	Biotita	Complejo Atico - Camaná	Granito rojo	341	± 8	Reconnaissance geochronology of the crystalline basamente rocks of the coastal cordillera of the southern Peru.	Cobbing, Ozard y Snelling; Geological society of american bull. Vol 88 N° 2 1977 pag 241 - 246.
3	Arequipa	Atico 33-0	16° 13' 30" S	73° 37' 00" O	K-Ar	Biotita	Complejo Atico - Camaná	Granito rosado	395	-	Age determinations from Andean Peru a Reconnaissance Survey.	Steward J.W., Everden J.F. y Snelling N.J.; Geological Society of American bull vol 85 pag. 1107 - 1116 July 1974.
4	Arequipa	Atico 33-0	16° 30' 30" S	73° 37' 00" O	K-Ar	Muscovita	Complejo Atico - Camaná	Pegmatita	162	-	Age determinations from Andean Peru a Reconnaissance Survey.	Steward J.W., Everden J.F. y Snelling N.J.; Geological Society of American bull vol 85 pag. 1107 - 1116 July 1974.
5	Arequipa	Atico 33-0	16° 00' 00" S	74° 00' 00" O	Rb - Sr	Muscovita	Complejo Atico - Camaná	Granito	374	± 13	Reconnaissance geochronology of the crystalline basamente rocks of the coastal cordillera of the southern Peru.	Cobbing, Ozard y Snelling; Geological society of american bull+. Vol 88 N° 2 1977 pag 241 - 246.
6	Arequipa	Atico 33-0	16° 00' 00" S	74° 00' 00" O	K-Ar	Muscovita	Complejo Atico - Camaná	Granito	339	± 5,0	Reconnaissance geochronology of the crystalline basamente rocks of the coastal cordillera of the southern Peru.	Cobbing, Ozard y Snelling; Geological society of american bull+. Vol 88 N° 2 1977 pag 241 - 246.
8	Arequipa	Ocoña 33-p	16° 29' 51" S	73° 11' 18" O	K - Ar	Biotita	Complejo Basal de la Costa	Esquistito Estaurolítico	209	± 5	Age determinations from Andean Peru a Reconnaissance Survey.	Steward J.W., Everden J.F. y Snelling N.J.; Geological Society of American bull vol 85 pag. 1107 - 1116 July 1974.
9	Arequipa	Ocoña 33-p	16° 29' 51" S	73° 11' 18" O	K - Ar	Muscovita	Complejo Basal de la Costa	Esquistito Estaurolítico	210	± 5	Age determinations from Andean Peru a Reconnaissance Survey.	Steward J.W., Everden J.F. y Snelling N.J.; Geological Society of American bull vol 85 pag. 1107 - 1116 July 1974.
10	Arequipa	Ocoña 33-p	16° 16' 00" S	73° 11' 00" O	K - Ar	Biotita	Complejo Basal de la Costa	Diorita cuarcífera	204	-	Age determinations from Andean Peru a Reconnaissance Survey.	Steward J.W., Everden J.F. y Snelling N.J.; Geological Society of American bull vol 85 pag. 1107 - 1116 July 1974.
11	Arequipa	Ocoña 33-p	16° 15' 00" S	73° 08' 30" O	Rb - Sr	Roca total, Biotita + amphibolita	Complejo Basal de la Costa	Gneis Tonalítico	636	± 83	Reconnaissance geochronology of the crystalline basamente rocks of the coastal cordillera of the southern Peru.	Guillermo Morales Samano Congreso Peruano Geológico IX 1997 pag. 365 a 369.
12	Arequipa	Ocoña 33-p	16° 18' 50" S	73° 07' 00" O	Rb - Sr	Roca total	Complejo Basal de la Costa	Esquistito Biotita	1 340	-	Reconnaissance geochronology of the crystalline basamente rocks of the coastal cordillera of the southern Peru.	Guillermo Morales Samano Congreso Peruano Geológico IX 1997 pag. 365 a 369.
13	Arequipa	Ocoña 33-p	16° 21' 00" S	73° 06' 30" O	Rb - Sr	Roca total, Biotita + amphibolita	Complejo Basal de la Costa	Gneis Tonalítico	636	± 83	Reconnaissance geochronology of the crystalline basamente rocks of the coastal cordillera of the southern Peru.	Guillermo Morales Samano Congreso Peruano Geológico IX 1997 pag. 365 a 369.
14	Arequipa	Ocoña 33-p	16° 20' 30" S	73° 03' 10" O	Rb - Sr	Roca total	Complejo Basal de la Costa	Granito Rojo + Gneis felsespálico	539	± 90	Reconnaissance geochronology of the crystalline basamente rocks of the coastal cordillera of the southern Peru.	Cobbing, Ozard y Snelling; Geological society of american bull. Vol 88 N° 2 1977 pag 241 - 246.
15	Arequipa	Camará 34-q	16° 34' 00" S	72° 41' 50" O	K - Ar	Biotita	Mazizo Arequipa	Diorita	458	± 8	Nuevos datos geochronológicos y bloques tritigráficos del mactizo antiguo de Arequipa.	Guillermo Morales Samano Congreso Peruano Geológico IX 1997 pag. 365 a 369.
16	Arequipa	Camará 34-q	16° 32' 50" S	72° 41' 50" O	K - Ar	Feldespato Potásico	Complejo Basal de la Costa	Granito rojo	374	± 6	Reconnaissance geochronology of the crystalline basamente rocks of the coastal cordillera of the southern Peru.	Cobbing, Ozard y Snelling; Geological society of american bull. Vol 88 N° 2 1977 pag 241 - 246.

Cod.	Departamento	Hoja de Catastro	Latitud	Longitud	Método de Datación	Mineral o Material Datedo	Unidad-Formación	Tipo de Roca	Edad	Márgen de Error	Referencia	Autor por Referencia
17	Arequipa	Camana 34-q	16° 20' 00" S	74° 00' 00" O	K - Ar	Biotita	Complejo Basal de la Costa	Gneis feldespático rojo	365	± 6	Reconnaissance geochronology of the crystalline basement rocks of the coastal cordillera of the southern Peru.	Cobbing, Ozard y Snelling; geological society of american bull. Vol 88 N° 2 1977 pag 241 - 246.
18	Arequipa	Camana 34-q	16° 34' 00" S	72° 38' 00" O	K - Ar	Biotita		Granito	447	-	Age determinations from Andean Peru a Reconnaissance Survey.	Steward J.W., Evernden J.F. y Snelling N.-J.; Geological Society of American bull Vol 85 pag. 1107 - 1116 July 1974.
19	Arequipa	Camana 34-q	16° 34' 50" S	72° 36' 30" O	Rb - Sr	Biotita	Complejo Basal de la Costa	Granito rojo	224	± 5	Reconnaissance geochronology of the crystalline basement rocks of the coastal cordillera of the southern Peru.	Cobbing, Ozard y Snelling; geological society of american bull. Vol 88 N° 2 1977 pag 241 - 246.
20	Arequipa	Mollendo 34-r	16° 50' 00" S	72° 15' 00" O	K - Ar	Muscovita	Complejo Basal de la Costa	Luecrogenito	445	± 8	Nuevos datos geocronológicos y bioestratigráficos del mazizo antiguo de Arequipa.	Guillermo Morales Serrano Congreso Peruano Geológico IX 1967 pag. 365 a 369.
21	Moquegua	Clemente 35-t	16° 41' 00" S	72° 25' 20" O	K - Ar		Grupo Toquepata	Ignimbrita	59	± 3	Les derniers événements andins marqués par le volcanisme cénozoïque de la cordillère occidentale sud-péruvienne et de son plément pacifique entre 15° 45 et 18° S	Vatin N., Pérignon, Vivier, Sebrier, Forman,Bellon, Lefeuvre, 1976.
22	Arequipa	Mollendo 34-r	16° 42' 30" S	72° 25' 25" O	U-Pb			Granulita	720	± 28	Reconnaissance geochronology of the crystalline basement rocks of the coastal cordillera of the southern Peru.	Cobbing, Ozard y Snelling; geological society of american bull. Vol 88 N° 2 1977 pag 241 - 246.
23	Arequipa	Mollendo 34-r	16° 41' 30" S	72° 25' 10" O	Rb - Sr			Gneis piroxeno	1 811	± 39	Reconnaissance geochronology of the crystalline basement rocks of the coastal cordillera of the southern Peru.	Cobbing, Ozard y Snelling; geological society of american bull. Vol 88 N° 2 1977 pag 241 - 246.
24	Arequipa	Mollendo 34-r	16° 40' 00" S	72° 24' 00" O	Rb - Sr		Complejo Basal de la Costa	Gneis	2 000	-	J. Cobbing comunicación personal Bol. 46 Ingemmet	
25	Arequipa	Characato 33-t	16° 33' 30" S	72° 24' 40" O	K - Ar	Roca total	Volcánico	Andesita	0,078	± 0,35	Geologic and Geochronologic Constraints on the Metatogenetic Evolution of the Andes of Southeastern Peru.	Alan H. Clark, Edward Farmer, Daniel J. Konik, Robert J. Langridge Economic Geology Vol 85 1990 pag. 1520-1533.
26	Arequipa	Mollendo 34-r	16° 59' 20" S	72° 05' 30" O	Rb - Sr	Roca total + Feldespato Potásico	Complejo Basal de la Costa	Gneis Blotítico	783	± 131	Reconnaissance geochronology of the crystalline basement rocks of the coastal cordillera of the southern Peru.	Cobbing, Ozard y Snelling; geological society of american bull. Vol 88 N° 2 1977 pag 241 - 246.
27	Arequipa	Characato 33-t	16° 20' 30" S	72° 02' 50" O	K - Ar	Roca total	Fm. Tacaza	Andesita- Dacita Minera!	15,9	± 0,6	Les derniers événements andins marqués par le volcanisme cénozoïque de la cordillère occidentale sud-péruvienne et de son plément pacifique entre 15° 45 et 18° S	Vatin N., Pérignon, Vivier, Sebrier, Forman,Bellon, Lefeuvre, 1976.
28	Arequipa	Characato 33-t	16° 21' 40" S	72° 02' 30" O	K - Ar	Roca total		Andesita- Dacita Minera!	16,4	± 0,6	Les derniers événements andins marqués par le volcanisme cénozoïque de la cordillère occidentale sud-péruvienne et de son plément pacifique entre 15° 45 et 18° S	Vatin N., Pérignon, Vivier, Sebrier, Forman,Bellon, Lefeuvre, 1976.
29	Arequipa	Arequipa 33-s	16° 27' 00" S	71° 57' 00" O	K-Ar		Grupo Baroso Inferior		2,76	± 0,1	Vatin N., Pérignon, Vivier, Sebrier, Forman,Bellon, Lefeuvre, 1976.	Bonhomme In Vatin-Pérignon et al., 1982.
30	Arequipa	Arequipa 33-s	16° 19' 00" S	71° 42' 00" O	K-Ar		Grupo Baroso Inferior		2,9	± 0,1	Vatin N., Pérignon, Vivier, Sebrier, Forman,Bellon, Lefeuvre, 1976.	Bonhomme In Vatin-Pérignon et al., 1982.
31	Arequipa	Arequipa 33-s	16° 20' 00" S	71° 35' 00" O	K-Ar		Grupo Baroso Inferior		2,32	± 0,21	Sin referencia	Sin referencia

Cod. Departamento	Hoja de Catastro	Latitud	Longitud	Metodo de Datación	Mineral o Material Datedo	Unidad-Formación	Tipo de Roca	Edad	Márgen de Error	Referencia	Autor por Referencia	
32 Arequipa	La Joya 34-s	16° 31' 00" S	71° 46' 00" O	K-Ar	Grupo Barroso inferior			3.05	± 3,4		Taupinard In Laharie and Demau, 1974.	
33 Arequipa	La Joya 34-s	16° 31' 34" S	71° 45' 04" O	U-Pb	Zircón	Complejo Basal Linga Arequipa	Monzodiorita	66,6	—	Zircon U-Pb ages of super-units in the coastal batholith, Peru. En: Pitcher, W.S., et al. (eds.), <i>Magnatism at a plate edge: the Peruvian Andes</i> , John Wiley, New York, p. 203-207.	Mukasa, Tilton, 1985.	
34 Arequipa	La Joya 34-s	16° 30' 43" S	71° 39' 34" O	Rb - Sr	Roca total	Batolito de la Costa Unidad Linga Arequipa	Gabro (diorita potásica), Gneis	68,0	± 3,0		Lebel, Cochieriis, Baubron, Foullac et al., 1985.	
35 Arequipa	La Joya 34-s	16° 31' 40" S	71° 37' 00" O	K - Ar	Feldespato Potásico	Máclizo Arequipa	Gneis	433	± 14	Geocronología del extremo sureste del macizo de Arequipa.	Cordaniv V. G.; Kawashita K.; Siegl G. G.; Vicente J. C., 1985. pág. 45 - 51.	
36 Arequipa	La Joya 34-s	16° 31' 19" S	71° 35' 43" O	K - Ar	Biotita	Batolito de la Costa	Gneis granítico	679	± 12	Age determinations from Andean Peru a Reconnaissance Survey	Steward J.W., Everden J.F. y Snelling N.J.; Geological Society of American bull vol 85 pag. 1107 - 1116 July 1974.	
37 Arequipa	La Joya 34-s	16° 32' 30" S	71° 35' 20" O	U - Pb	Círcón	Batolito de la Costa subunidad Yarabamba - Stock Cerro Verde	Cuarzo monzonita	61,1	—	Zircon U-Pb ages of super-units in the coastal batholith, Peru. En: Pitcher, W.S., et al. (eds.), <i>Magnatism at a plate edge: the Peruvian Andes</i> , John Wiley, New York, p. 203-207.	Mukasa, Tilton, 1985.	
38 Arequipa	La Joya 34-s	16° 30' 30" S	71° 34' 30" O	U - Pb	Círcón	Batolito de la Costa subunidad Tiabaya	Granodiorita	84,0		Zircon U-Pb ages of super-units in the coastal batholith, Peru. En: Pitcher, W.S., et al. (eds.), <i>Magnatism at a plate edge: the Peruvian Andes</i> , John Wiley, New York, p. 203-207.	Mukasa, Tilton, 1985.	
39 Arequipa	Mollendo 34-r	15° 52' 00" S	72° 25' 00" O	K - Ar	Biotita			Granito	189	± 11	Geocronología del extremo sureste del macizo de Arequipa.	Cordaniv V. G.; Kawashita K.; Siegl G. G.; Vicente J. C., 1985. pág. 45 - 51.
40 Arequipa	La Joya 34-s	16° 55' 00" S	71° 48' 00" O	K - Ar	Biotita	Subunidad Ilo plutón pampa de Huayriri	Cuarzo monzonita	189	± 13	Geocronología del extremo sureste del macizo de Arequipa.	Cordaniv V. G.; Kawashita K.; Siegl G. G.; Vicente J. C., 1985. pág. 45 - 51.	
41 Arequipa	Punta de Bombon 35-s	16° 55' 00" S	71° 48' 00" O	Rb - Sr	Roca total	Complejo Basal de la Costa	Gneis granítico	890	—	Geocronología del extremo sureste del macizo de Arequipa.	Cordaniv V. G.; Kawashita K.; Siegl G. G.; Vicente J. C., 1985. pág. 45 - 51.	
Arequipa	Punta de Bombon 35-s	16° 55' 00" S	71° 48' 00" O	Rb - Sr	Roca total	Complejo Basal de la Costa	Gneis granítico con Sillimanita	650	—	Geocronología del extremo sureste del macizo de Arequipa.	Cordaniv V. G.; Kawashita K.; Siegl G. G.; Vicente J. C., 1985. pág. 45 - 51.	
42 Arequipa	Punta de Bombon 35-s	16° 55' 00" S	71° 48' 00" O	Rb - Sr	Roca total		Apilita	220	—	Geocronología del extremo sureste del macizo de Arequipa.	Cordaniv V. G.; Kawashita K.; Siegl G. G.; Vicente J. C., 1985. pág. 45 - 51.	
43 Arequipa	La Joya 34-s	16° 55' 50" S	71° 47' 00" O	Rb - Sr	Roca total	Complejo Basal de la Costa	Gneis con sillimanita	1.910	—	Geocronología del extremo sureste del macizo de Arequipa.	Cordaniv V. G.; Kawashita K.; Siegl G. G.; Vicente J. C., 1985. pág. 45 - 51.	
44 Arequipa	Mollendo 34-r	17° 01' 30" S	71° 58' 30" O	Rb - Sr	Roca total	Complejo Basal de la Costa	Gneis biotítico	2.052	± 45	Reconnaissance geochronology of the crystalline basamente rocks of the coastal cordillera of the southern Peru.	Cobbold, Ozard y Snelling; geological society of american bull. Vol 88 N° 2 1977 pag 241 - 246.	
45 Moquegua	Clemesi 35-t	17° 02' 30" S	71° 57' 37" O	K - Ar	Roca total	Formación Toquipata	Piroclástico	59,0	± 3,0	Notes des Membres et Correspondants Notes Presentées au Transmises par Leurs Soins	Hervé Ballon y Christian Lefevre, 1976	
46 Arequipa	Punta de Bombon 35-s	16° 56' 50" S	71° 47' 00" O	Rb - Sr	Roca total	Complejo Basal de la Costa	Gneis, muscovita, sillimanita	915	—	Geocronología del extremo sureste del macizo de Arequipa.	Cordaniv V. G.; Kawashita K.; Siegl G. G.; Vicente J. C., 1985. pág. 45 - 51.	

Cod.	Departamento	Hoja de Catastro	Latiitud	Longitud	Método de Detección	Mineral o Material Detallado	Unidad-Formación	Tipo de Roca	Edad	Márgen de Error	Referencia	Autor por Referencia
47	Arequipa	Punta de Bombón 35-s	16° 59' 50" S	71° 47' 00" O	Rb - Sr	Roca total	Complejo Basal de la Costa	Gneis granítico con sillimanita	1 390	-	Geochronología del extremo sureste del macizo de Arequipa.	Cordaniv V. G.; Kawashita K.; Sieg G. G.; Vicente J. C., 1985 pag. 45 - 51.
48	Arequipa	Punta de Bombón 35-s	16° 59' 50" S	71° 47' 00" O	Rb - Sr	Roca total	Complejo Basal de la Costa	Gneis granítico con sillimanita	1 630	-	Geochronología del extremo sureste del macizo de Arequipa.	Cordaniv V. G.; Kawashita K.; Sieg G. G.; Vicente J. C., 1985 pag. 45 - 51.
49	Arequipa	Punta de Bombón 35-s	16° 58' 50" S	71° 47' 00" O	Rb - Sr	Roca total	Complejo Basal de la Costa	Gneis granítico	1 680	-	Geochronología del extremo sureste del macizo de Arequipa.	Cordaniv V. G.; Kawashita K.; Sieg G. G.; Vicente J. C., 1985 pag. 45 - 51.
50	Arequipa	Punta de Bombón 35-s	17° 01' 46" S	71° 41' 58" O	K - Ar	Biotita	Complejo Basal subunidad Ilo	Granodiorita	156,4	± 4,6	Geologic and Geochronologic Constraints on the Metallogenic Evolution on the Andes of Southeastern Peru.	Alan H. Clark, Edward Farrar, Daniel J. Kontak, Robert J. Langridge Economic Geology Vol 85 1980 pag. 1520 - 1583.
51	Arequipa	Punta de Bombón 35-s	17° 05' 00" S	71° 45' 00" O	K - Ar	Anfibol		Dique básico	140	± 7	Geochronología del extremo sureste del macizo de Arequipa.	Cordaniv V. G.; Kawashita K.; Sieg G. G.; Vicente J. C., 1985 pag. 45 - 51.
52	Arequipa	Punta de Bombón 35-s	17° 05' 25" S	71° 37' 01" O	K - Ar	Biotita	Fm. Chuntacais	Flujo de cemita biotítica	9,5	± 0,5	K-Ar Geochronology of the late cenozoic Volcanic Rocks of the Cordillera Occidental, Southernmost Peru.	Richard M. Tosdal, Edward Farrar y Alan H. Clark, 1980.
53	Arequipa	Punta de Bombón 35-s	17° 03' 00" S	71° 45' 00" O	K - Ar	Biotita		Adamelta	154	± 9	Geochronología del extremo sureste del macizo de arequipa.	Cordaniv V. G.; Kawashita K.; Sieg G. G.; Vicente J. C., 1985 pag. 45 - 51.
54	Arequipa	Punta de Bombón 35-s	17° 04' 25" S	71° 34' 35" O	K - Ar	Pliroxeno	Batolito de Ilo	Cuarzo	269	± 10	Geochronología del extremo sureste del macizo de Arequipa.	Cordaniv V. G.; Kawashita K.; Sieg G. G.; Vicente J. C., 1985 pag. 45 - 51.
55	Arequipa	Punta de Bombón 35-s	17° 04' 03" S	71° 34' 07" O	Ar -Ar	Biotita, "Ortofa, Horlienda	Intrusivo	Granodiorita	144,88	± 1,101	Geologic and Geochronologic Constraints on the Metallogenic Evolution of the Andes of Southeastern Peru.	Alan H. Clark, Edward Farrar, Daniel J. Kontak y Robert J. Langridge Economic Geology Vol 85 1980 Pag. 1520-1583.
	Arequipa	Punta de Bombón 35-s	17° 04' 03" S	71° 34' 07" O	Ar -Ar	Ortosa	Superunidad Ilo	Monzonita	162,55	± 6,58	Geologic and Geochronologic Constraints on the Metallogenic Evolution of the Andes of Southeastern Peru.	Alan H. Clark, Edward Farrar, Daniel J. Kontak y Robert J. Langridge Economic Geology Vol 85 1980 Pag. 1520-1583.
56	Arequipa	Characato 33-t	16° 06' 20" S	71° 23' 45" O	K - Ar	Freción Vitríosa		Dacita	3,6	± 0,7	Proyecto de Investigación Geotérmica de la República del Perú	Chiade, 1980.
57	Arequipa	Characato 33-t	16° 15' 30" S	71° 28' 30" O	K - Ar	Roca total	Grupo Baroso	Andesita	0,45	± 0,11	Proyecto de Investigación Geotérmica de la República del Perú	Chiade, 1980.
58	Arequipa	Characato 33-t	16° 14' 20" S	71° 18' 25" O	K - Ar	Roca total	Grupo Baroso (Volcánico Chila)	Andesita	4,10	± 0,40	Notes des Membres et Correspondants des Présentées ou Transmises par Leurs Soins	Hervé Bellon y Christian Lefèvre, 1978.
59	Arequipa	Characato 33-t	16° 16' 00" S	71° 04' 00" O	K - Ar	Roca total	Grupo Baroso	Andesita	4,45	± 0,30	Notes des Membres et Correspondants des Présentées ou Transmises par Leurs Soins	Hervé Bellon y Christian Lefèvre, 1978.
60	Arequipa	Characato 33-t	16° 18' 00" S	71° 04' 30" O	K - Ar		Grubo Baroso	Tufo riolítico	4,45	± 0,3		Vatin N., Popean G., Oliver R., 1998.
61	Arequipa	Characato 33-t	16° 23' 20" S	71° 16' 40" O	K - Ar	Roca total	Grubo Baroso (Volcánico Chile)	Andesita	6,71	± 0,57		Kaneoka, I.; Guenara, C., 1984.
62	Arequipa	Characato 33-t	16° 21' 30" S	71° 05' 30" O	K - Ar	Roca total	Grubo Baroso	Andesita	2,8	± 0,1	Proyecto de Investigación Geotérmica de la República del Perú	Chiade, 1980.
63	Arequipa	Puquina 34-t	16° 31' 37" S	71° 25' 15" O	Rb - Sr	Roca total	Batolito de la Costa, Unidad Ilo, Linga y Yanahamha	Diorita	62,0	± 2,0	Magnetism at a plate edge	Beckinsale, Sánchez, Brook, et al., 1985.

Cod	Departamento	Hoja de Catastro	Latitud	Longitud	Método de Datación	Mineral o Material Datedo	Unidad-Eformación	Tipo de Roca	Edad	Márgen de Error	Referencia	Autor por Referencia	
64	Arequipa	Puquina 34-t	16° 33' 37"S	71° 27' 00"O	Rb - Sr	Roca total	Batolito de la Costa, Granodiorita - unidad Yarabamba	87,5	± 16,9	Sin referencia		MCL 10270203065	
65	Moquegua	Puquina 34-t	16° 34' 30"S	71° 25' 30"O	U-Pb	Circón	Intrusivo	Monzodiorita	67,2	—		Common Pb isotopic compositions of the Lima Arequipa and Toquepala segments in the coastal batholith, Peru; implications for magmagenesis	
66	Moquegua	Puquina 34-t	16° 37' 30"S	71° 24' 30"O	U-Pb	Circón	Batolito de la Costa, Diorita porfírica mineral unidad Punta Coles	152	± 4,0		Common Pb isotopic compositions of the Lima Arequipa and Toquepala segments in the coastal batholith, Peru; implications for magmagenesis	Mukasa, 1986.	
67	Moquegua	Puquina 34-t	16° 35' 25"S	71° 02' 45"O	K - Ar	Hornblendita	Complejo metamórfico de Omate	Gneis granítico	554,6	± 10,8	Nuevos datos K-Ar en algunas rocas del Perú		Agapito W. Sánchez, F., 1983 Pág. 193-202.
68	Moquegua	Puquina 34-t	16° 36' 20"S	71° 02' 40"O	K - Ar	Hornblendita	Complejo metamórfico de Omate	Gneis granítico	560,8	± 12,3	Nuevos datos K-Ar en algunas rocas del Perú		Agapito W. Sánchez, F., 1983 Pág. 193-202.
69	Moquegua	Clemesi 35-t	17° 18' 00"S	71° 07' 00"O	K - Ar	Biotita	Formación Chuntacala	Flujo de ceniza biotítica	10,15	± 0,33	Estudio Radiométrico K-Ar de rocas volcánicas del Oligoceno Y Mioceno del área de Toquepala, Quellaveco, Cujajone. Ph. D. (Thesis Department of Geology, Queen's University).		Richard Tosdal, 1978.
70	Moquegua	Clemesi 35-t	17° 18' 36"S	71° 07' 37"O	K-Ar	Biotita	Formación Chuntacala	Flujo de ceniza biotítica	10,2	± 0,3	K-Ar Geochronology of the late cenozoic Volcanic Rocks of the Cordillera Occidental, Southernmost Peru		Richard M. Tosdal, Edward Farrar y Alan H. Clark, 1980.
71	Moquegua	Clemesi 35-t	17° 24' 00"S	71° 04' 00"O	K-Ar		Grupo Barroso Inferior		4,45	± 0,3	Tectonics and uplift in Central Andes (Peru, Bolivia and North of Chile), from Eocene to Present, Geodynamique, 3, 85-106		Feraud In Sébrier et al., 1988.
72	Moquegua	Clemesi 35-t	17° 24' 00"S	71° 03' 00"O	K - Ar	Biotita			8,94	± 0,61	Estudio Radiométrico K-Ar de rocas volcánicas del Oligoceno y Mioceno del área de Toquepala, Quellaveco, Cujajone. Ph. D. (Thesis Department of Geology, Queen's University).		Richard Tosdal, 1978.
73	Moquegua	Moquegua 35-u	17° 24' 42"S	71° 02' 47"O	K-Ar	Biotita	Formación Chuntacala	Flujo de ceniza biotítica	8,9	± 0,6	K-Ar Geochronology of the late cenozoic Volcanic Rocks of the Cordillera Occidental, Southernmost Peru		Richard M. Tosdal, Edward Farrar y Alan H. Clark, 1980.
74	Moquegua	Omate 34-u	17° 27' 30"S	70° 67' 30"O	K - Ar	Roca total	Grupo Barroso	Dacita	0,19	± 0,06	Proyecto de Investigación de la República del Perú		Olaide, 1980.
75	Moquegua	Ilo 36-t	17° 31' 30"S	71° 21' 40"O	Ar-Ar	Hornblendita	Intrusivo	Diorita	159,32	± 4,78	Geologic and Geochronologic Constraints on the Metallogenic Evolution of the Andes of Southeastern Peru:		Alan H. Clark, Edward Farrar, Daniel J. Kontack y Robert J. Langridge Economic Geology Vol 85 1990 Pag. 1520-1583.
76	Moquegua	Ilo 36-t	17° 31' 30"S	71° 21' 39"O	K - Ar	Roca total	Intrusivo	Diorita	123	± 1,30	Paleomagnetism of Mesozoic rocks from the central Andes of southern Peru: Importance of rotations in the development of the Bolivian Orocline		Roperch y Carlier, 1992.
77	Moquegua	Ilo 36-t	17° 34' 18"S	71° 21' 25"O	K - Ar	Biotita	Intrusivos	Diorita	157,6	± 4,7	Geologic and Geochronologic Constraint on the Metallogenic Evolution on the Andes of Southeastern Peru		Alan H. Clark, Edward Farrar, Daniel J. Kontak, Robert J. Langridge Economic Geology Vol 85 1990 pag. 1520 -1583.
	Moquegua	Ilo 36-t	17° 34' 01"S	71° 21' 25"O	Ar -Ar	Hornblendita	Intrusivos	Gabro	182,0	± 4,1	Edades K-Ar en rocas Intrusivas del Área de Ilo Dpto de Moquegua		Agapito W. Sánchez F., 1983 Pág. 183-191.

Cod.	Departamento	Hoja de Catastro	Latitud	Longitud	Método de Datedación	Mineral o Material Datedado	Unidad-Formación	Tipo de Roca	Edad	Márgen de Error	Referencia	Autor por Referencia
	Moquegua	Ilo 36-t	17° 34' 01" S	71° 21' 28" O	K - Ar	Biotita	Superunidad Ilo	Diorita	154,8	± 4,8	A K-Ar study of the cordillera real, bolivia and its regional setting Ph.d	Mc Bride, 1977.
	Moquegua	Ilo 36-t	17° 34' 01" S	71° 21' 25" O	K - Ar	Hornblenda	Superunidad Ilo	Gabro	182,0	± 4,1	Sin referencia	Sin referencia
78	Moquegua	Ilo 36-t	17° 35' 00" S	71° 07' 00" O	K - Ar	Biotita	Superunidad Ilo	Tonalita	105,6	± 2,3	Edades K-Ar en rocas Intrusivas del Área de Ilo Dpto de Moquegua	Agapito W. Sánchez F., 1983 Pág. 183-191.
79	Moquegua	Ilo 36-t	17° 34' 58,8" S	71° 03' 00" O	K - Ar	Biotita	Superunidad Ilo	Granodiorita	147,8	± 4,90		Mc Bride, 1977.
80	Moquegua	Ilo 36-t	17° 36' 28" S	71° 16' 31" O	Ar -Ar	Hornblenda	Superunidad Ilo	Granodiorita-tonalita	97,39	± 9,86	Geologic and Geochronologic Constraints on the Metallogenic Evolution of the Andes of Southeastern Peru.	Alan H. Clark, Edward Farrar, Daniel J. Kontack y Robert J. Langridge Economic Geology Vol 85, 1990 Pag. 1520-1583.
81	Moquegua	Ilo 36-t	17° 37' 04" S	71° 15' 43" O	Ar -Ar	Biotita	Superunidad Ilo	Granodiorita-tonalita	104,04	± 4,74	Geologic and Geochronologic Constraints on the Metallogenic Evolution of the Andes of Southeastern Peru.	Alan H. Clark, Edward Farrar, Daniel J. Kontack y Robert J. Langridge Economic Geology Vol 85, 1990 Pag. 1520-1583.
	Moquegua	Ilo 36-t	17° 37' 05" S	71° 15' 44" O	K - Ar	Biotita	Superunidad Ilo	Tonalita	97,0	± 2,3	Edades K-Ar en rocas Intrusivas del Área de Ilo Dpto de Moquegua	Agapito W. Sánchez F., 1983 Pág. 183-191.
82	Moquegua	Ilo 36-t	17° 37' 20" S	71° 15' 30" O	K - Ar	Hornblenda	Superunidad Ilo	Tonalita	100,5	± 2,3	Edades K-Ar en rocas Intrusivas del Área de Ilo Dpto de Moquegua	Agapito W. Sánchez F., 1983 Pág. 183-191.
83	Moquegua	Ilo 36-t	17° 36' 00" S	71° 12' 00" O	K - Ar	Biotita			14,19	± 0,44	Estudio Radiométrico K-Ar de rocas volcánicas del Oligoceno Y Mioceno del área de Toquepala, Quillaveco, Cusco, Ph. D. (Thesis Department of Geology, Queen's University).	Richard Torsdal, 1978.
84	Moquegua	Ilo 36-t	17° 36' 38" S	71° 12' 25" O	K - Ar	Biotita	Formación Chuntacala	Flujo de ceniza biotítica	14,2	± 0,4	K-Ar Geochronology of the late cenozoic Volcanic Rocks of the Cordillera Occidental, Southernmost Peru	Richard M. Torsdal, Edward Farrar y Alan H. Clark, 1980.
85	Moquegua	Ilo 36-t	17° 37' 00" S	71° 12' 00" O	K - Ar	Biotita	Superunidad Ilo	Dique ácido	99,4	± 2,2	Edades K-Ar en rocas Intrusivas del Área de Ilo Dpto de Moquegua	Agapito W. Sánchez F., 1983 Pág. 183-191.
86	Moquegua	Ilo 36-t	17° 37' 00" S	71° 11' 00" O	K - Ar	Biotita	Superunidad Ilo	Granodiorita	93,8	± 2,9		Mc Bride, 1977.
87	Moquegua	Ilo 36-t	17° 37' 18" S	71° 10' 57" O	K - Ar	Biotita	Superunidad Ilo	Granodiorita tonalita	96,1	± 2,9	Geologic and Geochronologic Constraints on the Metallogenic Evolution of the Andes of Southeastern Peru.	Alan H. Clark, Edward Farrar, Daniel J. Kontack y Robert J. Langridge Economic Geology Vol 85 1990 Pag. 1520-1583.
88	Moquegua	Ilo 36-t	17° 36' 00" S	71° 08' 00" O	K - Ar	Biotita	Superunidad Ilo	Tonalita	99,9	± 2,2	Edades K-Ar en rocas Intrusivas del Área de Ilo Dpto de Moquegua	Agapito W. Sánchez F., 1983 Pág. 183-191.
89	Moquegua	Ilo 36-t	17° 37' 58" S	71° 20' 13" O	K - Ar	Hornblenda	Superunidad Ilo	Gabro diorítico	195,8	± 4,2	Edades K-Ar en rocas Intrusivas del Área de Ilo Dpto de Moquegua	Agapito W. Sánchez F., 1983 Pág. 183-191.
90	Moquegua	Ilo 36-t	17° 39' 00" S	71° 20' 30" O	K - Ar	Biotita, hornblendita		Tonalita	103,37	± 2,12	Migmatism at a plate edge	Beckinsale et al., 1985.
91	Moquegua	Ilo 36-t	17° 40' 30" S	71° 21' 00" O	Sr -Rb	Roca total	Superunidad Punta Coles	Diorita	190		Migmatism at a plate edge	Beckinsale, Sánchez, Brook, et al., 1985.
92	Moquegua	Ilo 36-t	17° 39' 30" S	71° 20' 00" O	Rb - Sr	Roca total	Superunidad Ilo	Tonalita	112,0	± 3,2	Migmatism at a plate edge	Beckinsale, Sánchez, Brook, et al., 1985.

Cod.	Departamento	Hoja de Catastro	Latitud	Longitud	Método de Datación	Mineral o Material Datable	Unidad-Formación	Tipo de Roca	Edad	Márgen de Error	Referencia	Autor por Referencia	
93	Moquegua	Ilo 36-t	17° 40' 01" S	71° 16' 59" O	K - Ar	Biotita	Superunidad Ilo	Granodiorita tonalita	101	± 3,0	A K-Ar study of the cordillera real, bolivia and its regional setting Ph.d	Mc Bride, 1977.	
94	Moquegua	Ilo 36-t	17° 40' 43" S	71° 17' 19" O	K - Ar	Hornblendita	Superunidad Ilo	Granodiorita tonalita	105,6	± 3,2	Geologic and Geochronologic Constraints on the Metallogenic Evolution of the Andes of Southeastern Peru.	Alan H. Clark, Edward Farrar, Daniel J. Kontack y Robert J. Langridge Economic Geology, Vol 85 1990 Pág. 1520-1533.	
95	Moquegua	Ilo 36-t	17° 41' 06" S	71° 16' 58" O	K - Ar	Hornblendita	Superunidad Ilo	Tonalita	99,2	± 2,2	Edades K-Ar en rocas Intrusivas del Área de Ilo Dpto de Moquegua	Agapito W. Sánchez F., 1983 Pág. 183-191.	
	Moquegua	Ilo 36-t	17° 41' 06" S	71° 16' 59" O	K - Ar	Biotita	Superunidad Ilo	Tonalita	103,7	± 2,3	Edades K-Ar en rocas Intrusivas del Área de Ilo Dpto de Moquegua	Agapito W. Sánchez F., 1983 Pág. 183-191.	
	Moquegua	Ilo 36-t	17° 40' 58" S	71° 16' 52" O	K - Ar	Biotita	Superunidad Ilo	Tonalita	109,4	± 2,4	Edades K-Ar en rocas Intrusivas del Área de Ilo Dpto de Moquegua	Agapito W. Sánchez F., 1983 Pág. 183-191.	
96	Moquegua	Ilo 36-t	17° 40' 59" S	71° 16' 51" O	K - Ar	Hornblendita	Superunidad Ilo	Tonalita	113,0	± 2,5	Edades K-Ar en rocas Intrusivas del Área de Ilo Dpto de Moquegua	Agapito W. Sánchez F., 1983 Pág. 183-191.	
97	Moquegua	Ichufa 33-u	16° 03' 00" S	70° 57' 00" O	K - Ar	Roca total		Grupo Barroso		± 0,2	Les derniers événements andins marqués par le volcanisme cénozoïque de la cordillère occidentale sud-péruvienne et de son piedmont pacifique entre 15°45 et 18°.	Vatin, Formen, Perignon, Sabirir, 1982.	
98	Moquegua	Ichufa 33-u	16° 05' 00" S	70° 58' 00" O	K - Ar	Roca total		Vulcánico Chila	Andesita	2,35	–	Sin referencia	CTP003
99	Moquegua	Ichufa 33-u	16° 12' 00" S	70° 52' 00" O	K - Ar	Roca total		Grupo Tacaza	Andesita	16,10	± 0,30	Notes des Membres et Correspondants Notes Presentées ou Transmises par Leurs Soins	Hervê Bellon y Christian Lefèvre, 1976.
100	Moquegua	Omate 34-u	16° 37' 10" S	70° 55' 20" O	K - Ar	Biotita		Complejo metamórfico de Omate	Gneis granítico	445,9	± 9,0	Nuevos datos K-Ar en algunas rocas del Perú	Agapito W. Sánchez, F., 1983 Pág. 193-202.
101	Moquegua	Omate 34-u	16° 56' 20" S	70° 38' 10" O	K - Ar	Biotita		Grupo Barroso	Toba	6,5	± 0,3	Sin referencia	7CTM036
102	Moquegua	Moquegua 35-u	16° 57' 30" S	70° 37' 55" O	K - Ar	Roca total		Grupo Tacaza	Andesita	19,50	± 1,30	Notes des Membres et Correspondants Notes Presentées ou Transmises par Leurs Soins	Hervê Bellon y Christian Lefèvre, 1976.
103	Moquegua	Omate 34-u	16° 59' 08" S	70° 35' 20" O	K - Ar	Biotita	Formación Seneca	Flujo de ceniza homblenda y biotita	6,5	± 0,3	K-Ar Geochronology of the late cenozoic Volcanic Rocks of the Cordillera Occidental, Southemmost Peru	Richard M. Torsdal, Edward Farrar y Alan H. Clark, 1980.	
104	Moquegua	Omate 34-u	16° 57' 24" S	70° 33' 10" O	K - Ar	Roca total	Formación Capilune	Andesita	3,3	± 0,1	K-Ar Geochronology of the late cenozoic Volcanic Rocks of the Cordillera Occidental, Southemmost Peru	Richard M. Torsdal, Edward Farrar y Alan H. Clark, 1980.	
	Moquegua	Omate 34-u	16° 57' 24" S	70° 33' 10" O	K - Ar	Plagioclasa	Formación Capilune	Andesita	7,0	± 0,4	K-Ar Geochronology of the late cenozoic Volcanic Rocks of the Cordillera Occidental, Southemmost Peru	Richard M. Torsdal, Edward Farrar y Alan H. Clark, 1980.	
105	Moquegua	Omate 34-u	16° 58' 09" S	70° 31' 49" O	K - Ar	Plagioclasa	Grupo Barroso	Andesita	5,3	± 0,3	K-Ar Geochronology of the late cenozoic Volcanic Rocks of the Cordillera Occidental, Southemmost Peru	Richard M. Torsdal, Edward Farrar, Daniel J. Kontack y Robert J. Langridge Economic Geology Vol 85 1990 Pág. 1520-1533.	
106	Moquegua	Moquegua 35-u	17° 01' 38" S	70° 42' 25" O	K - Ar	Muscovita		Portfido de cuarzo latita		± 1,6	Geologic and Geochronologic Constraints on the Metallogenic Evolution of the Andes of Southeastern Peru.	Alan H. Clark, Edward Farrar, Daniel J. Kontack y Robert J. Langridge Economic Geology Vol 85 1990 Pág. 1520-1533.	

Cod.	Departamento	Hoja de Catastro	Latitud	Longitud	Método de Distracción	Mineral o Material Distrado	Unidad-Formación	Tipo de Roca	Edad	Márgen de Error	Referencia	Autor por Referencia
107	Moquegua	Moquegua 35-u	17° 02' 00" S	70° 42' 00" O	K - Ar	Biotita			13,10	± 0,42	Estudio Radiométrico K-Ar de rocas volcánicas del Oligoceno Y Mioceno del área de Toquepala, Quillaveco, Cujajone. Ph. D. (Thesis Department of Geology, Queen's University).	Richard Tosdal, 1978.
108	Moquegua	Moquegua 35-u	17° 02' 00" S	70° 41' 00" O	K - Ar	Biotita			17,63	± 0,58	Estudio Radiométrico K-Ar de rocas volcánicas del Oligoceno Y Mioceno del área de Toquepala, Quillaveco, Cujajone. Ph. D. (Thesis Department of Geology, Queen's University).	Richard Tosdal, 1978.
109	Moquegua	Moquegua 35-u	17° 02' 22" S	70° 41' 14" O	K - Ar	Biotita	Formación Huayllillas	Flujo de ceniza biotítica	17,8	± 0,6	K-Ar Geochronology of the late cenozoic Volcanic Rocks of the Cordillera Occidental, Southemmost Peru	Richard M. Tosdal, Edward Farmer y Alan H. Clark, 1980.
110	Moquegua	Moquegua 35-u	17° 02' 25" S	70° 39' 55" O	K - Ar	Roca total	Grupo Toquepala	Toba riolítica	59,3	± 2,0	Les derniers événements andins marqués par le volcanisme cénozoïque de la cordillère occidentale sud-péruvienne et son piedmont pacifique entre 15°45 et 18°.	Vatin, Fornen, Perignon, Sebrier, 1982.
111	Moquegua	Moquegua 35-u	17° 06' 00" S	70° 51' 00" O	K - Ar	Biotita			25,29	± 0,80	Estudio Radiométrico K-Ar de rocas volcánicas del Oligoceno Y Mioceno del área de Toquepala, Quillaveco, Cujajone. Ph. D. (Thesis Department of Geology, Queen's University).	Richard Tosdal, 1978.
112	Moquegua	Moquegua 35-u	17° 06' 20" S	70° 51' 34" O	K - Ar	Biotita	Formación Moquegua superior	Flujo de ceniza biotítica	25,3	± 0,8	K-Ar Geochronology of the late cenozoic Volcanic Rocks of the Cordillera Occidental, Southemmost Peru	Richard M. Tosdal, Edward Farmer y Alan H. Clark, 1980.
113	Moquegua	Moquegua 35-u	17° 05' 00" S	70° 44' 00" O	K - Ar	Biotita			22,83	± 0,70	Estudio Radiométrico K-Ar de rocas volcánicas del Oligoceno Y Mioceno del área de Toquepala, Quillaveco, Cujajone. Ph. D. (Thesis Department of Geology, Queen's University).	Richard Tosdal, 1978.
114	Moquegua	Moquegua 35-u	17° 05' 15" S	70° 44' 35" O	K - Ar	Biotita	Formación Huayllillas	Flujo de ceniza biotítica	22,8	± 0,7	K-Ar Geochronology of the late cenozoic Tectonics and uplift in Central Andes (Peru, Bolivia and North of Chile), from Eocene to Present, Geodynamique, 3, 85-106	Richard M. Tosdal, Edward Farmer y Alan H. Clark, 1980.
115	Moquegua	Moquegua 35-u	17° 05' 00" S	70° 41' 00" O	K - Ar		Formación Huayllillas		18,8	± 0,7	Estudio Radiométrico K-Ar de rocas volcánicas del Oligoceno Y Mioceno del área de Toquepala, Quillaveco, Cujajone. Ph. D. (Thesis Department of Geology, Queen's University).	Fraud In Sebrier et al., 1988
116	Moquegua	Moquegua 35-u	17° 04' 00" S	70° 37' 00" O	K - Ar	Biotita			12,47	± 0,58	K-Ar Geochronology of the late cenozoic Volcanic Rocks of the Cordillera Occidental, Southemmost Peru	Richard Tosdal, 1978.
117	Moquegua	Moquegua 35-u	17° 04' 22" S	70° 37' 31" O	K - Ar	Biotita	Formación Chuntaca	Flujo de ceniza riolítica	12,5	± 0,6	Estudio Radiométrico K-Ar de rocas volcánicas del Oligoceno Y Mioceno del área de Toquepala, Quillaveco, Cujajone. Ph. D. (Thesis Department of Geology, Queen's University).	Richard M. Tosdal, Edward Farmer y Alan H. Clark, 1980.
118	Moquegua	Moquegua 35-u	17° 05' 00" S	70° 37' 00" O	K - Ar	Biotita			9,46	± 0,45		Richard Tosdal, 1978.

Cod.	Departamento	Hojas de Catastro	Latiud	Longitud	Método de Datedación	Mineral o Material Datedado	Unidad o Formación	Tipo de Roca	Edad	Márgen de Error	Referencia	Autor por Referencia
119	Moquegua	Moquegua 35-u	17° 07' 00" S	70° 38' 00" O	K - Ar	Biotita			13,11	± 0,66	Estudio Radiométrico K-Ar de rocas volcánicas del Oligoceno Y Mioceno del área de Toquepala, Quillaveco, Cujione. Ph. D. (Thesis Department of Geology, Queen's University).	Richard Tosdal, 1978.
120	Moquegua	Moquegua 35-u	17° 06' 52" S	70° 37' 37" O	K - Ar	Biotita	Formación Chuntacala	Flujo de ceniza biotítica	13,1	± 0,7	K-Ar Geochronology of the late cenozoic Volcanic Rocks of the Cordillera Occidental, Southemmost Peru	Richard M. Tosdal, Edward Farrar y Alan H. Clark, 1980.
121	Moquegua	Moquegua 35-u	17° 08' 39" S	70° 38' 53" O	K - Ar	Biotita	Formación Huayllillas	Flujo de ceniza biotítica	18,4	± 0,6	K-Ar Geochronology of the late cenozoic Volcanic Rocks of the Cordillera Occidental, Southemmost Peru	Richard M. Tosdal, Edward Farrar y Alan H. Clark, 1980.
122	Moquegua	Moquegua 35-u	17° 09' 00" S	70° 39' 00" O	K - Ar	Biotita			18,40	± 0,58	Estudio Radiométrico K-Ar de rocas volcánicas del Oligoceno Y Mioceno del área de Toquepala, Quillaveco, Cujione. Ph. D. (Thesis Department of Geology, Queen's University).	Richard Tosdal, 1978.
123	Moquegua	Moquegua 35-u	17° 10' 00" S	70° 33' 00" O	K - Ar		Grupo Tacaza	Volcánica	35,2	± 1,3	Sin referencia	CT 0059
124	Moquegua	Moquegua 35-u	17° 14' 00" S	70° 55' 00" O	K - Ar	Biotita			22,68	± 0,82	Estudio Radiométrico K-Ar de rocas volcánicas del Oligoceno Y Mioceno del área de Toquepala, Quillaveco, Cujione. Ph. D. (Thesis Department of Geology, Queen's University).	Richard Tosdal, 1978.
125	Moquegua	Moquegua 35-u	17° 14' 24" S	70° 54' 39" O	K - Ar	Biotita	Formación Moquegua superior	Flujo de ceniza biotítica	22,7	± 0,8	K-Ar Geochronology of the late cenozoic Volcanic Rocks of the Cordillera Occidental, Southemmost Peru	Richard M. Tosdal, Edward Farrar y Alan H. Clark, 1980.
126	Moquegua	Moquegua 35-u	17° 14' 00" S	70° 42' 00" O	K - Ar	Biotita	Supernidad Yarabamba	Granodiorita	57,2		Geologic and Geochronologic Constraints on the Metallogenic Evolution of the Andes of Southeastern Peru.	Alan H. Clark, Edward Farrar, Daniel J. Kontack y Robert J. Langridge Economic Geology, Vol 85 1990 Pag. 1520-1583.
127	Moquegua	Moquegua 35-u	17° 13' 17" S	70° 39' 06" O	K - Ar	Chalcocita	Toquepala		57		Isotopic Composition of Pb in Central Andean ore deposits	George R. Tilton, Robert J. Pollock, Alan H. Clark, Ronald C. R. Robertson, Geological Society of America Memoir 154 1981.
	Moquegua	Moquegua 35-u	17° 13' 17" S	70° 39' 06" O	K - Ar	Biotita		Cuarzo monzodiorita	58,7	± 1,9	Geologic and Geochronologic Constraints on the Metallogenic Evolution of the Andes of Southeastern Peru.	Alan H. Clark, Edward Farrar, Daniel J. Kontack y Robert J. Langridge Economic Geology Vol 85 1990 Pag. 1520-1583.
128	Moquegua	Moquegua 35-u	17° 14' 00" S	70° 36' 30" O	K - Ar	Biotita	Supernidad Yarabamba	Dacita	57,1	± 0,57	Geologic and Geochronologic Constraints on the Metallogenic Evolution of the Andes of Southeastern Peru.	Alan H. Clark, Edward Farrar, Daniel J. Kontack y Robert J. Langridge Economic Geology Vol 85 1990 Pag. 1520-1583.
129	Moquegua	Moquegua 35-u	17° 15' 14" S	70° 37' 48" O	Rb - Sr	Roca total	Supernidad Yarabamba	Diorita Granodiorita	61,0	± 4,0	Magmatism at a plate edge	A. Sanchez, Brook, 1985.
130	Moquegua	Moquegua 35-u	17° 17' 00" S	70° 44' 00" O	K - Ar	Biotita	Formación Milló	Flujo piroclástico	11,17	± 1,34	Estudio Radiométrico K-Ar de rocas volcánicas del Oligoceno Y Mioceno del área de Toquepala, Quillaveco, Cujione. Ph. D. (Thesis Department of Geology, Queen's University).	Richard Tosdal, 1978.
131	Moquegua	Moquegua 35-u	17° 17' 03" S	70° 42' 35" O	⁴⁰ Ar - ³⁹ Ar	Biotita	Supernidad Yarabamba	Granodiorita	65,4	± 1,73	Geologic and Geochronologic Constraints on the Metallogenic Evolution of the Andes of Southeastern Peru.	Alan H. Clark, Edward Farrar, Daniel J. Kontack y Robert J. Langridge Economic Geology Vol 85 1990 Pag. 1520-1583.

Cod	Departamento	Hoja de Catastro	Latitud	Longitud	Mineral o Material Datedo	Unidad-Eformación	Tipo de Roca	Edad	Márgen de Error	Referencia	Autor por Referencia
132	Moquegua	Moquegua 35-u	17° 16' 35" S	70° 41' 59" O	40 Ar - 38 Ar	Ortosa	Monzonita aplita	62,74	± 0,35	Geologic and Geochronologic Constraints on the Metallogenic Evolution of the Andes of Southeastern Peru.	Alan H. Clark, Edward Farrar, Daniel J. Kontack y Robert J. Langridge. Economic Geology Vol 85 1990 Pag. 1520-1533.
133	Moquegua	Moquegua 35-u	17° 23' 00" S	70° 48' 00" O	K - Ar	Biotita		23,25	± 0,80	Estudio Radiométrico K-Ar de rocas volcánicas del Oligoceno Y Mioceno del área de Toquepala, Quillavaca, Cujjone, Ph. D. (Thesis Department of Geology, Queen's University).	Richard M. Tosdal, Edward Farrar y Alan H. Clark, 1978.
134	Moquegua	Moquegua 35-u	17° 23' 32" S	70° 47' 40" O	K-Ar	Biotita	Formación Moquegua superior	23,3	± 0,8	K-Ar Geochronology of the late cenozoic Volcanic Rocks of the Cordillera Occidental, Southemmost Peru	Richard M. Clark, 1980.
135	Moquegua	Moquegua 35-u	17° 24' 47" S	70° 35' 42" O	K - Ar	Biotita	Fm. Huayllas	18,3	± 0,6	Estudio Radiométrico K-Ar de rocas volcánicas del Oligoceno Y Mioceno del área de Toquepala, Quillavaca, Cujjone, Ph. D. (Thesis Department of Geology, Queen's University).	Richard M. Tosdal, Edward Farrar y Alan H. Clark, 1980.
136	Moquegua	Moquegua 35-u	17° 25' 00" S	70° 36' 00" O	K - Ar	Biotita		18,32	± 0,56	Estudio Radiométrico K-Ar de rocas volcánicas del Oligoceno Y Mioceno del área de Toquepala, Quillavaca, Cujjone, Ph. D. (Thesis Department of Geology, Queen's University).	Richard M. Tosdal, 1978.
137	Tacna	Locumba 36-u	17° 31' 40" S	70° 51' 00" O	Rb - Sr		Ignimbritas	12,5	-	Sin referencia	Olaide CTM - 112
138	Tacna	Locumba 36-u	17° 33' 30" S	70° 51' 20" O	K - Ar		Formación Chuntacala	10,23	± 0,61	Estudio Radiométrico K-Ar de rocas volcánicas del Oligoceno Y Mioceno del área de Toquepala, Quillavaca, Cujjone, Ph. D. (Thesis Department of Geology, Queen's University).	Richard M. Tosdal, Edward Farrar, Clark, 1981.
139	Tacna	Locumba 36-u	17° 33' 50" S	70° 49' 40" O	K - Ar		Formación Chuntacala	10	-	Sin referencia	Sin referencia
140	Tacna	Locumba 36-u	17° 36' 03" S	70° 53' 17" O	K - Ar	Biotita	Flujo de ceniza biotita/bromillerita	10,2	± 0,6	K-Ar Geochronology of the late cenozoic Volcanic Rocks of the Cordillera Occidental, Southemmost Peru	Richard M. Tosdal, Edward Farrar y Alan H. Clark, 1980.
141	Tacna	Locumba 36-u	17° 58' 38" S	70° 59' 38" O	K - Ar	Biotita	Formación Chuntacala	10,4	± 0,9	K-Ar Geochronology of the late cenozoic Volcanic Rocks of the Cordillera Occidental, Southemmost Peru	Richard M. Tosdal, Edward Farrar y Alan H. Clark, 1980.
142	Moquegua	Moquegua 35-u	17° 51' 10" S	70° 59' 20" O	K - Ar	Biotita	Formación Chuntacala	10,4	± 0,9	K-Ar Geochronology of the late cenozoic Volcanic Rocks of the Cordillera Occidental, Southemmost Peru	Richard M. Tosdal, Edward Farrar y Alan H. Clark, 1980.
143	Tacna	Locumba 36-u	17° 51' 00" S	71° 00' 00" O	K - Ar	Biotita	Formación Chuntacala	10,39	± 0,9	K-Ar Geochronology of the late cenozoic Volcanic Rocks of the Cordillera Occidental, Southemmost Peru	Richard M. Tosdal, Edward Farrar, Clark, 1981.
144	Tacna	La Yarada 37-u	18° 06' 30" S	70° 43' 30" O	Ar -Ar	Roca total	Dacita	124,3	-	Paleomagnetism of Mesozoic rocks from the central Andes of southern Peru: importance of rotations in the development of the Bolivian Oriocline	Ropench B. Canlier, 1992.
145	Tacna	La Yarada 37-u	18° 08' 00" S	70° 43' 10" O	Ar -Ar	Roca total	Dacita	124,9	± 0,03	Paleomagnetism of Mesozoic rocks from the central Andes of southern Peru: importance of rotations in the development of the Bolivian Oriocline	Ropench B. Canlier, 1992.

Cod.	Departamento	Hoja de Catastro	Latitud	Longitud	Método de Datación	Mineral o Material Datedo	Unidad-Formación	Tipo de Roca	Edad	Márgen de Error	Referencia	Autor por Referencia
146	Tacna	La Yarada 37-v	18° 08' 00" S	70° 40' 00" O	Ar -Ar		Formación Guaneros	Andesita	157	± 0,40	Volcanismo Jurásico Medio en los Andes del Norte Y Centro, Revista Geológica de Chile Vol.22 N° 2.	Romeuf et al., 1995.
147	Puno	Pichacani 33-v	18° 07' 20" S	70° 15' 30" O	K - Ar	Roca total	Grupo Tacaza	Dacita	15,2	± 0,6	Les derniers événements andins marqués par le volcanisme cénozoïque de la cordillère occidentale sud-péruvienne et son piémont pacifique entre 15° 45' et 18° S	N. Vatin, Pergnon, G. Viver, M. Sebrier, M. Formati, 1982.
148	Puno	Pichacani 33-v	18° 19' 30" S	70° 15' 30" O	K - Ar	Roca total	Grupo Maure		8,8	± 0,4	Proy. Integrado del Sur, N° 42, serie A	Klinck, Ellison, Howkins, 1986.
149	Puno	Pichacani 33-v	18° 20' 10" S	70° 15' 20" O	K - Ar	Roca total	Grupo Maure		8,0	± 0,4	Proy. Integrado del Sur, N° 42, serie A	Klinck, Ellison, Howkins, 1986.
150	Puno	Pichacani 33-v	18° 21' 40" S	70° 15' 00" O	K - Ar	Roca total	Grupo Maure		10,3	± 0,4	Sin referencia	NIN09
151	Puno	Huaytire 34-v	16° 39' 41" S	70° 05' 30" O	K - Ar	Biotita	Grupo Barroso-Tufo de ceniza, centro volcánico Cocabachaca	Dacita	6,476	± 0,181	Geologic and Geochronologic Constraint on the Metallogenic Evolution on the Andes of Southeastern Peru	Alan H. Clark, Edward Farrar, Daniel J. Kontak, Robert J. Langridge Economic Geology Vol 85 1990 pag. 1520-1583.
152	Puno	Huaytire 34-v	16° 38' 17" S	70° 04' 14" O	K - Ar	Biotita	Grupo Barroso Centro Volcánico Cocabachaca	Pórfido dacítico	7035	± 0,430	Geologic and Geochronologic Constraints on the Metallogenic Evolution of the Andes of Southeastern Peru.	Alan H. Clark, Edward Farrar, Daniel J. Kontak y Robert J. Langridge Economic Geology Vol 85 1990 Pag. 1520-1583.
153	Puno	Huaytire 34-v	16° 37' 59" S	70° 03' 05" O	K - Ar	Biotita	Grupo Barroso Centro Volcánico Cocabachaca	Andesita	6316	± 0,586	Geologic and Geochronologic Constraints on the Metallogenic Evolution of the Andes of Southeastern Peru.	Alan H. Clark, Edward Farrar, Daniel J. Kontak y Robert J. Langridge Economic Geology Vol 85 1990 Pag. 1520-1583.
154	Moquegua	Huaytire 34-v	16° 38' 30" S	70° 01' 40" O	K - Ar	Biotita	Fm. Liahui	Andesita	8,32	± 0,59	Sin referencia	NIN088
155	Moquegua	Huaytire 34-v	16° 42' 40" S	70° 03' 10" O	K - Ar	Biotita	Fm. Capilune	Toba	6,45	± 0,22	Sin referencia	NIN091
156	Moquegua	Huaytire 34-v	16° 52' 00" S	70° 10' 45" O	K - Ar	Roca total		Andesita	6,48	± 0,2		Kanboka, I. y Guevara, C., 1984.
157	Tacna	Tarata 35-v	17° 01' 17" S	70° 23' 01" O	K - Ar	Biotita	Grupo Barroso	Dacita porfirítica	0,7	± 0,2	K-Ar Geochronology of the late cenozoic Volcanic Rocks of the Cordillera Occidental, Southemmost Peru	Richard M. Tosdal, Edward Farrar y Alan H. Clark, 1990.
158	Tacna	Tarata 35-v	17° 02' 30" S	70° 15' 50" O	K - Ar	Roca total		Andesita	0,16	± 0,44	Sin referencia	SERNAGEOMIN Chile - Lote Tutupaca
159	Tacna	Tarata 35-v	17° 07' 40" S	70° 25' 00" O	K - rt	Biotita	Grupo Barroso	Andesita	6,23	± 0,10		Kanboka, I. y Guevara, C., 1984.
160	Tacna	Tarata 35-v	17° 08' 20" S	70° 16' 35" O	K - rt	Roca total	Grupo Barroso	Andesita	3,23	± 0,5	Estudio Geovolcanológico e Inventario sistemático de manifestaciones Geotípicas del Lote Tutupaca	Archivo Técnico INGEMMET A4631. Febrero de 1994.
161	Tacna	Tarata 35-v	17° 11' 56" S	70° 17' 20" O	K - Ar	Biotita	Grupo Barroso	Andesita	6,23	± 0,10	Estudio Geovolcanológico e inventario sistemático de manifestaciones Geotípicas del Lote Tutupaca	Archivo Técnico INGEMMET A4631. Febrero de 1994.
162	Tacna	Tarata 35-v						Toba andesítica	0,54	± 0,17		NIN097

Cod.	Departamento	Hoja de Catastro	Latitud	Longitud	Método de Datación	Mineral o Material Datedo	Unidad-Formación	Tipo de Roca	Edad	Márgen de Error	Referencia	Autor por Referencia
163	Tacna	Tarata 35-v	17° 12' 20" S	70° 09' 30" O	K - B	Biotita	Fm. Huayllas	Toba riocística	18,15	± 0,43	Estudio Geovolcanológico e Inventario sistemático de manifestaciones Geotermales del Lote Tutupaca	Archivo Técnico INGEMMET A4631. Febrero de 1994.
164	Tacna	Tarata 35-v	17° 13' 00" S	70° 09' 30" O	K - Ar			Toba	0,38	± 0,3		SERNAGEOMIN Chile - Lote Tutupaca
165	Tacna	Tarata 35-v	17° 16' 35" S	70° 13' 40" O	K - B			Vulcánica	21,6	± 0,7	Estudio Geovolcanológico e Inventario sistemático de manifestaciones Geotermales del Lote Tutupaca	Archivo Técnico INGEMMET A4631. Febrero de 1994.
166	Tacna	Tarata 35-v	17° 17' 00" S	70° 13' 00" O	K - Ar	Biotita			21,56	± 0,74	Estudio Radiométrico K-Ar de rocas volcánicas del Oligoceno Y Mioceno del área de Toquepala, Quillavco, Cujjone. Ph. D. (Thesis Department of Geology, Queen's University).	Richard Tostdal, 1978
167	Tacna	Tarata 35-v	17° 17' 28" S	70° 13' 55" O	K - Ar	Biotita	Formación Huayllas	Flujo de ceniza biotita/hornblenda	21,0	± 0,7	K-Ar Geochronology of the late cenozoic Volcanic Rocks of the Cordillera Occidental, Southemmost Peru	Richard M. Tostdal, Edward Farrar y Alan H. Clark, 1980.
168	Tacna	Tarata 35-v	17° 15' 25" S	70° 02' 35" O	K - Ar			Andesita	0,54	± 0,4	Estudio Geovolcanológico e Inventario sistemático de manifestaciones Geotermales del Lote Tutupaca	SERNAGEOMIN Chile - Lote Tutupaca
169	Tacna	Tarata 35-v	17° 22' 00" S	70° 08' 10" O	K - B	Biotita	Fm. Huayllas	Toba dacítica.	22,03	± 0,51	Estudio Geovolcanológico e Inventario sistemático de manifestaciones Geotermales del Lote Tutupaca	Archivo Técnico INGEMMET A4631. Febrero de 1994.
170	Tacna	Tarata 35-v	17° 24' 20" S	70° 11' 10" O	K - Ar	Biotita	Fm. Huayllas	Toba riolítica	18,34	± 0,41	Estudio Geovolcanológico e Inventario sistemático de manifestaciones Geotermales del Lote Tutupaca	NIN076
171	Tacna	Tarata 35-v	17° 24' 00" S	70° 08' 00" O	K - Ar	Roca total	Grupo Tacaza	Dacita	15,8	± 0,6	Tectonics and uplift in Central Andes (Peru, Bolivia and North of Chile), from Eocene to Present, Geodynamique, 3, 35-106	Feraud In Sébrier et al. 1988.
172	Tacna	Tarata 35-v	17° 28' 15" S	70° 02' 00" O	K - B			Granodiorita	40,3	± 1,1	Estudio Geovolcanológico e Inventario sistemático de manifestaciones Geotermales del Lote Tutupaca	Archivo Técnico INGEMMET A4631. Febrero de 1994.
173	Tacna	Pachia 36-v	17° 32' 00" S	70° 02' 00" O	K - Ar	Roca total	Vulcánico Presencia	Andesita	0,38	± 0,01	Les derniers événements andins marqués par le volcanisme cénozoïque de la cordillère occidentale sud-patagonie et de son pliomont pacifique entre 15° 45 et 18° S	Barhamme In Veltin-Pétrignon et al., 1982
174	Tacna	Pachia 36-v	18° 01' 43" S	70° 26' 38" O	K - Ar	Roca total	Formación Huayllas	Toba	18,40	± 0,50	Notes des Membres et Correspondants Notes Présentées ou Transmises par Leurs Soins	Harve Bellon y Christian Lefevre, 1978
175	Tacna	Locumba 36-u	17° 57' 30" S	70° 23' 20" O	Ar-Ar	Biotita	Supernidad Punta Coles	Diorita	104,65	± 1,12	Geologic and Geochronologic Constraints on the Metallogenic Evolution of the Andes of Southeastern Peru.	Alan H. Clark, Edward Farrar, Daniel J. Kontak y Robert J. Langridge Economic Geology Vol 85 1990 Pag. 1520-1583.
176	Tacna	Pachia 36-v	17° 59' 15" S	70° 15' 10" O	K - Ar		Formación Huayllas		20,3	± 0,8	Tectonics and uplift in Central Andes (Peru, Bolivia and North of Chile), from Eocene to Present, Geodynamique, 3, 85-106	Feraud In Sébrier et al., 1988.
177	Tacna	Pachia 36-v	17° 57' 00" S	70° 14' 30" O	K - Ar	Roca total	Formación Huayllas	Dacita	19,2	± 0,6	Tectonics and uplift in Central Andes (Peru, Bolivia and North of Chile), from Eocene to Present, Geodynamique, 3, 85-107	Feraud In Sébrier et al., 1988

Cod	Departamento	Hoja de Catastro	Latitud	Longitud	Método de Detección	Mineral o Material Datedo	Unidad-Fормación	Tipo de Roca	Edad	Márgen de Error	Referencia	Autor por Referencia
178	Tacna	Pachía 36-v	17° 51' 59"S	70° 12' 28"E	K-Ar	Biotita	Grupo Baroso	Dacita	1,6	± 0,2	K-Ar Geochronology of the late Cenozoic Volcanic Rocks of the Cordillera Occidental, Southernmost Peru	Richard M. Tossal, Edward Farrar y Alan H. Clark, 1980.
179	Tacna	Pachía 36-v	17° 54' 08"S	70° 05' 35"E	K - Ar	Biotita	Formación Huayllas	Toba	20,65	± 0,94	Sin referencia	NN075
180	Tacna	Pachía 36-v	17° 54' 00"S	70° 04' 30"E	K + Ar	Biotita	Formación Huayllas	Toba riolítica	23,77	± 0,48	Sin referencia	NN068
181	Tacna	Pachía 36-v	17° 50' 28"S	70° 06' 13"E	K - Ar	Biotita		Monzodiorita cuarzosa	60,9	± 1,83	Geologic and Geochronologic Constraint on the Metallogenic Evolution on the Andes of Southeastern Peru	Alan H. Clark, Edward Farrar, Daniel J. Kontak, Robert J. Langridge Economic Geology Vol 85 1990 pag. 1520 -1583.
182	Tacna	Pachía 36-v	17° 48' 20"S	70° 05' 25"E	⁴⁰ Ar - ³⁹ Ar	Homblenda	Formación Chocolate	Granodiorita	78,18	± 4,82	Geologic and Geochronologic Constraints on the Metallogenic Evolution of the Andes of Southeastern Peru.	Alan H. Clark, Edward Farrar, Daniel J. Kontak y Robert J. Langridge Economic Geology Vol 85 1990 Pag. 1520-1583.
183	Tacna	Pachía 36-v	17° 46' 25"S	70° 01' 30"E	K - Ar	Biotita	Formación Huayllas	Toba	18,35	± 0,50	Notes des Membres et Correspondants Notes Présentées ou Transmises par Leurs Soins	Hervé Bellon y Christian Lefèvre, 1978
184	Tacna	Pachía 36-v	17° 48' 48"S	70° 00' 17"E	K - Ar	Biotita		Monzodiorita cuarzosa	60,33	± 1,3	Geologic and Geochronologic Constraint on the Metallogenic Evolution on the Andes of Southeastern Peru	Alan H. Clark, Edward Farrar, Daniel J. Kontak, Robert J. Langridge Economic Geology Vol 85 1990 pag. 1520 -1583.
185	Tacna	Palca 36-x	17° 47' 40"S	69° 58' 20"E	K - Ar	Biotita	Formación Huayllas	Toba riolítica	21,23	± 0,58	Sin referencia	NN072 -NN073 - NN071
186	Tacna	Palca 36-x	17° 45' 30"S	69° 56' 00"E	K - Ar	Biotita	Formación Huayllas	Toba riolítica	21,44	± 0,82	Sin referencia	NN072 -NN073 - NN071
187	Tacna	Palca 36-x	17° 47' 00"S	69° 50' 00"E	K - Ar	Biotita	Formación Huayllas	Toba riolítica	22,21	± 0,50	Sin referencia	NN069
	Tacna	Palca 36-x	17° 47' 00"S	69° 50' 00"E	K - Ar	Biotita	Formación Huayllas	Toba riolítica	21,21	± 0,90	Sin referencia	NN069
188	Tacna	Palca 36-x	17° 43' 36"S	69° 55' 16"E	K + Ar	Biotita	Unidad Ataspatá	Monzodiorita cuarzosa	42,58	± 0,96	Geologic and Geochronologic Constraint on the Metallogenic Evolution on the Andes of Southeastern Peru	Alan H. Clark, Edward Farrar, Daniel J. Kontak, Robert J. Langridge Economic Geology Vol 85 1990 pag. 1520 -1583.
189	Tacna	Palca 36-x	17° 42' 24"S	69° 55' 01"E	K - Ar	Biotita	Unidad Ataspatá	Monzodiorita cuarzosa	39,15	± 0,85	Geologic and Geochronologic Constraint on the Metallogenic Evolution on the Andes of Southeastern Peru	Alan H. Clark, Edward Farrar, Daniel J. Kontak, Robert J. Langridge Economic Geology Vol 85 1990 pag. 1520 -1583.
190	Tacna	Palca 36-x	17° 42' 20"S	69° 54' 00"E	K - Ar	Biotita	Unidad Ataspatá	Zona de alteración potásica	40,65	± 0,88	Geologic and Geochronologic Constraint on the Metallogenic Evolution on the Andes of Southeastern Peru	Alan H. Clark, Edward Farrar, Daniel J. Kontak, Robert J. Langridge Economic Geology Vol 85 1990 pag. 1520 -1583.
	Tacna	Palca 36-x	17° 42' 20"S	69° 54' 00"E	⁴⁰ Ar - ³⁹ Ar	Biotita	Unidad Ataspatá	Monzodiorita cuarzosa	39,9	± 0,85	Geologic and Geochronologic Constraint on the Metallogenic Evolution on the Andes of Southeastern Peru	Alan H. Clark, Edward Farrar, Daniel J. Kontak, Robert J. Langridge Economic Geology Vol 85 1990 pag. 1520 -1583.
	Tacna	Palca 36-x	17° 42' 20"S	69° 54' 00"E	⁴⁰ Ar - ³⁹ Ar	Biotita	Unidad Ataspatá	Monzodiorita cuarzosa	45,5	± 0,65	Geologic and Geochronologic Constraint on the Metallogenic Evolution on the Andes of Southeastern Peru	Alan H. Clark, Edward Farrar, Daniel J. Kontak, Robert J. Langridge Economic Geology Vol 85 1990 pag. 1520 -1583.

Cod	Departamento	Hoja de Catastro	Latitud	Longitud	Método de Detección	Mineral o Material Datedo	Unidad-Eformación	Tipo de Roca	Edad	Márgen de Error	Referencia	Autor por Referencia
191	Puno	Mazo Cruz 34-x	16° 57' 20" S	69° 43' 10" O	K - Ar	Roca total	Grupo Barroso	Dacita	5,59	± 0,11		Kaneoka, I.; Guevara, C., 1984.
192	Puno	Mazo Cruz 34-x	16° 47' 10" S	69° 42' 30" O	K - Ar	Roca total	Grupo Barroso	Andesita	5,8	± 0,3	Proyecto de Investigación Geotérmica de la República del Perú.	Olaide, 1980.
193	Puno	Mazo Cruz 34-x	16° 46' 00" S	69° 41' 00" O	K - Ar	Roca total	Grupo Barroso	Andesita	3,2	± 0,11		Kaneoka, I.; Guevara, C., 1984.
194	Puno	Mazo Cruz 34-x	16° 45' 50" S	69° 44' 40" O	K - Ar	Biotita	Fm. Capillune	Toba riolítica	7,48	± 0,64	Sin referencia	NN039
195	Puno	Mazo Cruz 34-x	16° 32' 45" S	69° 42' 10" O	K - Ar	Biotita	Fm. Llallahuí	Riolita	11,5	± 0,40	Sin referencia	NN034
196	Puno	Mazo Cruz 34-x	16° 30' 30" S	69° 39' 56" O	K - Ar	Biotita	Fm. Llallahuí	Dacita	12,33	± 0,30	Sin referencia	NN031
	Puno	Mazo Cruz 34-x	16° 30' 30" S	69° 38' 56" O	K - Ar	Biotita	Fm. Llallahuí	Dacita	11,09	± 0,98	Sin referencia.	NN031
197	Puno	Juli 33-y	16° 13' 00" S	69° 26' 50" O	K - Ar	Biotita	Intrusivo	Intrusivo	16,2	± 1,7	Proy. Integrado del Sur, N° 42, serie A.	Klinck, Ellison, Howkins 1986
198	Puno	Juli 33-y	16° 14' 40" S	69° 26' 48" O	K - Ar	Roca total	Unidad Casamiento	Lava	7,2	± 0,4	Proy. Integrado del Sur, N° 42, serie A	Klinck, Ellison, Howkins 1986
199	Puno	Juli 33-y	16° 16' 40" S	69° 28' 00" O	K - Ar	Roca total	Unidad Casamiento	Lava	8,7	± 0,4	Proy. Integrado del Sur, N° 42, serie A	Klinck, Ellison, Howkins 1986
200	Puno	Juli 33-y	16° 16' 20" S	69° 24' 54" O	K - Ar	Roca total	Grupo Barroso	Andesita	6,58	± 0,64		Kaneoka, I.; Guevara, C., 1984.
201	Puno	Juli 33-y	16° 17' 25" S	69° 18' 30" O	K - Ar	Roca total	Grupo Barroso	Andesita	7,20	± 0,09		Kaneoka, I.; Guevara, C., 1984.
202	Puno	Juli 33-y	16° 22' 00" S	69° 13' 40" O	K - Ar	Homablenda	Formación Huayllas	Andesita rosada	16,9	± 0,9	Proy. Integrado del Sur, N° 42, serie A	Klinck, Ellison, Howkins, 1986

ANEXO FOTOGRÁFICO

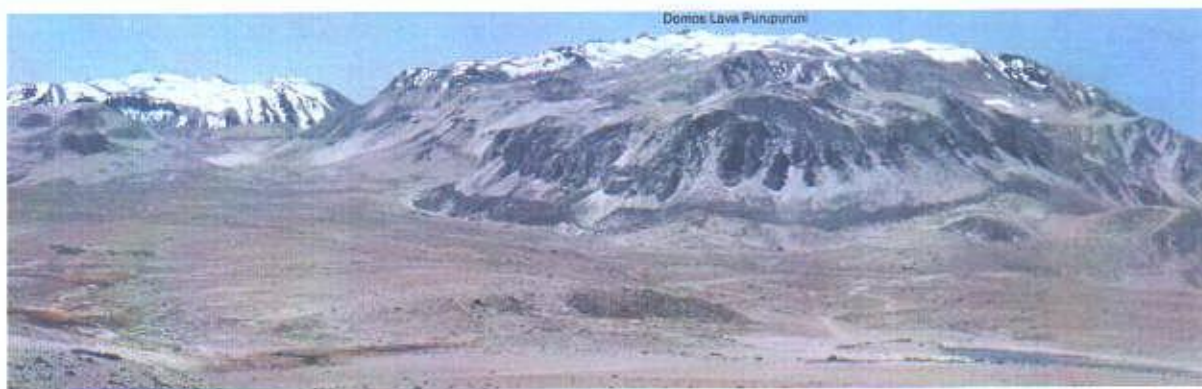
Secuencias Volcánicas - Sedimentarias Neogénicas



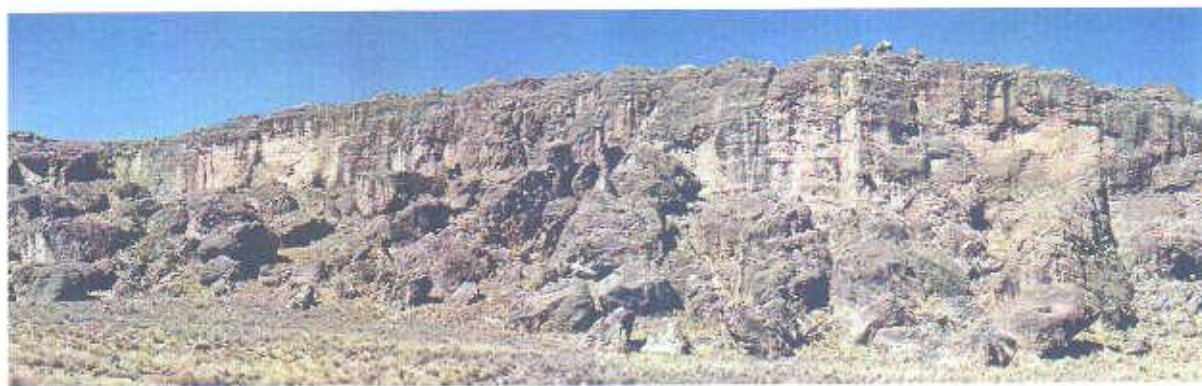
Estratovolcán Yucamane, conformado por flujos de lavas de composición andesítica, traquandesítica y riodacíticas. Vista hacia el este desde las proximidades de Candarave. Hoja de Tarata (De la Cruz, 2000).



Estratovolcán Domo Lava Paucarani, conformado por secuencias de andesitas y traquandesitas portfíriticas. Vista de E-O (coladas recientes) al fondo **Complejo Fisural Barroso**. Hoja de Palca (Monge y Cervantes, 2000).



Domos Lava del Purupuruni, en el cerro Torta, pertenecientes al **Grupo Barroso**. Hojas de Río Mauri y Antajave (Díaz, Montoya y Milla (UNI), 2000).



Grupo Barroso, compuesta por una secuencia de flujos piroclásticos ubicados en la quebrada Chapilaca. Vista hacia el SE, sector de Yulaca hoja de Mazo Cruz (Cerrón y Valdivia, 2000).



Formación Sencca (Plioceno), compuesta por tobas cristalolíticas gris blanquecinas (lapillitas ricas en pómex), secuencia ubicada en el río Piaque vista hacia el NO, próximo al poblado de Huanacamaya, hoja de Mazo Cruz (Cerrón y Valdivia, 2000).



Grupo Maure (Mioceno), secuencias volcano-sedimentarias (depósitos epiclásticos), afloramiento y detalle, hoja de Huaitire (Galdos y Ticona, 2000).



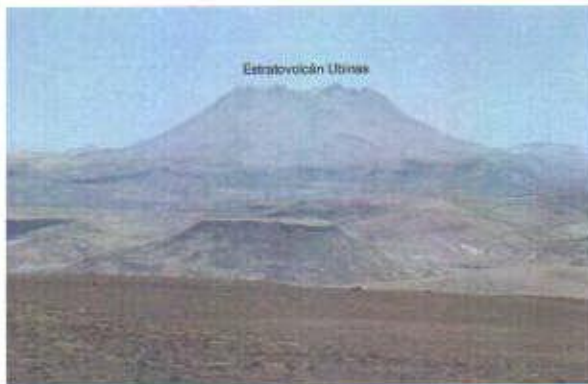
Grupo Barroso (Plio-Pleistoceno), Estratovolcanes Chachani y Misti. Vista hacia el NE desde el sector El Cural. Hoja de Arequipa (Sánchez, 2000)



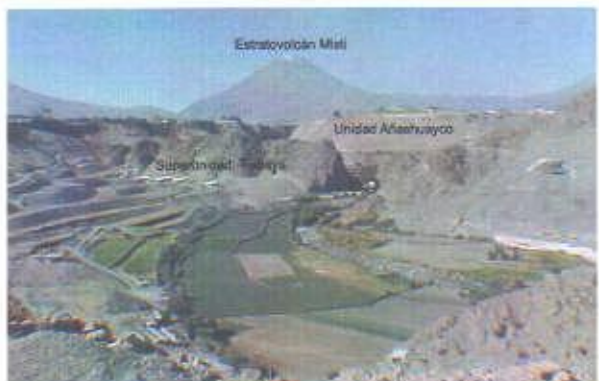
Unidad Añashuayco (Pleistoceno), tobas lapili conocidas como Sillar de Arequipa, sector quebrada Añashuayco. Hoja de Arequipa. (Chávez y Salas, 2000).



Estratovolcán Chuquiananta formado por flujos lávicos andesíticos pertenecientes al Grupo Barroso. Hoja Huaitire (Galdos y Ticona, 2000).



Estratovolcán Ubinas, hoja de Ichuña, (Lipa y Valdivia, 2000).



Estratovolcán Misti, vista al NE, valle del río Chili, sector Uchumayo. Se observan secuencias de tobas de la unidad Añashuayco inconformes sobre la Superunidad Tiabaya. Hoja de Arequipa (Sánchez, 2000).



Estratovolcán Tutupaca, secuencia de flujos lávicos andesíticos, traquandesíticos porfíricos pertenecientes al Grupo Barroso. En la base la laguna Suches. Hoja de Huaitire (Galdos y Ticona, 2000).



Grupo Sillapaca (Mioceno tardío), compuesta por flujos piroclásticos. Margen derecha del río Huenque al norte de Mazo Cruz. Hoja de Mazo Cruz (Cerrón y Valdivia, 2000).



Grupo Sillapaca, detalle de los flujos piroclásticos anteriores. Obsérvese el tamaño de los clastos, Qda. Huenque Mazo Cruz (Cerrón y Valdivia, 2000).

Secuencia sedimentaria epiclástica de la Fm. Capillune infrayace a lavas andesíticas del **Grupo Barroso**. Canal de Pastogrande, hoja de Huaitire (Galdos y Ticona, 2000)



Grupo Maure (Mioceno), Secuencias sedimentarias (lacustrinas) al oeste del cerro Pacocahua, frontera con Chile, hacia el techo se observan niveles de tobas. Vista hacia el sur, hoja de Palca (Monge y Cervantes, 2000).

Secuencias Volcánico - Sedimentarias Jurásicas/Cretáceas/Paleógenas



Grupo Toquepala

Formación Huaracane (Miembro 4) conformada por riolitas, cerro Los Angeles, hoja de Moquegua. Muestra internacional PER-1, 71-72 Ma. Moquegua (Martínez y Zuloaga, 2000).



Grupo Toquepala

Flujos piroclásticos de la Fm. Huaracane (Miembro 5), conformado por tobas lapilli margen derecha río Otoro. Hoja de Moquegua, (Martínez y Cervantes, 2002).



Grupo Toquepala

Fm. Huaracane, secuencias de tobas lapilli riolíticas (Miembro 5), con textura eutaxítica estratificada de color rosado. Afloramientos en la Qda. Huaracane, Moquegua. (Martínez y Zuloaga, 2000).

Grupo Toquepala

Fm. Huaracane, vista panorámica en la margen izquierda del río Otoro, en el primer plano Ignimbritas (Miembro 4), debajo de Tobas-lapilli (Miembro 5) hacia el techo. Hoja de Moquegua (Martínez y Cervantes, 2002).



Grupo Toquepala

Fm. Huaracane, Vista panorámica en la margen izquierda del río Otoro, se observa hacia la base tobas-lapilli (Miembro 2), secuencias tipo debris flow (Miembro 3) y flujos piroclásticos (Miembro 4). Derecha, detalle de la intercalación de eventos de flujos de avalancha mal clasificados de volcanitas correspondientes al Miembro 3. Hoja de Moquegua (Martínez y Cervantes, 2002).



Formación Moquegua, en contacto con la Fm. Huayllas en la quebrada Euriptus. Hoja de Tacna. (Sánchez, Rosell y Raymundo, 2000).



Formación Moquegua, valle del río Locumba, sector de Ilabaya. Hoja de Locumba (Sánchez, Rosell y Raymundo, 2000).



Formación Huilacollo
Secuencia de lavas andesíticas, brechas y piroclastos alterados infiltrados al Gpo. Barroso. Vista de S-N, cerros Huilacollo y Andamarca. Al fondo la cordillera del Barroso. Hoja de Palca (Monge y Cervantes, 2000).



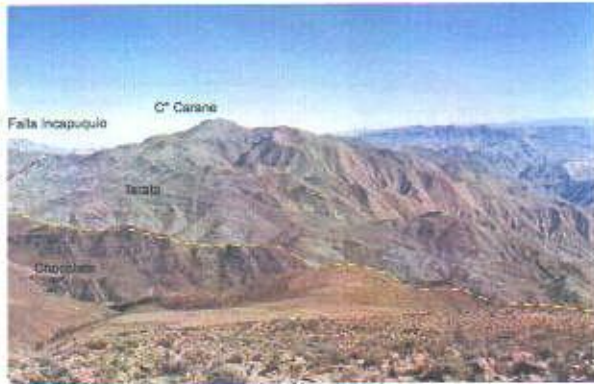
Grupo Toquepala
Quebrada Seca, afloramiento de la Fm. Inogoya intercalación de areniscas, loidolitas y niveles de conglomerados. Hoja de Moquegua (Martínez y Zuloaga, 2000).



Grupo Toquepala
Formación Quellaveco: Miembro Samanape inferior. Hoja de Moquegua (Martínez y Zuloaga, 2000).



Grupo Toquepala
Formación Quellaveco: miembro Samanape superior. Hoja de Moquegua (Martínez y Zuloaga, 2000).



Formación Chocolate, en contacto con la Formación Tarata Grupo Tacaza, al oeste del cerro Villacoto, hoja de Pachía (Monge y Cervantes, 2000).



Formación Sotillo, secuencia de limolitas pardo amarillentas que infrayacen a la Fm. Moquegua (conglomerados), hacia el techo la Fm. Millo, Qda. Pedregal hoja de Aplao (Palacios, León y Torres, 2000).



Grupo Tacaza, en las nacientes del río Tambo, hoja de Ichuña (Lipa y Valdivia, 2000).



Grupo Toquepala
Fm. Huaracane, en el cerro Quinquilne, al fondo la Fm. Moquegua en el cerro Baúl. Vista de S-N próximo a Torata, hoja de Moquegua (Martínez y Zuloaga, 2000)



Grupo Tacaza, Formación Tarata superior, secuencias volcánico sedimentarias buzando al SO, la toba inferior fue datada en 22,7 Ma. Vista hacia el cerro Jacnone de N-S. Localidad de Talabaya, hoja de Palca (Monge y Cervantes, 2000).



Grupo Cabanillas (antes Formación Machani) en el cerro Machani. Secuencias de conglomerados en la base, niveles de pelitas, intercalación de areniscas con limolitas en la zona intermedia y areniscas con niveles de calizas en la zona superior. Hoja de Pachía (Monge y Cervantes, 2000).



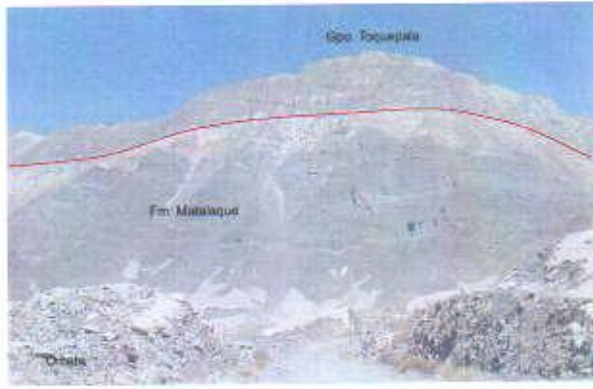
Cerro Chachacumane y Junerata vista hacia el sur, Qda. Palca, se observa la Formación Matalaque en contacto con el Grupo Yura, este último fallado con la Formación Pelado. En segundo plano la Formación Chocolate (antes Formación Junerata). Hoja de Palca (Monge y Cervantes, 2000).



Formación Matalaque en el valle del río Omate, margen izquierda (sector de Quinistaquillas), se observa el contacto con las secuencias sedimentarias del Grupo Yura. Hoja de Omate (Martínez y Zuloaga, 2000).



Calizas Ayavacas sobreayacen al Grupo Cabanillas, sector Cahua Cahuana. Hoja de llave (UNMSM, 2000)



Formación Matalaque, secuencias en contacto con el contacto con con el Grupo Toquepala inferior. Esta último fue datado en 75 Ma. Hoja de Omate (Martínez y Zuloaga, 2000)



Formación Matalaque, volcanitas andesíticas en la margen izquierda del río Tambo, cortado por un dique alimentador del evento Toquepala. Hoja de Puquina. (Atencio y Romero, 2000).



Formación Chocolate en el río Yura, en contacto con la Formación Socoani. Hoja de Arequipa (Sánchez, 2000).



Formación Chocolate (antes Formación Junerata), secuencias lávicas andesíticas en el cerro Yerbabuenani vista hacia el SE. Hoja de Palca (Sánchez, 2000).



Formación Guaneros en la quebrada el Bronce, niveles de lavas y piroclastitas, vista hacia el sur. Hoja de Clemesi . (Sánchez, Rosell y Raymundo, 2000).

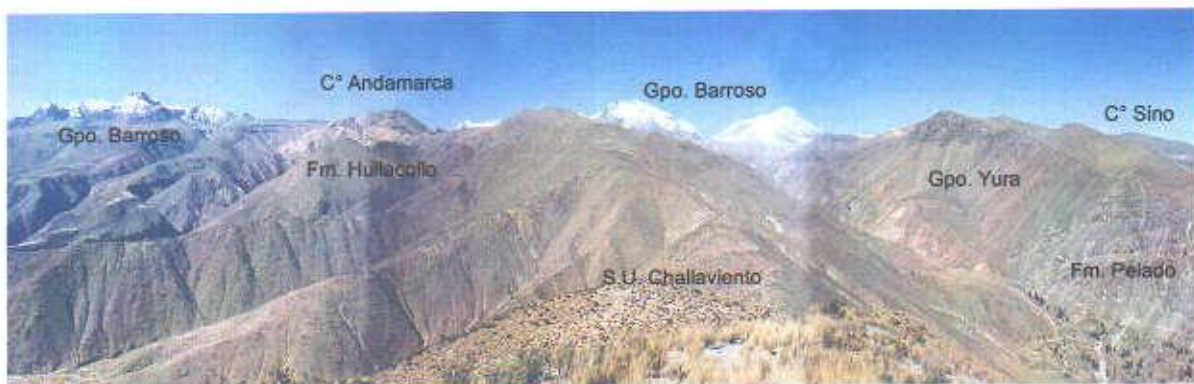
Unidades Intrusivas Jurásicas/Cretáceas



Superunidad Tiabaya, cerro San Nicolás (vista hacia el suroeste desde el sector de Pampas del Cusco) conformada por granodioritas, tonalitas y monzogranitos. Hoja de Arequipa (Martínez y Cervantes, 2003).



Superunidad Siete Toldos, afloramientos en el paraje del mismo nombre constituido principalmente por granodioritas. Hoja de Puquina (Martínez y Cervantes, 2003).



Batolito de Challaviento (cerro Agua Milagro), intruyendo a la Formación Pelado y Grupo Yura en la quebrada Caplina, hacia el oeste en contacto con la Formación Huilacollo infrayace al Grupo Barroso. Hoja de Palca (Monge y Cervantes, 2000).

Unidades Intrusivas Jurásicas/Cretáceas



Superunidad Punta Coles, afloramientos en Puerto Inglés al Sur de Ilo, están conformados por dioritas de hornblendas intruidos por diques basálticos. Hoja de Ilo (Martínez y Cervantes, 2003).



Superunidad Yarabamba, carretera Arequipa-Chapi, sector Tres Cruces, afloramientos de dioritas y tonalitas. Hoja de Puquina (Martínez y Cervantes, 2003).



Superunidad Linga, granodioritas grises con inclusiones de xenolitos de intrusivos tempranos (posiblemente asociados a los gabros tempranos que afloran en Tiabaya Arequipa). Quebrada Linga-La Joya (Valencia y Chacaltana, 2000)

Unidades Intrusivas Paleozoicas



Complejo Atico-Camaná (Ordovíciano), cuerpos graníticos intruyendo al Complejo Basal de la Costa (esquistos), sector Punta Gato, hoja de Atico.



Batolito Atico-Camaná, balneario de Mejía (Punta de Bombón), afloramientos de monzogranitos rojos de grano grueso y diaclasamiento con dirección NO-SE, estos batolitos ordovicianos con características alcalinas, no han sido definidos si fueron generados en un marco tectónico de "rift" o subducción Mejía (Martínez y Cervantes, 2003).



Batolito Atico-Camaná; Izquierda, granitos rojos de grano grueso similares a los de Mejía, (bajada del Toro Camaná), derecha; granitos de dos micas? gris claros con esquistocididad incipiente (playa Bandurria-Atico).

BIBLIOGRAFÍA

- AGUIRRE, L.; LEVI, B. & NYSTROM, J.O. (1989) - The link between metamorphism, volcanism and geotectonic setting during the evolution of the Andes. En: Daly, J.S.; Cliff, R.A. & Yardley, B.W.D. (eds.), Evolution of metamorphic belts. Geological Society, London, Special Publication 43, p. 223-232.
- ALEMÁN, A. & LEÓN, W. (2002) - Un arco volcánico mississipiano adyacente a la Cordillera de la Costa?. En: Congreso Peruano de Geología, 11, Lima, 2002, Resúmenes, Soc. Geológica del Perú, Lima, p. 4.
- ATENCIO, E. & ROMERO, D. (2000) - Actualización del Cuadrángulo de Puquina (1/50,000). INGEMMET, Lima. (Informe inédito).
- ATHERTON, M.P. (1990) - The Coastal Batholith of Peru: the product of rapid recycling of «new» crust formed within rifted continental margin. Geological journal, 25(3-4): 337-349.
- ATHERTON, M.P. (1993) - Granite magmatism. J. Geol. Soc. London, 150(6) 1009-1023
- ATHERTON, M.P. & SANDERSON, L.M. (1985) - The chemical variation and evolution of the super-units of the segmented coastal batholith. En: Pitcher, W.S., et al. (eds.), Magmatism at a plate edge: the Peruvian Andes, John Wiley, New York, p. 208-227.
- BECKINSALE, R.D., et al. (1985) - Rb-Sr whole-rock isochron and K-Ar age determinations for the coastal batholith of Peru. En: Pitcher, W.S., et al. (eds.), Magmatism at a plate edge: the Peruvian Andes, John Wiley, New York, p. 177-202.
- BELLON, H. & LEFÈVRE, C. (1976) - Données géochronométriques sur le volcanisme andin dans le sud du Pérou. Implications volcano tectoniques. C. R. Acad. Sciences, Paris, Ser. D, 283(1): 1-4.
- BOILY, M.; BROOKS, C. & JAMES, D.E. (1984) – Geochemical characteristics of the Late Mesozoic Andean volcanics. En: Harmon, R.S. & Barreiro, B.A., (eds.), Andean magmatism; chemical and isotopic constraints, Shiva Publications, Nantwich, UK, p. 190-202.

- BOILY, M.; LUDDEN, J.N. & BROOKS, C. (1990) - Geochemical constraints on the magmatic evolution of the pre- and post-Oligocene volcanic suites of southern Peru: implications for the tectonic evolution of the central volcanic zone. *Bull. Geol. Soc. Am.*, 102(11): 1565-1579.
- BORIC, R.; DÍAZ, F. & MAKSAEV, V. (1990) - Geología y yacimientos metalíferos de la región de Antofagasta. Chile, Serv. Nac. Geol. Min., Boletín 40, 246 p.
- CERRÓN, F. & CHACALTANA, C. (2002) - Presencia de rocas ordovicianas en el Altiplano (SE del Perú) con registro del género *Diplograptus* M'Coy (Graptolithina). En: Congreso Peruano de Geología, 11, Lima, 2002, Resúmenes, Soc. Geológica del Perú, Lima, p. 11.
- CERRON, F & VALDIVIA, J. (2000) - Actualización del Cuadrángulo de Mazocruz (1/50,000). INGEMMET, Lima. (Informe inédito).
- CHACALTANA, C.; CERRÓN, F. & VALENCIA, M. (2002) - Nuevas evidencias del Devoniano en sedimentitas de la Cordillera Occidental (SO del Perú) y su implicancia en el análisis tectosedimentario. En: Congreso Peruano de Geología, 11, Lima, 2002, Resúmenes, Soc. Geológica del Perú, Lima, p.13.
- CHEN, P.-F., BINA, C.R. & OKAL, E. A. (2001) - Variations in slab dip along the subducting Nazca plate, as related to stress patterns and moment release of intermediate-depth seismicity and to surface volcanism. *Geochem. Geophys. Geosyst.*, 2, 10.1029/2001GC000153.
- CLARK, A.H., et al (1990) - Geologic and geochronologic constraints on the metallogenic evolution of the Andes of southeastern Peru. *Economic Geology*, 85(7): 1520-1583.
- CLARK, A.H., et al (1990) - Geomorphologic environment and age of supergene enrichment of the Cuajone, Quellaveco, and Toquepala porphyry copper deposits, southeastern Perú. *Economic Geology*, 85(7): 1604-1628.
- CLARK, A.H. (1990) - The slump breccias of the Toquepala porphyry Cu(-Mo) deposit, Peru: implications for fragment rounding in hydrothermal breccias. *Economic Geology*, 85(7): 1677-1685.
- COBBING, E.J. & PITCHER, W.S. (1983) - Andean plutonism in Peru and its relationship to volcanism and metallogenesis at a segmented plate edge. En: Roddick, J.A. (ed.), Circum-Pacific plutonic terranes. *Geol. Soc. Amer., Boulder Colorado, Memoir 159*, p. 277-291.
- CORBETT, G.J. & LEACH, T.M. (1998) - Structure of magmatic ore systems. En: Corbett, G.J. & Leach, T.M., Southwest Pacific rim gold-copper systems: structure,

- alteration, and mineralization, Society of Economic Geologists, Littleton, Colorado, Special publication 6, p. 31-68.
- DAVIDSON, J.P.; HARMON, R.S. & WORNER, G. (1991) - The source of central Andean magmas; some considerations. En: Harmon, R.S. & Rapela, C.W. (eds.), Andean magmatism and its tectonic setting. Geol. Soc. Amer., Boulder, Colorado, Special Paper 265, p. 233-243.
- DE LA CRUZ, N. & DE LA CRUZ, O. (2000) - Actualización del Cuadrángulo de Tarata (1/50,000). INGEMMET, Lima. (Informe inédito).
- DEWEY, J.F. & BIRD, J.M. (1970) - Mountain belts and the new global tectonics. Journal of Geophysical Research, 75(14): 2625-2647.
- ESTRADA, F. (1975) - Geología de Quellaveco. Bol. Soc. Geol. Perú, (46): 65-86.
- GALDOS, J. & TICONA, P. (2000) - Actualización del Cuadrángulo de Huaytire (1/50,000). INGEMMET, Lima. (Informe inédito).
- HAMPEL, A. (2002) - The migration history of the Nazca Ridge along the Peruvian active margin: a re-evaluation. Earth and Planetary Science Letters, 203: 665-679.
- HANSON, G.N. (1978) - The application of trace elements to the petrogenesis of igneous rocks of granitic composition. En: Allegre, C.J. & Hart, S.R. (eds.), Trace elements in igneous petrology, Earth and Planetary Science Letters, 38(1): 26-43.
- HUSSON, L.; JACAY, J. & SEMPERE, T. (2002) - Cronología estructural del margen sur del Perú. En: Congreso Peruano de Geología, 11, Lima, 2002, Resúmenes, Soc. Geológica del Perú, Lima, p. 28.
- ISACKS, B.; OLIVER, J. & SYKES, L.R. (1968) - Seismology and the new global tectonics. Journal of Geophysical Research, 73(18): 5855-5899.
- JACAY, J., et al. (2002) - Características estructurales del sistema de fallas Incapuquio. En: Congreso Peruano de Geología, 11, Lima, 2002, Resúmenes, Soc. Geológica del Perú, Lima, p. 29.
- JAMES, D.E. (1971) - Plate tectonic model for the evolution of the central Andes. Bull. Geol. Soc. Am., 82(12): 3325-3346.
- JAMES, D.E.; BROOKS, C. & CUYUBAMBA, A. (1974) - Strontium isotopic composition and K, Rb, Sr geochemistry of Mesozoic volcanic rocks of the central Andes. Yearbook Carnegie Inst. Washington, 73: 970-983.

- JAMES, D.E. (1981) - Role of subducted continental material in the genesis of calc-alkaline volcanics of the central Andes. En: Nazca Plate: crustal formation and Andean convergence, Geol. Soc. America, New York, Memoir 154, p. 769-790.
- JAMES, D.E. (1984) - Quantitative models for crustal contamination in the Central and Northern Andes. En: Harmon, R.S. & Barreiro, B.A. (eds.), Andean magmatism; chemical and isotopic constraints, Shiva Publications, Nantwich, UK, p. 124-138.
- JAMES, D.E. & SACKS, I.S. (1999) - Cenozoic formation of the Central Andes: a geophysical perspective. En: Skinner, B.J. (ed.), Geology and ore deposits of the Central Andes, Society of Economic Geologists, Littleton, Colorado, Special Publication 7, p. 1-25.
- JARRARD, R.D. (1986) - Terrane motion by strike-slip faulting of forearc slivers. *Geology*, 14(9): 780-783
- LEFEVRE, C. (1979) - Un exemple de volcanisme de marge active dans les Andes du Pérou (Sud)du Miocene à l'actuel (zonation et pétrogénèse des andésites et shoshonites). Doct. Thesis. Université des Sciences et Techniques du Languedoc, Académie de Montpellier, 555 p.
- LEÓN, W.; ALEMÁN, A. (2002). Evolución tectónica, sedimentológica y estratigráfica de la cuenca Pisco Oriental. En: Congreso Peruano de Geología, 11, Lima, 2002, Resúmenes, Soc. Geológica del Perú, Lima, p. 33.
- LIPA, V. & VALDIVIA, J. (2000) - Actualización del Cuadrángulo de Ichuña (1/50,000). INGEMMET, Lima. (Informe inédito).
- LÓPEZ-ESCOBAR L. (1984) – Petrology and chemistry of volcanic rocks of the Southern Andes. En: Harmon, R.S. & Barreiro, B.A. (eds.), Andean magmatism; chemical and isotopic constraints, Shiva Publications, Nantwich, UK, p. 47-71.
- MAROCCO, R. & DEL PINO, M. (1966) - Geología del cuadrángulo de Ichuña. Com. Carta Geol. Nac., Boletín, 14, 57 p.
- MAROCCO, R. (1984) - Dynamique du Remplissage d'un bassin intramontagneux cénozoïque andin; le bassin Moquegua (sud du Pérou). Cah. ORSTOM. Sér. Géologie, 14(2): 117-140.
- MARTÍNEZ, W. & ZULOAGA, A. (2000) - Actualización del Cuadrángulo de Moquegua (1/50,000). INGEMMET, Lima. (Informe inédito).

- MARTÍNEZ, W. & ZULOAGA, A. (2002) - Nuevas contribuciones a la caracterización geoquímica del Grupo Toquepala: sector Moquegua, sur de Perú. En: Congreso Peruano de Geología, 11, Lima, 2002, Resúmenes, Soc. Geológica del Perú, Lima, p. 37.
- MARTÍNEZ, W. (2003) - Mapa estructural, volcanes y calderas del sur de Perú, 12°S a 18°30'S. INGEMMET, Lima. (Informe interno).
- MATTOS, R. (1997) - Sinopsis geológica del Cenozoico Neógeno-Cuaternario en la zona interandina de Moquegua. En: Congreso Peruano de Geología, 9, Lima, 1997, Resúmenes extendidos. Soc. Geológica del Perú, Lima, p. 351-356.
- MITCHELL, A.H. & READING, H.G. (1969) - Continental margins, geosynclines, and ocean floor spreading. *Journal of Geology*, 77(6): 629-646.
- MONGE, R. & CERVANTES, J. (2000) - Actualización del Cuadrángulo de Pachía y Palca (1/50,000). INGEMMET, Lima. (Informe inédito).
- MUKASA, S.B. & HENRY, D.J. (1990) - The San Nicolas batholith of coastal Peru: early Palaeozoic continental arc or continental rift magmatism?. *J. Geol. Soc. London*, 147(1): 27-39.
- MUKASA, S.B. & TILTON, G.R. (1985) - Zircon U-Pb ages of super-units in the coastal batholith, Peru. En: Pitcher, W.S., et al. (eds.), *Magmatism at a plate edge: the Peruvian Andes*, John Wiley, New York, p. 203-207.
- NAKAMURA, N. (1974) - Determination of REE, Ba, Fe, Mg, Na and K in carbonaceous and ordinary chondrites. *Geochim. Cosmochim. Acta*, 38(5): 757-775.
- NOTSU, K. & LAJO, A. (1984) - Regional variation of $^{87}\text{Sr}/^{86}\text{Sr}$ in late Cenozoic volcanic rocks from southern Peru. *Geochemical Journal*, 18(5): 241-250.
- PALACIOS, O., et al. (1993) - Geología de la Cordillera Occidental y Altiplano al oeste del Lago Titicaca – Sur del Perú (Proyecto Integrado del Sur). INGEMMET, Boletín, Serie A: Carta Geol. Nac., 42, 257 p.
- PETFORD, N., et al. (2000) - Granite magma formation, transport and emplacement in the earth's crust. *Nature*, 408: 669-673.
- PINO, A., et al. (2002) - Nuevos aportes geológicos en el estudio de la evolución geodinámica de la Cordillera de los Andes en el sur del Perú: el área de Mal Paso-Palca (Tacna). En: Congreso Peruano de Geología, 11, Lima, 2002, Resúmenes, Soc. Geológica del Perú, Lima, p. 40.

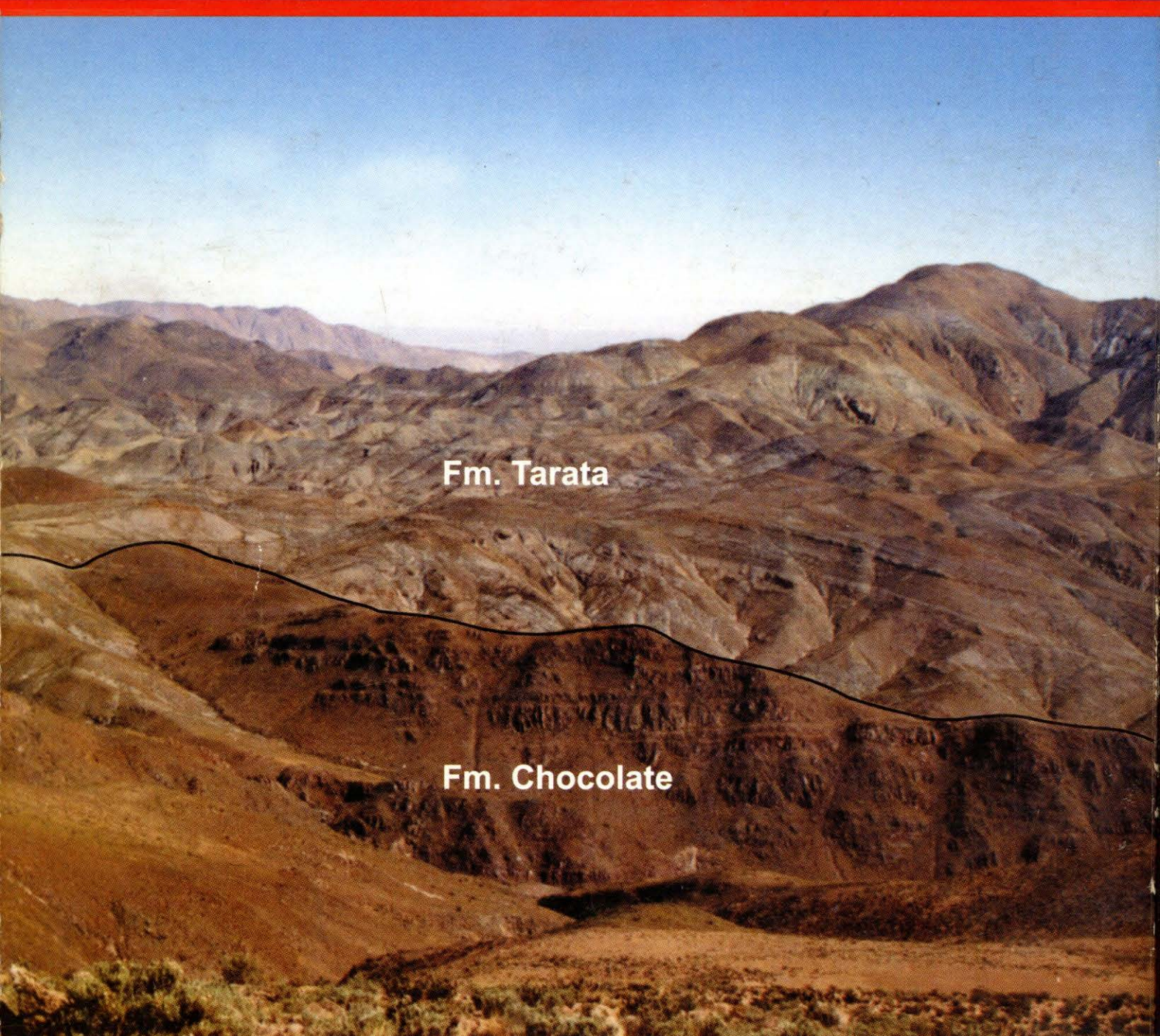
- PITCHER, W.S. (1985) – A multiple and composite batholith. En: Pitcher, W.S., et al. (eds.), Magmatism at a plate edge: the Peruvian Andes, John Wiley, New York, p.93-107.
- PITCHER,W.S., et al., eds. (1985) - Magmatism at a plate edge, the Peruvian Andes. John Wiley, New York, 328 p.
- QUISPESIVANA, L. & ZAPATA, A. (2000) - Revisión geológica del Cuadrángulo de Omate (1/50,000). INGEMMET, Lima. (Informe inédito).
- ROLLINSON, H.R (1993) - Using geochemical data: evaluation, presentation, interpretation. Longman, Essex, 352 p.
- ROMEUF, N., et al. (1995) - Middle Jurassic volcanism in the northern and central Andes. En: Rev. Geol. Chile, 22(2): 245-259.
- ROPERCH, P., et al. (2002) - Nuevos datos paleomagnéticos sobre la rotación antihoraria del antearco del sur del Perú. En: Congreso Peruano de Geología, 11, Lima, 2002, Resúmenes, Soc. Geológica del Perú, Lima, p. 48.
- RUTLAND, R.W.R. (1971) - Andean orogeny and ocean floor spreading. Nature (London), 233(5317): 252-255.
- SAINT BLANQUAT, M., et al. (1998) - Transpressional kinematics and magmatic arcs. En: Holdsworth, R.E.; Strachan, R.A. & Dewey, J.F. (eds), Continental transpressional and transtensional tectonics, Geological Society, London, Special publication 135, p. 327-340.
- SALFITY, J.A. (1985) - Lineamientos transversales al rumbo Andino en el noroeste Argentino. En: Congreso Geológico Chileno, 4, Antofagasta, 1984, Actas, Universidad del Norte, Antofagasta, t. 1, parte 2, p. 119-137.
- SÁNCHEZ, A. & ROSELL, W. (2000) - Revisión del Cuadrángulo de Punta de Bombón (1/100,000). INGEMMET, Lima. (Informe inédito).
- SÁNCHEZ, A. & ROSELL, W. (2000) - Revisión del Cuadrángulo de Clemesí (1/100,000). INGEMMET, Lima. (Informe inédito).
- SÁNCHEZ, A. & MARTÍNEZ, W. (2002) - Nuevos datos geocronológicos (K-Ar) y geoquímicos, en rocas ígneas meso-cenozoicas en la Cordillera de los Andes - sur del Perú. En: Congreso Peruano de Geología, 11, Lima, 2002, Resúmenes, Soc. Geológica del Perú, Lima, p. 49.
- SÉBRIER, M., et al. (1988) - Tectonics and uplift in Central Andes (Peru, Bolivia and northern Chile) from Eocene to present. Géodynamique, 3(1-2): 85-106.

- SHACKLETON, R.M., et al. (1979) - Structure, metamorphism and geochronology of the Arequipa massif of coastal Peru. *Jl. Geol. Soc. Lond.*, 136: 195-214.
- SOLER, P. (1991) - Contribution à l'étude du magmatisme associé aux marges actives: pétrographie, géochimie et géochimie isotopique du magmatisme Crétacé à Pliocène le long d'une transversale des Andes du Pérou central. Implications géodynamiques et métallogeniques. Thèse Doct., Académie de Paris, Université Pierre et Marie Curie, Paris, 950 p.
- SZEKELY, T.S. (1963) - Geology of the Puquina-Omate area of South Western Peru. Thesis Doct., Harvard University, Cambridge, Mass., 119 p.h
- TARNEY, J. & JONES, C.E. (1994) - Trace element geochemistry of orogenic igneous rocks and crustal growth models. *J. Geol. Soc. London*, 151(5): 855-868.
- THORPE, R.S. & FRANCIS, P.W. (1979) - Variations in Andean andesite compositions and their petrogenetic significance. *Tectonophysics*, 57(1): 53-70.
- THORPE, R.S., et al. (1982) - The Andes. En: Thorpe, R.S., ed., *Andesites; orogenic andesites and related rocks*. John Wiley, Chichester, p. 187-205.
- THORPE, R.S. (1984) - The tectonic setting of active Andean volcanism. En: Harmon, R.S. & Barreiro, B.A. (eds.), *Andean magmatism; chemical and isotopic constraints*, Shiva Publications, Nantwich, UK, p. 4-8.
- TOSDAL, R.M.; FARRAR, E., & CLARK A.H. (1981) - K-Ar geocronología de los late Cenozoic volcanic rocks of the Cordillera Occidental, Southern Peru. *J. Volcanol. Geotherm. Res.*, 10(1-3): 157-173.
- TOSDAL, R.M. & RICHARDS, J.P. (2001) - Magmatic and structural controls on the development of porphyry Cu ± Mo ± Au deposits. En: Tosdal, R.M. & Richards, J.P. (eds.), *Structural controls on ore genesis*. Society of Economic Geologists, Littleton Colorado, *Reviews in Economic Geology* 14, p. 157-181.
- VALENCIA, M. & CHACALTANA, C. (2000) - Actualización del Cuadrángulo de La Joya (1/50,000). Ingemmet, Lima. (Informe inédito).
- VATIN-PERIGNON, N., VIVIER, G., SEBRIER, M., & FORNARI, M. (1982). - Le derniers événements andins marqués par le volcanisme cénozoïque de la Cordillère Occidentale sud-péruvienne et de son piémont pacifique entre 15°45' et 18° S. *Bull. Soc. Geol. France*, 24(3): 649-650.
- WILSON, M. (1995) - Igneous Petrogenesis. Chapman & Hall, London, 466 p.
- WINTER, J.D. (2001) - An introduction to igneous and metamorphic petrology. Prentice-Hall, Upper Saddle River, NJ, 697 p.

ZAPPETTINI, E.O., et al. (2001) - Mapa metalogénico de la región fronteriza entre Argentina, Bolivia, Chile y Perú (14°S-28°S). Serv. Nac. Geol. Min., Santiago, Publ. Geol. Multinacional, 2, 222 p.

ZENTILLI, M. & DOSTAL, J. (1977) - Uranium in volcanic rocks from the central Andes. *J. Volcanol. Geotherm. Res.*, 2(3): 251-258.

ZIMMERMANN, J.L. & KIHLEN, A. (1983) - Détermination par la méthode K/Ar de l'age des intrusions et des minéralisations associées dans le porphyre cuprifère de Quellaveco (Sud Ouest du Pérou). *Mineralium Deposita*, 18(2A): 207-213.



A photograph showing a geological outcrop with two distinct rock formations. A black line indicates a discordance surface. The upper formation is labeled "Fm. Tarata" and the lower one is labeled "Fm. Chocolate". The background shows more mountainous terrain under a clear blue sky.

Fm. Tarata

Fm. Chocolate

Discordancia angular entre la Formación Chocolate (primer plano) y la Formación Tarata del Grupo Tacaza (segundo plano). Cerro Apacheta - Pachía.

Av. CANADÁ 1470 - SAN BORJA
Apartado 889 - Lima 41 - Perú
Telfs.: 224-2963 • 224-2964 • 224-2965 • 225-3128
FAX: (51-1) 225 - 4540

<http://www.ingemmet.gob.pe>
e-mail: informacion@ingemmet.gob.pe
ventas@ingemmet.gob.pe